

ПОЛЯКОВ С.П.
АТРИСНАЯ ФИЗИКА
Том 5. ОСНОВЫ МИРОЗДАНИЯ

*Кто хочет много знать,
Тому нужно мало спать.
(Пословица)*

*Не то, что мните вы, природа:
Не слепок, не бездушный лик –
В ней есть душа, в ней есть свобода,
В ней есть любовь, в ней есть язык...
Федор Тютчев (1803 – 1873)*

АННОТАЦИЯ

Открытие тонкого мира – мира Творца, в котором сокрыты причины всех явлений естествознания, – является самой актуальной проблемой современности – основой фундаментальной науки.

Законы тонкого мира напрямую не вытекают из следствий явлений естествознания, хотя сами следствия являются единственным окном, через которое разум ученого может проникнуть в тонкий мир. Увидеть и осознать процессы тонкого мира, взаимодействия в котором протекают на уровне 10^{-65} м, можно только в результате длительной умственной работы, сопоставляя мысленный эксперимент с результатами следствий естествознания. «Подсмотренные» внутри электрона механизмы элементарных процессов имеют несколько вариантов интерпретации, из которых только один является реальным. Выход на реальные процессы возникает при сопоставлении взаимодействий электрона во всех процессах при синтезе гравитонов, создании спина и магнитного момента, синтезе электрических и магнитных полей, генерировании синхротронного излучения, а также при поглощении энергии и действии на электрон электромагнитных и гравитационных полей.

Представленная на рассмотрение оппонентам работа является креативным осмыслением следствий естествознания, которые привели автора к непрерывной череде открытий причин проявления физических явлений, создаваемых процессами, протекающими в ядрах атомов (ясновиденье).

СОДЕРЖАНИЕ

Введение

1. СТРУКТУРА И ФИЗИЧЕСКИЕ СВОЙСТВА ЭФИРА.....	5
1.1. Атрисная интерпретация частиц эфира	
1.2. Серия квантонов	
1.3. Механизм перемещений серий квантонов в эфире	
1.4. Стандарт основ Атрисной физики	
Выводы к разделу	
2. ОСНОВЫ ЯДЕР АТОМОВ.....	14
2.1. Представления современной науки о нейтронах	
2.2. Атрисная структура нейтрона	
2.3. Структура яритиса и лады	
2.4. Структура пульсэда	
2.5. Стандарт нейтрона	
2.6. Законы Творца	
2.7. Циклические колебания серий квантонов нейтрона	
3. СТРУКТУРА ПРОТОНА.....	26
3.1. Подготовительный процесс радиоактивного распада нейтрона	
3.2. Закономерности процесса радиоактивного распада нейтрона	
3.3. Радиоактивный распад нейтрона	
3.4. Синтез нейтрино	

3.5. Скорость нейтрино	
3.6. Энергообмен в ядре атома	
3.7. Некоторые свойства ядер атомов	
3.8. Структура спала протона	
Выводы к разделу	
4. ЦИКЛИЧЕСКИЕ КОЛЕБАНИЯ СЕРИЙ АТРИНОВ СПОЛА.....	39
4.1. Циклические колебания серий атринов спала в неионизированном атоме	
4.2. Циклические колебания серий атринов спала ионизированного протона	
4.3. Структура спала и закономерности циклических колебаний его серий	
4.4. Атрисный стандарт ядра атома	
4.5. Анализ спинов, магнитных моментов и энергии связи нуклонов легких атомов	
4.6. Расчет распределения энергии в ядре протона	
4.7. Расчет магнитного дипольного момента пульсэда атома водорода	
4.8. Магнитный дипольный момент дейтерия	
4.9. Расчет спина протона	
5. ОСНОВЫ ВНУТРИЯДЕРНЫХ СТРУКТУР.....	52
Введение	
5.1. Структура нейтрона	
5.2. Энергия атринов нейтрона	
5.3. Спин и магнитный момент нейтрона	
5.4. Энергетическая структура протона	
5.5. Распределение энергии в пульсэде протона	
5.6. Энергетическая структура дейтерия, трития, гелия	
Выводы к разделу	
6. СИСТЕМЫ УПРАВЛЕНИЯ ПРОЦЕССАМИ В МИКРОМИРЕ.....	61
Введение	
6.1. Структура систем управления	
6.2. Функции систем управления	
6.3. Физические свойства биртрона	
6.4. Процесс колебаний серий квантонов биртрона	
Выводы к разделу	
7. ФИЗИКА ЭЛЕКТРОНА.....	67
Введение	
7.1. Механизмы элементарных процессов в электроне	
7.2. Колебания серий квантонов атринов электрона	
7.3. Синтез гравитонов электронами	
7.4. Фазы циклических колебаний атринов электрона	
7.5. Синтез электроном электрических пострино	
7.6. Синтез электроном магнитных пострино	
7.7. Действие электрического поля на электрон	
7.8. Действие магнитного поля на возбужденный электрон	
7.9. Мгновенная силовая связь между синтезируемыми частицами и полем	
7.10. Закономерности колебаний энергии в электроне	
7.11. Атрисные закономерности электрического поля	
8. СИНТЕЗ ПОЗИТРОНА И АННИГИЛЯЦИЯ ПОЗИТРОНИЯ.....	85
Введение	
8.1. Радиоактивный распад протона ядра атома	
8.2. Синтез и аннигиляция позитрония	
8.3. Аннигиляция электрон-позитронной пары	

8.4. Выводы к разделу	
9. АТРИСНАЯ ФИЗИКА ФОТОНА. ПРИРОДА ИЗЛУЧЕНИЯ ФОТОНА.....	89
Введение	
9.1. Сведения о фотоне из Интернета	
9.2. Атрисная структура фотона	
9.3. Трансформация магнитных серий витры в электрические серии	
9.4. Трансформация электрических серий фотона в магнитные серии	
9.5. Особенности и механизм излучения фотона	
9.6. Скорость витры при трансформации	
Выводы к разделу	
10. АТРИСНАЯ ФИЗИКА ГЕОМЕТРИЧЕСКОЙ ОПТИКИ.....	98
10.1. Основные законы оптики	
10.2. Преломление серий фотона	
10.3. Подготовка фотона к преломлению света	
Выводы к разделу	
11. СИЛОВЫЕ СВЯЗИ АТОМОВ.....	107
Введение	
11.1. Виды перемещений в микро- и макромирах	
11.2. Закономерности синтеза молекул	
11.3. Силовые связи в молекулах	
11.4. Силовая связь уголками андистонов	
Выводы к разделу	
12. ПОВЕРХНОСТЬ АТОМА.....	115
Введение	
12.1. Атрисная структура ядер атомов	
12.2. Синтез третьего яруса атома	
Выводы к разделу	
Общие выводы.....	126
Литература	
Термины.....	127

ВВЕДЕНИЕ

В научном мире постулируют, что здание физики возведено величайшими учеными XX столетия, и этим зданием является Стандартная модель физики. Все «фундаментальные законы физики» получены на основе математической интерпретации гипотез следствий явлений естествознания, а потому Стандартная модель физики является гипотетической. Причины явлений физики оказались за пределами возможностей инструментальных методов измерений.

В Стандартной модели физики гипотетические формулы были объявлены фундаментальными законами, которые должны быть положены в основу дальнейшего познания вплоть до интерпретации структуры ядер атомов и процессов, в них протекающих. На поле гипотез следствий естествознания ученые создали «кольцевую дорогу», циркулируя по которой, мечтают открыть фундаментальные законы естествознания. Ни «теория струн», ни «теория суперструн», ни «М-теория», ни «квантовая гравитация», ни «теория всего», которые возвращены на поле математической интерпретации гипотез следствий, не откроют причин явлений естествознания.

На верификацию математических фантазий А.А. Фридмана, М. Гелл-Мана, П. Хиггса и других признанных авторитетов в мире израсходованы баснословные средства. В сухом остатке земле превращены в универсальных потребителей, которые утратили человеческое достоинство, отпустив на свободу пагубные инстинкты [6– 10].

Признание достоверным эволюционного пути развития биовидов и возникновения Вселенной в результате Большого взрыва исключило необходимость творческого начала – Творца, а потому религиозная духовность оказалась растоптанной учеными: смысл жизни оказался недоступным сознанию потребителей.

Начало фундаментального познания заключено не в отыскании «формулы», а в осознании структуры и физических свойств эфира, который является основой и средой обитания всего сущего во Вселенной.

В основу фундаментальной науки должны быть положены открытия причин явлений естествознания, которые сокрыты в тонком, недоступном для инструментальных измерений мире, но доступны для осознания их умом ученого. Только фундаментальная наука открывает человечеству перспективу создания материалов с заданными свойствами, овладения энергетикой эфира, управления внутриядерными процессами при помощи био- и электромагнитных полей.

Над проблемой открытия причин явлений естествознания и физических свойств материального и духовного миров автор работает уже 37 лет.

Путь к Истине оказался длительным: начат он в январе 1982 года, а только в феврале 2019 года все процессы внутри электрона оказались согласованными между собой. Однако это – не конец, а начало исследований, так как еще не достигнуто осознание процессов при создании электронами атрисиковых голограмм, являющихся информационными полями, дать интерпритацию переноса информации в молекулах ДНК при процессе размножения биовидов и человека, трансформации энергии фотонов в чисельные значения серий вистры так далее. Работы впереди бесконечно много!

1. СТРУКТУРА И ФИЗИЧЕСКИЕ СВОЙСТВА ЭФИРА

1.1. Атрисная интерпретация частиц эфира

Мировой эфир представлен продольными составными частицами, имеющими постоянный состав и сечение – *атрисами*, которые собраны из двух равных частей, проявляющих электрические и магнитные свойства, однако асинхронно пульсирующих относительно общего центра. У отдельно взятых атрисов непрерывно теряется и вновь восстанавливается силовая связь между магнитными и электрическими атрисиками. Отдельно взятые атрисики одного вида не вступают в силовую связь между собой. Атрисы не обладают энергией, массой, упругостью, вязкостью, временем, инерцией. За исключением того, что половинки атриса могут проявить отличительные свойства (магнитные и электрические) при создании определенной конструкции из них, ничем другим они больше не различаются. Плотность атрисов в эфире чрезвычайно высока. В 1 см^3 содержится столько атрисов, что из них можно синтезировать атомы на 10^{30} планет, как наша Земля, не исчерпав из объема все атрисы.

Атрис – продольная частица, состоящая из двух равных, но разных по свойствам частей – атрисиков (магнитного и электрического), разделенных пополам единственной для них связующей перегородкой – *атросцепом*, относительно которого атрисики совершают асинхронные ритмичные пульсации (рис. 1). В процессе пульсаций происходит увеличение амплитуды одного (магнитного) и уменьшение амплитуды второго (электрического) атрисиков. Средняя минимальная скорость роста и уменьшения амплитуды атрисиков равна двойной скорости света ($\mathcal{G} = 2C$, где C – средняя скорость света), а максимальная скорость роста амплитуды не ограничена. Атрисики обладают тем уникальным свойством, что, изменяя величину амплитуды, они не изменяют собственное поперечное сечение.

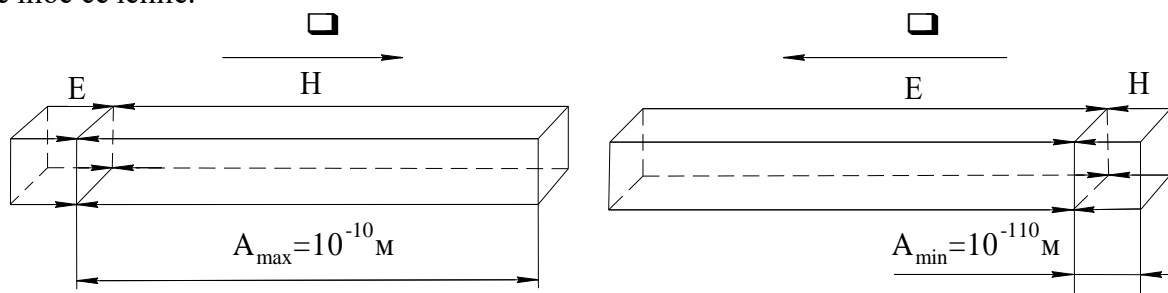


Рис. 1. Атрис при асинхронных пульсациях атрисиков: E – электрический, H – магнитный, A_{\max} и A_{\min} – максимальная и минимальная амплитуда пульсаций.

Атрисик – одна из двух составляющих атриса, каждая из которых может синхронно изменять собственную внутреннюю структуру, представляющую собой поперечные уплотнения – изостраты, равномерно распределяющиеся вдоль атрисиков (рис. 2). Амплитуды пульсаций атрисиков A_0 могут изменяться в пределах от нуля до 10^{-10} м, а количество изострат в них – от $1,84 \cdot 10^{33}$ до $1,84 \cdot 10^{120}$ штук. В ядрах атомов и электронах атрисики могут создавать из своей структуры голограммы, которые могут материализоваться за счет атрисов эфира в гравитоны, электромагнитные частицы будущих полей и ситуационные частицы. При этом атрисик сохраняет свою индивидуальность после схлопывания атрисиковой голограммы, а синтезированная из эфира частица приобретает самостоятельность.

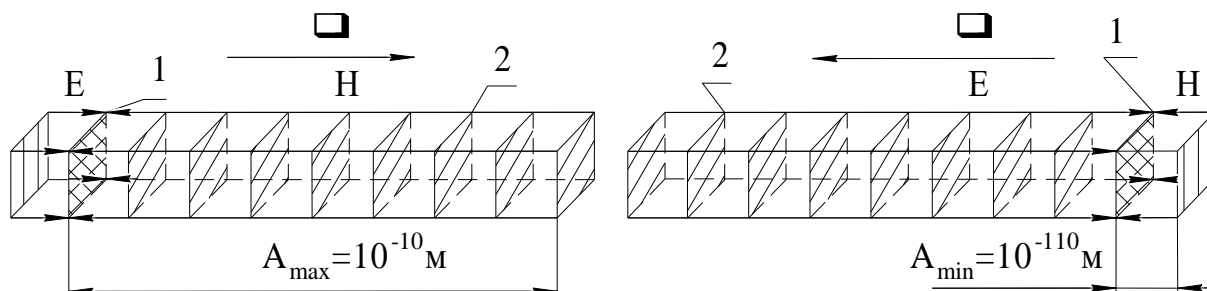


Рис. 2. Распределение изострат в процессе пульсаций атрисиков:

Е – электрический, Н – магнитный, 1 – атросцеп, 2 – изостраты.

Пульсации атрисиков происходят по синусоидальному закону. Если начальную фазу пульсаций отсчитывать от момента времени, когда амплитуда пульсаций достигла половины максимального своего значения $A_0 = A_{\max}/2$, то в этом случае изменение амплитуды пульсаций во времени будет иметь вид:

$$A = A_0 \sin \omega t, \quad (1)$$

где $\omega = 2\pi\nu = \frac{2\pi}{T}$ – циклическая частота пульсаций амплитуды, ν – частота пульсаций амплитуды атрисиков, T – период пульсаций амплитуды атрисиков.

Самопроизвольно из атрисов может возникнуть только мышление, которое сотворило материальный мир, спроектировав частицу – *перунис* [1, 5], продуцирующую из эфира пакеты нейтронов.

На поверхностях и в недрах всех космических тел перунысы из эфира синтезируют пакеты нейтронов, которые в результате радиоактивного распада превращаются в атомы, что сопровождается выделением избыточной энергии. Термоядерный синтез в природе не существует. В водородной бомбе реализован бароядерный синтез.

При радиоактивном распаде пакетов нейтронов синтезируются атомы, которые и обеспечивают строительным материалом тонкий духовный и материальный миры. Космические тела строят биодуши в жизни после смерти из атомов, которые накапливаются в эфире при радиоактивном распаде пакетов нейтронов, синтезируемые на поверхностях всех космических тел. Нейтроны и атомы синтезируют из эфира все виды известных и еще не известных науке полей.

Атросцеп – связующая перегородка в атрисе между магнитным и электрическим атрисиками. Атросцеп у атриса – единственный, который одновременно удерживает магнитный и электрический атрисики. Два свободных конца атриса без атросцепа не могут взаимодействовать с атрисиками другого вида, а только с аналогичными атрисиками. Атросцеп определяет векторность материального и духовного миров. Атрисики обладают уникальным свойством: вдоль их длины могут образовываться равномерно распределенные уплотнения, сохраняющиеся во время пульсаций – изостраты (рис. 2).

Изостраты – это уплотнения среды атрисиков, равномерно распределенные вдоль их длины. Количество изострат всегда равно количеству квантонов в серии квантонов. Количество изострат в атрисике может достигать 10^{120} штук. Если в эфире самопроизвольно возник атрис, имеющий изостраты, то атрис может индуцировать их другим атрисам, расположенным вдоль его оси, в количестве, равном количеству собственных изострат, – голограмма. Это основной механизм синтеза материального и духовного миров.

Как было показано в предыдущих работах [1–5], материальный и духовный миры состоят из квантонов, которые синтезируются из атрисов. Рассмотрим процесс синтеза одного квантона (рис. 3), хотя в реальных условиях в одночасье (мгновенно) синтезируется нейтрон, который положен в основу материального мира.

Накануне синтеза квантона атрисы формируются в пучок атрисов.

Пучок атрисов – параллельное объединение атрисов, в котором атрисики одного вида имеют общее начало, а атрисики второго вида располагаются под углом к атрисикам первого вида. Если в состав пучка атрисов входит $1,84 \cdot 10^{33}$ атрисов, то атрисики второго вида сохраняют свой конец. Если в состав пучка атрисов входит $N \cdot 1,84 \cdot 10^{33}$ атрисов, где $N \approx 2 \div 10^{90}$, то такой пучок атрисов представляет собой мыслящую единицу – Творца.

Когда происходит объединение атрисиков одного вида в пучок (назовем их коренными атрисиками), то они отклоняют от собственной оси пучок атрисиков второго вида (назовем их акцепторными атрисиками), сохраняя с ними силовую связь через каналы атросцепа. У коренных атрисиков появляется возможность индуцировать в эфире пучок атрисиков того же вида – диффузные атрисики – и создать с ними единый вектор атрисов.

Между пучками атрисиков одного вида устанавливается силовая связь через каналы атросцепа. Диффузные атрисы второго пучка атрисов «сдувают» атрисики второго вида, которые разворачиваются на угол от нуля до 180° и устанавливают силовую прямую связь с акцепторными

атрисиками первого пучка атрисов: возникает вектор атрисов второго вида и синтезируется квантон. Назовем атрисики второго пучка атрисов *донорными*.

Коренные атрисики – пучок атрисиков, формирующий будущую серию квантонов.

Диффузные атрисики – атрисики второго пучка атрисов, дополняющие коренные атрисики при формировании вектора атрисов.

Акцепторные атрисики – атрисики второго вида первого пучка атрисов, сохраняющие прямую силовую связь с коренными атрисиками первого вида и не участвующие в формировании серии квантонов.

Донорные атрисики – атрисики второго вида второго пучка атрисов, утратившие прямую силовую связь с диффузными атрисиками и установившие прямую силовую связь с акцепторными атрисиками первого пучка атрисов, создав вектор атрисов второго вида квантона.

Вектор атрисов – два последовательно расположенных множества атрисиков одного свойства (вида), совершающих асинхронные пульсации относительно атросцепа.

Квантон – частица, синтезируемая из двух пучков атрисов, в первом из которых атрисики одного вида (акцепторные) разворачиваются под углом 90^0 к атрисикам другого вида (коренным), сохраняя между собой полную силовую связь через канал атросцепа. Атросцеп коренного пучка атрисов подсоединяет к себе конец атрисиков второго пучка (диффузных), расположенного вдоль одной прямой. Между коренными и диффузными атрисиками одного свойства (вида) возникают асинхронные пульсации и они создают вектор атрисов. Донорные атрисики второго пучка атрисов разворачиваются относительно собственного атросцепа на 180^0 и достигают акцепторных атрисиков первого пучка, образуя с ними вектор атрисов второго вида. Создается квантон.

Так синтезируются из эфира квантоны, которые обладают электрическими и магнитными свойствами, векторностью, возможностью подсоединять к себе другие квантоны, синтезируя их из эфира. Пульсации атрисиков в квантоне совершаются около одной общей точки – полюса, который атрисики никогда не пересекают.

Полюс квантона – общая точка векторов атрисов, около которой атрисики совершают пульсации (рис. 3).

1.2. Серия квантонов

Серия квантонов – это однорядный строй одного вида векторов атрисов квантонов, векторы атрисов одного вида которых установили силовую связь между собой атросцепами и совершают асинхронные возвратно-поступательные пульсации вдоль общего направления векторов, а векторы атрисов второго вида между собой не объединяются и совершают асинхронные пульсации, располагаясь в одной плоскости. Угол наклона вектора атрисов второго вида к серии квантонов может изменяться от 0 до 180^0 . Будем называть *серией магнитной*, если вдоль прямой расположены и совершают асинхронные пульсации магнитные векторы атрисов квантонов. Если вдоль прямой будут совершать синхронные пульсации электрические векторы атрисов, то ее будем называть *электрической серией*.

Проявленная энергия серии прямо пропорциональна количеству квантонов в ней, а ее размер обратно пропорционален энергии серий (рис. 4).

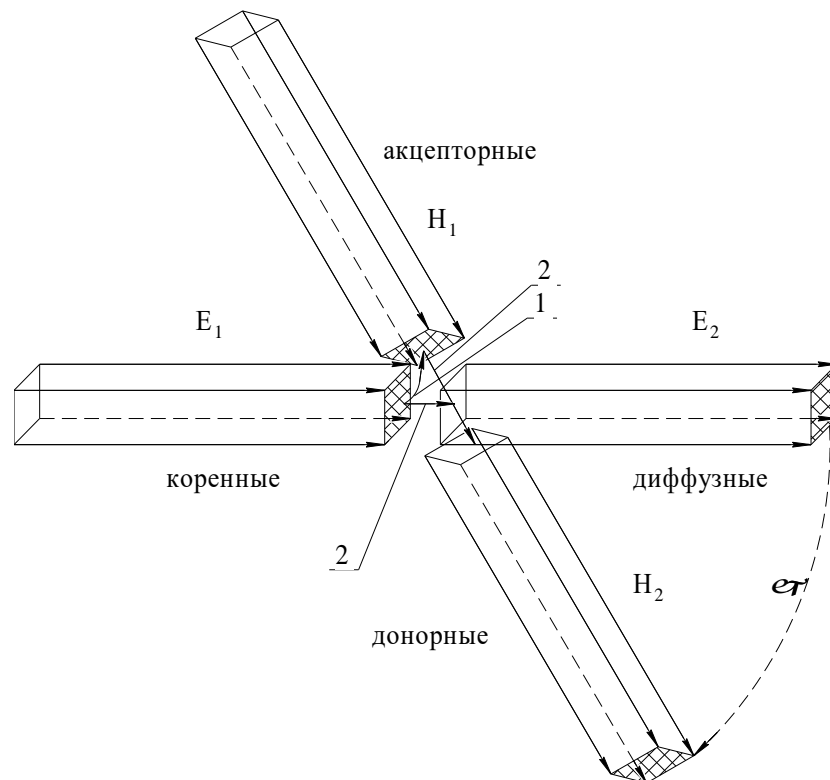


Рис. 3. Квантон: E_1 и E_2 – электрический вектор атрисов, H_1 и H_2 – магнитный вектор атрисов, Π – полюс квантона, 1 – прямой канал атросцепа, 2 – побочные каналы атросцепа.

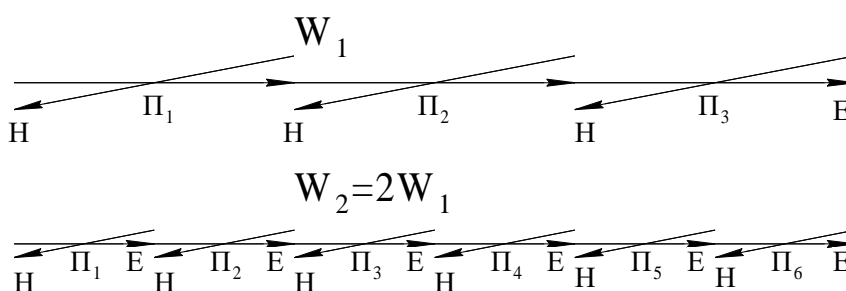


Рис. 4. Электрические серии квантонов, энергия которых разная.

В материальном мире не существует отдельно взятой серии, так как это образование неустойчивое и сразу рассыпается на отдельные атрисы. Ансамбль серий квантонов становится устойчивым, если в одной плоскости располагается $1,84 \cdot 10^{33}$ серий. В материальном мире минимальное количество квантонов в сериях равно $1,84 \cdot 10^{33}$ штук. Такое количество квантонов в сериях имеют гравитоны, расилы, вистры, витры, о которых речь пойдет ниже.

С увеличением энергии серии уменьшается амплитуда пульсаций векторов атрисов квантонов и увеличивается количество изострат в пучке атрисиков квантонов, но минимальная средняя скорость сжатия векторов атрисов сохраняется (рис. 4). По этой причине с увеличением энергии фотона уменьшается его длина волны и увеличивается частота, а скорость движения в эфире остается равной скорости света. Сокращение амплитуды пульсаций атрисиков приводит к тому, что процесс достижения крайнего положения векторов атрисов квантонов завершается за меньшее время и период колебаний векторов атрисов сокращается, а частота увеличивается.

Обмен энергией между объектами материального мира строго регламентирован порцией энергии, равной целому числу квантов действия (h). Поэтому энергия фотона W определяется как:

$$W = h\nu, \quad (2)$$

где h – постоянная Планка, ν – частота фотона.

Из фотонов, энергия каждого из которых близка половине энергии электрона (это атрин), состоит физическая основа всех нуклонов атомов, электронов и позитронов, где атрины движутся по замкнутым траекториям. Движение атринов по замкнутой траектории совершается в результате

пульсаций векторов атрисов квантонов без затрат какой-либо энергии. В природе в основе всего есть пульсации энергии эфира (векторов квантонов). Природа предусмотрела собственную вечность в движении в виде пульсаций, что позволяет создать весь материальный мир без затрат какой-либо сторонней энергии. Серии атринов в нуклонах атомов и электронах располагаются в одной плоскости, выходят и входят в одну точку – полюс частицы, расположенный в ее геометрическом центре.

Далее серию будем представлять в виде вектора H , если это магнитная серия, или E , если это электрическая серия, длины которых обратно пропорциональны энергии серий (количеству квантонов), а векторы атрисов второго вида их квантонов соответственно обозначаются E или H , в виде коротких линий (рис. 4).

Каждый атрин обладает уникальным свойством: по длине серий он разделен на участки с равными порциями энергии, которые равны энергии одного кванта действия. Такие объединения сохраняют свою целостность в частицах непрерывно. Набор или сброс энергии атринами, кроме фотонов и нейтрино, всегда равен целому числу квантов действия. Если бы мы увидели распределение энергии в атрине накануне начала полупериода циклических колебаний его серий, то нам представилась бы такая картина: вдоль серий атрина энергия квантов действия распределена по закону синусоидальной четной функции. Такое «шаговое» распределение энергии необходимо для обеспечения эффективного управления движением атринов в нуклонах атомов, электронов и позитронов.

Сквозное квантование энергии от векторов атрисов квантонов до серий обеспечивает атринам и вистрам уникальные свойства: каждый вектор атрисов и серия имеют подобные структуры, и по первым векторам атрисов квантонов серии можно создать структуру всей серии.

Механизм пульсаций квантонов в сериях показан на рис. 5. Пусть серия состоит из трех квантонов, а векторы квантонов серии H и векторы квантонов второго вида E расположены взаимно перпендикулярно.

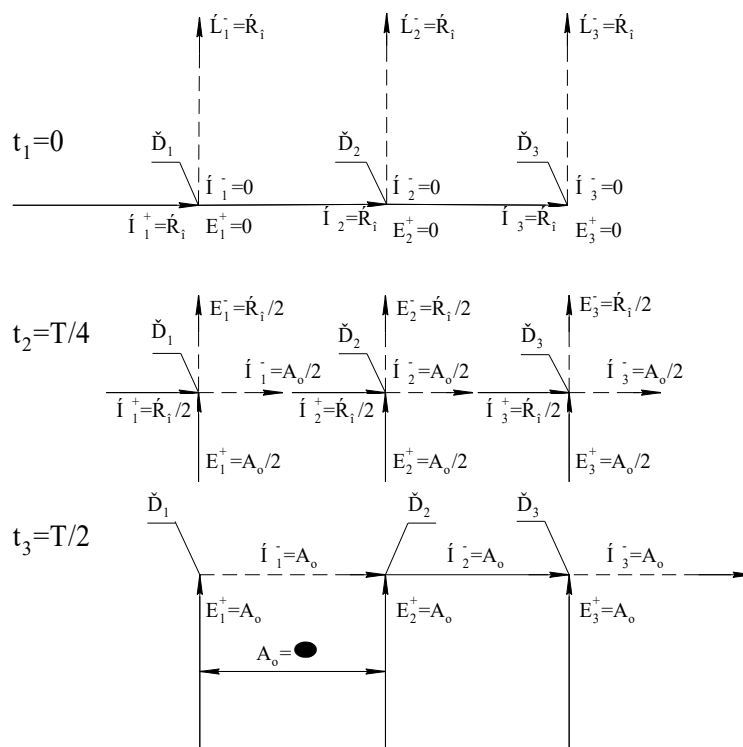


Рис. 5. Пульсирующие колебания векторов атрисов квантонов в серии: при t_1 величины E и H близки к нулю, а E и H достигают максимальной величины λ ; при t_2 величины $H=H'$, а $E=E'$; при t_3 величины E и H близки к нулю, а H' и E'' достигают максимума.

Накануне нового периода пульсаций положительные векторы атрисов квантонов серий H^+ имеют максимальную амплитуду $H_{1,2,3}^+ = A_0$ и отрицательные векторы квантонов второго вида также имеют максимальную амплитуду $E_{1,2,3}^- = A_0$ (рис. 5, t_1).

Будем называть одну половину вектора атрисов положительной, если ее вектор направлен к полюсу, а вторую – отрицательной, если вектор направлен в противоположную сторону полюса квантона. Начинается процесс пульсаций векторов атрисов квантонов серии H , и через четверть периода положительные и отрицательные векторы атрисов становятся одинаковыми и равными $A_0/2$ (рис. 5, t_2). Далее идет процесс уменьшения положительных H^+ и увеличения отрицательных векторов H^- серии, и увеличения положительных и уменьшения отрицательных векторов квантонов E (рис. 5, t_3). Через полпериода пульсаций отрицательные H^- и положительные E^+ достигают своего максимального значения, равного A_0 . Затем начинается новый полупериод пульсаций векторов атрисов квантонов серии.

Минимальная средняя скорость перемещения конца вектора H_1 между полюсами Π_1 и Π_2 равна удвоенной скорости света. Угол наклона вектора квантонов E по отношению к серии H может изменяться при изменении условий работы от нуля до 180° . Однако половинка вектора E не может пересечь серию H , но может вращаться относительно оси H свободно.

Серии фотонов и атринов всех нуклонов атомов, электронов и позитронов, выходящие веером из полюса, не в состоянии самостоятельно без привода перемещаться в эфире. Они создают себе сменную систему привода из атрисиков эфира путем синтеза *атрисиковой голограммы*, которая мгновенно материализуется за счет ориентации атрисиков эфира в подобный «атрин» со встречным направлением векторов атрисов серий – это *эфана*. Различие между сериями атринов и эфаны состоит в том, что атрины имеют стационарную систему управления в виде биртрона или яртрона, которые сохраняют их целостность, а эфаны – не имеют, и сохраняют свою целостность только в зоне действия атрисиковых голограмм серий атринов.

Атрисиковая голограмма создается параллельно сериям атринов в отсутствие компенсаций поля серий, и материализовавшиеся эфаны компенсируют поле серий атринов, что исключает создание лишних атрисиковых голограмм сериями атринов.

При сжатии серий атринов внутренними силами биртрона электрона или внешними силами, действующими на атом, уменьшаются расстояния между энергетическими уплотнениями (квантами действия) вдоль серий. Для восстановления соответствия между плотностью квантонов в сжатых сериях и их энергией векторы первых квантонов серий создают атрисиковые голограммы, которые материализуются за счет атрисов эфира. Энергия сжатой серии приходит в соответствие с новой плотностью квантонов в ней.

Если вистры биртрона отсекают избыточную энергию, то создается электрическое поле – *пострино*. Генерирование гравитонов, расилов и магнитных полей имеет свою специфику, которая будет рассмотрена позже.

Космический Разум, который разработал единую сквозную программу всех физико-химических свойств атомов и соединений из них, стоит у начала цепочки творения грубой и тонкой материи.

Атомы образуются из пакетов нейтронов при их радиоактивном распаде. Пакеты нейтронов синтезируются из атрисиков эфира частицами – *перунисами*, которые имеются на всех космических телах Вселенной. Для синтеза перуниса из эфира необходима синхронная работа четырех отдельно взятых единиц Космического Разума – четырех Богов.

1.3. Механизм перемещения серий квантонов в эфире

В материальном мире движение изолированной серии квантонов невозможно. Серии квантонов могут перемещаться относительно других, параллельных серий (эфан), отталкиваясь друг от друга и перемещаясь в диаметрально противоположные стороны (рис. 6). Полюса квантонов серии и эфаны накануне начала движения располагаются практически в одних точках Π_1 и Π_1^1 ; Π_2 и Π_2^1 ; Π_3 и Π_3^1 (рис. 6, t_1). Между собой серия и эфана стягиваются каналами атросцепов

К. В это время векторы атрисов $H_1^+ - H_3^+$ и H_3^+ имеют максимальную величину, а векторы $H_1^- - H_3^-$ и H_3^- (рис. 6, t_1) равны нулю.

Силовая связь за счет межатрисных каналов (К) удерживает рядом серии частицы и серии эфаны, а отталкивание между векторами атрисов второго вида H^- и H_3^- приводит к их взаимному смещению. За половину периода пульсаций векторов атрисов квантонов серии атрина и эфаны происходит смещение полюсов квантонов серии и эфаны в противоположные стороны относительно полюса Π_3 своего начального положения (рис. 6, t_2) на величину амплитуды A_0 колебаний вектора атрисов квантона.

Очень важно понять тот факт, что асинхронно колеблющиеся векторы H и H_3 взаимно отталкиваются, так как они направлены навстречу друг другу, что приводит в движение серию и эфану в диаметрально противоположных направлениях. После достижения серий и эфаной максимальной скорости движения в противоположных направлениях пульсационное расширение атрисиков уменьшается. Серия E и эфана E_3 стремятся уйти друг от друга. Между векторами H и H_3 возникает сила притяжения. Начинается процесс торможения серии и эфаны. К концу полупериода серия и эфана выдвигаются на максимальную величину A_{max} относительно начального положения. В момент максимального смещения серии и эфаны за пределами серии оказываются два квантона эфаны Θ_1^+ и Θ_2^+ (рис. 6, t_2).

Нулевая часть вектора квантона Θ_3^- , которая расположена с правой стороны полюса Π_3^I эфаны, за время прекращения перемещений серий и эфаны создает атрисиковую голограмму, копирующую квантоны эфаны, вышедшие за пределы серии. Атрисиковая голограмма материализуется за счет атрисов эфира, и происходит «наращивание» эфаны Θ_4^+ и Θ_5^+ (рис. 6, t_2).

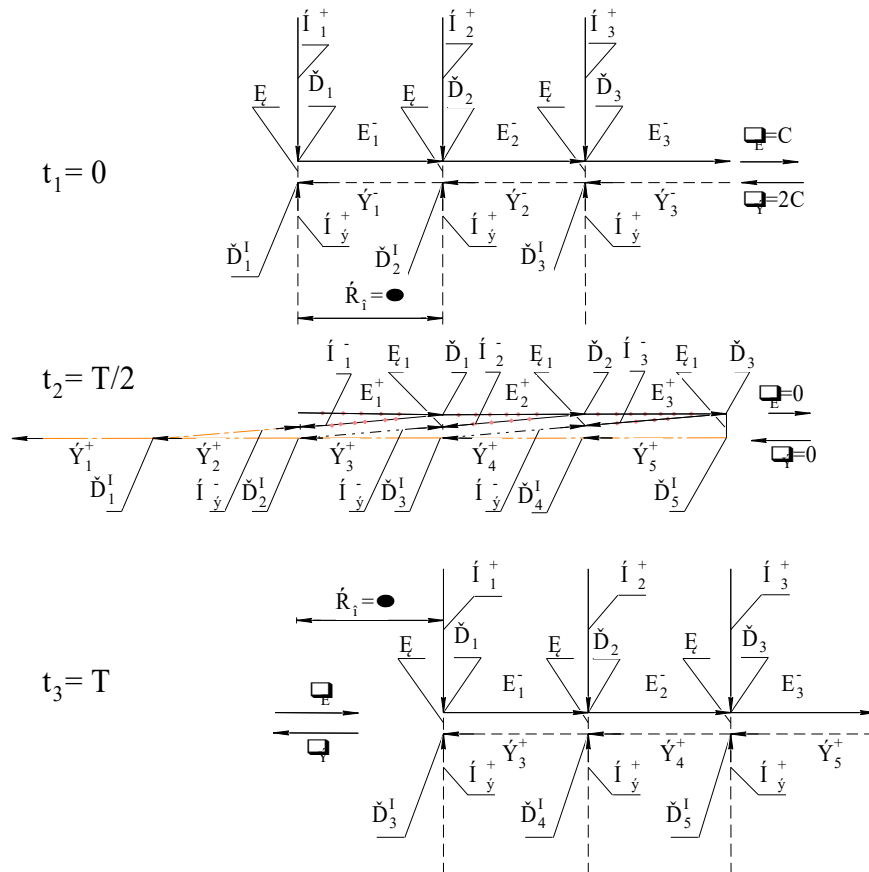


Рис. 6. Движение серии квантонов E_1-E_3 по методу каналového вытеснения:

Π и Γ – полюса квантонов серии и эфаны; H и H_3 – векторы второго вида атрисов квантонов;

T и A_0 – период и амплитуда пульсаций векторов атрисов квантонов;

λ – длина волны вектора атрисов квантона, которая равна его максимальной амплитуде пульсаций;

K – межатрисные каналы, ведущие к взаимному притяжению серии и эфаны.

Далее начинается второй полупериод колебаний векторов атрисов, и H^- и H_3^- начинают сокращаться, а H^+ и H_3^+ – увеличиваться. Между ними создается сила притяжения, что приводит серию E и эфану E_3 к движению в диаметрально противоположном направлении. Такое относительное движение серии и эфаны назовем безынерционным.

Утратившие патронат серии последние квантоны эфаны переходят в эфир. Накануне второй половины периода пульсаций векторов атрисов квантонов атрисики первого квантона серии устанавливают силовую связь с синтезированными квантонами эфаны. Устанавливаются каналы атросцепов между полюсами квантонов атрисов серии и эфаны K_1 , расположенные напротив друг друга: $P_3 - P_5^1$, $P_2 - P_4^1$ и $P_1 - P_3^1$ (рис. 6, t_2).

Второй полупериод колебаний векторов атрисов квантонов происходит без взаимного смещения серии и эфаны. Смещение серии на величину A_0 в пространстве сохраняется (рис. 6, t_3). В первую половину периода колебаний векторов атрисов квантонов серия движется, а во вторую – покоится. Можно сказать, что серия в пространстве перемещается «прыжками» с «замиранием». Во время «прыжка» средняя скорость смещения серии равна удвоенной скорости света, а средняя скорость за период колебаний – скорости света. Во второй период колебаний векторов атрисов смещение серии на величину A_0 повторяется. Так совершается перемещение серий квантонов в пространстве внутри всех нуклонов и электронов ядер атомов, а также фотонов и нейтрино.

Такое перемещение серий не имеет аналогов перемещений в материальном мире, так как является *безынерционным движением*: серия и эфана движутся относительно друг друга только во время взаимного отталкивания, а затем гасят свои скорости в результате взаимного притяжения.

В момент синтеза пострино, гравитонов или расилов их серии получают программу, которая управляет направлением их движения. Атрисиковая голограмма создается и материализуется пульсирующими концевыми векторами атрисиков серий вистр, атринов и витр, когда возникает необходимость устранить препятствия в работе системы частиц или атомов. Создание и материализация атрисиковой голограммы осуществляются за промежуток времени от достижения амплитуды пульсирующими концевыми векторами атрисов практически нулевого значения и до времени начала роста амплитуды пульсаций. Так как период пульсаций векторов атрисиков всех серий атомов сохраняется величиной порядка 10^{75} с, то естественно, что время создания атрисиковой голограммы и ее материализации не превышает 10^{-100} с.

1.4. Стандарт основ Атрисной физики

1. Мировой эфир состоит из атрисов – продольных частиц бесконечно малого, постоянного сечения, разделенных пополам двойной связующей перегородкой – атросцепом. Одна половина атриса проявляет магнитные, а вторая – электрические свойства. Это атрисики.

2. В атрисах электрические и магнитные атрисики непрерывно пульсируют в противофазе, создавая иллюзию колебаний около атросцепа – полюса.

3. Средняя минимальная скорость движения свободного конца атрисика относительно атросцепа равна удвоенной скорости света.

4. Так как каждый атрис имеет только один атросцеп, то каждый атрисик проявляет векторность. В атрисе векторы атрисиков всегда направлены к атросцепу.

5. Атрисы проявляют способность к пучкованию. Если в пучок объединяется количество атрисов, равное $A^* = 1,84 \cdot 10^{33}$ штук, то они проявляют новое свойство: отклоняют пучок атрисиков второго вида от прямолинейного расположения, сохраняя с ними силовую связь при помощи каналов атросцепа.

6. Один пучок атрисиков одного вида может при помощи каналов атросцепа установить силовую связь со вторым пучком атрисиков того же вида и направления векторов атрисов, создав единый вектор атрисов, который будет пульсировать около общего атросцепа – полюса. Атрисы второго вида также создают общий вектор – формируется квантон.

7. В квантоне векторы атрисов пульсируют около общего полюса, имеют амплитуду пульсаций, равную максимальной длине атрисиков одного или второго вида.

8. В пучках вдоль атрисиков квантонов могут создаваться уплотнения в виде страт – изостраты, количество которых всегда соответствует количеству квантонов, объединенных в серию.

9. Серия квантонов создается при последовательном подсоединении векторов атрисов одного вида и одного направления вдоль одной прямой. В сериях квантонов векторы атрисов пульсируют асинхронно около собственных полюсов без перемещений в пространстве.

10. В частицах поля серии квантонов располагаются параллельно (пострино, гравитоны, расилы), а у нуклонов атомов, электронов, позитронов, вистр выходят из одной точки, расходясь веером с углом раскрытия серий атрисов и вистр, равным 12° , а у фотонов – 60° .

11. Серии квантонов создают устойчивую структуру, если в их состав входит $A = 1,84 \cdot 10^{33}$ штук квантонов.

12. Атрины в ядрах атомов совершают циклические колебания, перемещаясь по замкнутым траекториям, двигаясь по методу канального вытеснения: серии синтезируют из эфира параллельные серии с обратным направлением векторов квантонов – эфану и, взаимно отталкиваясь, перемещаются в диаметрально противоположные стороны. В направлении движения эфана наращивается, и серия перемещается дальше.

13. Серии пострино, гравитонов и расилов перемещаются в пространстве по методу канального вытеснения.

14. Пучок атрисов в количестве больше, чем $n \cdot A^*$, где $n > 10^3$, приобретает свойство мышления, создавая изостраты, выражающие законченную мысль. Так устроено мышление у Творцов. Чем больше значение n в пучке атрисов, тем большими мыслительными способностями обладает субъект. У Творцов $n = A^*$.

15. Система серий может мгновенно, в конце каждого полупериода пульсаций векторов атрисов, индуцировать в направлении начала пульсаций после минимального отклонения свои изостраты, синтезируя из эфира себе подобные или «сочиненные» образы.

16. Относительное движение серий и эфан, а также серий в спарках гравитонов, пострино и расилов является безынерционным, так как в конце каждого полупериода пульсаций взаимное относительное движение прекращается из-за возникновения сил притяжения, ведущих к полному торможению серий и эфан [6– 10].

Выводы к разделу

Существующие в природе структура и физические свойства элементарных частиц эфира – атрисов - открыты Атрисной физикой.

1. Мировой эфир состоит из бесконечного множества атрисов. Плотность эфира чрезвычайно велика. В 1 см^3 содержится столько атрисов, что из них можно синтезировать атомы на 10^{30} планет, как наша Земля, не исчерпав из объема все атрисы.

2. Атрисы в эфире могут создавать пучки атрисов. Материальный и духовный миры построены из пучков, в состав которых входит $A^* = 1,84 \cdot 10^{33}$ атрисов. Если в пучке находится nA^* атрисов, где $n > 2$, то такой пучок приобретает способность к мышлению.

3. Открыта природа перемещений частиц всех видов полей, фотонов и расилов, которые являются безынерционными из-за взаимного полного торможения серий и эфан в конце каждого полупериода пульсаций векторов атрисов квантонов.

2. ОСНОВЫ ЯДЕР АТОМОВ

*Оригинальная точка зрения
сначала представляется шуткой
и причудой, затем кощунством и
предательством и, наконец, – истиной
в последней инстанции.*

Дж. Б. Шоу

Введение

Наука Земли по изучению строения ядер атомов продолжает идти по пути Резерфорда и его сотрудников, которые изучали структуру ядер атомов по рассеянию α -частиц при прохождении их через тонкие слои вещества. В дальнейшем ученые шли по пути замены бомбардируемых частиц и увеличения их энергии, а также подмены мишеней. Почти за столетие в мире созданы сотни установок с экзотическими названиями «Дэзи», «Дорис», «Петра», «Гера», «Аргус», «Джет», «ТФТР», Большой адронный коллайдер и др., в которых заряженные частицы разгоняют до величины кинетической энергии порядка 1000 ГэВ ($\Gamma=10^9$) и сталкивают между собой. Далее исследуют направление и энергию полученных осколков, а по осколкам судят о строении ядер атомов. В результате этих титанических усилий созданы общепризнанные гипотезы о существовании кварков и глюонов, адронов и мезонов, очарования и прелести, однако истинное строение ядер атомов остается тайной Природы.

В Объединенном институте ядерных исследований (ОИЯИ) работает 6000 сотрудников. Здесь ведут исследования представители 18 стран-участниц (девяти молодых стран – бывших республик СССР, Болгарии, Вьетнама, КНДР, Кубы, Монголии, Польши, Румынии, Словакии, Чехии) и четырех ассоциированных членов (Венгрии, Германии, Италии, ЮАР). Аналогичные исследования ведутся в Европейском центре ядерных исследований (ЦЕРН), Арагоне, Ливерпуле, Лос-Аламосе, Окридже и других национальных центрах США, где затраты на «исследовательскую душу» почти в 100 раз больше, чем в ОИЯИ.

Да, ядерные центры экспериментально открыли сверхтекучесть и сверхпроводимость, ядерные фильтры и чудо-мембраны, гибкие электронные схемы и радиоизотопы «на заказ», датчики радионуклидов и установки медицинской диагностики и терапии, а также другие, далекие от строения ядер атомов, свойства материи и приборы...

Радужный спектр «радиоактивных частиц», «открытый» ядерными центрами, представляет собой быстро распадающиеся осколки ядер, а описание их свойств является результатом «демократического голосования», что позволяет признать фантазии ученых фундаментальной наукой.

Открытие структуры ядер атомов, а тем более протекания процессов колебания энергии в ядрах и взаимодействия атомов с электромагнитными и гравитационными полями для ученых мира стали недостижимой мечтой.

Апофеозом отсутствия осознания строения ядер атомов стал стговор теоретиков о признании существования гипотетических шести цветных кварков с изменяющейся массой, которые представляют собой кирпичики, входящие в состав всех ядер атомов. Признав существование кварков, ученые «забыли», что они гипотетические частицы.

Полное отсутствие знания элементарных процессов, протекающих в ядрах атомов, а следовательно, и во Вселенной, становится очевидным из направлений экспериментальных «исследований гипотетических процессов и частиц».

В 2004 году 27-километровому ускорителю элементарных частиц ВЦЕРНе исполнилось 50 лет. Тайну строения ядра атома он не открыл, зато его обслуга подарила миру медицинские сканеры и Интернет в том виде, который знаком сейчас каждому.

Ученые предполагают, что из «кварк-глюонной плазмы» состояла очень горячая Вселенная, когда кварки и глюоны еще не могли объединиться в электроны, протоны и нейтроны (сразу после Большого взрыва). Из одной ошибочной гипотезы о строении ядер атомов из кварков создается новая гипотеза о том, что до Большого взрыва (произошедшего в головах ученых) существовала «кварк-глюонная плазма», о которой природа даже не мечтала.

Группа ученых из восьми стран начала сооружать в Антарктиде, вблизи Южного полюса, наибольшую в мире ловушку для нейтрино. Общий объем ловушки будет равен одному кубическому километру, в котором разместятся 4800 детекторов, установленных в шахтах, пробуренных во льду глубиной до 2500 м, – сообщил профессор университета «Тиба» (Япония) Сигеру Иосида. Ученые не представляют даже приблизительно физическую сущность нейтрино, однако втягивают свои правительства в огромные расходы, чтобы их «регистрировать».

Экспериментаторы произвели 22 тысячи лазерных выстрелов, мощность каждого из которых достигала триллиона Ватт (этой энергии достаточно, чтобы осветить все дома Северной Америки), по пучку электронов из ускорителя и «произвели на свет» сто электрон-позитронных пар. Отсутствуют знания структуры и механизма движения фотонов, неизвестны структуры электрона и позитрона, а вот электрон-позитронные пары экспериментаторами были «получены».

При обстреле электронов фотонами невозможно получить электрон-позитронную пару, так как у позитрона должна иметься система управления, которая может быть создана в ядре атома. Синтезировать позитрон из электрона можно, если изменить направление движения серий атринов электрона на 180° .

Для спектрометра, который будет участвовать в экспериментах по определению «массы нейтрино», проводимых в Центре физических исследований города Карлсруэ (Германия), изготовлена стальная «бочка» длиной 24 м, диаметром 10 м и весом 200 т. «Научный прибор» начал работу в 2008 году («Наука и жизнь», 2007, № 6, с. 25), однако определить «массу нейтрино» ученым не удастся, так как они не знают, что такое масса вообще.

Как пишет журнал «Успехи физических наук» (2008, т. 178, № 8, с. 867–874), перед физикой высоких энергий стоят две наиболее важные задачи – это поиск новых частиц и явлений, которые не укладываются в рамки стандартной модели, и поиск бозона Хиггса.

Ученые даже не пытаются умом проникнуть через окна следствий физических явлений и эффектов в тонкий мир структур ядер атомов, так как они очарованы математической эквилибристикой, сдобренной гипотезами. Ученые утратили ощущение реальности физического мира. Научные школы добиваются международного признания, но не постижением Истины, которая сокрыта в тонком мире, недоступном для инструментальных измерений, а путем строительства бесполезных, и даже вредоносных, экспериментальных установок.

Ученые Йельского университета (США) установили, что массовое сознание интуитивно отторгает научные знания. Этот психологический феномен получил название «сопротивление науке». По моему мнению, массовое сознание породило «сопротивление науке» в результате того, что потребительски-гипотетическая наука не смогла открыть причины физических явлений и эффектов, задавив сознание людей математической эквилибристикой.

До тех пор, пока не будут признаны уже открытая природа элементарных процессов в ядрах атомов и взаимодействие ядер атомов с эфиром, ученые будут создавать грандиозные установки, чтобы «подтвердить» ошибочные гипотезы.

Поэтому, открытие фундаментальной физики ядер атомов является самой актуальной наукой современности.

2.1. Представления современной науки о нейтронах

Нейтрон - нейтральная (не обладающая электрическим «зарядом») элементарная частица со спином, равным $1/2$ и массой, очень близкой к массе протона ($m_p=1836,1051 m_e$, $m_n=1838,68 m_e$).

Как составная часть ядер, нейтрон и протон называются нуклонами. Между нейтроном и протоном существует далеко идущее свойство, которое выражается в равенстве спинов и близости масс, в способности к взаимопревращениям (например, при распаде, в одинаковости ядерных сил, действующих между парами нуклонов, p-p, n-p и n-n), в пределах точности имеющихся данных. Это сходство позволяет рассматривать нейтрон и протон как изотонический дублет, т.е. как два состояния одной частицы - нуклона, различающиеся только наличием или отсутствием электрического «заряда».

Аналогия в поведении нейтронов и протонов проявляется в наибольшей мере во взаимодействиях нуклонов внутри ядер (в особенности легких) и в столкновениях с ядрами быстрых нуклонов с энергией в десятки МэВ и выше. В этих случаях «кулоновское отталкивание» не препятствует протонам входить в сферу действия ядерных сил. Ход явлений определяется

ядерными силами, одинаковыми для нейтрона и протона, тогда как более слабые электромагнитные взаимодействия, различные для нейтрона и протона, приводят к поправкам, часто несущественным. В отличие от этого, при малых энергиях (условная граница - высота «кулоновского барьера» для протонов в тяжелых ядрах), т.е. энергия 15 МэВ на первый план выступает различие в поведении нейтронов и протонов, тем более резкое, чем ниже их энергия. Для медленных протонов главным процессом является электромагнитные: ионизация и возбуждение атомов среды, рассеяние в «кулоновском поле ядер». Для нейтронов основными являются процессы взаимодействия с ядрами посредством ядерных сил. Каждый нейтрон поглощается в конечном счете ядром, вызывая ту или другую ядерную реакцию. Большая эффективность нейтронов в осуществлении ядерных реакций, своеобразие взаимодействия с веществом совсем медленных нейтронов (резонансные эффекты, дифракционное рассеяние в кристаллах и т.п.) делают нейтрон исключительно важным орудием исследования в ядерной физике, а также в физике твердого тела определяют их ключевую роль в ядерной энергетике.

В основном виде нейтроны могут существовать только кратковременно. Одна из причин - поглощение ядрами (в плотных средах время жизни нейтрона до поглощения измеряется микросекундами, сотнями микросекунд). Вторая причина - радиоактивность свободного нейтрона: с периодом полураспада около 12 минут нейтрон превращается в протон, электрон и антинейтрино. В виду этого свободные нейтроны возникают в природе или получаются в природе только в результате ядерных превращений. Так считает современная наука. В природе первичным является нейтрон, а в основном, пакеты нейтронов, которые в результате радиоактивного распада превращаются в атомы. Так как нейтроны практически не производят ионизации и возбуждения атомов, наблюдение (детектирование) нейтронов производится путем регистрации продуктов вызываемых ими ядерных реакций, для чего разработан целый ряд методов.

Таковы современные представления о нейтронах, которые свидетельствуют о том, что ученые мира уделили огромное внимание и затратили много сил для постижения строения нейтрона. Одни экспериментально исследовали макропроцессы, без которых невозможно было бы открыть реальность и понять строение и процессы на микроуровне, другие - теоретики, увязывали экспериментальные результаты в гипотетический узел математических преобразований, создавая виртуальный мир [1-5].

Для постижения строения материи необходимо открыть физическую сущность всех ядер атомов, полей и микрочастиц, а уже потом упаковывать физические силовые взаимодействия в математические преобразованиями и формулы.

2.2. Атрисная структура нейтрона

Нейтрон – это сложная частица. Накануне начала нового периода циклических колебаний атринов нейтрон представляет собой диск, с наружным радиусом, равным $1,21245 \cdot 10^{-12}$ м и толщиной порядка 10^{-65} м (рис. 7), состоящий из 10 слоев.

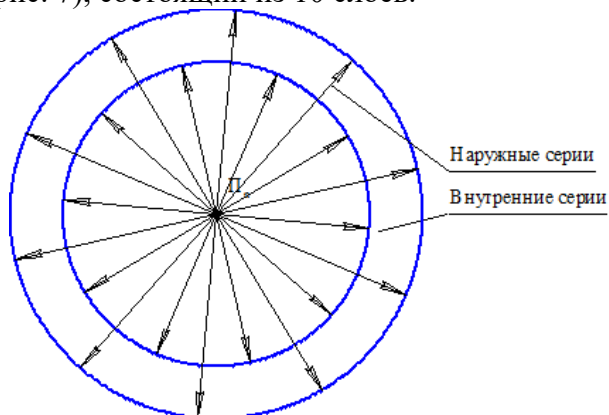


Рис. 7. Схематическое изображение нейтрона.

Физическая основа нейтрона – пульсэд - состоит из двух совмещенных слоев E_n (рис. 8) и определяет спин, магнитный момент и массу. В состав физической основы входит 3600 фотонов – это *атрины*. Каждый атрин (а также любой фотон) состоит из одного и того же количества серий ($A^* = 1,84 \cdot 10^{33}$). Половина атринов нейтрона имеет большую энергию и создают внутренние серии,

которые распределены равномерно и направлены векторами от полюса, заполняя весь диск нейтрона. Вторая половина атринов имеет энергию, равную половине энергии электрона – наружные серии. Каждая наружная серия располагается между двумя внутренними (рис. 7). Внутренние серии создают спин и магнитный момент, направленный в одну сторону, а наружные – в диаметрально противоположную. Так как длина серии обратно пропорциональна энергии атрина, то атрины с меньшей энергией имеют большую по сравнению с внутренними сериями длину. Параллельно пульседу нейтрона располагается система привода серий нейтрона. Это аналогичная пульседу система с противоположным направлением векторов атрисов серий, непрерывно индуцируемая из эфира.

Систему привода в движение серий атринов пульсуда назовем *бифана* B_n (рис. 8). Она также состоит из двух совмещенных дисков. Управление процессом колебаний серий атринов осуществляет спаренный диск (*яритис - лада*), состоящий из 3600 фотонов, энергия каждого из которых равна энергии кванту действия – это *вистра*.

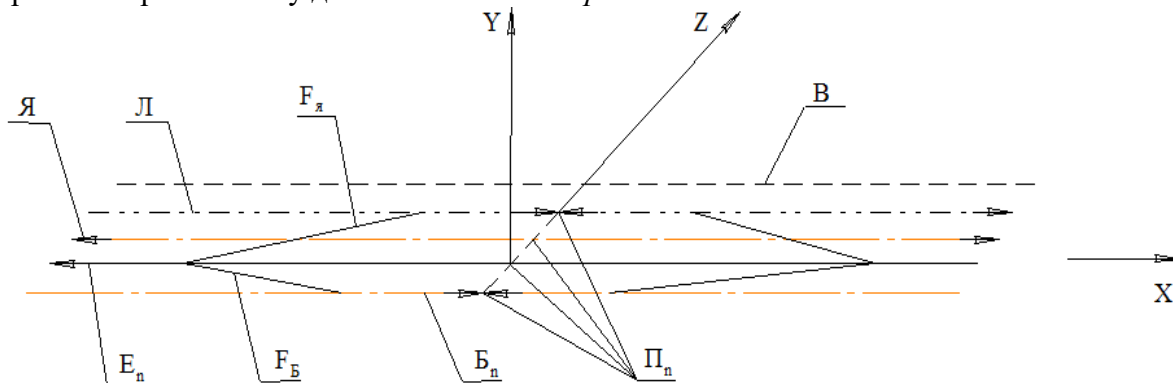


Рис. 8. Вид нейтрона с торца.

Приводит в движение яритис (Я) и управляет ним аналогичный диск – лада с обратным направлением векторов серии, которая обладает памятью 10^{70} ячеек памяти, куда записываются цифры от 1 до 10^{20} . Еще у нейтрона над вистой лады, где записана программа управления работой нейтрона, располагается спаренная «восьмерка» из магнитных атрисиков, обеспечивающая мышление – это *ведунья* В (рис. 8).

2.3. Структура яритиса и лады

Яритис состоит из 3600 вистр, расположенных в одной плоскости и имеющих один общий полюс (рис. 7). Вектора атрисов всех магнитных серий яритиса направлены от полюса. Если бы мы смогли увидеть каждую серию квантонов яритиса, то нам бы представилась следующая картина: длинные и короткие серии чередуются последовательно. Короткие серии (назовем их внутренними) принадлежат одной, а длинные (назовем их наружными) - другой вистрам. Квантоны в сериях яритиса никогда не пересекают полюс и не выходят на хорды. Они совершают пульсации около своих положений равновесий. Серии двух вистр с одинаковой длиной и расположенных симметрично относительно полюса, образуют абсолютно упругие струны, так как вектора их атрисов пульсируют в противофазе. Длина серий вистр определяется амплитудой пульсаций магнитных атрисов квантонов. Вектора квантонов серий вистр лады направлены к полюсу.

Между квантонами серий яритиса и лады устанавливаются атроусы, в результате чего плоскости яритиса и лады притягиваются друг к другу. Вектора электрических атрисов квантонов яритиса и лады стремятся препятствовать объединению серий, взаимно отталкиваясь. Под действием электрических векторов квантонов лады магнитные серии яритиса или сжимаются, когда лада толкает их к полюсу, или растягиваются, когда лада толкает их к периферии яритиса.

Электрические вектора атрисов квантонов E^H наружных серий дивистры H^H направлены в одну сторону, а внутренних E^B - в диаметрально противоположную сторону (рис. 9). Между двумя крайними внутренними сериями (1 и 3) и двумя крайними наружными сериями (6 и 8) дивистры отсутствуют собственные внутренние и наружные серии (0-0' и 0₁-0₁'). В этом “зазоре” располагаются серии соседних дивистр, в результате чего яритис представляет собой единую

систему. Размер серий яритиса всегда равен размеру радиальных серий пульсэда, который обслуживается яритисом. Угол раскрытия серий бивистры яритиса равен:

$$\varphi = \frac{360^\circ}{1800} = 12'00'' ,$$

и никогда не меняется.

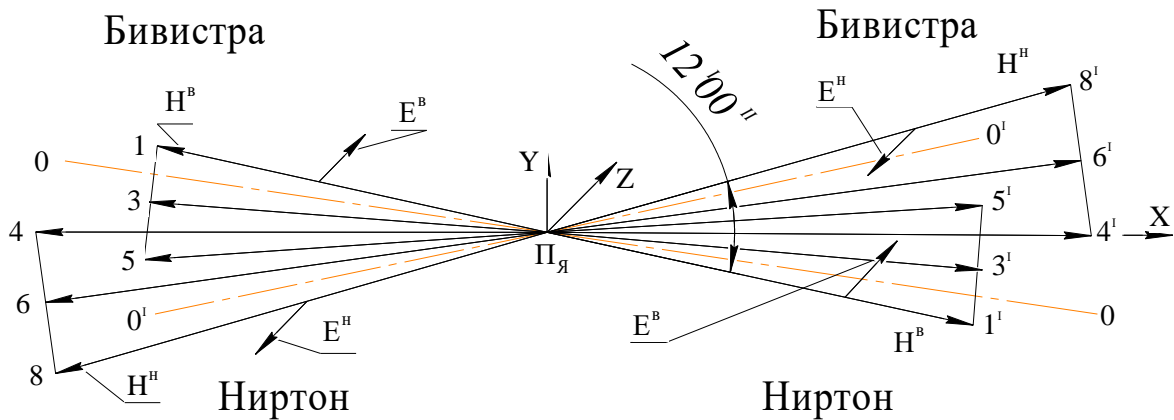


Рис. 9. Распределение серий квантонов в дивистре яритиса.

Яритис и лада объединены в устойчивую частицу – яртрон, в котором сохраняется постоянной частота пульсаций векторов атрисов серий вистр независимо от величины энергии серий атринов, которыми они управляют. Амплитуда пульсаций векторов атрисов серий вистр яртрона обратно пропорциональна энергии серий атринов, которыми он управляет.

Яртрон продолжает свою жизнь в эфире после утраты физической основы – атринов.

2.4. Структура пульсэда

Пульсэд создает все физические свойства нейтрона: спин, магнитный момент, массу, радиус ядра атома, силовое взаимодействие атомов в агрегатных состояниях, радиоактивность и др. Пульсэд имеет электрические серии, которые к моменту начала нового периода циклических колебаний серий квантонов направлены векторами от полюса так же, как и магнитные серии квантонов яритиса (рис. 9). Размер серий пульсэда обратно пропорционален количеству квантов действия энергии в них. Поэтому серии, обладающие большей энергией, будут короче тех, которые обладают меньшей энергией.

Так как пульсэд содержит количество атринов в 1800 раз больше по сравнению с электроном, а у них одинаковые спины, следовательно, спины, создаваемые наружными и внутренними сериями пульсэда должны частично компенсировать друг друга.

Если бы нам удалось представить себе серии пульсэда нейтрона в момент времени накануне нового периода циклических колебаний, мы бы увидели диск (рис. 7), из центра которого исходит бесконечное количество серий, как спицы у колеса. Наружные серии атринов пульсэдов образуют диск большего диаметра, а внутренние - меньшего. В пульсэде серий каждый атрин сохраняет свою индивидуальность, хотя наружные и внутренние серии при радиальном их расположении чередуются последовательно.

Яртроны и биртроны сохраняют постоянной собственную частоту пульсаций векторов атрисов собственных серий при любых силовых воздействиях на них и вынуждают вектора атрисов серий атринов, которыми они управляют, пульсировать с собственной частотой. Это очень важный закон: благодаря закону сохранения частоты пульсаций векторов атрисов серий вистр ярттронов и бирттронов, в материальном мире осуществляется согласование всех силовых обменных взаимодействий. Кроме того, благодаря этому закону во всей Вселенной обеспечивается единый отсчет времени. Гипотеза о том, что «время изменяется, а пространство искривляется», является ошибкой.

Атомы рождаются в результате радиоактивного распада нейтронов или пакетов нейтронов. Пакет нейтронов представляет собой сложенные в пакет диски нейтронов с общей осью

(полюсом). Толщина каждого нейтрона ничтожно мала и не превышает величин 10^{-65} м. В пакете все нейтроны имеют равную энергию.

В яритисе каждого нейтрона записана одна общая сквозная программа для всех физических свойств ядер атомов и соединений из них. Каждому атому включается только тот участок общей программы, который соответствует количеству и порядку чередования протонов и нейтронов в ядре атома.

Радиоактивный распад атома возможен только в том случае, если каждая дискретная его часть (нейтрон, альфа-частица или тяжелый атом) получит хотя бы минимальную энергию для ее самостоятельного функционирования, в соответствии с программой стандартного пакета нейтронов.

Знание законов, действующих в нейтронах и пакетах нейтронов, а также сведения о физических свойствах атомов, полученные экспериментаторами мира, дает возможность рассчитать процессы циклических колебаний серий атринов внутри ядер атомов и открыть причины возникающих физических явлений – это рычаг управления внутриядерными процессами.

Векторы квантонов серии яртронов и биртронов всегда сохраняют постоянной собственную частоту пульсаций. При любых силовых воздействиях яртроны и биртроны вынуждают векторы атрисов серий атринов, которыми они управляют, пульсировать с собственной частотой. Это очень важный закон.

Благодаря закону сохранения частоты пульсаций векторов атрисов серий вистр яртронов и биртронов в материальном мире осуществляется согласование всех силовых обменных взаимодействий. Кроме того, благодаря этому закону во всей Вселенной обеспечивается единый отсчет времени. Гипотеза о том, что «время изменяется, а пространство искривляется», является ошибкой.

Атомы рождаются в результате радиоактивного распада нейтронов или пакетов нейтронов. Пакет нейтронов представляет собой сложенные в пакет диски нейтронов с общей осью (полюсом). Толщина каждого нейтрона ничтожно мала и не превышает величин 10^{-65} м. В пакете все нейтроны имеют равную энергию.

В яритисе каждого нейтрона записана одна общая сквозная программа для всех физических свойств ядер атомов и соединений из них. Каждому атому включается только тот участок общей программы, который соответствует количеству и порядку чередования протонов и нейтронов в ядре атома.

2.5. Стандарт нейтрона

Вистры яритиса и лады, пульсируя в противофазе, при сжатии отгалкиваются в полюсе, а при растяжении – стягиваются, в результате чего амплитуда смещения квантонов серий уменьшается в два раза, что стабилизирует частоту пульсаций векторов квантонов – стандарт.

Частота пульсаций векторов квантонов серий систем управления во всей Вселенной есть величина постоянная. Наружные атрины свободного нейтрона имеют энергию, равную половине энергии электрона:

$$W_{\text{ин}} = \frac{W_e}{2}, \quad (3)$$

где $W_{\text{ин}}$ – энергия наружного атрина и W_e – энергия электрона.

При синтезе из эфира гравитонов, наружные атрины создают момент количества движения, стремящийся вращать пульсэд в одну сторону, а внутренние – в диаметрально противоположную, в результате чего пульсэд поворачивается на угол $12^{\circ}00''$ за каждый период циклических колебаний атринов – спин нейтрона.

Суммарный момент количества движения при вращении пульсэда не пропорционален величине спина нейтрона, так как в его задачу входит поворот пульсэда на угол $12^{\circ}00''$, преодолевая все силы сопротивления.

Величина магнитного момента всегда остается пропорциональной суммарному моменту количества движения, создаваемого хордовыми сериями.

Можно сделать следующие выводы:

- частота пульсаций векторов атрисов серий квантонов всех нуклонов ядер атомов во всей Вселенной есть величина постоянная независимо от энергии атринов и электронов, которыми они управляют;

- во Вселенной нет таких силовых воздействий на материальный мир, которые могли бы изменить частоту пульсаций векторов атрисов квантонов серий яртрона и биртрона;

- яртрон и биртрон вынуждают вектора квантонов серий атринов, которыми они управляют, пульсировать в соответствии с собственной частотой;

- абсолютным эталоном времени (мировой хронометр) во Вселенной является период пульсаций векторов атрисов в сериях яртрона и биртрона;

- новый период циклических колебаний все атрины конкретного ядра атома или электрона начинают одновременно, независимо от величины их энергии. Вектора квантонов серий атринов, имеющих меньшую энергию, продолжают пульсировать без циклических перемещений до завершения максимального периода цикла;

- перемещение серий квантонов в материальном мире является безынерционным – энергия системы при движении не изменяется, так как после относительного перемещения серии и эфаны взаимно тормозятся;

- постоянство спина каждого нуклона ядра атома обеспечивается за счет сброса или набора энергии их внутренними атринами. За один период циклических колебаний серий атринов биртрон электрона поворачивается на угол 2π , а яртрон - $2\pi/1800$ независимо от энергии атринов;

- наружные атрины всех нуклонов ядер атомов имеют энергию, которая равна половине энергии электрона, а энергия внутренних атринов изменяется, что стабилизирует величину спина;

- проявленная масса (определяемая в результате действия гравитации) электрона (после ионизации) у всех электронов Вселенной остается неизменной;

- размер внутренних серий каждого атрина пульсэдов всегда обратно пропорционален собственной энергии;

- в отсутствии стороннего силового действия на серии вистр биртрона и флаты, они восстанавливают свой первоначальный размер (стандарт нейтрона биртрона);

- у фотона вистра увеличивает угол раскрытия серий до $\pi/3$, и работает по управлению сериями фотона самостоятельно, а потому для отличия от названия вистры получила название витра;

- витра индуцирует себе систему – витрис - для осуществления собственного перемещения в критических точках перемещения фотона, за пределами которых самостоятельное перемещение витры становится невозможным.

Из-за наличия избыточной энергии в сериях внутренних атринов может увеличиваться период циклических колебаний серий атринов, но течение времени в системе ядра атома не изменяется. Стороннее гравитационное поле действует на материальные тела только в каждый полупериод циклических колебаний ядер атомов в течение часть времени $T/8$, где T – период циклических колебаний ядра атома.

На фотоны гравитационное поле действует во время трансформации электрических серий будущего гравитона в магнитные. Поэтому фотоны, которые движутся мимо космических тел, будут отклоняться гравитационным полем в сторону этих тел. Искривляется траектория движения фотонов, а пространство не искривляется. Чтобы «искривилось пространство», необходимо изменять в пространстве плотность эфира, которая во всей Вселенной остается постоянной величиной независимо от присутствия в нем материальных объектов. Однако, внутри материальных объектов происходит атрисиковая поляризация эфира, которая производит влияние на уменьшение энергии при выходе электронов из тел и изменение пульсаций векторов атрисов квантонов движение фотонов в прозрачных телах.

Во всей Вселенной действуют одни и те же законы, которые установлены Творцом.

2.6. Законы Творца

1. Закон сохранения частоты пульсаций векторов атрисов квантонов серий всех нуклонов ядер атомов.

2. Закон сохранения плотности атрисов эфира [9] независимо от присутствия в нем материальных объектов. Однако, в объемах материальных тел создается атрисиковая поляризация

эфира, оказывающая влияние на амплитуды пульсаций векторов атрисов квантонов частиц. Энергия отдельно взятой частицы равна скорости света (эффект Черенкова-Вавилова).

3. Яртроны и биртроны вынуждают вектора атрисов серий атринов, которыми они управляют, пульсировать в соответствии с собственной частотой.

4. Размер радиусов внутренних серий атринов пульсэдов устанавливается обратно пропорционально их энергии: чем больше энергия атрина – тем меньше его радиус.

5. Энергия наружных атринов всех частиц и нуклонов атомов равна энергии наружных атринов нейтрона (электрона) – стандарт нейтрона.

6. Энергия наружных атринов спанов может быть больше стандарта электрона, но не может быть меньше стандарта электрона.

7. Энергия внутренних атринов спана не может быть больше энергии внутренних атринов пульсэда.

Для фотонов законы 1 и 3 не выполняются, так как управление фотоном осуществляется только одной витрой, которую фотон вынуждает колебаться с собственной частотой, пропорциональной плотности квантонов в сериях, а радиус серий устанавливается в соответствии с законом 4.

2.7. Циклические колебания серий квантонов нейтрона

Все законы и закономерности циклических колебаний серий квантонов физической основы ядер всех атомов Вселенной сохраняют постоянство. Траектории циклических перемещений серий квантонов физической основы нуклонов ядер атомов повторяют одну и ту же форму. Может изменяться радиус и период циклических колебаний серий, а форма траектории остается прежней. Траектории циклических колебаний серий пульсэда нейтрона такие же как у протона электрона и позитрона.

Так как у всех внутренних атринов пульсэда магнитные вектора атрисов квантонов направлены в одну сторону H_r^B , а наружных - в диаметрально противоположную (рис. 8), то при выходе серий из радиусов на хорды, внутренние серии создают спин P^B и магнитный момент H_r^B направленный в одну сторону, а наружные P^H и H_r^H – в диаметрально противоположную (рис. 10).

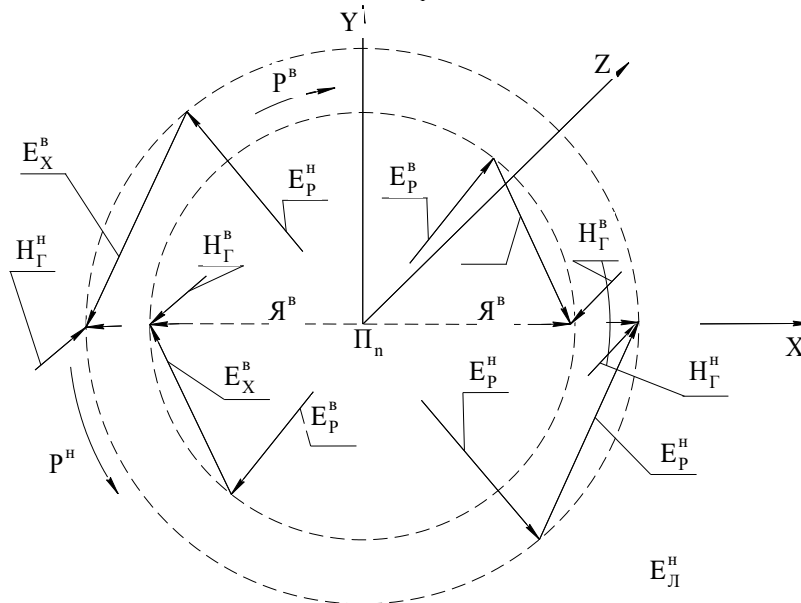


Рис. 10. Фаза расположений серий одного квадрона нейтрона накануне формирования гравитонов H_r его сериями.

Поэтому нейтрон создает результирующий спин и магнитный момент, которые являются алгебраической суммой всех составляющих, создаваемых наружными и внутренними атринами. На рис. 10 стрелками P^B и P^H показано направление спинов, создаваемых наружными и внутренними атринами при выходе их серий на хорды.

Согласно стандарта нейтрона, яртроны сохраняют радиусы серий вистр наружных и внутренних серий яртрона неизменными. При радиоактивном распаде нейтрона могут уменьшать

радиусы вистр только внутренние серии яртрона, если возникает необходимость увеличить энергию внутренних атринов пульсэда.

Так как закономерности циклических колебаний всех серий атринов одинаковы, то рассмотрим процесс выхода на хорды четырех серий одного квадрона нейтрона. Пусть слои атринов нейтрона располагаются в плоскости УХ. В этих же плоскостях располагаются слои дивистр лады и яритиса (рис. 11, а).

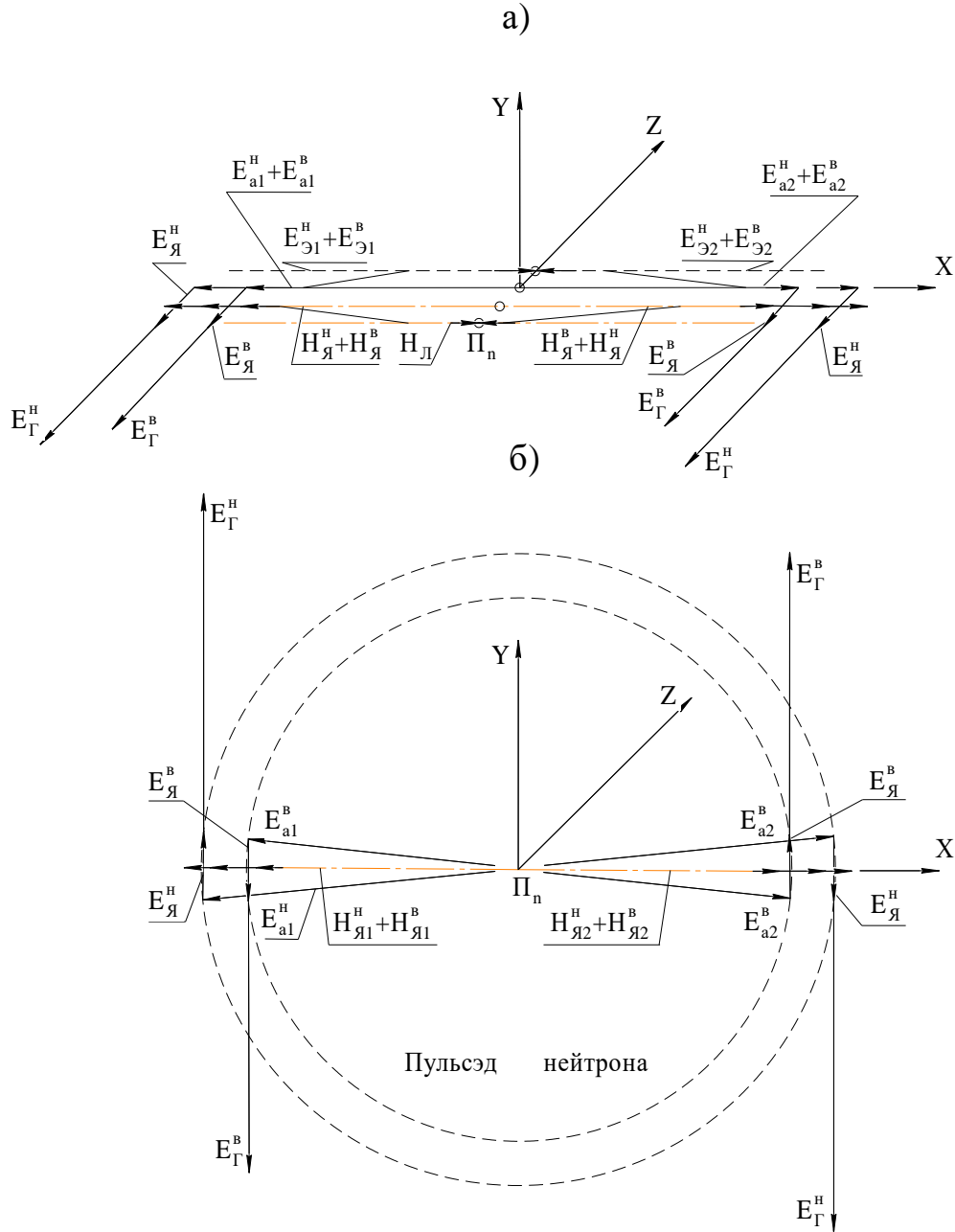


Рис. 11. Стадии выхода серий атринов пульсэда нейтрона на хорды:

- а) выталкивание эфанами серий атринов за пределы радиусов и их удержание электрическими векторами $E_я^H$ и $E_я^B$ яритиса, которые синтезируют из эфира электрические серии $E_г^H$ и $E_г^B$;
- б) разворот серий $E_я^B$ и $E_я^H$ на 90° в разные стороны, так, что $E_г^H$ и $E_г^B$ - создают спин в диаметрально противоположных направлениях.

При выходе серий квадронов на хорды, яритис выталкивает за пределы радиусов первые квантоны лады. Электрические вектора атринов первых квантонов серий яритиса $E_я^H$ и $E_я^B$ устанавливают силовую связь с электрическими векторами первых квантонов наружных и внутренних E_{a1}^H и E_{a1}^B серий атринов каждого квадрона и удерживают их в пределах радиусов. Серии эфан $E_{\alpha 1}^H$ и $E_{\alpha 1}^B$ и $E_{\alpha 2}^H$ и $E_{\alpha 2}^B$ пульсируют в это время в противофазе и представляют собой упругие струны, которые пытаются вытолкнуть серии $E_{a1}^H + E_{a1}^B$ и $E_{a2}^H + E_{a2}^B$ за пределы радиусов

нейтрона. Электрические вектора E_a^H и E_a^B улавливают первые вектора квантонов серий атринов и удерживают в плоскости лады, в результате чего электрические вектора E_a^H и E_a^B разворачиваются на 90° в плоскости XZ (рис. 11, а).

Свободные концы электрических векторов первых квантонов яритиса E_a^H и E_a^B создают атрисиковую голограмму и индуцируют из атрисиков эфира серии E_r^H и E_r^B , являющиеся точными копиями серий вистры яритиса (рис. 11, а).

Эфаны продолжают выталкивать серии квадронов атринов за пределы радиусов. Так как между плоскостями серий атринов и лады установлена силовая связь атроусами, то эфаны не могут дальше выталкивать серии атринов, если выталкиваемые серии атринов не будут располагаться в плоскостях атринов. Поэтому, электрические вектора атрисов первых квантонов серий яритиса E_a^H и E_a^B разворачиваются на угол 90° : внутренние – в одну, а наружные – в диаметрально противоположную стороны E_r^H и E_r^B (рис. 11, б). Теперь эфаны могут выталкивать серии атринов на хорды. Ниртон серий $E_{эп}^a$ эфан каждого квадрона пульсирует в противофазе, что превращает их в абсолютно упругие струны. В результате этого амплитуды пульсаций векторов атрисов серий атринов увеличиваются в два раза по сравнению с той, которая была у серий на радиусах.

Заданную удвоенную амплитуду пульсаций векторов атрисов хордовых серий атринов вистры яртрона принимают за стандарт. У хордовых серий атринов образуется удвоенная амплитуда пульсаций при сохранении прежней частоты. Разворот на 90° электрических векторов атрисов первых квантонов серий яритиса включает три процесса:

- 1) генерирование из квантонов эфира сериями $E_{Г1}$ эфаны $E_э^Г$;
- 2) выталкивание эфаной $E_э^Г$ серий $E_{Г1}$ в направлении яритиса;
- 3) выталкивание эфаной $E_{эп}^a$ серий атринов E_a^B за пределы радиусов на хорды (рис. 12, а).

Квантон за квантоном радиальных серий атринов выталкиваются радиальной эфаной на хорды. Развернем плоскости атринов, показанных на рис. 5 на 90° , чтобы наглядно иллюстрировать процесс синтеза гравитонов (рис. 12).

Первый электрический вектор E_r под действием выталкивания эфаной $E_э^Г$ упирается в электрический вектор первого квантона яритиса $E_{я1}$ (рис. 12, а). Чтобы избежать сжатия, первый квантон $E_{Г1}$ изменяет фазу пульсаций атрисов на 180° , и становится «прозрачным» для второго электрического квантона серий E_r . Второй квантон $E_{Г2}$ перемещается к электрическому вектору $E_{я1}$ первого квантона яритиса и устанавливает с ним силовую связь. Мгновенно синхронизируются колебания магнитных векторов атрисов между первым и вторым квантонами $H_{Г1}$ и $H_{Г2}$ (рис. 12, б) и первый квантон приподнимается над вторым, трансформируясь в будущий магнитный гравитон.

Чтобы серии гравитона не утратили связь с нейтроном, электрический вектор $E_{л1}$ первого квантона лады устанавливает силовую связь с электрическим вектором $E_{Г1}$ будущего гравитона, индуцируя сериям $E_r^Г$ такую же плотность квантонов, какую имеют радиальные серии атринов накануне начала нового полупериода циклических колебаний серий. Серии $E_r^Г$ сжимаются, создав импульс силы, который сразу же гасится сериями $E_r^Г$ в результате их торможения у вектора $E_{я1}$. Во время сжатия серий $E_r^Г$ вся система нейтрона поворачивается на угол $\Delta\varphi$ около полюса Π_n нейтрона в направлении серий $E_r^Г$ создается спин нейтрона.

По завершении трансформации электрических серий $E_r^Г$ в магнитные серии $H_{Г}^n$, у серий $H_{Г}^n$ (рис. 12, в) остается силовая связь только между электрическими векторами $E_r^Г$ и $E_{л1}$ гравитона и лады. Электрические вектора атрисов магнитной серии $E_{л1}$ лады разворачиваются на 90° и укладывают серии $H_{Г}$ вдоль серий лады. Будущий гравитон увеличивает свои серии до размеров серий лады. Электрический вектор лады теряет силовую связь с гравитоном из-за изменения на 180° направлений пульсаций электрических векторов атрисов гравитона.

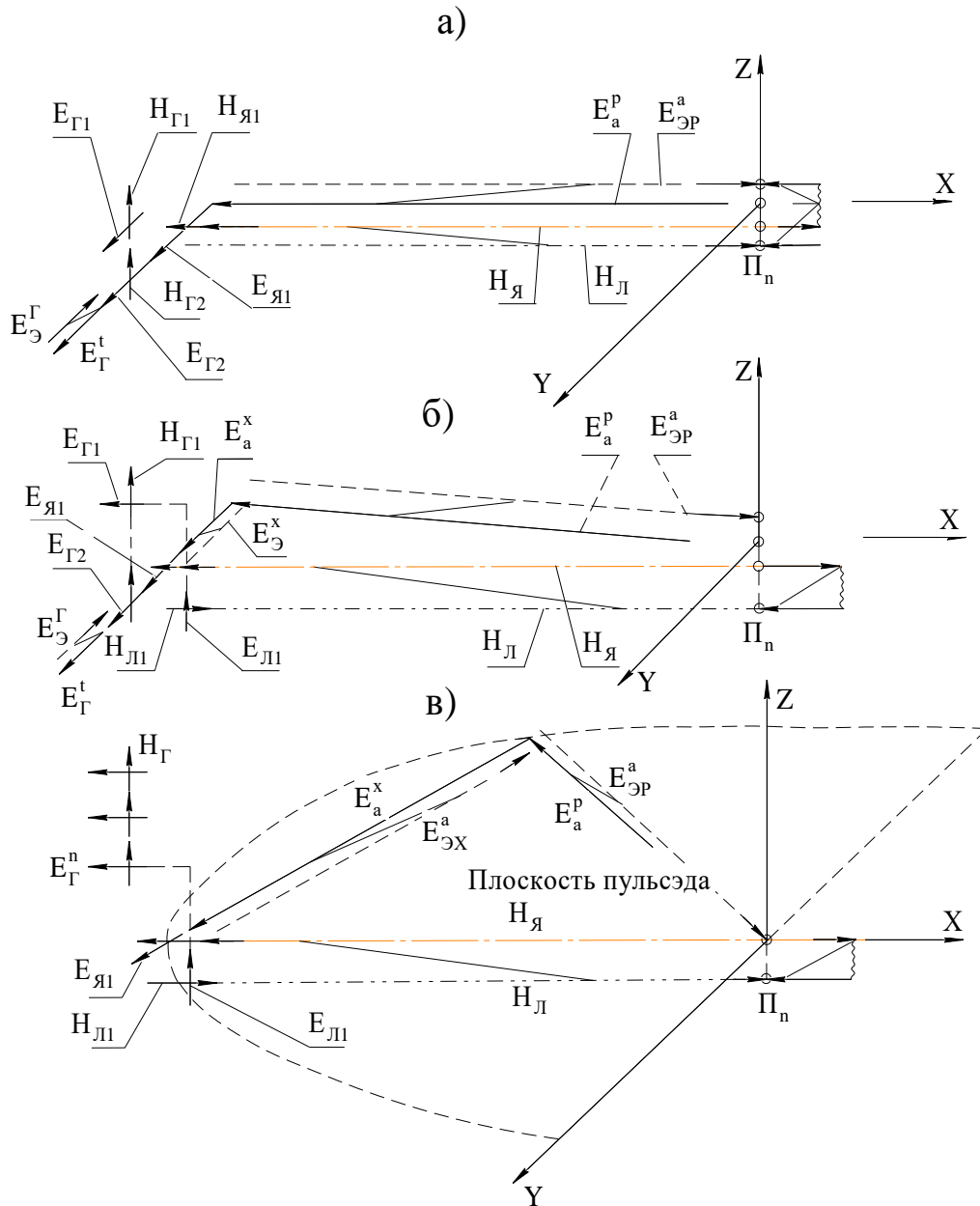


Рис. 12. Фазы трансформации гравитона хордовыми сериями пульсэда нейтрона:
а) выход радиальной серии атрина пульсэда нейтрона на хорду и синтез электрических векторов будущего гравитона;
б) удержание электрических векторов $E_{Г1}$ электрическим вектором $E_{Л1}$ яритиса;
в) завершение трансформации гравитона.

Во время трансформации электрических серий гравитона в магнитные создается магнитный дипольный момент и спин, но их проявления разнесены по времени. Импульсное вращение нейтрона происходит только в момент сжатия электрических серий будущего гравитона, а действие магнитного дипольного момента начинает проявляться после достижения величины магнитных серий гравитона порогового значения.

Независимо от того, что амплитуда пульсаций векторов атрисов хордовых серий атринов увеличилась в два раза, амплитуда пульсаций вектора имеет в 10^{20} раз большую величину электрического вектора яритиса $E_{Я1}$. Поэтому, когда половина квантонов радиальных серий атринов переходит на хорды, они приобретают размер серии яритиса. Больше они увеличиваться не могут. Серии вистр яритиса сжимаются и втягивают первые квантоны хордовых серий атринов на радиусы. Это происходит в результате того, что фазы пульсаций векторов атрисов серий вистр яритиса и лады изменяются на 180^0 , и электрические вектора первых квантонов яритиса устанавливают силовую связь с электрическими векторами первых квантонов хордовых серий и втягивают их в область нейтрона. При переходе серий атринов с хорд на радиусы амплитуды пульсаций их векторов атрисов остаются удвоенными. Достигнув полюса нейтрона квантоны

серий атринов свободно его пересекают, так как их вектора атрисов с обеих сторон полюса пульсируют синхронно и они между собой не вступают в силовое взаимодействие.

Амплитуды пульсаций векторов атрисов атринов приобретают за полюсом нейтрона нормальную плотность, уменьшая амплитуду пульсаций в два раза. Далее квантоны серий атринов заполняют радиусы, готовясь к новому полупериоду циклических колебаний.

Каждый новый полупериод циклических колебаний квантонов внутренних и наружных серий атринов нейтрона начинается одновременно, вектора атрисов квантонов пульсируют с одинаковой частотой и через полюс нейтрона в единицу времени проходит равное количество квантонов от каждого атрина.

Так как внутренние серии атринов имеют большее количество квантонов по сравнению с наружными, то, естественно, что полупериод циклических колебаний завершают раньше квантоны наружных серий атринов.

Необходимо отметить, что период пульсаций квантонов в сериях атринов пульсэдов, спанов, электронов, позитронов всех нуклонов атомов Вселенной есть величина постоянная, что регулируется постоянной частотой пульсаций векторов квантонов вистр яритиса и лады. Это абсолютный эталон времени Вселенной.

Так как наружные серии атринов нейтрона завершают полупериод циклических колебаний раньше наружных, то они совершают возвратно-поступательные холостые пульсации до тех пор, пока квантоны внутренних атринов не завершат переход через полюс нейтрона. При каждом выходе в первый полупериод циклических колебаний векторов атрисов квантонов за пределы нейтрона, удерживающий их электрические вектора атрисов яритиса $E_{\text{я}}^{\text{н}}$, синтезирует из квантонов эфира электрические серии $E_{\text{г}}^{\text{н}}$ будущего гравитона (рис. 11). Во второй полупериод пульсаций векторов атрисов квантонов наружных серий происходит обратное движение первого квантона электрической серии атрина и вектор $E_{\text{я}}^{\text{н}}$ яритиса начинает разворачиваться в свое исходное положение, устанавливая силовую связь при помощи атроусов с электрическим вектором первого квантона вистры лады. Мгновенно теряется силовая связь $E_{\text{я}}^{\text{н}}$ с $E_{\text{г}}^{\text{н}}$, которые еще не успели сформировать самостоятельную частичку, и серии $E_{\text{г}}^{\text{н}}$ распадаются на первичный эфир. Вот почему нейтроны не создают расилшубов и могут проникать в ядра атомов, превращая их в радиоактивные изотопы.

3. СТРУКТУРА ПРОТОНА

3.1. Подготовительный процесс радиоактивного распада нейтрона

Одиночный нейтрон представляет собой уникальную частицу. Так как он не может осуществлять энергообмен с окружающей средой, у него есть программа радиоактивного распада, которая включается самостоятельно, если нейтрон не смог найти атом, к которому можно подсоединиться. Одиночному нейтрону запрограммировано время жизни, после чего включается программа радиоактивного распада.

Синтезированная пульсэдом нейтрона из эфира очередная порция гравитонов, расположенная вдоль серий вистр яритиса, не теряет силовой связи с яритисом, который перекопирует магнитным вектором квантов серий вистр гравитонов часть своей сквозной программы, при этом каждая вистра получает еще и собственную программу. После этого слой вистр разделяется на четыре равных сектора, теряет первичную силовую связь с электрическими векторами первых квантов магнитных серий вистр яритиса. В это же время магнитные серии вистр гравитонов в секторах, расположенных с диаметрально противоположных сторон полюса нейтрона, начинают колебаться в противофазе, превращая спаренные серии вистр в упругие струны. Электрические вектора квантов гравитонных вистр устанавливают силовую связь в полюсе с электрическими векторами квантов электрических серий атринов, что приводит к развороту на 90^0 электрических векторов спаренных секторов гравитонных вистр. При этом оба спаренных сектора гравитонных вистр располагаются перпендикулярно друг к другу. Нейтрон создал себе одну плоскость филбайтинга и вторую - филдистины (рис. 13), каждая из которых состоит из 900 *коренных вистр*, которые синтезируют себе *производные вистры*.

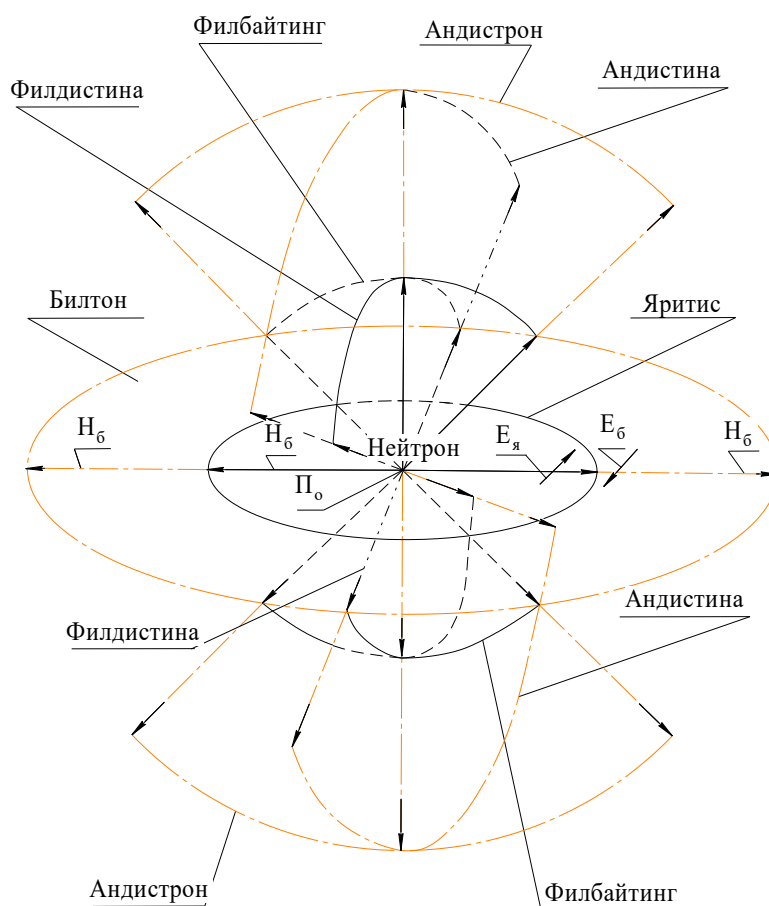


Рис. 13. Синтез нейтроном билтона, филбайтингов и андистонов.

Производные вистры филбайтинга принимают на себя избыточную энергию до 32 атринов, формируя из них спаны. Различие между филбайтингом и филдистиной состоит в том, что в плоскости филбайтинга будут располагаться квадроны будущего спана. Каждый атрин пульсэда запоминает ту вистру филбайтинга и филдистины, которые он синтезировал и может вести энергетический обмен с «собственной» вистрой при фазовых переходах в будущем атоме.

Половина атринов пульсэда будет вести энергетический обмен с вистрами филбайтинга и филдистины, расположенные с одной стороны, а вторая половина с вистрами филбайтинга и филдистины, расположенных с противоположной стороны пульсэда. Поэтому у протона должна быть система, собирающая энергию с вистр филбайтингов и атринов пульсэда. Как только завершается формирование филбайтинга и филдистины, то они сразу же индуцируют себе из квантонов эфира параллельные серии с обратным направлением векторов квантонов–филбайтинга, которые в дальнейшем будут совершать пульсации векторов атринов серий без пересечения полюса до конца существования будущего атома. Так как филбайтинг еще не имеет атринов, то радиусы его вистр равны радиусам наружных атринов нейтрона.

3.2. Закономерности процесса радиоактивного распада нейтрона

1. Нейтрон синтезирует гравитоны в течении четверти каждого полупериода циклических колебаний серий атринов (с момента выхода серий из радиусов на хорды и до возврата с хорд на радиусы).

2. Вистры, синтезируемые из гравитонов накануне потери силовой связи с нейтроном, располагаются параллельно вистрам яритиса. Подготовка к радиоактивному распаду нейтрона начинается с того, что между сериями вистр синтезированных гравитонов и вистрами яритиса возникают атраусы, которые приводят в движение будущие коренные вистры филбайтинга и филдистины. Вистры гравитонов притягиваются к вистрам яритиса и им перекопируется программа будущей частицы нейтрона – филбайтинга и филдистины. Серии обеих бивистр у каждой дивистры, пульсируя в противофазе, превращают дивистры в частицы (рис. 14).

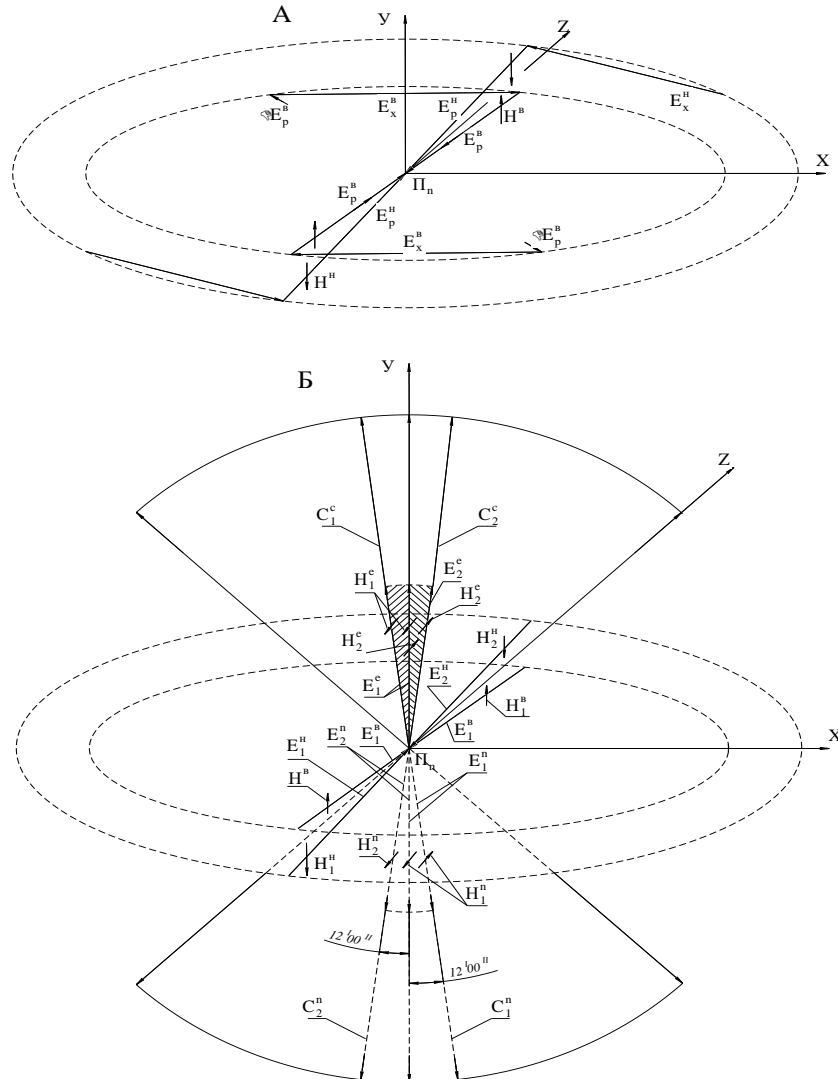


Рис. 14. Фазы радиоактивного распада нейтрона:

А - через половину полупериода циклических колебаний атрины достигли полюса нейтрона;

Б – наружные атрины одного квадранта E_1^c и E_2^c втянуты в одну, а внутренние E_1^a и E_2^a - в противоположную сторону филбайтинга.

3. Диск серий гравитонов, покрывающий яритис, делится на четыре равных части и устанавливает силовое взаимодействие между сериями коренных вистр, расположенных в секторах с диаметрально противоположных сторон полюса нейтрона (рис. 14). При этом серии коренных вистр гравитонов, расположенных с диаметрально противоположных сторон в полюсе нейтрона, устанавливают силовую связь между собой. Серии гравитонных (коренных) вистр по обе стороны полюса превращаются в упругие струны благодаря тому, что вектора атрисов квантонов спаренных серий направлены в диаметрально противоположных направлениях и пульсируют в противофазе.

4. Электрические вектора квантонов спаренных гравитонных серий у полюса устанавливают силовую связь с электрическими векторами квантонов серий яритиса, и, отталкиваясь от них, разворачиваются на 90^0 (рис. 14). Так создается филбайтинг и филдистина, которые состоят из коренных вистр, имеют наружные серии и создают две взаимно перпендикулярные плоскости, представляющие собой жесткую структуру. У филбайтинга имеется программа, которая управляет работой спанов.

5. За время синтеза нейтроном филбайтинга и филдистины, нейтрон синтезировал новую порцию гравитонов, которые также разделяются на четыре сектора, но далее выполняют другие программы:

а) наружные вистры выталкиваются через полюс нейтрона и движутся вдоль вистр филбайтинга и филдистины, устанавливая силовое взаимодействие с будущими наружными сериями вистр, увеличивая их размер – создаются андистон и андистина;

б) внутренние вистры выталкиваются за пределы яритиса, удлиняя его наружные серии – создается билтон (рис. 14).

3.3. Радиоактивный распад нейтрона и синтез нейтрино

Нейтрон завершает подготовку к радиоактивному распаду после синтеза билтона, филбайтинга, филдистины, андистона и андистины (рис. 15). Только филбайтинг и филдистина синтезируют себе из квантонов эфира параллельные коренные вистры с противоположным направлением векторов атрисов серий, что позволяет им принимать участие в процессах энерго-информационного обмена между всеми атринами нуклонов атома.

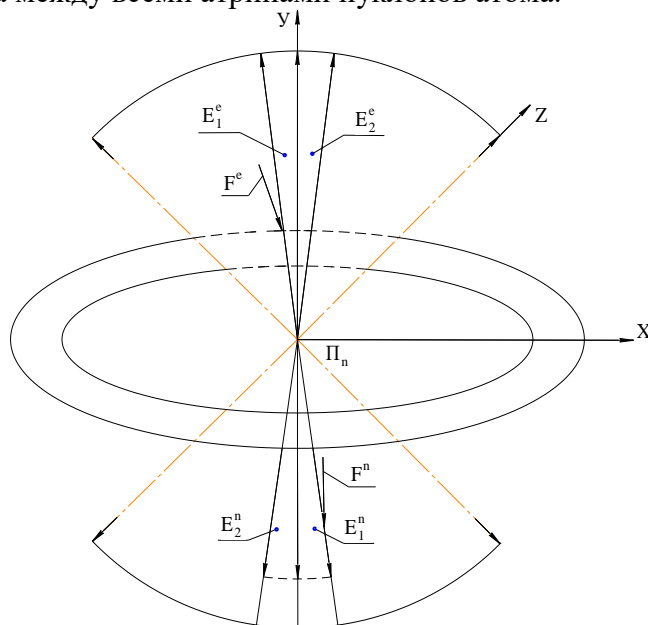


Рис. 15. Наружные атрины E_1^c и E_2^c завершили половину полупериода циклических колебаний раньше внутренних E_1^n и E_2^n .

Так как длины рейкисов билтонов обратно пропорциональны энергии спиновых серий, то, естественно, что радиусы рейкисов больше радиусов вистр яритиса в сотни раз. При синтезе филбайтинга и филбайтины, андистона и андистины, филбайтинг еще не имеет физической основы – атринов, а потому размер серий всех его вистр устанавливается равным размеру наружных серий вистр нейтрона. Билтон и андистоны увеличивают объем, занимаемый нейтроном (рис. 15).

Серии атринов нейтрона продолжают совершать циклические колебания в обычном режиме. К половине первого полупериода к полюсу нейтрона первыми подходят серии наружных атринов E_p^n (рис. 14, А). Наружные серии обеих атринов одного квадранта, расположенные перпендикулярно к поверхности филбайтинга, втягиваются электрическими векторами магнитных серий двух смежных бивистр C_1^c и C_2^c филбайтинга, образуя серии E_1^e и E_2^e атринов будущего электрона (рис. 14, Б). При достижении полюса нейтрона сериями внутренних атринов этого же квадранта, их также втягивают в область филбайтинга электрические вектора квантонов двух смежных бивистр C_1^n и C_2^n , являющиеся зеркальным отражением первых бивистр относительно полюса нейтрона (рис. 14, Б). Синтезируются атрины E_1^n и E_2^n будущего нейтрино, направленные в диаметрально противоположную сторону относительно атринов будущего электрона.

Наружные серии $E_1^e - E_2^e$ завершают пересечение полюса (полупериод циклических колебаний серий) нейтрона Π_n раньше внутренних, и они не имеют силовой связи с внутренними сериями. Поэтому атрины $E_1^e - E_2^e$ совершают пульсации векторов атрисов квантонов без перемещения серий. Под действием системы управления филбайтинга происходит изменение направления выталкивания серий $E_1^e - E_2^e$ на противоположное F^e . Серии $E_1^e - E_2^e$ прижимаются к полюсу нейтрона (рис. 16). В это же время серии E_1^n и E_2^n продолжают пересекать полюс нейтрона под действием сил F^n эфан из области пульсэда. По завершению полупериода циклических колебаний атринов серии наружных атринов $E_1^e - E_2^e$ направляются в область пульсэда. Во время выхода серий E_1^n и E_2^n за пределы пульсэда (рис. 14), квантоны всех наружных атринов пульсэда совершали пульсации без перемещений, так как каждый новый полупериод колебаний серий всех атринов начинают одновременно.

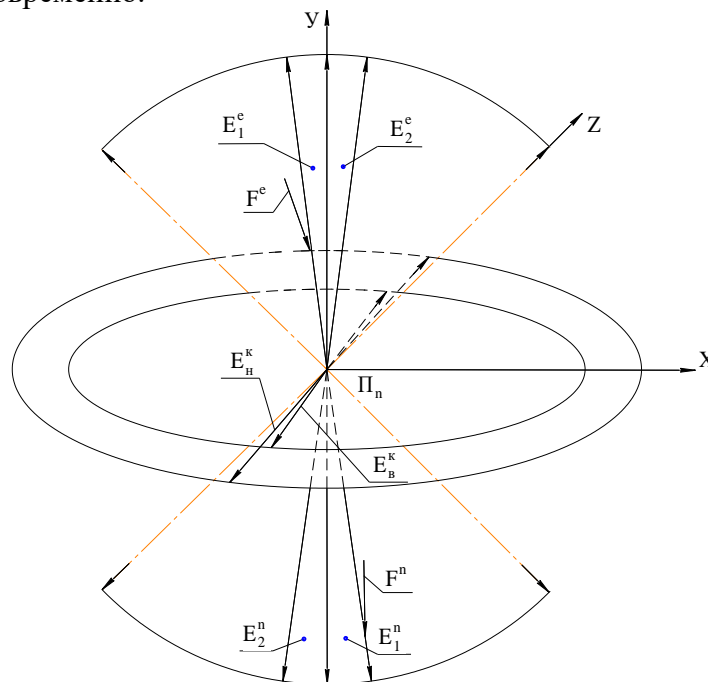


Рис. 16. Наружные атрины первого квадранта E_1^e и E_2^e распадающегося нейтрона прижимаются эфанами F^e к полюсу, а внутренние E_1^n и E_2^n продолжают отталкиваться эфанами F^n от полюса Π_n .

У будущих частиц спола, электрона и нейтрино отсутствует система управления. Под атринами спола происходит сжатие серий рейкисов билтона до размеров наружных серий нейтрона, а из эфира они синтезируют себе систему привода, состоящую из производных вистр – это наружная система управления атринами спола *флатрон*. Флатрон спола изменяет действие эфан атринов на диаметрально противоположное. Теперь эфаны стремятся втиснуть атрины спола в область пульсэда. Однако, электрические вектора последних квантонов магнитных серий

производных вистр флатрона устанавливают силовую связь с электрическими векторами последних квантонов электрических серий атринов и не дают им возможности двигаться. Электрические вектора последних квантонов серий вистр флатрона разворачиваются на 90^0 и синтезируют электрические серии вистр, которые затем трансформируются в магнитные, располагающиеся перпендикулярно к поверхности пульседа нейтрона.

Затем магнитные вистры разворачиваются на 90^0 в сторону полюса нейтрона и, соединяясь в полюсе со второй магнитной вистрой, создают *кордис* – систему управления сполем в пределах пульседа. Кордис синтезирует себе из эфира систему привода – *производную вистру*.

В это же время эфаны будущего электрона стремятся вытолкнуть его атрины за пределы нейтрона. Электрические вектора первых квантонов магнитных серий вистр нейтрона устанавливают силовую связь с электрическими векторами первых квантонов электрических серий атринов будущего электрона и не дают им возможности покинуть пределы пульседа нейтрона.

Электрические вектора первых квантонов серий вистр разворачиваются на 90^0 , удерживая квантоны атринов. Электрические вектора первых квантонов коренных вистр синтезируют из эфира электрические серии, которые затем трансформируются в магнитные, разворачиваются на 90^0 , располагаются вдоль серий атринов будущего электрона, создавая из коренных вистр систему управления электроном – *биртрон*.

Внутренние серии вистр яритиса и лады в секре сполы приобретают самостоятельность (назовем их *кордис* и *производная вистра кордиса*). Основной функцией кордиса является блокирование возможности проникновения атринов сполы в область атринов пульседа и управлять атринами сполы при совершении циклических колебаний серий.

Через четверть второго периода колебаний серии атринов вновь достигают полюса нейтрона. Вистры филбайтингов, смежные с вистрами, которые создавали электрон и спол, разворачивают квантоны серий атринов двух квадрантов пульседа, находящихся с обеих сторон секра сполы и электрона, и направляют их вдоль своих серий, располагая их так, чтобы вектора квантонов наружных и внутренних серий создавали суммарные спины и магнитные моменты, равные нулю. Создается секра сполы атома водорода с углом раскрытия $24^{\circ}00'$. Вследствие уменьшения количества квадрантов в пульседе протона уменьшается спин, создаваемый между наружными и внутренними атринами пульседа. Для сохранения величины спина пульседа, кроме атринов E_u^s , пульсед отдает еще один квадрант для увеличения энергии внутренних атринов. Из состава пульседа водорода уходит 5 квадрантов.

На этом радиоактивный распад нейтрона завершается. Можно подробно расписать и нарисовать все процессы при радиоактивном распаде нейтрона, так как они видны автору открытия.

3.4. Синтез нейтрино

В момент радиоактивного распада нейтрона в одном и том же направлении выталкивается через полюс ядра атома два внутренних атрина, магнитные вектора которых совершают колебания в диаметрально противоположных направлениях. Из этих атринов и происходит синтез нейтрино. Так как наружные и внутренние атрины выталкиваются в область филбайтингов в диаметрально противоположных направлениях, то независимо от их энергий, размер их серий устанавливается равным сериям наружных атринов нейтрона (рис. 17).

Накануне выталкивания наружных атринов второго квадранта за пределы пульседа сериями $E_1^c - E_2^c$, устанавливается силовая связь в полюсе Π_n между внутренними атринами второго квадранта пульседа и атринами будущего нейтрино $E_1^n - E_2^n$. В это время серии $E_1^n - E_2^n$ выталкиваются эфанами с силой F^n от полюса нейтрона. Процесс синтеза электрона, сполы и нейтрино осуществляется одновременно: атрины сполы выдвигаются будущими атринами электрона за пределы пульседа, на территорию филбайтинга, а атрины будущего нейтрино $E_1^n - E_2^n$ выталкиваются внутренними атринами второго квадранта нейтрона E_u^b на территорию андистрона (рис. 17). Во время выхода атринов сполы и нейтрино за пределы пульседа и филбайтинга все остальные атрины нейтрона не совершают циклических колебаний, а их вектора квантонов совершают холостые пульсации.

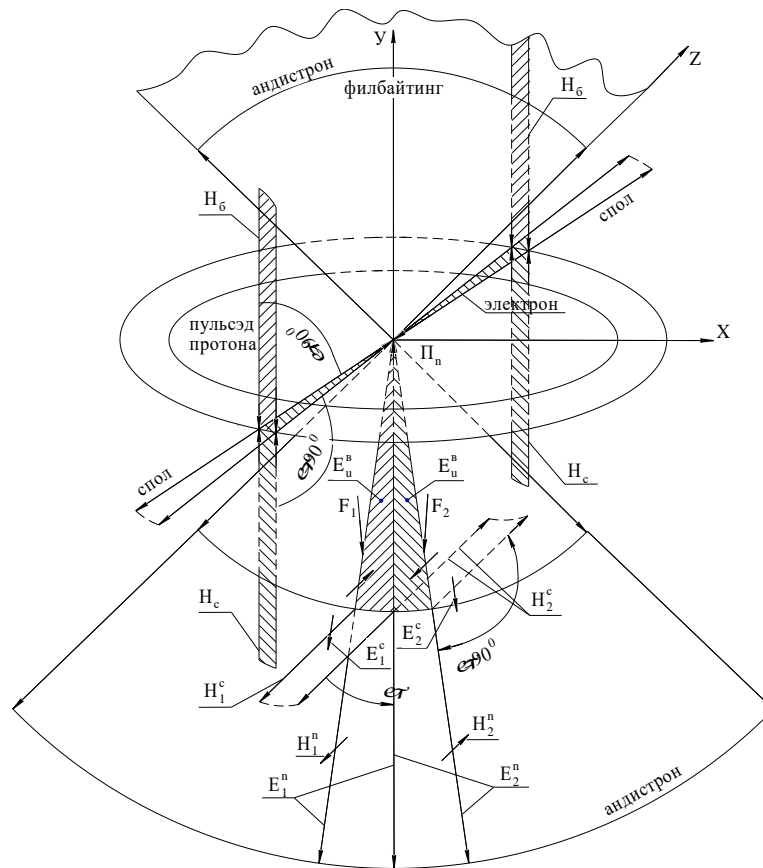


Рис. 17. Синтез нейтроном атринов электрона, сполы и нейтрино E_1^n и E_2^n в результате вталкивания наружных атринов первого квадрона в область пульсэда и выталкивания впереди себя наружных атринов второго квадрона. Внутренние атрины первого квадрона, двигаясь от полюса, увлекают за собой внутренние атрины второго квадрона пульсэда. H_6 и H_c – синтез систем управления электроном и сполом; H_1^1 и E_c^2 - будущая система управления нейтрино.

По завершению перехода полюса P_n наружными сериями $E_1^c - E_2^c$ устанавливается силовая связь между электрическими векторами последних квантонов атринов первого квадрона $E_1^c - E_2^c$ и последними электрическими квантонами наружных атринов второго квадрона, которые расположены в области пульсэда. Атрины $E_1^c - E_2^c$ вталкиваются эфанами F^c в область пульсэда, а впереди себя выталкивают наружные атрины второго квадрона за пределы пульсэда в диаметрально противоположные стороны (рис. 17).

Получившие систему управления, внутренние атрины первого квадрона (нейтрино) покидают нейтрон. У нейтрино электрические серии от двух атринов одного квадрона являются смежными, а их магнитные вектора квантонов H_1^n и H_2^n (рис. 17) направлены в диаметрально противоположные стороны. Эфаны внутренних атринов второго квадрона нейтрона $F_1 - F_2$ стремятся вытолкнуть серии атринов E_u^b за пределы филбайтинга (рис. 17). Однако электрические вектора первых квантонов магнитных серий вистр филбайтинга устанавливают силовую связь с электрическими векторами первых квантонов электрических серий E_u^b и не дают им возможности покинуть территорию филбайтинга. Далее идет процесс синтеза магнитных серий вистр будущей системы управления частицей нейтрино – *нейтровитр*.

Во все время выталкивания сполы и формирования электрона серии атринов пульсэда не могли совершать перемещений по своим траекториям и их вектора квантоны совершали пульсации без перемещений серий. Сплошность диска пульсэда нейтрона нарушается, так как из его состава были выведены два квадрона, однако диски яритиса и лады сохраняют свою сплошность. Назовем просветы в дисках атринов пульсэда *секрами*.

Угол раскрытия серий нейтрино равен $24'00''$. Потому на них не будет действовать не магнитное, не электрическое поля и они не будут вступать в силовые связи с материей. Так возникает НЕЙТРИНО!

3.5. Скорость нейтрино

Нейтрино – элементарные частицы, не имеющие электрического заряда и не вступающие в *сильное* ядерное взаимодействие. Реагировать с другими частицами нейтрино могут за счет слабого ядерного взаимодействия. Это взаимодействие не случайно получило название "слабое": поток нейтрино, возникающих при β - распадах, без ослабления проходит слой вещества толщиной, сопоставимой с межзвездными расстояниями. Реликтовые нейтрино являются носителями космоземных связей наряду с электромагнитным излучением и космическими лучами.

23.09.2011 года в средствах массовой информации объявили об экспериментальном измерении скорости нейтрино, которая оказалась в районе $3,08 \cdot 10^8$ м/с. Этот результат противоречит Стандартной модели физики и требует переосмысления гипотетического знания.

Апологеты Стандартной модели физики стремятся уничтожить все, что не вкладывается в ее «прокрустово ложе». Гранты выдают для дальнейшего развития Стандартной модели физики, что в итоге уничтожает фундаментальную науку абстрактными, не имеющими физического смысла математическими преобразованиями, блокируя подходы к фундаментальной науке. Атрисная физика открывает тонкий мир причин явлений и эффектов и дает возможность овладеть в полной мере нанотехнологией.

Осознание природы скорости нейтрино возможно только при открытии подробности механизма первой фазы радиоактивного распада нейтрона, когда из пульсэда нейтрона выходят два первых квадрона, накануне синтеза спана протона. Нейтрино синтезируется одновременно с синтезом электрона и спона. Нейтрино оповещает Вселенную, что в ней синтезирован еще один протон. Имеется только один механизм синтеза нейтрино. Фантасты от науки утверждают, что возможны варианты рождения вещества и антивещества. Это возможно только в их ограниченном мышлении.

Рассмотрим подробно первую фазу радиоактивного распада нейтрона.

У атринов будущего нейтрино вистры стравьюра, синтезированные внутренними атринами второго атрина накрывают внутренние атрины первого квадрона с противоположных сторон плоскостей серий атринов (рис. 18, А). При этом начало серии вистр стравьюра собираются в одну точку, увлекая за собой серии атринов первого квадрона. Образуется первый полюс Π_0 нейтрино (рис. 18, Б). Атрины нейтрино теряют навсегда силовую связь с будущим протоном, который его синтезировал. К этому моменту эфаны атринов стремятся их протолкнуть через полюс Π_0 . Но атрины не могут пересечь полюс нейтрино, если они не изменят вид квантонов серий атрисов. Поэтому серии атринов прижимаются к полюсу Π_0 , но не движутся. На помощь атринам нейтрона приходят вистры стравьюра: они синтезируют из эфира вистры систему привода.

Дальше идет процесс трансформации магнитных серий вистр стравьюра в электрические, которые выталкивают из полюса нейтрино Π_0 перпендикулярно поверхностям серий атринов вдоль смежных серий и идут в диаметрально противоположные стороны (рис. 18, В). Как только завершается трансформация магнитных серий вистр стравьюра в электрические, у них остается силовая связь концов их серий с началами только смежных серий атринов нейтрино. Однако, прямая силовая связь встык возникает только между концами первых серий вистр стравьюра и началом смежных серий атринов нейтрино, серии которых расположены взаимно перпендикулярно (рис. 18, В).

Силовая связь встык вынуждает первые серии вистр стравьюра располагаться в продолжении смежных серий атринов нейтрино. Вистры нейтровитра поворачиваются навстречу друг другу, создавая из остальных серий подобие веера с общим углом раскрытия $24^{\circ}00'$ (рис. 18, Г). Первые серии вистр нейтровитра создают смежные серии, которые готовы принимать трансформируемые квантоны атринов нейтрино.

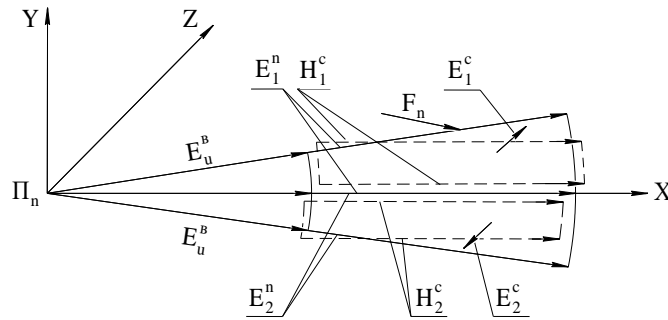
Система привода вистр нейтровитра превращается в эфир после завершения функции проталкивания квантонов серий вистр через полюс нейтрино. Перемещение нейтрино в эфире происходит по тем же законам, по которым перемещаются фотоны.

Автор счел уместным опубликовать формулу для расчета скорости нейтрино, выведенную на основе Атрисной физики. Знание процессов, протекающих при радиоактивном распаде нейтрона и физических свойств, возникающих у атринов и системы управления нейтрино, дали возможность сформулировать законы, позволяющие вывести формулу для расчета скорости нейтрино:

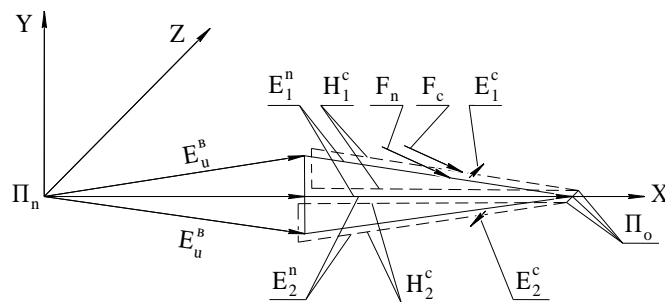
$$C^* = \left(\frac{m_n}{900 \cdot m_e} - 1\right)C = 3,13 \cdot 10^8, \text{ м/с},$$

где m_n и m_e – массы нейтрона и электрона, C^* и C – скорости нейтрино и света, 900 – количество квадронов нейтрона («Словарь Атрисные термины» на сайте atrisov.narod.ru).

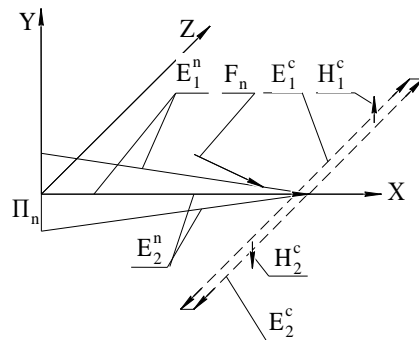
А



Б



В



Г

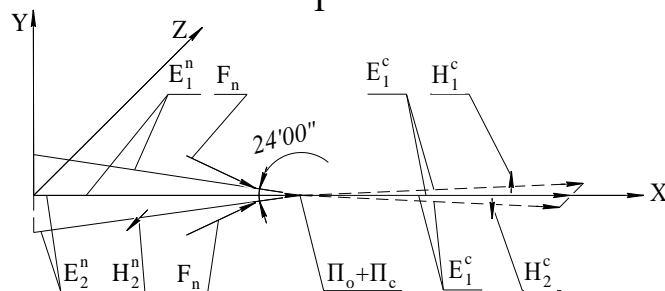


Рис. 18. Фазы синтеза вистр нейтровитра внутренними атринами второго квадрона нейтрона для управления атринами нейтрино. А – поворот на 90° вистр нейтровитра синтезированных атринами второго для управления атринами нейтрино, синтезируемых первым квадрон; Б – создание полюса нейтрино путем сбора в точку всех начал серий; В – трансформация вистр нейтровитра; Г – положение вистр нейтровитра накануне первого полупериода циклических колебаний атринов нейтрино.

Частота циклических колебаний серий атринов нейтрино прямо пропорциональна энергии внутренних атринов нейтрона. Длина волны нейтрино обеспечивается системой управления нейтрино нейтровитром и сохраняется величиной постоянной независимо от физических свойств среды, которую пронизывают нейтрино.

Расхождение между значениями скорости нейтрино, рассчитанной по формуле, выведенной в Атрисной физике, и полученной в эксперименте, обусловлено ошибкой эксперимента.

3.6. Энергообмен в ядре атома

У каждого протона атома спол создает спин в два раза больший, чем создает спин пульсэд протона. Направление действия спина спол диаметрально противоположно к направлению действия спина пульсэда протона. Этот секрет ядра атома был открыт 8 апреля 2009 года, а затем уточнен в январе 2013 года, что позволило согласовать все физические свойства протона.

Направление спина, создаваемого сполем P^S , такое же, как и у спина, создаваемого внутренними атринами. А так как спин спол каждого протона неионизированного атома в два раза больший спина нейтрона (суммарного спина P^H+P^B), то результирующий спин пульсэда протона атома водорода изменяет направление вращения пульсэда на противоположное.

При радиоактивном распаде нейтрона можно указать этапы:

1. Подготовка нейтрона к радиоактивному распаду

а) Из первой партии гравитонов, синтезируемых внутренними и наружными атринами, создается филбайтинг и филдистина: из второй партии гравитонов синтезируются билтон, андистрон и андистина.

б) Систему привода серий вистр в движение имеют только филбайтинг и филдистина, которые синтезируются этими частицами из атрисов эфира.

в) Билтон, андистрон и андистина не имеют системы привода и имеют только один слой серий – рейкисов.

2. Подготовка атринов нейтрона для синтеза электрона и спол

а) Через четверть периода циклических колебаний наружные атрины первыми проходят к полюсу нейтрона.

б) Наружные серии первого квадранта, расположенные перпендикулярно поверхности филбайтинга, устанавливают силовую связь с электрическими векторами квантонов магнитных серий бивистры филбайтинга. Наружные атрины квадранта втягиваются вистрами одной бивистры филбайтинга в одну сторону, а внутренние, которые подошли к полюсу с запозданием – второй, в смежную с первой.

в) Наружные серии атринов завершают переход полюса первыми, их эфаны меняют направление действия на противоположное и вталкивают наружные атрины в область пульсэда. Так как в область пульсэда одни наружные серии войти не могут, то вистры дивистры второго квадранта пульсэда, смежного первому квадранту пульсэда, втягивают атрины первого в область пульсэда на «занятые» позиции. «Пришельцы» толкают перед собой наружные атрины квадранта «хозяина», выталкивая их за пределы наружных серий пульсэда. Наружные атрины «пришельца» имеют противоположное направление векторов серий атринов, а потому не вписываются в семью пульсэда.

г) Во время «вталкивания» наружных атринов первого квадранта в область пульсэда процесс циклических колебаний прекращается. После синтеза каждой новой партии гравитонов атрины пульсэда возвращаются на свое место в яритисе.

д) Внутренние атрины второго квадранта синтезируют первую партию гравитонов, из которых создаются серии кордира с увеличенной амплитудой пульсаций в 1,84 раза по сравнению с наружными вистрами яритиса.

ж) Наружные атрины второго квадранта создают из первой партии гравитонов кордиса, у которого амплитуда пульсаций векторов атрисов квантонов не изменяется. Его серии выдвигаются за пределы пульсэда и устанавливают прямую силовую связь встык с началами серий кордира.

з) Кордир и кордис синтезируют себе из атрисов систему привода.

3. Синтез спол и электрона – система управления электроном

а) Наружные атрины второго квадранта выталкиваются наружными атринами первого квадранта за пределы нейтрона. Вдоль кордира и кордиса наружные атрины второго квадранта перемещаются к началам серий кордиса, который их останавливает и синтезирует гравитоны.

б) Гравитоны синтезируют также атрины первого квадранта под управлением наружных вистр яритиса на территории второго квадранта, а также его внутренние серии атринов.

в) Из этих гравитонов наружные атрины второго квадрона создают флатрон, внутренние атрины второго квадрона – флатрир, с амплитудой пульсаций в 1,84 раза большей, чем у векторов атрисов вектров квантонов наружных вистр нейтрона: наружные атрины первого квадрона – дивитру.

г) Наружные атрины первого квадрона синтезируют электрон и систему управления – биртрон. Наружные атрины второго квадрона синтезируют спол, у которого имеется две системы управления – одна стационарная (флатрир - флатра), и вторая – динамичная, которая управляет сполом при выходе его серий на хорды (кордир - кордис).

3.7. Некоторые свойства ядер атомов

1. Квадроны, которые расходуются на синтез электрона и спол, являются смежными, а их смежные серии перед началом распада нейтрона расположены перпендикулярно к плоскости филбайтинга. В таком же расположении пульседа и филбайтинга осуществляются процессы энергообмена между атринами и вистрами филбайтинга.

2. Секра – сектор пульседа с углом раскрытия $12^{\circ}00'$, из которого удален квадрон. Между атринами спана атома водорода образуется секра филбайтинга, равная сумме секр спол и электрона, с углом раскрытия, равным $24^{\circ}00'$.

3. Синтез спана начинается тогда, когда атрины квадрона достигли полюса нейтрона, т.е. через четверть периода от начала нового периода колебаний серий атринов пульседа. Два смежных квадрона пульседа, расположенные со стороны секры спол, одновременно втягиваются в область филбайтинга двумя смежными дивистрами, расположенными со стороны секры спол. При этом у первого квадрона первый ниртон движется вверх, а у второго – вниз по отношению к плоскости пульседа, т.е. осуществляют встречные движения в филбайтинге по отношению к плоскости пульседа. Синтезируется система спана, которая создает результирующий спин и магнитный момент, равные нулю.

4. Атом водорода синтезирует спан из двух квадронов, которые смежные с секрой спол – электрона, создавая с обеих сторон спол очищенную от атринов область. Атомы трития и гелия-3 синтезируют спаны из четырех квадронов.

5. Спан у всех остальных атомов таблицы элементов состоит из восьми квадронов. В плоскости пульседа создается одна обобщенная секра с углом раскрытия $2^{\circ}00'00''$.

6. В ядре атома отсутствует прямой энергообмен между атринами ядра и электрона.

7. Полюс атома является единственным центром, в котором только с помощью электрона через посредство свободных вистр филбайтинга и пульседа может осуществляться энергообмен между атринами пульседа, спана. Все процессы переноса энергии в ядре атома осуществляют электроны, без которых фотоны поглощаются атомами, но нагрева атринов электрона и увеличения массы не проявляют.

8. При фазовых переходах каждый атрин пульседа атома может сбрасывать или получать кванты энергии только от тех вистр филбайтинга и филдистины, которые были синтезированы этими атринами, а атрины спана могут обмениваться квантами энергии только с теми вистрами яритиса, которые они покинули в результате радиоактивного распада.

9. Энергообмен между атринами и вистрами филбайтинга атома осуществляется только тогда, когда создается совпадение проекций атринов и вистр, порожденных этими атринами.

10. В полюсе ядра атома поглощаемый фотон полностью направляется вистрой биртрона валентного электрона к секре производной вистры в соответствии с величиной собственной энергии фотона. Каждая вистра филбайтинга имеет несколько уровней, которые разные у вистр, и зависят от угла, создаваемого сериями вистры с осью филбайтинга.

Возможны три варианта в зависимости от состояния атома и энергии фотона:

а) валентный электрон сканирует поверхность пульседа до тех пор, пока биртрон электрона не примет положение производной вистры спол в пульседе, при котором возможен съем энергии с производной вистры секры филбайтинга пульседа. Только в этом случае возможен сброс энергии с производной вистры секры на производную вистру биртрона валентного электрона;

б) электрон подсоединит и излучит энергию в виде фотона, если энергия фотона меньше энергии ионизации;

в) если энергия фотона больше энергии ионизации, внутренним атринам возвращается энергия ионизации, а вся оставшаяся энергия синтезируется валентным электроном на производную вистру секры спола в виде эпостриса. Далее эпострис синтез эфану Ариадны, главное и производное пострино. Главное пострино выносит электрон тока за пределы расилшубов.

11. Энергия внутренних атринов пульсэдов изменяется только в результате фазовых переходов.

3.8. Структура спола протона

В отличие от атринов пульсэда и спана, атрины спола имеют две системы управления (рис. 19):

- за пределами пульсэда атринами спола управляют флатра и произ вистра флатры;
- в секторе пульсэда атринами спола управляет кордис, которые представляют собой самостоятельную производную вистру зеркального копирования.

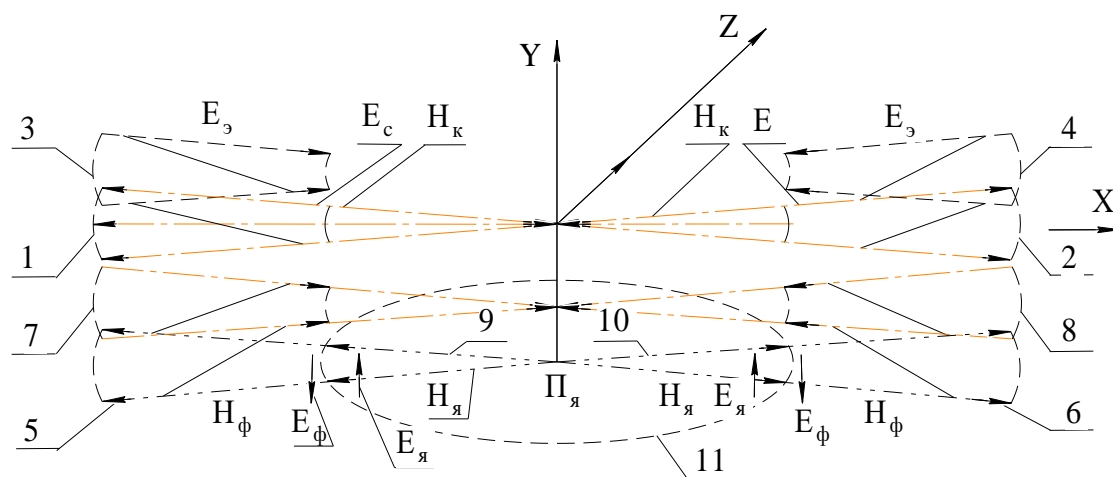


Рис. 19. Система управления атринами спола: 1, 2 – атрины спола; 3, 4 – эфаны спола – система привода спола в движение; 5, 6 – флатра; 7, 8 – производные вистры флатры – система управления сполом; 9, 10 – ястроны; 11 – внутренние вистры яритиса.

Отличие между протоном и нейтроном, находящихся в ядре атома, заключается в том, что у первого дополнительно имеется две секры: спола и электрона, а также спол, который выведен за пределы внутренних атринов пульсэда. Исключение составляют только некоторые атомы, например He^4 , у которых нейтроны имеют секры спола и электрона, квадраны которого израсходованы на согласование спинов нуклонов ядра.

Так как ядро атома очень сложное, то для упрощения рисунка покажем только диск внутренних вистр яритиса H , к которому подсоединены флатроны 5, 6 (рис. 19). Серии флатронов подсоединены к наружным сериям ястронов, вистры которых входят в состав яритиса, однако сохраняют размеры своих серий неизменными. Серии вистр флатронов сохраняют свой размер в соответ с размером серий стандартов нейтрона. Это обусловлено тем, что хотя серии флатронов являются продолжением серий ястронов, однако у них электрические вектора квантонов E_ϕ и E_y направлены в диаметрально противоположные стороны. В таком случае магнитные вектора квантонов серий флатронов и ястронов могут иметь одинаковую амплитуду пульс векторов атрисов квантонов. Наружные вистры 9 и 10 работают с ястроном синхронно. Управляет колебаниями серий спола вне наружных вистр яритиса флатра, работая по программе флатры.

Задача кордисов H_k заключается в том, чтобы не дать возможности сериям спола проникнуть в ядро атома. Кордисы удерживают серии спола на хордах яритиса, участвуя в создании атринами спола гравитонов, спина и магнитного момента.

Как обычно, система привода серий сполов 1, 2 является сменной 3,4 – это эфана (рис. 19). Произ вистры флатры (флатрон) 7, 8 и флатра 5,6 помогают атринам спола синтезировать электрические и магнитные пострино.

Рассмотрим слой физической основы пульсэда протона (рис. 20), на котором покажем по одной серии от наружных и внутренних атринов пульсэда: E_p^B и E_x^B - радиальная и хордовая серии

внутренних атринов квадрона; а E_p^H и E_x^H - радиальная и хордовая серии наружных атринов этого же квадрона. Внутренние и наружные серии атринов пульседа создают спины P^B и P^H , направленные в диаметрально противоположные стороны, а результирующий спин равен их алгебраической сумме $P^H + P^B$ и совпадает с вращением, создаваемым наружными атринами. Направление спина, создаваемого сполом P^S такое же, как и у спина, создаваемого внутренними атринами пульседа, а так как спин сполов в два раза больше спина нейтрона (суммарного спина $P^H + P^B$), то результирующий спин пульседа протона изменяет свое направление на противоположное по отношению к нейтрону.

Направление действия результирующего спина совпадает с направлением векторов E_x^H хордовых наружных серий (рис. 20). Магнитные вектора, создаваемые при трансформации электрических гравитонных серий в гравитоны E_μ^H и E_μ^B - также направлены в разные стороны, а результирующий магнитный момент равен алгебраической сумме моментов, создаваемых наружными и внутренними хордовыми сериями атринов пульседа. Результирующий магнитный момент пульседа имеет направление гравитонов трансформируемых наружными сериями E_μ^H (рис. 20).

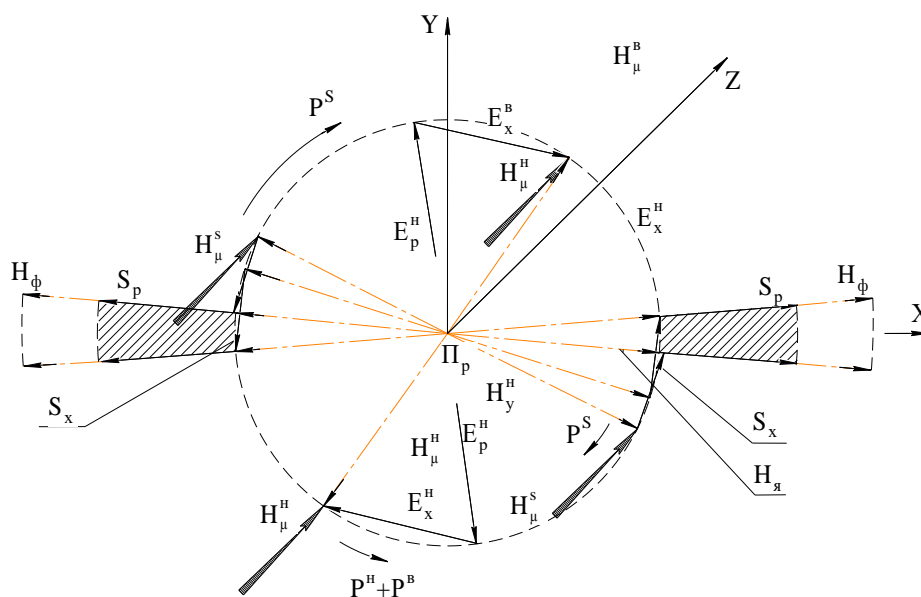


Рис. 20. Расположение серий атринов пульседа протона, а также направлений действий спинов и магнитных моментов, в момент времени равном 3/10 периода:

E_p^H и E_x^H - наружный атрин; H_μ^S и H_μ^H - направление магнитных моментов наружных атринов и сполов S_x , совпадающие по направлению; $P^S = 2(P^H + P^B)$ - спин сполов равен удвоенному суммарному спину наружных и внутренних атринов; H_ϕ - серии флаты; H_κ - серии кортиса; H_α - серии ярстрона.

Направление магнитного момента, создаваемого сполом, совпадает с направлением суммарного магнитного момента, создаваемого наружными и внутренними атринами пульседа. Поэтому результирующий магнитный момент пульседа атома равен сумме спинов, созданных сполом и пульсэдом.

В отличие от электрона, у которого гравитоны, магнитные и электрические построино создаются в начале серий атринов, у сполов в начале серий атринов создаются электрические и магнитные построино, а в конце серий - гравитоны.

Выходы серий сполов на хорды у невозбужденного атома не приводят к увеличению амплитуды колебаний векторов квантонов хордовых серий в два раза из-за того, что эфаны сполов не удерживаются вистрами произ вистры флаты, чтобы создать двойную амплитуду выталкивания серий сполов. Поэтому, при выходе серий сполов на хорды, амплитуды колебаний векторов атрисов сохраняются прежними и размер хордовых серий сполов должен быть равным радиусам внутренних вистр нейтрона.

Все квантоны серий атринов сполов полностью выходят на хорды, что приводит к непрерывному созданию гравитонов во время выхода атринов сполов на хорды, а, следовательно,

спин и магнитный момент создается в течение четверти периода, то есть в два раза дольше по сравнению с атринами пульсэда. Следовательно, сполы атома будут создавать мнимую массу в размере одного электрона. Одновременно спол создает стабильный спин и магнитный момент в два раза большие по сравнению с электроном. Спин, создаваемый сполом, имеет направление спина, создаваемого внутренними атринами, а магнитный момент совпадает с направлением магнитного момента, создаваемого наружными атринами.

Выводы к разделу

Радиоактивный распад нейтрона осуществляется по программе, которая записана в его яритисе.

1. Радиоактивный распад имеет четыре фазы:

- синтез из эфира тонкой структуры будущего протона;
- синтез из атринов нейтрона физической основы сполы, электрона и нейтрино;
- синтез из эфира систем управления для сполы - *кордис*, электрона - *биртрон* и нейтрино – *нейтровитр*.

- синтез спана протона из атринов, путем вывода двух квадронов нейтрона в область филбайтинга.

2. Физическая основа нейтрино состоит из двух смежных внутренних атринов нейтрона, серии которых расположены в одной плоскости, вектора квантонов серий направлены в одну и ту же сторону, а вектора квантонов второго вида направлены в диаметрально противоположные стороны.

3. Основа управления нейтрино – *нейтровитр* - состоит из двух спаренных вистр, которые в силу своей спаренности сохраняют постоянные размеры серий вистр, равные наружным атринам нейтрона.

4. Частота пульсаций векторов квантов действия атринов нейтрино определяется их энергией, а размер серий атринов - размером серий вистр нейтровитра.

5. Скорость перемещения нейтрино в эфире равна $C^* = \left(\frac{m_n}{900 \cdot m_e} - 1\right)C = 3,13 \cdot 10^8$ м/с.

6. Через каждую половину периода циклических колебаний атрины нейтрино трансформируют в полюсе свои серии из магнитных в электрические. Из электрических вновь в магнитные и т.д.

7. Крайние серии смежных атринов выходят из полюса нейтрино под углом 24'00".

8. Природа трансформации серий атринов нейтрино и физической основы фотона из магнитных в электрические одна и та же. Различие заключается лишь в том, что фотон имеет одну витру управления физической основой фотона, а нейтрино имеет две вистры - *нейтровитр* и два атрина.

4. ЦИКЛИЧЕСКИЕ КОЛЕБАНИЯ СЕРИЙ АТРИНОВ СПОЛА

4.1. Циклические колебания серий атринов спола в неионизированном атоме

Атрины сполов имеют энергию, равную энергии наружных атринов нейтрона (стандарт нейтрона). При ионизации протона энергия атринов спола не изменяется, а равна энергии наружных атринов нейтрона. Размер серий флатры и атринов спола остаются равными размеру наружных атринов нейтрона. После выхода всех квантонов серий спола с хорд на радиусы, квантоны серий атринов спола совершают холостые пульсации и ждут, когда внутренние атрины пульсэда завершат полупериод циклических колебаний. Между сериями флатры и эфанами атринов спола, в их началах не возникает силового взаимодействия, и серии эфан, прижимая серии атринов к поверхности пульсэда, непрерывно наращиваются со стороны пульсэда. Сжатие серий атринов спола не происходит и электрические построино не синтезируются. Попытка выхода серий атринов на хорды пресекается сериями флатры и атрины спола - синтезируют атрисилы.

Электрические вектора первых квантонов магнитных серий кордиса устанавливают силовое взаимодействие с электрическими векторами последних квантонов электрических серий атринов спола и разворачивают их на 90^0 . Начинается процесс выхода серий атринов спола на хорды. При этом свободные концы электрических векторов первых квантонов серий кордиса создают голограмму, которая синтезирует из эфира электрические вистры, затем трансформируемые в гравитоны.

Эфаны спола у неионизированного протона не имеют «упоров» как в полюсах частиц имеют эфаны атринов в пульсэде, а потому в этом случае амплитуда колебаний квантонов серий атринов спола при выходе на хорды не изменяется. Плотность квантонов в хордовых сериях атринов спола остается такой же, какой она была у радиальных. Поэтому, у неионизированных протонов все квантоны серий спола выходят на хорды в течение времени, равного половине полупериода колебаний внутренних серий атринов нейтрона, создавая спин и магнитный момент в два раза больше, чем создает электрон. У неионизированного протона вся энергия атринов спола размещается на хордах и движение прекращается (рис. 21).

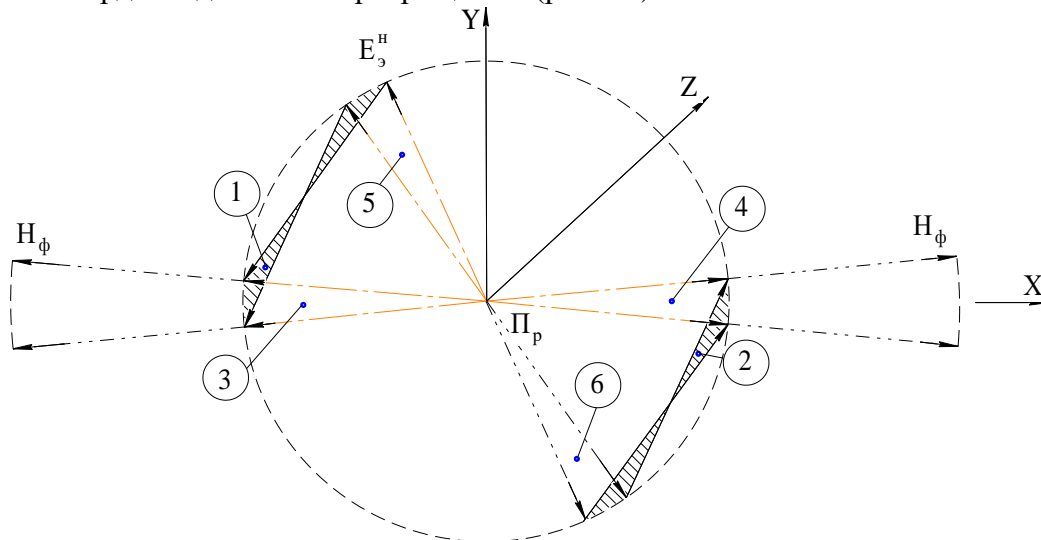


Рис. 21. Расположение хордовых атринов (1,2), ястрона – 3 и 4; кордисы – 5 и 6.

Прекращение перемещений хордовых серий атринов спола приводит к потере силовой связи между электрическими векторами первых квантонов серий вистр кордиса (5,6) и электрическими векторами последних квантонов электрических серий атринов спола (1,2) (рис. 21).

Электрические вектора серий вистр ястрона притягивают к себе серии вистр кордиса и они разворачиваются на угол 60^0 , располагаясь вдоль серий вистр ястрона (рис. 22). В этот момент флатры устанавливают силовую связь электрическими векторами последних квантонов своих серий с электрическими векторами первых квантонов серий спола и втягивают их в область флатры. Сполы выходят на радиусы и движутся вдоль флатры.

Вторую половину полупериода циклических колебаний хордовые атрины сполов перемещаются в радиальные.

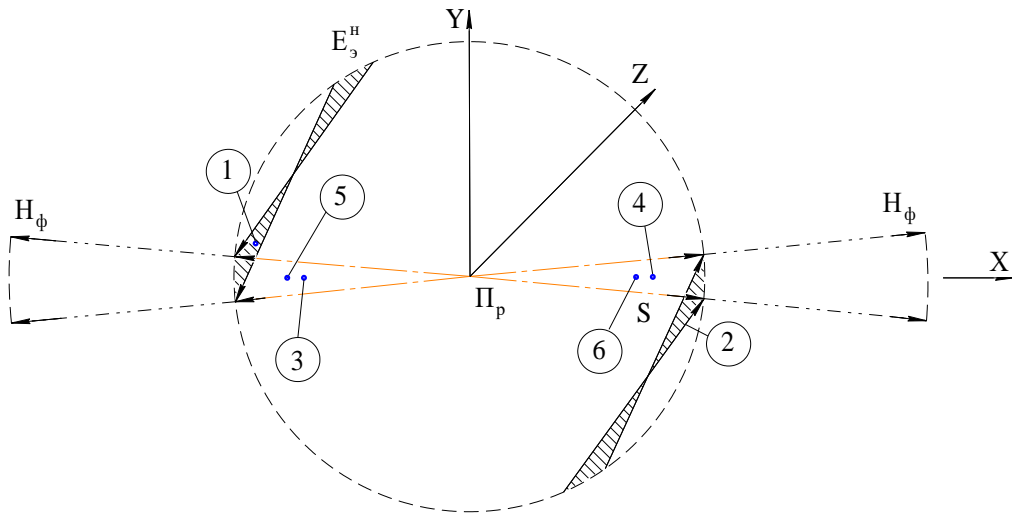


Рис. 22. Расположение хордовых атринов спла протона (1,2), и совмещенных ярстронов и кордисов (5,3) и (4,6).

4.2. Циклические колебания серий атринов спла ионизированного протона

Современная наука трактует ионизацию в газах как отщепление электронов от атомов или молекул, приводящее к образованию положительных ионов и свободных электронов.

Известны следующие процессы ионизации газов: электронным ударом, ударом ионов и атомов, фотоионизация, ударами второго рода и поверхностная ионизация. Механизмы процессов, протекающих в ядрах атомов при ионизации, остались без внимания.

Независимо от вида ионизации, процессы, протекающие внутри ядра атома, остаются неизменными. Ионизация произойдет только в том случае, если протону будет возвращена энергия ионизации, из которой будет синтезирован эпострис, который приведет к синтезу эфаны Ариадны, главного и производного построино и последующему выносу электрона тока из ядра атома. Электрические вектора квантонов серий эфан меняют на противоположное свое действие на серии атринов спла и вталкивают их в область пульсэда. Электрические вектора первых квантонов серий производной вистры флатры улавливают первые квантоны серий эфан и не дают им покинуть их пределы. Амплитуда выталкивания квантонов атрина на хорды удваивается. Теперь квантоны атринов спла на хордах имеют амплитуду пульсаций в два раза большую по сравнению с радиальными.

Вследствии того, что амплитуда колебаний квантонов хордовых серий удвоилась, по завершению выхода на хорды количества квантонов спла, равного половине энергии отрезков внутренних атринов нейтрона, выход квантонов спла на хорды прекращается (рис. 23), так как их длина становится равной радиусу внутренних серий нейтрона. Кордис 3,4 (рис. 23) теряет силовую связь с хордовыми сериями атринов спла и возвращается на свое рабочее место 3 (рис. 24).

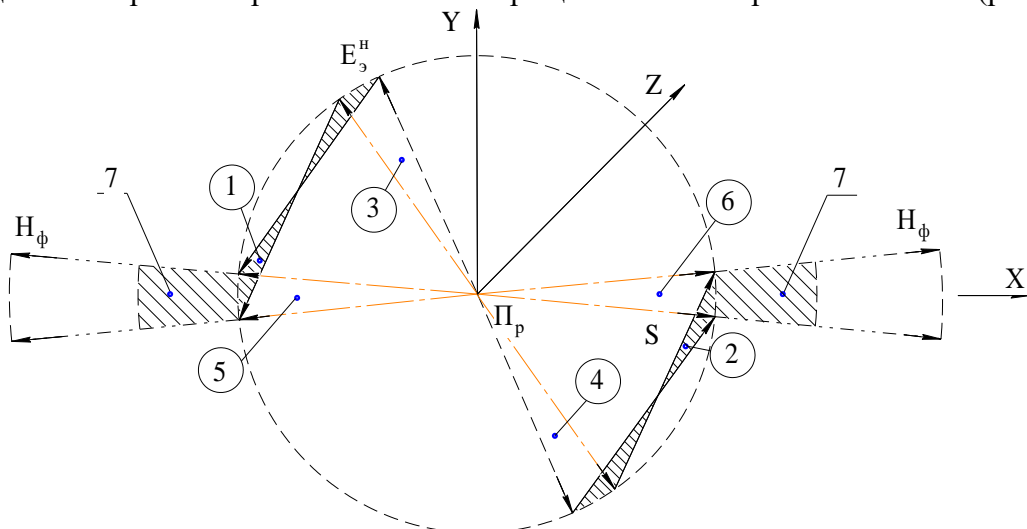


Рис. 23. Завершение процесса синтеза хордовых серий атринов спла: 1,2 – атрины спла на хордах; 3,4 – кордисы перед потерей силовой связи с атринами спла; 5,6 – ярстрон, 7 – остаток радиальных серий спла.

Электрические вектора первых квантонов серий кордиса устанавливают силовую связь с электрическими векторами последних квантонов радиальных серий 5 и 6 и, сокращаясь, втягивают крайние серии в пределы ярстрона (рис. 24).

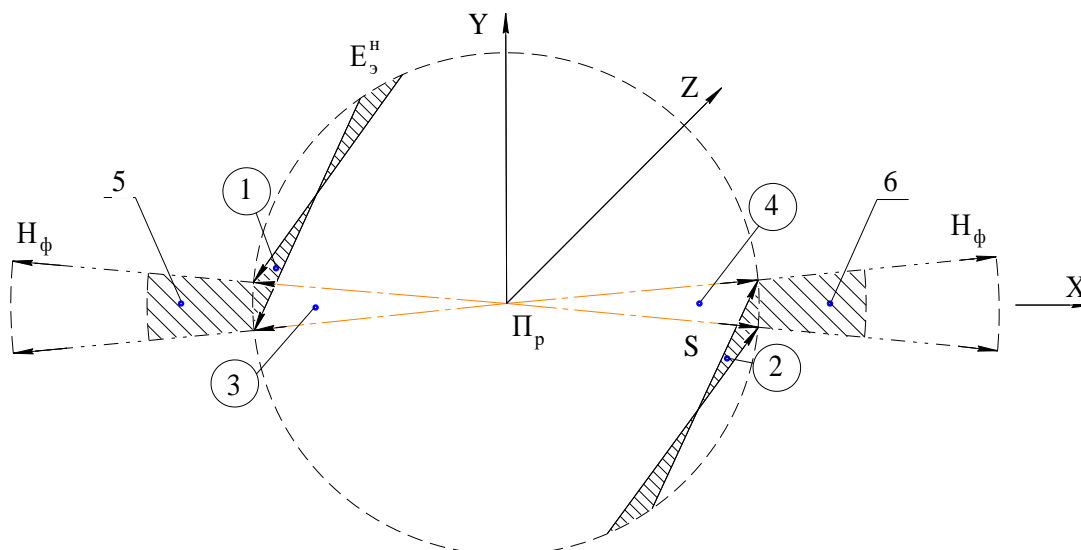


Рис. 24. Расположение хордовых атринов (1,2) и совмещенных ярстрона и кордиса (3,4) перед втягиванием остатков радиальных серий атринов 5 в область пульсэда.

Освободившиеся электрические вектора последних квантонов серий кордиса устанавливают силовую связь с электрическими векторами хордовых серий остатков атринов спола и втягивают их в область производной вистры флатры. Осуществляется переход хордовых серий в радиальные. Когда последние квантоны хордовых серий переходят в радиальные, они устанавливают силовую связь с электрическими векторами радиальных серий спола, расположенных в области ярстрона, которые выталкиваются в область производной вистры флатры. Вследствие такой комбинации период циклических колебаний серий спола сокращается на $0,25T$, где T – период циклических колебаний серий атринов. Это свойство спола дает возможность иону сохранять постоянными периоды циклических колебаний атринов пульсэда и спана.

Периоды циклических колебаний атринов пульсэда и спана будут сохраняться постоянными. Энергия атринов спола не зависит от величины энергии серий атринов пульсэда и спана.

Ионизация протона приводит к уменьшению количества синтезированных сполом гравитонов в два раза. Следовательно, спин и магнитный момент, создаваемые сполом, также уменьшаются в два раза, в результате чего пульсэд реперного протона прекращает вращаться, так как его результирующий спин становится равным нулю, а магнитный момент, создаваемый положительным ионом водорода, становится равным:

$$\mu = 2,29285\mu_0.$$

4.3. Структура спола и закономерности циклических колебаний его серий

В отличие от атринов пульсэда и спана, атрины спола имеют две системы управления:

- за пределами пульсэда атринами спола управляют флатра и произ вистра флатры;
- в секторе пульсэда атринами спола управляет кордис, которые представляют собой самостоятельную производную вистру зеркального копирования (рис. 25).

Отличие между протоном и нейтроном, находящихся в ядре атома, заключается в том, что у первого дополнительно имеется две секры: спола и электрона, а также спол, который выведен за пределы внутренних атринов пульсэда. Исключение составляют только некоторые атомы, например He^4 , у которых нейтроны имеют секры спола и электрона, квадраны которого израсходованы на согласование спинов нуклонов ядра. Так как ядро атома очень сложное, то для упрощения рисунка покажем только диск внутренних вистр яритиса H , к которому подсоединены флатроны 5, 6 (рис. 25). Серии флатронов подсоединены к наружным сериям ярстрона, вистры которых входят в состав яритиса, однако сохраняют размеры своих серий неизменными. Серии вистр флатронов сохраняют свой размер в соответ с размером серий стандартов нейтрона.

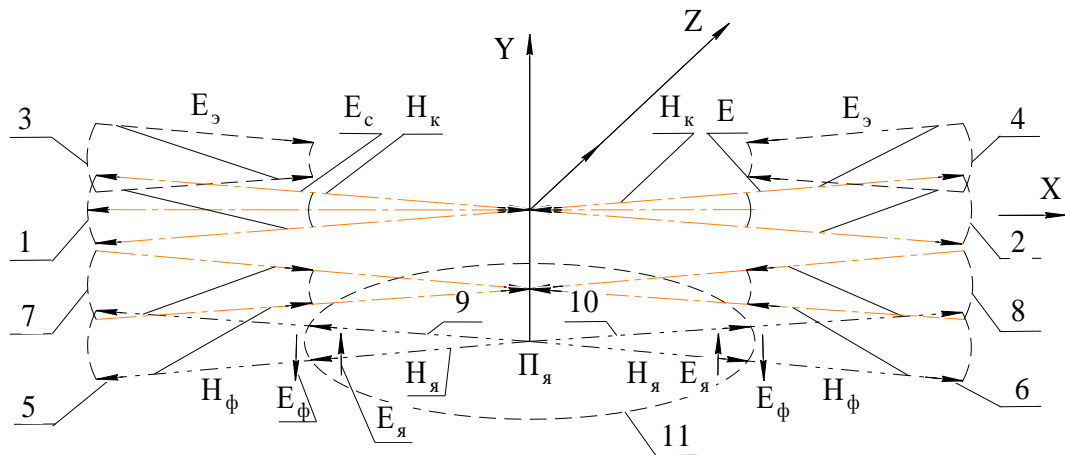


Рис. 25. Система управления атринами спол: 1, 2 – атрины спол; 3, 4 – эфаны спол – система привода спол в движение; 5, 6 – флатра; 7, 8 – производные вистры флатры – система управления сполом; 9, 10 – ярстроны; 11 – внутренние вистры ярритиса.

Это обусловлено тем, что хотя серии флатронов являются продолжением серий ярстронов, однако у них электрические вектора квантонов E_{Φ} и E_{Ψ} направлены в диаметрально противоположные стороны. В таком случае магнитные вектора квантонов серий флатронов и ярстронов могут иметь одинаковую амплитуду пульс векторов атрисов квантонов. Наружные вистры 9 и 10 работают с ярстроном синхронно. Управляет колебаниями серий спол вне наружных вистр ярритиса флатра, работая по программе флатры.

Задача кордисов H_k заключается в том, чтобы не дать возможности сериям спол проникнуть в ядро атома. Кордисы удерживают серии спол на хордах ярритиса, участвуя в создании атринами спол гравитонов, спина и магнитного момента.

Как обычно, система привода серий сполов 1, 2 является сменной 3, 4 – это эфана (рис. 25). Производные вистры флатры (флатрон) 7, 8 и флатра 5,6 помогают атринам спол синтезировать электрические и магнитные пострино.

Рассмотрим слой физической основы пульсэда протона (рис. 26), на котором покажем по одной серии от наружных и внутренних атринов пульсэда: E_p^b и E_x^b - радиальная и хордовая серии внутренних атринов квадрона; а E_p^h и E_x^h - радиальная и хордовая серии наружных атринов этого же квадрона. Внутренние и наружные серии атринов пульсэда создают спины P^b и P^h , направленные в диаметрально противоположные стороны, а результирующий спин равен их алгебраической сумме $P^h + P^b$ и совпадает с вращением, создаваемым наружными атринами. Направление спина, создаваемого сполом P^s такое же, как и у спина, создаваемого внутренними атринами пульсэда, а так как спин спол в два раза больше спина нейтрона (суммарного спина $P^h + P^b$), то результирующий спин пульсэда протона изменяет свое направление на противоположное по отношению к нейтрону.

Направление действия результирующего спина совпадает с направлением векторов E_x^h хордовых наружных серий (рис. 26). Магнитные вектора, создаваемые при трансформации электрических гравитонных серий в гравитоны E_{μ}^h и E_{μ}^b - также направлены в разные стороны, а результирующий магнитный момент равен алгебраической сумме моментов, создаваемых наружными и внутренними хордовыми сериями атринов пульсэда. Результирующий магнитный момент пульсэда имеет направление гравитонов трансформируемых наружными сериями E_{μ}^h (рис. 26).

Направление магнитного момента, создаваемого сполом, совпадает с направлением сумарного магнитного момента, создаваемого наружными и внутренними атринами пульсэда. Поэтому результирующий магнитный момент пульсэда атома равен сумме спинов, созданных сполом и пульсэдом.

В отличие от электрона, у которого гравитоны, магнитные и электрические пострино создаются в начале серий атринов, у спол в начале серий атринов создаются электрические и магнитные пострино, а в конце серий – гравитоны.

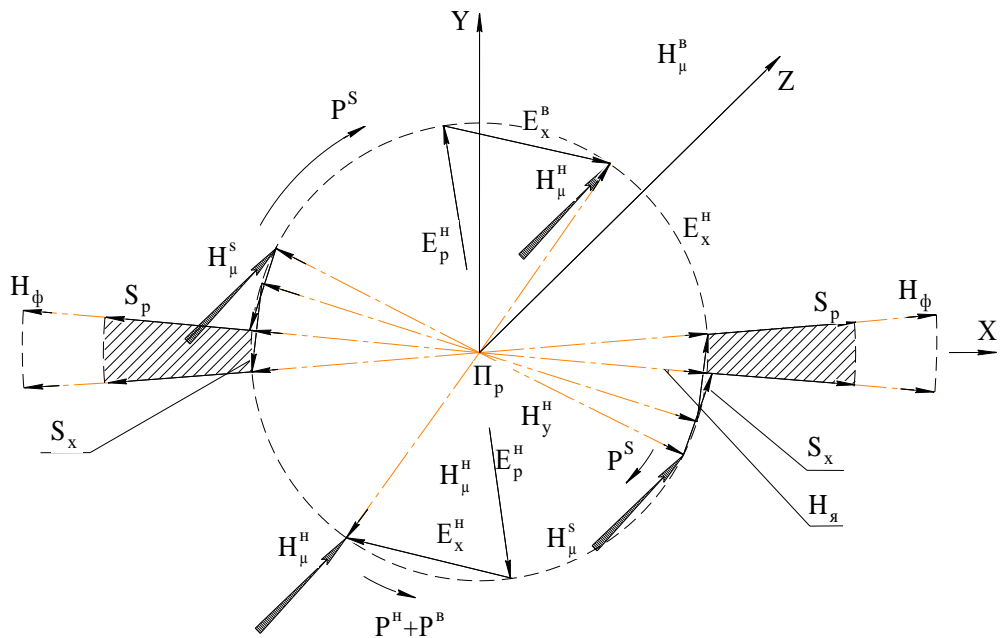


Рис. 26. Расположение серий атринов пульсэда протона, а также направлений действий спинов и магнитных моментов, в момент времени равном 3/10 периода:

E_p^H и E_x^H - наружный атрин; H_μ^S и H_μ^H - направление магнитных моментов наружных атринов и спол S_x , совпадающие по направлению; $P^S = 2(P^H + P^B)$ - спин спол равен удвоенному суммарному спину наружных и внутренних атринов; H_ϕ – серии флатры; H_k – серии кортиса; H_α - серии ярстрона.

Выходы серий сполов на хорды у невозбужденного атома не приводят к увеличению амплитуды колебаний векторов квантонов хордовых серий в два раза из-за того, что эфаны сполы не удерживаются вистрами произ вистры флатры, чтобы создать двойную амплитуду выталкивания серий сполы. Поэтому, при выходе серий сполы на хорды, амплитуды колебаний векторов атринов сохраняются прежними и размер хордовых серии сполов должен быть равным радиусам внутренних вистр нейтрона.

Все квантоны серий атринов сполов полностью выходят на хорды, что приводит к непрерывному созданию гравитонов во время выхода атринов сполы на хорды, а, следовательно, спин и магнитный момент создается в течение четверти периода, то есть в два раза дольше по сравнению с атринами пульсэда. Следовательно, сполы атома будут создавать мнимую массу в размере одного электрона. Одновременно спол создает стабильный спин и магнитный момент в два раза большие по сравнению с электроном. Спин, создаваемый сполом, имеет направление спина, создаваемого внутренними атринами, а магнитный момент совпадает с направлением магнитного момента, создаваемого наружными атринами.

Закономерности циклических колебаний серий сполы протона

1. Электрон и спол синтезируются в момент радиоактивного распада нейтрона, первый из которых осуществляет сброс избыточной энергии протона и может покидать пределы пульсэда при ионизации атома, а второй – выводится за пределы пульсэда, но сохраняет силовую связь с пульсэдом, и может создавать только электрическое поле под действием эпостриса и эфаны Ариадны.

2. Спол неионизированного протона создает спин и магнитный момент в два раза больший, чем создает электрон, так как он синтезирует гравитоны в течение половины полупериода циклических колебаний атринов, а электрон – четверти.

3. Спин, создаваемый сполом неионизированного протона, суммарному спину, создаваемому наружными и внутренними сериями пульсэда, который равен 1/2 и направлен в диаметрально противоположную сторону. Поэтому, под действием спина, создаваемого сполом, пульсэд изменяет направление вращения на противоположное.

4. Спол ионизированного протона создает спин и магнитный момент в два раза меньше по сравнению с неионизированным, в результате чего спин ионизированного протона становится равным нулю, т.е. ионизированный протон не вращается.

5. Магнитный момент, создаваемый сполем, направлен в ту же сторону, что и магнитный момент пульсэда, а потому они складываются.

6. При радиоактивном распаде нейтрона из его пульсэда удаляется 5 квадронов, спин пульсэда уменьшается. Для восстановления спина пульсэда до $1/2$ производится перераспределение энергии одного квадрона между сериями внутренних атринов. Поэтому магнитный момент протона равен не $2,913\mu_N$, где μ_N - ядерный магнетон, а $2,793\mu_N$.

7. Стороннее гравитонное поле действует на спол протонов атомов с силой в два раза большей, чем на электрон, хотя каждый из них состоит из двух атринов, т.е. спол каждого неионизированного протона атома создает мнимую массу в размере электрона.

8. Спол ионизированного протона не создает мнимой массы.

9. Проявленная масса атрина спол ионизированного протона не зависит от его избыточной энергии и всегда равна массе наружного атрина нейтрона (стандарт нейтрона).

10. В ядре атома, в отсутствии ионизации протонов, собственная энергия каждого атрина спол и электрона равна энергии наружных атринов нейтрона (стандарт нейтрона).

11. Электрон может покинуть ядро атома (процесс ионизации) только тогда, когда внутренним атринам пульсэда будет возвращена энергия, которую они сбросили, чтобы восстановить уменьшенный спин из-за торможения электроном пульсэда.

4.4. Атрисный стандарт ядра атома

1. Энергия наружных атринов пульсэда всегда сохраняется величиной постоянной и равной стандарту нейтрона. Энергия внутренних атринов пульсэда подбирается всегда такой, чтобы величина спина сохранялась равной $1/2$. Энергия наружных атринов спана может быть больше стандарта нейтрона. Однако, величина спина, создаваемая спиновыми сериями, сохраняется величиной постоянной и также равной $1/2$.

2. Продольная ось электрона сохраняет стабильное положение в пространстве при отсутствии стороннего силового воздействия на него. Спин обеспечивает биртону электрона поворот на 360° за период циклических колебаний атринов, если отсутствует торможение серий биртрона и серий яритиса протона.

3. Вистры систем управления электронами, позитронами и сполем приобретают размер вистр наружных серий нейтрона.

4. Независимо от энергии атринов новый полупериод циклических колебаний все атрины частицы начинают одновременно. Наружные атрины, завершившие свой полупериод колебаний, совершают холостые пульсации векторов атрисов квантонов, и синтезируют из квантонов эфира в «свободное» время расилшубы.

5. В процессе синтеза гравитонов атринами частиц одновременно работают и все вистры систем управления. Под управлением вистр систем управления все атрины пульсэдов и спанов движутся только в одном направлении. Выход атринов на хорды круга сопровождается синтезом гравитонов.

6. Гравитоны синтезируются атринами пульсэдов и спанов каждую четверть каждого полупериода циклических колебаний атринов при выходе их серий на хорды.

7. При электрон-ионной рекомбинации энергия атринов электрона и спол не изменяется. Электрон после электрон-ионной рекомбинации располагается параллельно сериям атринов пульсэда протона, тормозя вращение серий пульсэда, что вынуждает увеличивать спин, уменьшая энергию внутренних атринов пульсэда.

8. При ионизации атома энергия ионизации распределяется равномерно между внутренними атринами пульсэда.

9. Сброс избыточной энергии или перераспределение энергии между внутренними атринами пульсэдов осуществляется только при фазовых переходах.

10. Спины, создаваемые пульсэдом и электроном, обеспечивают возможность энергообмена между наружными и внутренними атринами, ионизацию и излучение фотонов.

11. Абсолютный нуль температуры – это такое энергетическое состояние атома, при котором энергия наружных атринов спанов становится равной нулю.

12. Температура атома определяется уровнем энергии наружных атринов спана.

13. Электрон не может обладать избыточной энергией, энергия синтезируется только в результате захвата электрона главным построино, что приводит к сжатию серий 1 атрина электрона и синтезу дополнит энергии, кот приводит к синтез 2 атрином электрона маг построино.

14. Ядро атома состоит из пакета дискообразных пульсэдов, расположенных на одной оси, вдоль которой расположен спан. Пульсэды нейтронов и протона в ядре атома, как правило, расположены попарно, чередуясь последовательно: за двумя протонами идут два нейтрона, что создает суммарный спин пары, равный нулю.

15. Атрины спола протона неионизированного атома, имеющие такую же энергию как у электрона или позитрона, создают спины, магнитный момент и проявленную массу в два раза большие. Измеряемая масса каждого протона неионизированного атома больше его реальной энергии на величину массы одного электрона.

16. Спан ядра атома служит компенсатором тепловой энергии. Избыточную энергию принимают на себя наружные атрины спана, а когда она превышает допустимый предел стандартом нейтрона, происходят фазовые переходы.

4.5. Анализ спинов, магнитных моментов и энергии связи нуклонов легких атомов

Спин – внутренний момент количества движения микрочастиц, имеющий квантовую природу и не связанный с перемещением частицы как целого - это общепризнанный в науке постулат.

Концепция спина была впервые введена в физику в 1925 году Дж. Уленбеком и С. Гаудсмитом, предположившими существование у электрона спинового механического момента $\hbar/4\pi$, где \hbar - постоянная Планка, и ассоциированного с ним магнитного момента $\frac{he}{4\pi mC}$, где e – заряд электрона, m – его масса, C – скорость света. Возможность рассчитывать по «открытым формулам» что-то «величественное» и «необъяснимое» стало основой фундаментальной науки мира. Истину подменили математическими преобразованиями без физического смысла.

Утверждение о том, что спин имеет квантовую природу, позволило ученым отказаться от поиска истины: природы и назначения спина при осуществлении обмена энергией, происходящей в ядре атома и взаимодействия электронов с полями.

Как было показано выше, спины и магнитные моменты создаются в процессе синтеза микрочастицей из эфира гравитонов и связаны с необходимостью вращения частицы как целого для осуществления процессов внутреннего энергообмена в ядрах атома. Ученые в термин «квантовая природа» спрятали все то, до осознания механизмов элементарных процессов чего не смог проникнуть разум.

Ядро атома состоит из протонов и нейтронов. Внутри протона спины и магнитные моменты создают спола, внутренние и наружные атрины пульсэда и электрон. Результирующий спин и магнитный момент будут зависеть от их взаимной ориентации.

В таблице №1 показаны массы ядер атомов с набором электронов, спины и магнитные моменты. Проведем анализ распределения энергии внутри пяти первых ядер атомов.

Таблица №1

Спин P , магнитный дипольный момент μ , масса m и энергия связи ε нуклонов и легких ядер

Символ элемента	Спин ядра	Магнитный момент в ядерных магнетонах	Масса ядра, m , МэВ	Полная энергия связи нуклонов в ядре, E , МэВ
n	1/2	+1,913148	939,505 ± 0,01	-
H_1^1	-1/2	2,79285	938,21 ± 0,01	-
H_1^2 (Д)	1	0,85744	1876,1358	2,2263
H_1^3 (Т)	1/2	2,97884	2809,4499	8,4852
He_2^3	1/2	-2,12762	2809,4312	8,5035
He_2^4	0	0	3728,4246	28,11

При радиоактивном распаде нейтрона, или пакета нейтронов, формирование ядра протона осуществляется за счет квадронов пульсэда нейтрона. У атома водорода из пульсэда уходит 5 - 6 квадронов: из одного формируется электрон и нейтрино, из второго - спол, а из двух оставшихся создается спан. Два квадрона расходуется на увеличение энергии внутренних атринов, чтобы пульсэд протона сохранил величину спина, равную 1/2.

У дейтерия (Д) спан также состоит из двух квадронов, у атомов трития (Т) и гелия-три (He_3^2) - из четырех квадронов.

Начиная из элемента гелий-четыре (He_4^2) у всех остальных атомов таблицы элементов спан состоит из восьми квадронов. Каждый нуклон ядра атома удаляет из своего пульсэда восемь квадронов, которые в протонах идут на создание спана, а протоны расходуют дополнительно еще два квадрона.

Таблица №2

Энергия ионизации и полные энергии образования легких атомов, эВ

Символ атома	Z	E ₁ (Z)	E ₂ (Z)	E ₃ (Z)	E ₄ (Z)	E ₅ (Z)	E ₆ (Z)	E ₇ (Z)	E ₈ (Z)	ΣE _i
H	1	13,6								13,60
He	2	24,58	54,40							78,98
Li	3	5,39	75,62	122,42						203,43
Be	4	9,32	18,21	153,85	217,66					399,04
B	5	8,30	25,15	37,92	259,30	340,13				670,80

Однако, спан у каждого атома только один, и синтезируется он за счет квадронов реперного протона. Вся остальная энергия «лишних» квадронов выделяется в виде излучения, а также может идти на повышение энергии внутренних атринов пульсэдов обеих атринов спана или на повышения температуры ядра атома. В очень редких случаях, которые необходимо обосновать, спаренные нейтроны ядра могут удалить из пульсэдов еще по два квадрона, из которых у реперных протонов формируются спол и электрон. Если из нейтрона атома дополнительно расходуется еще два квадрона, которые у протона расходуются на синтез электрона и спол, тогда энергия связи ядра атома рассчитывается по формуле:

$$W_y = m_k(Y - 1) + X, \quad m_k = \frac{m_n}{N} \quad (4)$$

где W_y - энергия связи ядра атома, имеющего Y нуклонов, m_k – энергия квадрона, $N=900$ квадр, X – энергия квадронов, удаляемая дополнительно из нейтронов. В некоторых случаях для согласования спинов пульсэдов в ядре атома не хватает энергии, и тогда два спаренных нейтрона выбрасывают еще по 2 квадрона – X энергия.

Спол в ядре атома водорода создает спин, в два раза больший результирующего спина иона протона, а у иона водорода спол создает спин, равный результирующему спину пульсэда протона.

Согласно современным физическим представлениям, магнитный дипольный момент, создаваемый электроном, равен магнетону Бора с небольшими уточнениями:

$$\mu_e = 1,0014535\mu_o, \quad \mu_o = \frac{eh}{4\pi_e m_e} \quad (5)$$

где e и m_e - заряд и масса электрона, h – постоянная Планка, μ_o - магнетон Бора.

У атомов и нейтронов магнитный дипольный момент измеряется в ядерных магнетонах:

$$\mu_o = \frac{eh}{4\pi m_p} \quad (6)$$

где m_p - масса протона. У протона магнитный дипольный момент больше, чем у электрона в $n = \frac{m_p}{m_e}$ раз, что не соответствует Атрисной физике.

Спин спол направлен навстречу спине пульсэда протона, который в два раза меньше, а потому спин спол изменяет направление вращения пульсэда протона на противоположное. Направление магнитного момента спол совпадает с магнитным моментом наружных атринов пульсэда, а потому они складываются.

При энергии спол, которая равна энергии электрона, первый притягивается гравитационным полем с силой в два раза большей, что создает иллюзию существования дополнительной энергии протона в размере электрона. Следовательно, измеряемая масса атома всегда больше реальной энергии на величину:

$$\Delta m_e = m_e \cdot Z, \quad (7)$$

где Z – число протонов в ядре атома. Реальная масса атома будет рассчитываться по формуле:

$$m_a = m_T - m_e Z, \quad (8)$$

где m_a - реальная масса атома, m_T - табличное значение массы атома.

Дейтерий состоит из нейтрона и протона, пульсэды которых создают спины, направленные навстречу друг другу (рис. 27) и взаимно компенсируют друг друга. Спол протона создает магнитный дипольный момент порядка $\mu_5 = 0,85\mu_N$.

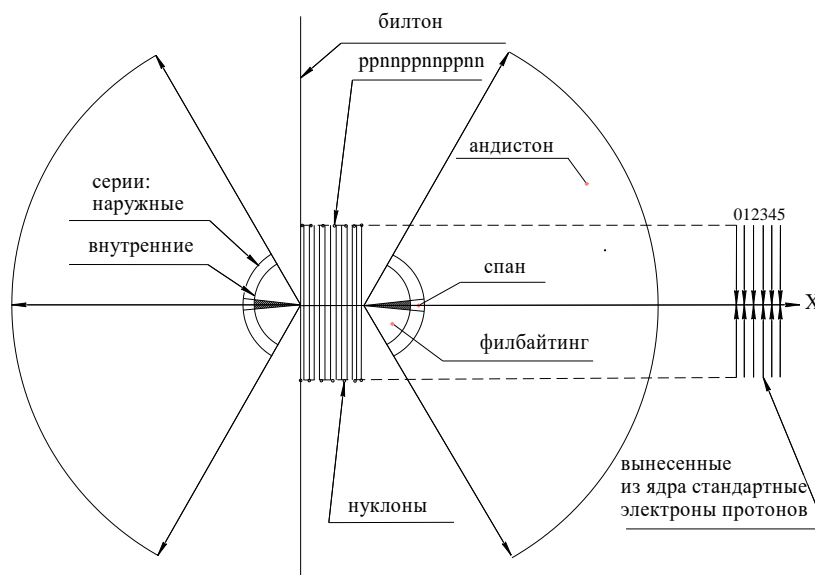


Рис. 27. Сечение атома углерода.

У трития (Т) и гелия – 3 (He_3^2) спан состоит из 4 квадронов. Каждый нуклон Т и He_3^2 также отдает обязательных 4 квадрона. Еще несколько квадронов расходуется на увеличение внутренних атринов для обеспечения стандартного спина у пульсэдов нейтронов.

Краткий анализ распределений спинов, магнитных моментов и «энергии связи» дан, чтобы показать возможность расчета всех физических параметров атомов таблицы элементов при всех фазовых превращениях для всех трех состояний. Формулы для расчетов спинов и магнитных дипольных моментов пульсэда будут уточняться.

4.6. Расчет распределения энергии в ядре протона

Для достоверности расчетов распределений энергии, в ядрах атомов при всех фазовых превращениях необходимы сведения о физических параметрах ядер атомов, изотопов, изомеров, а также сведения о физических свойствах вещества.

Открытие «стандартов ядер атома», а также виденье внутриядерных процессов, уже сегодня позволяет составлять алгоритмы расчетов распределения энергии между внутренними и наружными атринами пульсэдов и спанов нуклонов в ядрах атомов.

Установить распределение энергии между атринами в пульсэдах и спанах ядер атомов можно на основе Атрисной физики и опираясь на результаты экспериментальных данных.

Значение спина ядра дает возможность установить последовательность чередования нуклонов в ядрах атомов (рис. 27). Магнитный дипольный момент и масса ядра позволяет рассчитать распределение энергии между внутренними и наружными атринами пульсэдов. Энергии ионизации дает возможность установить влияние трения поверхностей пульсэдов в пакетах нуклонов на дополнительный сброс энергии внутренними атринами в зависимости от числа нуклонов в пакете.

Энергия связи в молекулах и кристаллах, зависимость размеров атомов в молекулах и кристаллах от температуры и фазовые переходы позволяют уточнить распределение энергии между атринами спанов и пульсэдов.

Согласно современным физическим представлениям, магнитный дипольный момент атома обусловлен орбитальным движением электронов:

$$M = JS, \quad (9)$$

где J – ток, S – площадь контура.

В Атрисной физике показано, что магнитный дипольный момент создается в результате синтеза внутренними и наружными атринами пульсэдов гравитонов (рис.19). В процессе синтеза гравитоны располагаются перпендикулярно поверхности пульсэда в начале вистр яритиса. При этом гравитоны наружных серий направлены в одну сторону, а внутренние – в диаметрально противоположную.

Спол протона создает свой магнитный дипольный момент и спин, которые сохраняются постоянными в атомах, а у ионов уменьшаются в два раза.

Так как масса гравитонов, синтезируемая одним из атринов за период циклических колебаний всегда равна собственной массе атрина, то можно принять, что орбитальный ток каждого атрина прямо пропорционален массе атрина, а радиусы контуров равны внутренним и наружным радиусам атринов. В этом случае формула (9) примет вид:

$$M = m r_a^2 k, \quad (10)$$

где m – масса создающая магнитный момент, r_a – радиус атрина, k – коэффициент пропорциональности. Для пульсэда нейтрона (6) получим:

$$M_n = (m_n \cdot r_n^2 - m_b \cdot r_b^2) \cdot k N_n, \quad (11)$$

где N_n – количество ниртонов, входящих в состав нейтрона ($N_n=1800$).

Так как масса (энергия) наружных атринов пульсэдов всех нуклонов атомов Вселенной остается величиной постоянной и равной половине массы электрона $9) m_e/2$, то масса внутреннего атрина нейтрона будет:

$$m_b = \frac{m_n - N_n m_n}{N_n} = \frac{m_n - 900 m_e}{1800}, \quad (12)$$

где m_n – масса нейтрона, $m_n = \frac{m_e}{2}$, N_n – количество ниртонов в нейтроне ($N_n=1800$). Для расчета радиусов наружных и внутренних атринов, воспользуемся формулой [6]:

$$r_a = \frac{h}{4m_a C}, \quad (13)$$

где h – постоянная Планка; m_a – масса атрина; C – скорость света. Подставим (13) и (14) в (8), получим общую формулу для расчета магнитного дипольного момента:

$$M = \frac{h^2 k}{16C^2} \left(\frac{1}{m_n} - \frac{1}{m_b} \right) N, \quad (14)$$

Расчет по (15) для нейтрона при условии, что $m_n=900m_e$, а $m_b=938,68m_e$, а $N_n=1800$ ниртонов, дает:

$$M_n = \frac{h^2 k}{m_e C^2} \cdot 9,27155, \quad (15)$$

Так как магнитный дипольный момент нейтрона (15) является величиной постоянной (табл. 1), взяв его за основу, можно рассчитать и уточнять распределение энергии между внутренними и

наружными атринами пульсэдов и спанов в ядрах атомов (по результатам измерений массы ядер атомов и их магнитных дипольных моментов).

В ядрах атомов определяющим параметром по распределению энергии между внутренними и наружными атринами пульсэдов служит постоянство угла поворота пульсэда относительно филбайтинга, который равен $12'00''$ для обеспечения энергообмена между всеми компонентами ядра. В реальном ядре атома у реперного протона устанавливается прямая силовая связь в полюсе ядра между сериями яритиса и филбайтинга. Вращаются серии пульсэда вместе с яритисом и сериями филбайтинга как одно целое. Однако, необходимо производить расчет величины спина реперного протона, как будто бы этой силовой связи не существует.

При синтезе атомов каждый нейтрон пакета должен расходовать минимальное количество квадронов. Паружные и внутренние атрины спана каждого атома должны получить избыточную энергию в соответствии с программой ядра. Лишняя энергия распавшихся квадронов выделяется в виде тепловой.

4.7. Расчет магнитного дипольного момента пульсэда атома водорода

Установлено, что нейтрон атома с одним нуклоном теряет 5 (пять) квадронов. У дейтерия протон расходует 5, а нейтрон 3 квадронов. У пакетов нейтронов трития (Т) и He_2^3 протоны расходуют по 10 квадронов, а нейтроны – по 7.

В таблице элементов He_2^4 является самым уникальным элементом, так как все протоны и нейтроны расходуют по равному количеству квадронов — 13. Это обусловлено тем, что на атрины спана расходуются по 8 квадронов и необходимо увеличить внутреннюю энергию атринов пульсэда, чтобы сохранить угол поворота в $12'00''$, а энергии 3 квадронов не хватает, и нейтроны выделяют еще по 2 квадрона, которые в протонах расходуются на синтез электрона и спола.

При синтезе всех остальных атомов элементов из пакетов нейтронов протоны расходуют по 13, а нейтроны – по 11 квадронов.

Рассмотрим распределение энергии, возникающее в результате радиоактивного распада нейтрона.

Из пульсэда нейтрона удалены квадроны:

1. Из первого квадрона синтезируется электрон и нейтрино;
2. Из второго квадрона синтезируется спол, а оставшаяся энергия идет на укомплектование внутренних атринов пульсэда для сохранения его угла поворота относительно филбайтинга;
3. Из двух следующих квадронов синтезируется спан, который создает результирующий спин и магнитный дипольный момент;
4. Пятый квадрон идет на укомплектование спина пульсэда протона. Следовательно, в состав пульсэда протона входит $N_{pn} = 1790$ ниртонов.

Так как направление магнитного дипольного момента спола совпадает с направлением магнитного результирующего дипольного момента пульсэда протона, а радиусы у них разные, то их необходимо рассчитывать отдельно. Для расчетов выразим массу протона в единицах m_e : $m_p = 1836,105m_e$. Масса внутренних атринов пульсэда протона водорода будет равна:

$$m_{вр} = m_n - m_{нр} - 2m_k, \quad (16)$$

где $m_{вр}$ – масса внутренних атринов пульсэда, $m_{нр}$ – масса наружных атринов пульсэда протона ($m_{нр} = 0,5m_e \cdot N_{pn}$); равная произведению числа ниртонов N_{pn} в пульсэде на массу наружного

атрина, m_k – масса квадрона ($m_k = \frac{m_n}{900} = 2,042976m_e$).

Учитывая изложенное, получаем:

$$m_{вр} = 935,508m_e. \quad (17)$$

Расчет по (12) с учетом значений N_{pn} и $m_{вр}$, дает:

$$M_{pp} = \frac{h^2 k^2}{m_e C^2} \cdot 9,68884868. \quad (18)$$

Реальный внешний радиус спола требует уточнения. Оценки показали, что внешний радиус атринов спола может находиться в пределах $(2,84-2,87)r_n$, а общая масса реальная и мнимая равны $2m_e$, то:

$$M_s = \frac{h^2 k^2}{m_e C^2} \cdot (4,0328-4,11849). \quad (19)$$

Для расчета магнитного дипольного момента в магнетонах Бора примем за опорное значение $M_n = 1,913148\mu_B$ и, используя данные(15), (18) и (19), можно получить:

$$M_{pp} = 1,99918\mu_B; \quad (20)$$

$$M_s = 0,832152\mu_B - 0,84983\mu_B. \quad (21)$$

Расчет по Атрисной физике для ядра атома водорода дает значение: $M_p = 2,84748 \mu_B$.

Ошибка расчета результирующего магнитного дипольного момента не превышает 1,5%.

Температуру атома и агрегатные состояния вещества определяют избыточной энергией наружных атринов спанов. Только при абсолютном нуле энергия атринов спана равна энергии атринов в квадроне нейтрона. Уже при радиоактивном распаде нейтрона атрины спана получают избыточную энергию, определяющую температуру и агрегатное состояние.

Максимальная энергия внутренних атринов спана не может быть больше энергии внутренних атринов пульсэда реперного протона. Так как разность энергии внутренних и наружных атринов спана определяет размеры атома (чем меньше разность, тем больше внешний диаметр атома), а общая избыточная энергия – температуру, то максимальная температура атомов ограничена. При радиоактивном распаде тяжелых атомов и при накачке иону электрической энергии на местах секр заканчиваются атрины в систему пульсэда. Ион обладает избыточной энергией, которую он может сбросить, но эта энергия не определяет температуру ионов.

Понятие «высокотемпературная плазма» является ошибочной интерпретацией результатов взаимодействий с веществом ионов с избыточной энергией, где и происходит выделение энергии атринов, поступившие на секры.

При распределении энергии квадронов пульсэда, покидающих его, пока не учитывалось полное распределение энергии между внутренними атринами пульсэда и внутренними и наружными атринами спана, так как для решения этих задач необходимо достаточно много дополнительной информации.

4.8. Магнитный дипольный момент дейтерия

Синтез дейтерия не оказывает существенное влияние на распределение энергии в пульсэде протона. Силовая связь между нуклонами дейтерия, которые вращаются навстречу друг другу, ведет к снижению моментов количества движения в обоих нуклонах. Для восстановления спина протона производится уменьшение энергии внутренних атринов: спин пульсэда протона уменьшается, а вращательный момент увеличивается, так как спол создает спин в диаметрально противоположном направлении относительно пульсэда.

При уменьшении вращательного момента нейтрона дейтерия, его пульсэд должен увеличить вращательный момент за счет увеличения энергии внутренних атринов пульсэда. При этом протон дейтерия отдает, а нейтрон принимает равную энергию.

У дейтерия из состава нейтрона удаляются два квадрона, которые были израсходованы протоном на синтез спана, а один квадрон расходуется на комплектацию спина нейтрона:

$$\begin{aligned} m_d &= 1876,1358 \text{ МэВ}, \\ m_p^d &= 938,21 \text{ МэВ}, \\ m_n^d &= 937,9148 \text{ МэВ}, \\ N_n^d &= 1794 \text{ ниртона}, \\ M_n^d &= \frac{h^2}{mC^2} 9,64708, \\ M_n &= 2,99063\mu_B. \end{aligned} \quad (22)$$

Протон создает магнитный дипольный момент $2,79285\mu_B$, а потому результирующий магнитный дипольный момент дейтерия будет равен $0,8022 \mu_B$.

Внутриядерное перераспределение энергии претерпевает существенные изменения, так как спан протона трития состоит из $4m_k$ квадронов.

4.9. Расчет спина протона

Внутренние и наружные атрины пульсэда имеют одинаковую среднюю угловую скорость вращения:

$$\omega = \frac{\pi}{900T}, \quad (23)$$

где $T = \frac{h}{m_B C^2}$ - период циклических колебаний внутренних атринов пульсэда.

Тогда:

$$P_P = \frac{h\pi}{1,44 \cdot 10^4} \left(\frac{m_B}{m_H} - 1 \right), \quad (24)$$

Так как m_H - есть величина постоянная, m_B - определяется необходимостью сохранения угла поворота пульсэда на угол $12'$, то спин пульсэда будет изменяться прямо пропорционально энергии внутренних атринов пульсэда.

Если энергия спана у изотопа сохраняется постоянной, то энергия протонов сохраняется такой же, какой она была у атома.

Все атомы таблицы элементов имеют фрактальную структуру (рис. 28).

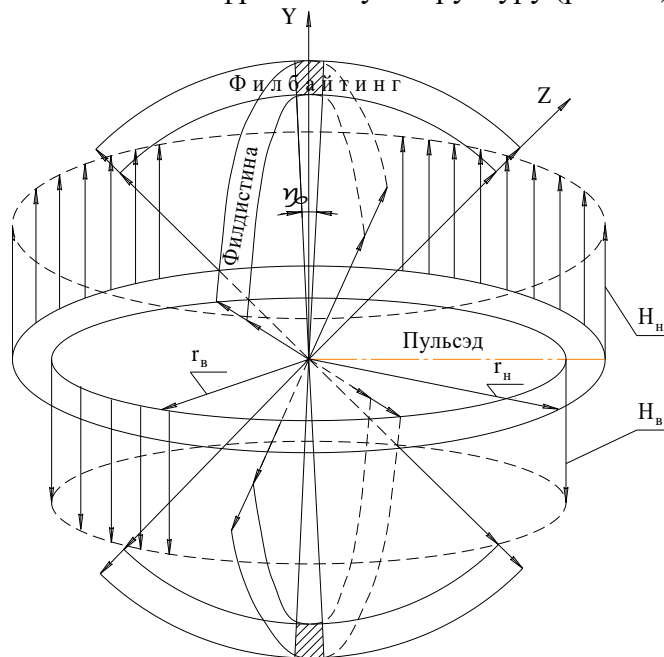


Рис. 28. Создание магнитного дипольного момента пульсэдом водорода в процессе синтеза атринами гравитонов H_v и H_n .

Согласно общей программе вещества, записанной в память яритисов нейтронов, идет процесс радиоактивного распада пакетов нейтронов, которые продуцируются из эфира на всех космических телах (звезды, планеты, кометы, астероиды и др). В основном, в ядре атома идет последовательное чередование протонов и нейтронов: два протона + два нейтрона, а далее идет повторение этой четверки.

В зависимости от количества нуклонов в пакете, включается соответствующий участок общей программы физических свойств ядер атомов. Все процессы внутри каждого нуклона атома свершаются в соответствии с собственным участком общей программы, который открывается в зависимости от количества нуклонов в пакете. Открытие строения и процессов колебаний энергии, происходящих в ядрах атомов, свидетельствует о том, что ядра атомов создал Творец!

5. ОСНОВЫ ВНУТРИЯДЕРНЫХ СТРУКТУР

Введение

Открыт стандарт сохранения постоянной энергии наружных атринов пульсэдов всех нуклонов ядер атомов. Стандарт спина обеспечивает система управления путем регулирования величины энергии внутренних атринов пульсэдов. Эффект массы возникает при действии на тело стороннего гравитационного поля в промежутки времени синтеза этим телом собственных гравитонов. Силы близкого действия в ядре атома отсутствуют: нуклон может покинуть ядро атома, если ему будет возвращена энергия, выделившаяся при радиоактивном распаде. Установлено число атринов, входящих в структуру нейтрона. При нагреве атома энергия накапливается на наружных атринах спана, а при фазовых переходах телепортируется на внутренние атрины пульсэда реперного протона. Подготовлены основы для разработки алгоритма управления процессами, протекающими в ядрах атомов.

Креативное мышление дало возможность выйти за пределы проблем природы и общества, признанных принципов и методов их решения и проникнуть в тонкий мир причин явлений и эффектов, где уровень разрешения должен достигать $10^{-(60-100)}$ м и $10^{-(60-100)}$ с.

Управление атомом осуществляет ядро, которое состоит из пульсэдов, собранных в пакет. Нуклоны ядра стянуты в пакет спаном. В каждом нуклоне совершаются независимые от других нуклонов циклические колебания атринов, синтез гравитонов, создание спина и магнитного момента. Электроны сканируют поверхности протонов, освобождая атрины пульсэдов от избыточной энергии. Новый период циклических колебаний атринов всех нуклонов ядра атома начинается одновременно.

Серии рейкисов билтона и андистонов являются продолжением наружных серий вистр яритиса и филбайтинга и не имеют системы привода, т.е. каждый из них создает один слой. Длина серий рейкисов определяется вторичными спиновыми сериями.

Энергия вдоль серий всех элементарных объединений – атринов, вистр, рейкисов, витр и расилов – квантуется. Вдоль серий атрина энергия, равная кванту действия, создает уплотнение, которое устанавливает силовую связь посредством атроусов с аналогичным уплотнением. Вдоль серий вистр создается такое же количество уплотнений – векторов адрат, сколько имеется квантов действия у серий атринов, которыми управляет вектор адрат. В соответствии с изменением количества квантов действия в сериях атринов изменяется и количество векторов адрат вдоль серий вистр.

Количество векторов адрат вдоль серий рейкисов определяется первичными спиновыми сериями, амплитуда пульсаций которых увеличивается на размер отрезка серий, возникших в результате поглощения атрином дополнительной энергии в виде тепловой энергии химической связи – это уже вторичные спиновые серии.

У фотонов витры устанавливают вдоль серий такое количество векторов адрат, сколько имеется квантов действия у фотона. Во всех случаях амплитуда пульсаций векторов атринов в сериях частиц устанавливается обратно пропорционально их количеству.

5.1. Структура нейтрона

Нейтрон состоит из физической основы, стационарной системы управления и системы мышления, которые объединены в один непрерывно пульсирующий организм. Физическая основа состоит из атринов (фотонов), которые выходят из одной общей точки (полюса нейтрона) под углом $12^{\circ}00'$ накануне каждого нового полупериода циклических колебаний. Стационарная система управления удерживает атрины в собственных пределах, заставляя их перемещаться по замкнутым траекториям.

Система управления (яритис) состоит из фотонов (вистр), энергия каждого из которых равна энергии кванта действия. Одна вистра яритиса управляет перемещением только одного атрина.

Каждый атрин и вистра состоит из $1,84 \cdot 10^{33}$ серий квантонов.

Атрины перемещаются по замкнутым траекториям под действием непрерывно возобновляемой из эфира сменной системы привода – эфаны.

Вистры яритиса приводятся в движение стационарной системой привода – ладой, отличие которой от яритиса состоит в обратном направлении векторов квантонов серий вистр.

Серии вистр яритиса и лады пульсируют в противофазе относительно полюса.

Нейтрон состоит из равного числа наружных и внутренних атринов, которые образуют пульсэд.

5.2. Энергия атринов нейтрона

В справочной литературе приводятся сведения о спине p , магнитном дипольном моменте μ , массе m и энергии связи ε нуклонов ядра (табл. 3). Для Стандартной модели физики остается неоткрытой природа возникновения физических свойств ядер атомов, а тем более даже не возникало желаниа поиска процессов во внутренних структурах ядер атомов.

Атрисная физика открыла стандарты нейтрона, однако прямых методов определения энергии внутренних атринов нейтрона она не имеет, так как не обнаружено прямых зависимостей между магнитным моментом и моментом количества движения, хотя магнитный момент прямо пропорционален суммарному моменту количества движения, создаваемому внутренними и наружными атринами пульсэда при выходе их на хорды.

Без дополнительных сведений о внутриядерных свойствах протона невозможно установить величину энергии внутренних атринов нейтрона. Открыто, что размер серий рейкиса билтона атома прямо пропорционален размеру серий фотона, энергия которого равна энергии отрезков наружных серий атрина, выходящих за пределы внутренних, в момент времени накануне нового полупериода циклических колебаний серий:

$$W_c = \frac{W_n}{r_n} (r_n - r_b) = W_n \left(1 - \frac{r_b}{r_n} \right), \quad (25)$$

где W_c и W_n – энергия отрезка спиновых серий атрина и энергия наружного атрина, r_n и r_b – размер серий наружного и внутреннего атринов.

Энергия фотона, у которого размер серий равен размеру серий рейкисов, будет:

$$W_\phi = h\nu = \frac{hc}{\lambda}, \quad (26)$$

где h – постоянная Планка, c и λ – скорость и длина волны фотона.

Таблица 3

Спин P , магнитный дипольный момент μ , масса m и энергия связи ε нуклонов легких ядер атомов

Символ элемента	Спин ядра	Магнитный момент в ядерных магнетонах	Масса ядра, m , МэВ	Полная энергия связи нуклонов в ядре, E , МэВ
n_1	1/2	-1,913148	939,573144	-
H_1^1	1/2	2,79285	938,7889900	-
$H_1^2(D)$	1	0,85744	1876,1358	2,2263
$H_1^3(T)$	1/2	2,97884	2809,4499	8,4852
He_3^1	1/2	-2,12762	2809,4312	7,7198
He_4^1	0	0	4728,4246	28,11
Li_6^3	1	0,82205	5603,087	31,9993
Li_7^3	3/2	3,2564	6535,4077	39,2517
Be_9^4	3/2	-1,178	8394,8475	58,1739
B_0^5	3	1,8006	9327,0517	64,7586
B_0^5	3/2	2,6886	10255,167	76,216
C_{12}^6	0/0	0,0000	11178,000	92,171
C_{13}^6	1/2	0,7024	12112,624	97,120
N_{14}^7	1	0,40376	13043,863	104,671
N_{15}^7	1/2	-0,2832	13972,601	115,506
O_{16}^8	0	0	14899,263	138,72

Первичные спиновые серии – это энергия отрезков серий одного из ниртонов всех нуклонов

ядер атомов, равная разности между наружными и внутренними атринами, которые еще не приобрели избыточной энергии.

Вторичные спиновые серии – это первичные спиновые серии, энергия атринов которых увеличена, что приводит к росту амплитуды пульсаций квантонов рейкисов на размер изменения спиновых серий.

Так как на длине волны фотона вмещается четыре размера его серии, то (26) будет иметь вид:

$$W_{\phi} = \frac{hc}{4r_{\phi}}, \quad (27)$$

где r_{ϕ} – первичный размер серий рейкиса атома.

Необходимо помнить, что спин и магнитный момент создаются хордовыми сериями только во время синтеза из эфира гравитонов. На синтезируемые гравитоны действует стороннее гравитационное поле, что проявляет «массу тела».

Если предположить, что в (27) r_{ϕ} известно, внутреннюю энергию атрина нейтрона можно рассчитать по формуле:

$$W_B = \frac{hc}{4r_B}, \quad (28)$$

где r_B – радиус серий внутреннего атрина нейтрона.

Тогда из (26), (27) и (28) получаем:

$$W_B \approx \frac{m_e^2 c^3 r_{\phi}}{2r_{\phi} m_e c - h}, \quad (29)$$

по которой можно было бы рассчитать W_B при условии, что r_{ϕ} известно.

Так как возможное значение r_{ϕ} неизвестно для нейтрона, а экспериментально определяемое расстояние между атомами водорода $l_{HH} = 0,741 \cdot 10^{-10}$ м, которое больше возможного размера серий нулевого билтона нейтрона, то определить W_B является проблематичным. Задача упростится, если произвести расчет количества внутренних и наружных атринов нейтрона. Примем, что первая часть (25) равна правой части (27), а для нейтрона $r_{\phi} = 0,3 \cdot 10^{-10}$ м. Выбор $r_{\phi} = 0,3 \cdot 10^{-10}$ м обусловлен тем, что после синтеза водорода его первичные спиновые серии увеличились из-за наличия температуры, большей нуля К, а при синтезе молекулы часть первичной энергии израсходована на энергию связи.

Получаем:

$$W_H \left(1 - \frac{r_B}{r_H} \right) = \frac{hc}{4r_{\phi}}. \quad (30)$$

Пусть в состав нейтрона входит N внутренних и N наружных атринов. Тогда энергия внутреннего атрина будет равна:

$$W_B = c^2 \left(\frac{m_n}{N^*} - \frac{m_e}{2} \right). \quad (31)$$

По аналогичной формуле (27) можно определить *радиус серий внутреннего атрина*:

$$r_B = \frac{h}{4c \left(\frac{m_n}{N^*} - \frac{m_e}{2} \right)}. \quad (32)$$

Подставим значение r_B (30) в формулу (32) и выведем значение N^* :

$$N^* = 3677,36 \cdot \frac{r_{\phi} - r_H}{2r_{\phi} - r_H} = 1800 \text{ ниртонов}, \quad (33)$$

где: N^* - число ниртонов;

r_{ϕ} - виртуальный радиус билтона ($r_{\phi} = 0,3 \cdot 10^{-10}$ м);

r_H – радиус ниртона.

В формуле (32) значения констант и массы нейтрона и электрона подставлены в системе СИ.

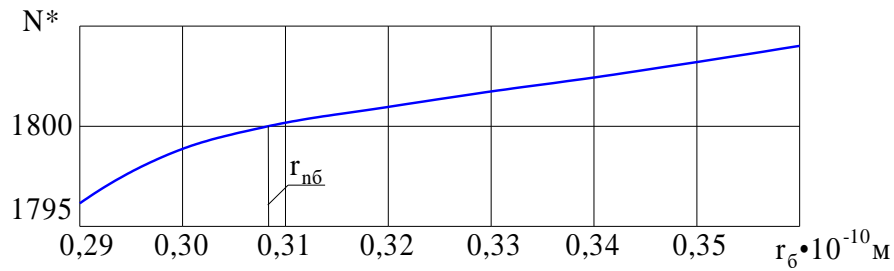


Рис. 29. Число N^* ниртонов одного вида в нейтроне в зависимости от виртуального радиуса билтона – $r_{пб}$ в молекуле водорода.

Электрон синтезируется в ядре атома в результате выпрыгивания электрона из ядра атома под действием главного пострино. Серии атринов электрона проходят по сериям вистр наружных серий ниртона. Следовательно, угол раскрытия серий электрона будет составлять $360^\circ / N^*$, где N^* - количество ниртонов в нейтроне $(1800) = 12'$. Это и есть угол раскрытия серий электрона.

Таким образом, в состав нейтрона входит 1800 внутренних и 1800 наружных атринов или $N_o=900$ квадронов. При радиоактивном распаде счет идет не на атрины, а квадроны, куда входит 2 наружных и 2 внутренних атрина. У нейтрона энергия внутренних и наружных атринов соответственно равны:

$$W_{пв} = 938,68m_e . \quad (34)$$

$$W_{пн} = 900m_e .$$

Знание величины N_o дает возможность учитывать расход энергии пакетов нейтронов при радиоактивном распаде.

5.3. Спин и магнитный момент нейтрона

Каждый атрин пульсэда может сбросить избыточную энергию только на ту вистру филбайтина, которая была синтезирована этим атрином. Отбор избыточной энергии с вистр филбайтингов осуществляют электроны при соответствующем совпадении расположений пульсэда и филбайтинга. Поэтому за каждый период циклических колебаний серии квадрон должен смещаться на строго заданный угол, что и определяет спин нейтрона и протона:

$$\gamma = \frac{180^\circ}{N_n} = 12'00'' , \quad (35)$$

где N_n – количество квадронов нейтрона. Энергия одного квадрона m_k равна:

$$m_k = \frac{m_n}{N_o} = 2,0429777m_e . \quad (36)$$

Невзирая на все силы сопротивления вращению, спин обеспечивает поворот пульсэда на угол $12'00''$ за каждый период циклических пульсаций атринов и осуществляет энергообмен при помощи электронов в ядре атома. Вращение пульсэда возникает в результате того, что яритис генерирует из эфира электрические серии вистр $E_{яв}$ и $E_{ян}$, которые сразу же схлопываются – $E_{гв}$ и $E_{гн}$ (рис. 30), в результате чего создается смещение серий $E_я$ и пульсэда навстречу друг другу. После сжатия серий $E_г$ перемещение прекращается. Сжатые серии $E_г$ трансформируются в магнитные $H_г$ (рис. 31), которые проявляют массу и создают магнитный дипольный момент. Магнитный момент отражает реальные изменения вращательного момента количества движения пульсэда. По магнитному моменту можно судить о реальных перераспределениях энергии в ядре атома:

$$M = [r_n^2 m_n - r_b^2 m_b] \cdot \mu_* , \quad (37)$$

где M – результирующий магнитный момент, μ_* – коэффициент пропорциональности.

Величина M (37) аналогична результирующему магнитному моменту, создаваемому концентрическими кольцевыми токами, направленными навстречу друг другу.

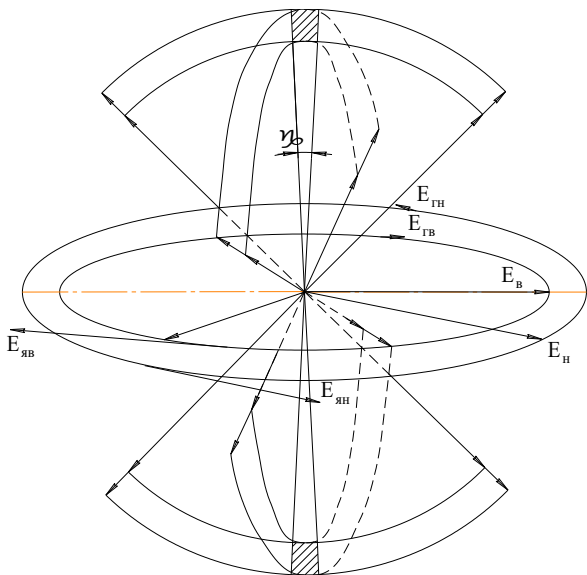


Рис. 30. Пульсэд водорода в процессе синтеза электрических серий будущих гравитонов до сжатия

$E_{яв}$ и $E_{яп}$ и после сжатия $E_{гв}$ и $E_{гп}$ серий.

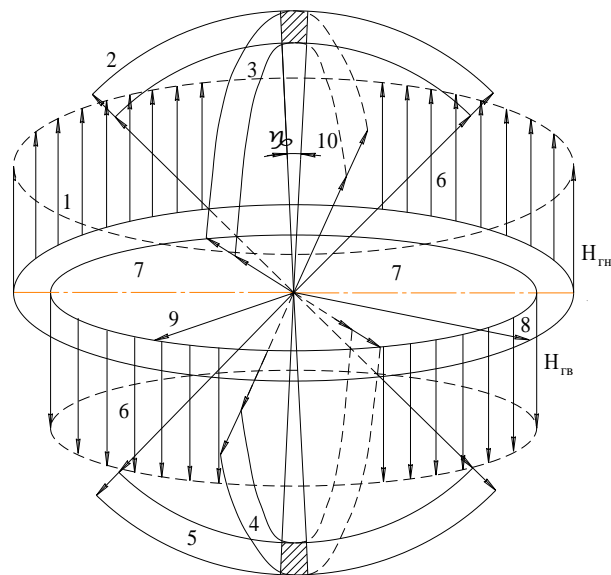


Рис. 31. Внутренние $H_{гв}$ и наружные $H_{гп}$ серии гравитонов в процессе их синтеза пульсэдом ядра атома.

5.4. Энергетическая структура протона

Подробно процесс радиоактивного распада нейтрона описан в работе «Фундаментальная физика ядра» (www.atrisov.narod.ru). Однако, энергетическая структура (распределение энергии между наружными и внутренними атринами пульсэдов и спанов, законы энергообмена внутри ядра и др.) остается неоткрытой. Установлено, что стандарты нейтрона полностью справедливы для пульсэдов протонов:

1. В ядре атома наружные атрины пульсэдов протонов и нейтронов остаются неизменными и равными $m_e / 2$ при любых энергетических преобразованиях ядра.

2. Спол протона выводится из ядра, совершая циклические колебания, перемещая свои хордовые серии по хордовым сериям наружных атринов пульсэда (рис. 8).

3. В отличие от атринов пульсэда и электрона, которые генерируют гравитоны каждую четверть полупериода, спол протона атома генерирует гравитоны каждую половину полупериода, при этом спин, создаваемый сполом, равен:

$$P = \frac{h}{2\pi} \quad (38)$$

и оказывается в два раза большим спина, создаваемого электроном или пульсэдом.

4. Так как стороннее гравитационное поле действует на спол во время генерирования собственного гравитационного поля, то измеряемая масса спол атома оказывается в два раза больше реальной:

$$m_s = 2m_e, \quad (39)$$

где m_s – кажущаяся масса спол.

5. Спин спол направлен в диаметрально противоположную сторону относительно результирующего спина его пульсэда, что приводит к изменению на противоположное направление вращения пульсэда.

6. Магнитный дипольный момент, создаваемый сполом, имеет такое же направление, как у результирующего магнитного момента, создаваемого пульсэдом. Поэтому магнитные моменты спол и пульсэда всегда суммируются (рис. 8).

7. При ионизации протона спол генерирует гравитоны только каждую четверть, а не половину полураспада циклических колебаний, что приводит к уменьшению в два раза величины спина, а результирующий спин протия становится равным нулю. Протий прекращает вращение и располагает свои сполы вдоль электрического стороннего поля. Электрическую энергию поглощает только один спол, и в этом направлении движется протий.

8. При радиоактивном распаде нейтрона из одного квадрона создается электрон и нейтрино, а еще из двух – спол с общей энергией m_e (остальная энергия идет в основном на увеличение энергии внутренних атринов для создания пульсэдом заданного спина). Спан атома водорода синтезируется из двух квадронов. Пульсэд атома водорода теряет пять квадронов:

$$\Delta m_k = 5m_k . \quad (40)$$

9. Спин пульсэда атома водорода должен остаться равным $P_n = \frac{h}{4\pi}$ и при изменении направления вращения в результате силового действия спола. Чтобы сохранить величину спина при торможении пульсэда, необходимо уменьшить спин, создаваемый пульсэдом, за счет уменьшения энергии внутренних атринов. Спол протона изменяет направление вращения пульсэда и увеличивает магнитный дипольный момент водорода (табл. 3).

10. Изменение направления спина протона является определяющим фактором в процессах энергообмена. При силовой связи атомов происходит уменьшение результирующего спина. Однако спин протона должен оставаться постоянным. Если спин пульсэда уменьшить, то результирующий спин увеличится. Проблема решается путем сброса внутренними атринами протона части своей энергии – это энергия связи.

11. Нулевой (первичный) размер рейкисов билтона и андистона рассчитывается по уравнению (27). При установлении силовой связи между атомами увеличиваются радиусы атринов, которые лишились части своей энергии. Теперь амплитуда пульсаций квантонов серий билтона возрастает на размер прироста серий атрина. Первичные спиновые серии превратились во вторичные спиновые серии, для расчета которых уравнение (27) применять невозможно.

12. Спан атома существенно отличается от пульсэда, так как энергия внутренних атринов должна быть одинаковой с энергией внутренних атринов пульсэда, а увеличивать энергию спана могут внутренние и наружные атрины спана.

13. Наружные атрины спана определяют температуру тела и возможные фазовые переходы, так как рост энергии наружных атринов спана ограничен.

5.5. Распределение энергии в пульсэде протона

У трития магнитный дипольный момент M_T создается протоном, а у нейтронов результирующий магнитный дипольный момент равен нулю. У гелия He_3^2 магнитный дипольный момент создается нейтроном $M_{He_3^2}$, у протонов – равен нулю. Расчеты проведены в соответствии с теорией стандартной модели физики.

У трития и гелия He_3^2 спаны m_c состоят из четырех квадронов:

$$m_c = 4m_k , \quad (41)$$

а потому магнитный дипольный момент спола M_s будет:

$$M_s = M_T - M_{He_3^2} = 0,85122\mu_o . \quad (42)$$

У дейтерия M_{sd} несколько больше (табл. 3) из-за того, что магнитные дипольные моменты пульсэдов протона и нейтрона не компенсируют друг друга.

Если M_s известно, то из M_{H^1} можно найти величину магнитного дипольного момента $M_{H^{1n}}$ одного пульсэда:

$$M_{pn} = M_{H^1} - M_s = 1,94163 \mu_o . \quad (43)$$

Укомплектование спина пульсэда производится за счет внутренней энергии пульсэда. Увеличение магнитного дипольного момента протона (44) по сравнению с нейтроном (табл. 3) свидетельствует о росте энергии внутренних атринов протона за счет распада еще одного квадрона. Следовательно, состав пульсэда будет состоять из 1790 атринов каждого сорта, так как из двух квадронов создается спан, из одного – электрон и нейтрино, а из двух следующих – спол и осуществляется доукомплектование внутренних атринов. Масса внутренних атринов будет рассчитана по формуле:

$$m_{pv} = m_p - m_n - 2m_k - 2m_e = 935,019m_e , \quad (44)$$

где $m_n = 895m_a$, $m_k = 2,0429777m_e$, $2m_e$ – мнимая и реальная массы спола.

Проверку соответствия распределения масс в пульсэде произведем по расчету величины магнитного дипольного момента собственно пульсэда протона. Для этого рассчитаем магнитный дипольный момент нейтрона и пульсэда:

$$M_n = (r_{nn}^2 \cdot m_{nn} - r_{nb}^2 m_{nb}) \cdot \mu^*, \quad (45)$$

$$\text{где } r_{nn} = \frac{h \cdot 1800}{4C900m_e}; m_{nn} = 900m_e; r_{nb} = \frac{h \cdot 900}{4C938,68m_e}; m_{nb} = 938,68m_e.$$

После подстановки значений радиусов и масс в (43) получаем:

$$M_n = \frac{h^2 \cdot 148,34}{4^2 C^2 m_e} \cdot \mu^* = 1,913148 \mu_o, \quad (46)$$

где μ_o – ядерный магнетон.

Для пульсэда протона при условии, что $m_o = 935,019m_e$ (43) и $N_o = 1790$ (42), имеем:

$$M_{pn} = \frac{h^2 \cdot 153,4}{4^2 C^2 m_e} \mu^*. \quad (47)$$

Из отношения уравнений (47) и (48) имеем:

$$M_{pn} = \frac{1,913148 \cdot 153,4}{148,34} = 1,978 \mu_o. \quad (48)$$

При расчете не учтены изменения энергии в спане протона. Совпадение расчетных значений M_{pn} (43) и (48) позволяет надеяться, что распределение энергии в ядре соответствует действительности. Требуется проверка.

5.6. Энергетическая структура дейтерия, трития, гелия

Дейтерий

Спан у дейтерия образуется из двух квадронов, как и у атома водорода (табл. 3). При радиоактивном распаде из состава нейтрона дейтерия удаляются два квадрона в соответствии с энергией спана.

Спин нейтрона равен спину пульсэда дейтерия, а потому результирующий спин дейтерия равен спину спола (табл. 3):

$$\overline{P}_d = \frac{h}{2\pi}.$$

Магнитный момент спола и его пульсэда имеют одинаковое направление, а нейтрона – противоположное. Результирующий магнитный момент дейтерия равен их разности. По аналогичной формуле (37) можно рассчитать магнитный момент спола.

Тритий и гелий He_3^2

Спан трития состоит из четырех квадронов. Из пульсэда протона удаляются семь квадронов, а в каждом нейтроне – по четыре квадрона.

Увеличение магнитного момента трития (табл. 3) является результатом того, что уменьшение количества квадронов в системе пульсэда протона привело к снижению величины спина, а для восстановления спина осуществился рост энергий внутренних атринов протона.

Из каждого пульсэда протона He_3^2 удаляются по семь квадронов. Оба протона идентичны и осуществляют взаимную компенсацию спинов и магнитных моментов. Поэтому, приведенные в табл. 3 величины спина и магнитного момента создаются нейтроном He_3^2 .

Гелий He_4^2

Спан He_4^2 состоит из восьми квадронов. Спан из восьми квадронов имеют все остальные атомы таблицы элементов. Из каждого протона атома удаляются 11 квадронов. Из всех пульсэдов нейтронов удаляются по восемь квадронов и только у He_4^2 – 10 квадронов. Поэтому энергия связи нуклонов в ядре He_4^2 самая большая.

Полученные открытия позволяют производить расчет распределения энергии внутри ядра атомов. Внутренняя энергетическая структура позволяет управлять физическими свойствами вещества.

Выводы к разделу

1. Энергия наружных атринов пульсэдов всех нуклонов ядер атомов Вселенной остается величиной постоянной и равной половине энергии электрона ($m_a = m_e/2$). Энергия внутренних атринов пульсэдов всех нуклонов ядер атомов устанавливается системой управления такой, чтобы результирующий спин каждого нуклона был равен:

$$P = \frac{h}{4\pi},$$

что обеспечивает поворот пульсэда на угол $12^{\circ}00'$ за каждый циклический период колебаний атринов.

2. Установлено, что в состав независимого нейтрона входят 1800 наружных и 1800 внутренних атринов.

3. Величина магнитного дипольного момента пульсэда отражает реальную картину изменяемой энергии атринов в пульсэде и расстояния между наружными и внутренними атринами пульсэда.

4. При радиоактивном распаде нейтрона из одного квадрона пульсэда синтезируются электрон и нейтрино, а из двух других – спол, энергия обоих атринов которого равна m_e , а остальная энергия идет для сохранения величины спина пульсэда.

5. Два следующих квадрона пульсэда идут для синтеза спана. Следовательно, из состава пульсэда атома водорода удалено пять квадронов.

6. Спол выводится за пределы наружных атринов пульсэда и сохраняет с ним силовую связь, совершая циклические колебания за его поверхностью.

7. Спол создает спин, в два раза больший спина пульсэда, и направлен навстречу спину пульсэда. Поэтому пульсэд протона вращается в противоположную сторону по сравнению с нейтроном (рис. 8).

8. При торможении вращения величина спина протона сохраняется путем уменьшения энергии внутренних атринов пульсэда.

9. Ионизация атома водорода приводит к уменьшению спина спол в два раза, т.е. спин иона водорода или другого протия становится равным нулю, а также исчезает мнимая масса спол, равная m_e .

10. Магнитный дипольный момент, создаваемый сполом атома, в два раза больший, чем создает электрон, а ион водорода – такой же, как у электрона.

11. Наружные атрины спанов атомов могут накапливать избыточную энергию, величина которой определяет его температуру.

12. Величина избыточной энергии атринов спана ограничена. При достижении избыточной энергией наружных атринов спана предельной величины (критической температуры) система управления атома дает команду на сжатие яритисом наружных атринов пульсэда реперного протона, что приводит к подсоединению энергии эфира наружными атринами пульсэда и сбросу в эфир избыточной энергии атринов спана.

13. Снижение температуры атома до фазового перехода сопровождается сбросом избыточной энергии наружных атринов пульсэда на свободные вистры филбайтинга. Затем электрон производит съём энергии с вистр филбайтинга и излучает ее в виде фотона.

14. Синтез дейтерия сопровождается выбросом из нейтрона двух квадронов в соответствии с пульсэдом протона. Это та энергия, которую называют энергией связи нуклонов в ядре.

15. Силы близкодействия между нуклонами в ядре атома отсутствуют. Однако ни один нуклон не в состоянии покинуть ядро, если ему не будет возвращена выброшенная энергия.

16. У трития и гелия-3 спан состоит из четырех квадронов, а у всех остальных атомов таблицы элементов – из восьми квадронов.

17. Каждый атом имеет реперный протон, обеспеченный билтоном и андистонами, первичный размер серий рейкисов которых определяется энергией первичных спиновых серий.

18. Первичные спиновые серии – это отрезки наружных атринов, выходящие за пределы внутренних, накануне каждого нового полупериода циклических колебаний атринов.

19. Первичный размер серий рейкисов билтонов и андистонов равен размеру серий фотона, у которого энергия равна энергии первичной энергии спиновых серий.

20. Энергия химической связи выделяется внутренними атринами пульсэда для преодоления торможения и сохранения величины спина реперного протона, что приводит к увеличению размера внутренних атринов. На величину роста внутреннего атрина увеличивается амплитуда пульсаций рейкисов билтона.

21. Вторичные спиновые серии определяются первичными с изменением амплитуды пульсаций на размер измененного участка внутренних атринов.

6. СИСТЕМЫ УПРАВЛЕНИЯ ПРОЦЕССАМИ В МИКРОМИРЕ

Абсолютно все процессы, происходящие во Вселенной, управляемы и строго регламентированы. Понятие «случайность» возникло в результате отсутствия знания причин явлений и эффектов естествознания. В состав каждого нуклона ядра атома, а также электрона и позитрона входит три системы: физическая, управления и мышления. Фотоны и нейтрино состоят из двух систем: физической и управления. Частицы электромагнитных полей и гравитоны имеют только физическую систему, обладающую программой. В данном разделе открыты механизмы процессов, протекающие в системах управления.

Введение

В последнее время природные и техногенные катастрофы стали нарастать лавинообразно. Летом 2018 года в России была неправдоподобно высокая температура и ужасающих масштабов лесные пожары. В Португалии огонь превратил десятки тысяч гектаров земли в пустыню. Мощные потоки воды в Европе, Пакистане, Китае, Индии сметали все на своем пути. Возникли неожиданные заморозки в Латинской Америке. С середины июля 2019 года практически ежедневно было на 10-15 градусов выше среднестатистических норм в Японии, Канаде, США, Западной Европе, Украине.

Экологи говорят, что с 1980 года человечество начало потреблять за год больше ресурсов, чем способна восстанавливать планета. Сегодня (2019 год) на воспроизводство годового запаса воды, травы, рыбы, лесов природе нужны год и пять месяцев. За 300 лет человечество изменило климат так, как он бы менялся сам 650 тысяч лет.

У человечества есть только один выход – это познать Истину. Математическая интерпретация гипотез следствий явлений естествознания дает возможность создавать высокопроизводительные технологии, но она не открыла смысл жизни, что превратило человека в потребителя без будущего, который губит природу.

Многие изобретения и научные гипотезы XX столетия, претендовавшие на глобальность, впоследствии были признаны прикладными мелочами или фантазиями. Гипотезы Большого взрыва и эволюционного пути развития жизни похоронили смысл жизни, превратив человека в потребителя без будущего, что и привело к глобальным катастрофам.

Познание Истины открывает смысл жизни и путь к принципиально новым технологиям, освоение которых невозможно без знания структуры и принципов работы систем управления процессами циклических колебаний атринов по замкнутым траекториям и синтеза всех видов полей.

Целью настоящего раздела является демонстрация элементарных процессов пульсаций и колебаний энергии в системах управления при циклических колебаниях атринов в ядрах атомов, электронов и позитронов.

6.1. Структура систем управления

В основе всех систем управления процессами в микромире находятся вистры.

Вистра – неделимая частица систем управления и памяти нуклонов ядер атомов, электронов и позитронов. Энергия вистры равна кванту действия. Вистра состоит из $1,84 \cdot 10^{33}$ серий, в каждую из которых входит такое же количество квантонов. Серии вистр расположены в одной плоскости и выходят из одной точки – полюса - под углом $12^{\circ}00'$. У электронов и позитронов система управления собрана из четырех вистр, которые создают самостоятельную частицу – *биртрон*. У всех систем управления процессами в ядрах атомов, электронах и позитронах серии магнитные, а векторы квантонов второго вида – электрические. Векторы квантонов серий вистр дивитры и дивитриса, расположенные по одну сторону от полюса, колеблются синхронно, а по разные стороны от полюса, – в противофазе (асинхронно).

Сериями квантонов пульсэдов нейтронов управляют серии вистр яртронов, состоящие из яритиса (рис. 32) и лады. Конструкция лады идентична яритису и располагается параллельно, а ее векторы атрисов направлены в диаметрально противоположную сторону, т.е. к полюсу P_d . В состав яритиса и лады входит по 3600 вистр, половина из которых управляет наружными сериями

атринов, и они имеют большую длину, а вторая – внутренними сериями атринов, и они имеют меньшую длину.

Различие между наружными и внутренними вистрами заключается в том, что их электрические вектора E_n и E_v направлены в диаметрально противоположные стороны. Они обслуживают атрины с разной энергией, создают при синтезе гравитонов спины и магнитные моменты, направленные в диаметрально противоположные стороны.

У каждой наружной серии яртрона смежными являются внутренние серии, в результате чего яритис, а также лада, представляют каждый единую систему. Вистры биртрона являются

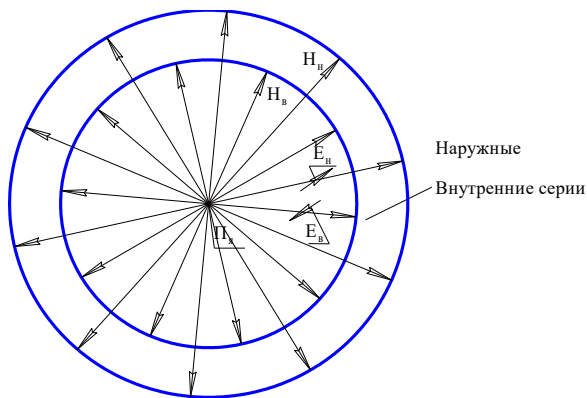


Рис. 32. Яритис нейтрона и чередование серий наружных и внутренних вистр в нем.

независимыми, а у яртрона – жесткая структура. Однако, у биртронов и яртронов закономерности колебаний векторов атрисов квантонов серий одинаковые. Только серии атринов биртрона приобретают свой первоначальный размер при снятии действия на них сил сжатия или растяжения, а вистры яртронов сохраняют тот размер, который им навязали атрины.

6.2. Функции систем управления

Вистры биртрона не дают возможности сериям атринов электрона или позитрона выйти за пределы собственных серий. При

выходе электрических векторов атринов за пределы вистр биртрона их улавливают электрические векторы квантонов магнитных серий вистр биртрона и изменяют направление движения серий атринов. Происходит выход серий атринов на хорды и увеличение амплитуды колебаний их векторов атрисов квантонов в два раза. Это происходит в результате того, что эфаны, выталкивающие серии атринов, устанавливают в полюсе взаимное отталкивание, увеличивая амплитуду пульсаций векторов атрисов квантонов атринов в два раза. Электрические вектора первых квантонов вистр яритиса разворачиваются относительно своих серий на 90^0 , одним концом удерживая серии атринов, а вторым – генерируя из эфира голограмму, которая материализуется в электрические серии вистр. После достижения хордовых серий размера серий вистр биртрона, серии дивитриса втягивают серии атринов в свои пределы. Синтез гравитонов прекращается, а с ним и создание спина и магнитного момента. Через четверть полупериода после начала циклических колебаний, следующую четверть полупериода атрины движутся к полюсу биртрона, в полюсе которого происходит уменьшение амплитуды пульсаций векторов атрисов квантонов атринов в два раза под действием квантонов вистр биртрона.

Если серии обоих атринов имеют избыточную энергию, то происходит дополнительное их сжатие, что включает систему сжатия серий дивитриса, которые сжимают серии атринов. Сжатые серии атринов подсоединяют к себе дополнительно энергию эфира в соответствии с новой плотностью. Дивитрис изменяет фазу колебаний квантонов на 180^0 , и избыточная энергия атринов отделяется от атринов, создавая иллюзию заряда электрона.

Если один из атринов электрона получает избыточную энергию, равную энергии магнитного пострино, то период колебаний завершает раньше атрин с меньшей энергией. Его непрерывно сжимает дивитрис. Происходит подсоединение к нему энергии эфира в соответствии с новой плотностью, но так как у второго атрина продолжается процесс перехода квантонов через полюс, то избыточная энергия первого атрина трансформируется в магнитные серии. Синтезируется магнитное пострино. Биртрон электрона, находящегося в полюсе ядра атома, стремится его покинуть в результате действия главного пострино, что приводит к созданию напряжения в полюсе электрона: синтезируются электрические пострино, которые зеркально копируются, увеличивая амплитуду пульсаций векторов атрисов квантонов атринов в 2 раза. Синтезируются отрицательные электрические пострино.

Управление процессами циклических колебаний атринов нейтрона аналогично тем, что и у электрона, кроме того, нейтрон не синтезирует электромагнитных полей.

За период колебаний серий атринов у электронов, позитронов и нуклонов ядер атомов системы управления четыре раза изменяют направление движения серий, а размер серий – дважды.

Система управления циклическими колебаниями атринов протонов усложнена из-за наличия в ней спола – системы создания спина ядра атома, а потому ее рассмотрим позже.

Управление фотонами осуществляет одна витра – квант действия. Витра помогает трансформировать электрические серии фотона в магнитные, и наоборот, а также изменяет направление движения серий фотона при взаимодействии с веществом. Витра у фотона свободна, и на нее в вакууме не накладывается никаких ограничений, а потому она всегда приобретает амплитуду пульсаций в соответствии с величиной энергии фотона. Среда изменяет витру, а витра изменяет амплитуды колебаний векторов атрисов квантонов, что и наблюдается в экспериментах.

6.3. Физические свойства биртрона

Биртрон – это стационарная, неразрушаемая часть электрона, обеспечивающая управление движением атринов по замкнутым траекториям. Дивитра биртрона синтезируется одновременно с атринами электрона и состоит из четырех вистр, выходящих попарно из его полюса, где серии одной вистры представляют собой продолжение второй, которая располагается с диаметрально противоположной стороны полюса (рис. 33). Ту пару вистр, векторы атрисов серий которых направлены к полюсу Π_V , назовем дивитрой V_1 и V_2 , а вторую, с диаметрально противоположным направлением векторов атрисов серий W_1 и W_2 , – дивитрисом. Серии вистр дивитры и дивитриса выходят из полюса под углом $\alpha = 12'00''$. Между параллельными плоскостями серий дивитры и дивитриса устанавливаются атроусы, что приводит к их стягиванию. Чтобы этого не произошло, векторы атрисов второго вида квантонов серий создают взаимное отталкивание F_1 и F_2 (рис. 33).

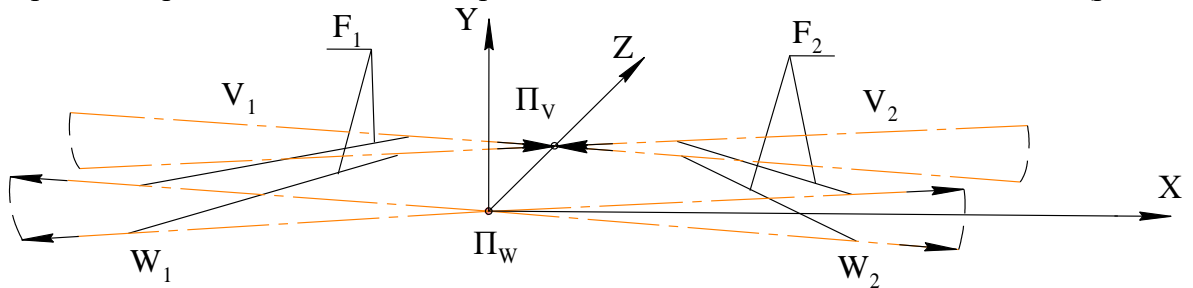


Рис. 33. Биртрон: V_1 и V_2 – вистры дивитры, W_1 и W_2 – вистры дивитриса, F_1 и F_2 – силы взаимного отталкивания векторов атрисов второго вида серий дивитры и дивитриса.

Процессом циклических колебаний атринов электрона (перемещений по замкнутым траекториям) управляет биртрон. При этом могут сжиматься или растягиваться серии дивитриса, который останавливает, сжимает или изменяет направление движения атринов.

Векторы атрисов серий вистр дивитры и дивитриса направлены навстречу друг другу. Чтобы обеспечить силовое взаимодействие серий вистр в полюсе биртрона при их сжатии и растяжении, векторы атрисов серий вистр дивитры и дивитриса должны пульсировать в противофазе. Вистры биртрона обладают уникальным свойством – они делятся на отдельные участки в виде векторов (адрат), в соответствии с количеством векторов квантов действия в атринах, которыми они управляют. Если вистры биртронов освобождаются от атринов электрона, то в составе вистр биртрона устанавливается количество векторов адрат, равное стандарту нейтрона, т.е. электрону без избыточной энергии.

В зависимости от места расположения серий атринов на траектории их движения биртрон создает условия для синтеза гравитонов из эфира, создания спина и магнитного момента.

Биртрон обладает уникальными физическими свойствами:

1. Частота пульсаций векторов атрисов квантонов серий вистр биртрона остается величиной постоянной, независимо от энергии одного из атринов электрона.

2. В отсутствие стороннего силового действия амплитуды пульсаций векторов адрат вистр биртрона устанавливаются такими, какими они были у электрона, когда он находился в ядре невозбужденного атома – стандарт нейтрона.

3. Биртрон вынуждает вектора атрисов серий атринов колебаться с частотой векторов атрисов серий вистр.

4. Частота пульсаций векторов атрисов вистр всех частиц Вселенной, кроме фотонов, остается величиной постоянной при любых физических воздействиях на материальные частицы.

Физическое свойство вистр биртрона сохранять постоянными размеры векторов адрат в отсутствие стороннего силового воздействия на них назовем *Законом сохранения плотности квантонов серий биртрона – стандарт нейтрона*.

Биртрон – самая уникальная частица во Вселенной: его векторы атрисов квантонов сохраняют собственную частоту пульсаций постоянной при всех взаимодействиях с другими частицами. Биртрон вынуждает векторы атрисов квантонов серий атринов, которыми он управляет, производить пульсации в соответствии с собственной частотой. Каждая серия одной вистры дивитры является продолжением серии квантонов другой вистры, хотя векторы квантонов их атрисов направлены в противоположные стороны. Атрисики объединенных серий обеих вистр дивитры в полюсе совершают пульсации в диаметрально противоположных направлениях, превращая их в упругие струны. Дивитра регулирует собственную амплитуду пульсаций векторов атрисов так, чтобы длина ее серий всегда была равна длине серий атринов частицы, которой она управляет.

Биртрон – это хронометр Вселенной, управляющий процессами материального и духовного миров.

Дивитра V осуществляет управление атринами E электрона при помощи электрических векторов атрисов магнитных серий дивитриса W_n . Дивитра электрона обладает памятью, которая могла бы быть записана при необходимости. Запись информации производится путем отклонения на 90^0 электрических векторов квантонов одного из ряда квантонов магнитных серий. Так как в каждом из рядов квантонов находится $1,84 \cdot 10^{33}$ штук квантонов, то использование их в количестве до 10^{20} не оказывает влияние на перемещение атринов. В зависимости от кол-ва развернутых на 90 элект векторов маг серий квантонов записываются числа, которые потом считываются в виде программ. Генетическую информацию в биовидах переносят отдельные вистры путем отклонения элек векторов квантонов на 90^0 .

У электрона параллельно дивитре располагаются еще два слоя, состоящие только из магнитных атрисов. Это система мышления электрона, которой в настоящей работе касаться не будем.

6.4. Процесс колебаний серий квантонов биртрона

Рассмотрим процесс колебаний векторов атрисов квантонов в сериях вистр, расположенных около полюса биртрона (рис. 34).

Выберем по одной серии из каждой вистры и отделим четыре квантона по два с каждой стороны от полюса. За начальную фазу колебаний векторов атрисов квантонов выберем момент времени, когда электрические векторы атрисов квантонов расположены перпендикулярно сериям, а магнитные векторы V_1^- и W_1^- , а также V_3^- и W_3^- смещены в сторону полюса Π_e (рис. 34, t_1). Колебания векторов атрисов квантонов дивитры V и дивитриса W по одну сторону полюса Π_e происходят синхронно, а по разным сторонам от полюса – асинхронно, т.е. фазы смещены на 180^0 (зеркально симметричны полюсу). В начале нового периода колебаний векторы V_1^- и W_1^- , а также V_3^- и W_3^- сокращаются, а векторы атрисов второго вида квантонов от E_1^+ до E_4^+ также сокращаются. Вследствие того, что квантоны серий удерживаются друг около друга каналами атросцепа, взаимное отталкивание векторов от E_1 до E_4 приводит к тому, что серии дивитры прижимаются друг к другу в полюсе Π_e , а дивитриса – стремятся уйти от полюса Π_e . При стремлении взаимного удаления векторов атрисов W_1^- и W_3^- (рис. 34, t_2) друг от друга между ними возникают векторы атросцепов, которые не дают возможности им удалиться друг от друга. Векторы W_1^- и W_3^- начинают растягиваться, а векторы V_1^- и V_3^- в результате сжатия отталкивают друг друга. Максимально допустимое напряжение растяжения векторов атрисов W_1^- и W_3^- , а также сжатия векторов V_1^- и V_3^- наступает в момент времени, когда проходит четверть периода колебаний векторов атрисов квантонов серий. Для сохранения целостности системы серий вистр

векторы атрисов квантонов меняют фазу колебаний атрисиков на 180^0 . Векторы E^- начинают увеличиваться, а E^+ – уменьшаться. В полюсе Π_e векторы атрисов V_1^- и V_3^- отталкиваются, а W_1^- и W_3^- – взаимно притягиваются. Во вторую четверть периода колебаний векторов атрисов квантонов у квантонов серий биртрона или яртрона завершается период колебаний. В процессе колебаний векторов атрисов квантонов серий систем управлений серии биртронов и яртронов колеблются около общего полюса, не пересекая его. Полюса Π_1, Π_3 и Π_1^I, Π_3^I квантонов серий не достигают полюса Π_e системы управления (рис. 34, t_2).

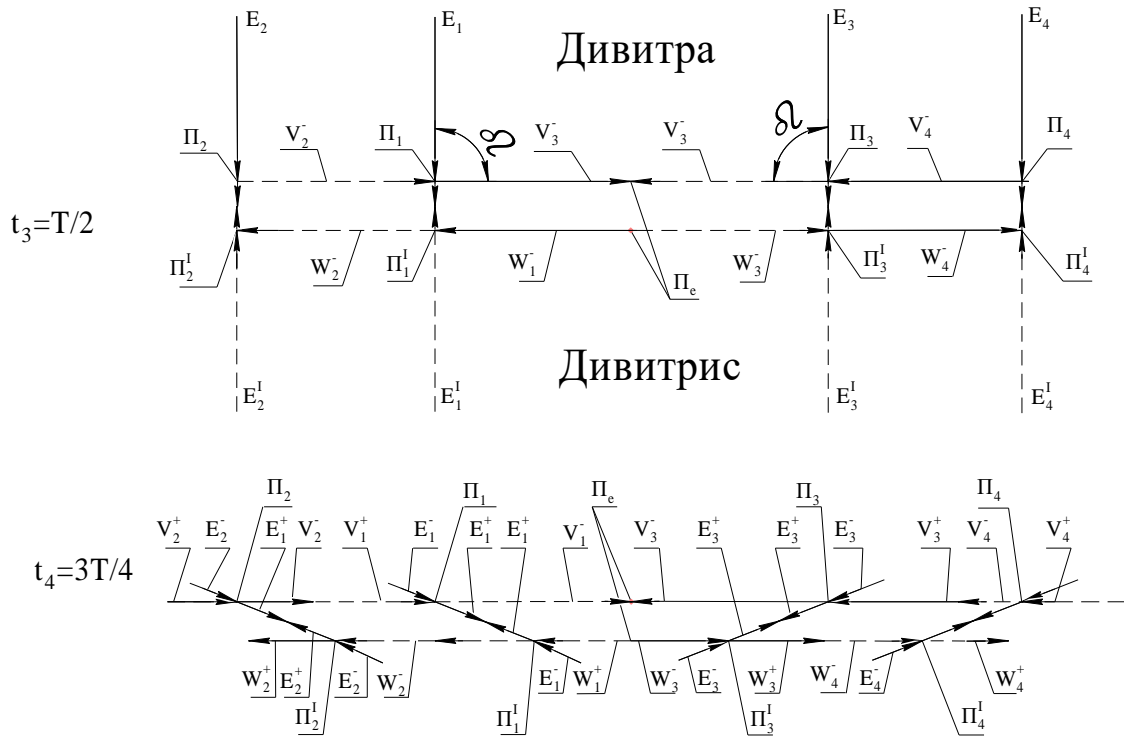


Рис. 34. Фазы колебаний серий квантонов биртрона в момент перехода от сжатия серий дивитры (t_1 и t_2) к сжатию серий дивитриса (t_3 и t_4).

Вследствие того, что период колебаний системы управления завершается за полпериода колебаний векторов атрисов квантонов, устанавливается стационарный период колебаний серий, который не может меняться. Поэтому частота колебаний векторов атрисов биртронов и яртронов есть величина постоянная: это *идеальный мировой хронометр*.

Угол α между электрическими и магнитными векторами в квантоне может изменяться от 0^0 до 180^0 (рис. 34, t_1). Если угол α изменяется от 90^0 до 0^0 , то сжимаются серии дивитры V , а дивитриса W – растягиваются; если угол α изменяется от 90^0 до 180^0 , то векторы квантонов дивитриса V растягиваются, а дивитриса W – сжимаются. Изменение фазы колебаний осуществляют внешние силы, наклоняя векторы E (рис. 34, t_1) от перпендикуляра в одну или другую сторону при сжатии серий атринов.

Система управления у фотонов состоит из одного кванта действия – витры, которая всегда располагается с одной стороны полюса фотона, а потому частота и амплитуда колебаний векторов атрисов ее квантонов определяются энергией фотона.

У нейтрино система управления состоит из двух квантов действия – спаренных вистр, которые также располагаются по одну сторону от полюса нейтрино. Частота и амплитуда колебаний векторов атрисов квантонов спаренных вистр определяются энергией атринов, которыми управляют вистры.

Скорость перемещения в эфире фотонов и нейтрино равна скорости света. Нейтральность нейтрино к действию электрических и магнитных полей обусловлена тем, что угол раскрытия серий у них такой же, как у электронов. В полюсе ядра при трансформации вистр из электрических

серий в магнитные и наоборот их серии направлены в диаметрально противоположные стороны. Поэтому результирующее действие электромагнитных полей на нейтрино равно нулю.

У фотонов имеется только одна вистра, при трансформации которой в полюсе фотона из электрической в магнитную и наоборот на нее действуют электрические и магнитные поля, а также гравитоны, что сопровождается отклонением фотонов магнитными и электрическими полями большой силы, а также гравитонами.

Скорость движения гравитонов больше скорости света в 10^{19} раз. Поэтому гравитоны светила догоняют его собственные фотоны и тормозят, что приводит к красному смещению в спектрах излучения далеких галактик. Во Вселенной «разбегание» галактик отсутствует. Свет, идущий от далеких галактик, может отклоняться и фокусироваться, что наблюдается в экспериментах, однако пространство при этом не искривляется.

Время во Вселенной не изменяется, а пространство не искривляется. Искривление появилось в сознании ученых.

Выводы к разделу

1. Физические основы нейтронов, протонов, электронов, позитронов фотонов и нейтрино имеют системы привода, без которых циклические колебания серий квантонов физической основы невозможны.

2. Все системы управления состоят из вистр – набора серий квантонов, энергия которых равна кванту действия.

3. Системы управления электронов и позитронов состоят из четырех вистр (биртроны), у нейтронов протонов – 7200 вистр (яртронов), создающих два параллельных диска, у фотонов – из одной вистры, у нейтрино – из двух вистр.

4. Энергия вистр в эксперименте себя не проявляет, так как они не генерируют гравитонов.

5. У биртрона две параллельные вистры, векторы серий которых направлены в диаметрально противоположные стороны, располагаются с одной стороны полюса электрона, а две другие, аналогичные, представляют собой зеркальное отображение относительно полюса.

6. Серии вистр биртрона совершают одно полное колебание за время, равное половине периода колебаний векторов атрисов отдельно взятой вистры, что не дает возможности векторам квантонов изменять заданную частоту колебаний. При наличии стороннего силового действия (сжатие, растяжение) размер серий вистр биртрона не изменяется.

7. Квантоны серий биртрона, расположенные по разные стороны от полюса, никогда его не пересекают.

8. Смежные серии вистр яртрона, которые управляют наружными и внутренними сериями атрисов, не изменяют заданного им атрисами размера при отсутствии стороннего силового действия на них, так как у них разные амплитуды колебаний векторов атрисов квантонов.

9. С диаметрально противоположных сторон полюсов каждого слоя биртронов и яртронов векторы серий вистр направлены навстречу друг другу и совершают колебания асинхронно: в один полупериод все удаляются от полюса, а во второй – движутся к полюсу.

10. Электрические векторы атрисов между параллельными вистрами соседних слоев движут одну вистру к полюсу, а вторую – параллельную – от полюса, что приводит к возникновению сил отталкивания между вистрами, движущимися к полюсу, и сил притяжения между вистрами, движущимися от полюса. Первые вистры сжимаются, а вторые – растягиваются, в результате чего возникшее напряжение через четверть периода останавливает движение векторов атрисов квантонов серий на половине пути, происходит изменение фазы пульсации на 180^0 и начинается движение в диаметрально противоположные стороны. Период пульсаций векторов атрисов квантонов сокращается в два раза.

11. В сериях вистр векторы атрисов квантонов биртронов и яртронов с внешней стороны полюса изменяются от 0 до $\lambda/2$, а с внутренней – от $\lambda/2$ до λ , т.е. пульсируют асимметрично.

12. Частота колебаний векторов атрисов квантонов вистр биртронов и яртронов является величиной постоянной во всей Вселенной – абсолютное время Вселенной. Амплитуда колебаний векторов атрисов квантонов в сериях биртронов и яртронов в два раза меньше той, которую они имеют в свободном состоянии.

7. ФИЗИКА ЭЛЕКТРОНА

Введение

«Подсмотренные» внутри электрона механизмы элементарных процессов имеют несколько вариантов интерпретации, из которых только один является реальным. Выход на реальные процессы возникает при сопоставлении взаимодействий электрона во всех процессах при синтезе гравитонов, создании спина и магнитного момента, синтезе электрических и магнитных пострино, генерировании синхротронного излучения, а также при поглощении энергии и действии на электрон электромагнитных и гравитационных полей.

7.1. Механизмы элементарных процессов в электроне

Из всех стабильных устойчивых частиц самую простую структуру имеют электроны. Если читатель осознает закономерности перемещений атринов электрона по замкнутым траекториям и процессы синтеза ими всех видов полей, то структура нуклонов ядер атомов откроется полностью без особого труда, так как основополагающие закономерности у них общие.

Современная измерительная аппаратура не в состоянии дать реальное представление о структуре электрона, а тем более о процессах, протекающих внутри электрона, которые и определяют его физико-химические свойства. Однако измеренные значения массы электрона – $m_e = 9,1 \cdot 10^{-31}$ кг, спина – $P_e = h/4\pi$, магнитного момента – $\mu_e = 1,00114535\mu_0$, заряда – $g = 1,60210 \cdot 10^{-19}$ Кл, где $\mu_0 = eh/4\pi m_e c$ – магнетон Бора, дают возможность увидеть разумом и описать внешний вид, строение и процессы, протекающие в электроне.

Электрон состоит из двух атринов E и E_1 (рис. 35), серии квантонов которых совершают синхронные колебания по замкнутым траекториям. Накануне начала каждого полупериода циклических колебаний электрические серии атринов электрона выходят из одной общей точки Pe (полюса) в диаметрально противоположных направлениях, расходясь под углом $12'00''$ (рис. 35, а, увеличение $\times 10^{10}$). При увеличении в 10^{75} мы бы увидели, что со стороны торца электрон состоит из четырех слоев: собственно физическая основа электрона – атрины E и E_1 , которые обеспечивают электрону все его физико-химические свойства; системы привода атринов в движение – эфаны \mathcal{E} и \mathcal{E}_1 (рис. 35, б), системы управления и памяти электрона – дивитры V и V_1 , которые управляют атринами через посредство своей системы привода – дивитриса W и W_1 . Дивитра и дивитрис создают самостоятельную частичку – биртрон (рис. 35), который существует и после распада физической основы – атринов.

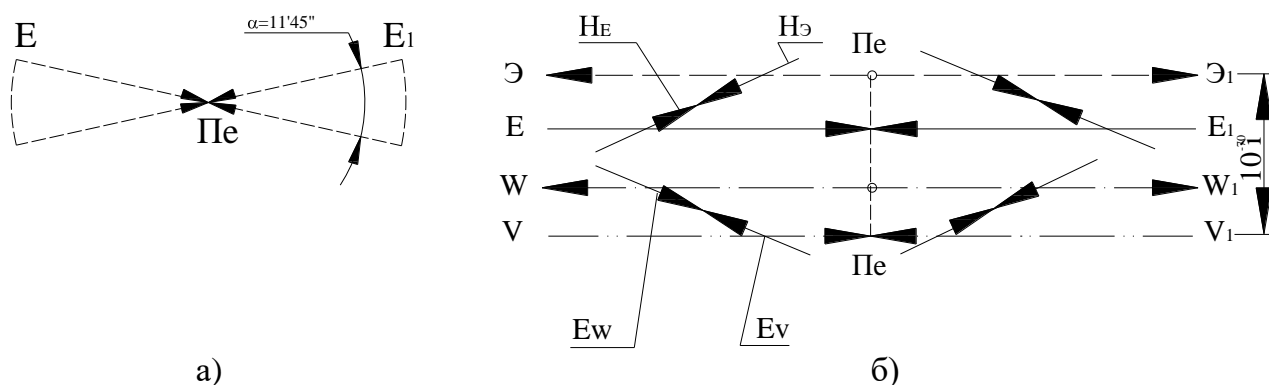


Рис. 35. Электрон. Расположение плоскостей серий квантонов электрона в момент начала нового периода циклических колебаний: а) плоскость поверхностей, образуемая сериями, б) вид плоскостей электрона с торца.

В зависимости от места расположения серий атринов на траектории их движения биртрон создает условия для синтеза из эфира электрических и магнитных пострино, гравитонов, синхротронного излучения, создания спина и магнитного момента.

7.2. Колебания серий квантонов атринов электрона

Физической основой всех материальных частиц является фотон, энергия которого равна половине измеряемой массы электрона. Такой фотон получил название «атрин»:

$$W_a = m_e C^2 / 2, \quad (49)$$

где m_e – масса электрона, C – скорость света.

В отличие от фотона, у которого угол раскрытия крайних серий квантонов равен 60° , атрин электрона имеет угол раскрытия серий – 12 минут ($12'$). Это показано при рассмотрении строения нейтрона.

При создании любых сложных систем должны работать простые законы, которые справедливы для всех частиц. Сформулируем эти законы:

1. Частота пульсаций векторов атрисов вистр любой частицы есть величина постоянная и одинаковая для всех частиц Вселенной, кроме фотонов и частиц полей.

2. При увеличении количества квантонов в атринах происходит уменьшение длины серий атринов и увеличение времени прохождения квантонами полюса, т.е. идет рост периода циклических колебаний серий атринов.

3. Для атринов, имеющих нормальную энергию, отвечающую формуле (49), справедливы уравнения:

$$\nu_a = \frac{m_e C^2}{2h} = 6,168 \cdot 10^{19} \text{ Гц}, \quad (50)$$

$$r_a = \frac{\lambda_e}{4} = \frac{h}{2m_e} \approx 1,21245 \cdot 10^{-12} \text{ м}, \quad (51)$$

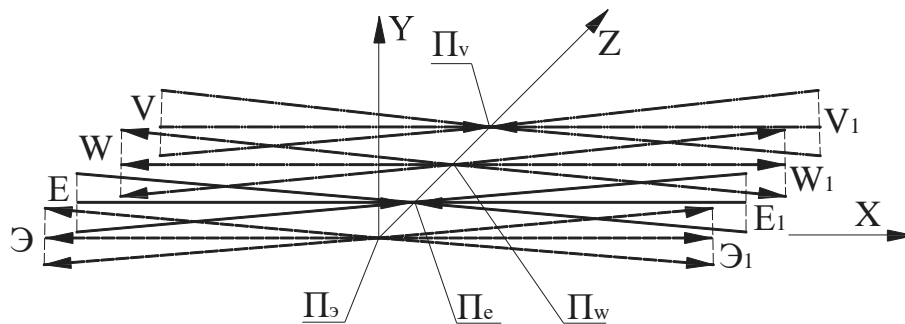
$$T_a = \frac{2h}{m_e C^2} \approx 1,62127 \cdot 10^{-20} \text{ с}, \quad (52)$$

где ν_a, r_a и T_a – частота, радиус и циклический период колебаний серий атринов в невозбужденном электроне.

4. Скорость перемещения серий в нормальных атринах частиц одну половину циклического периода равна скорости света – C , а другую половину циклического периода – удвоенной скорости света – $2C$.

5. При встречном пересечении полюса двумя атринами с одинаковым видом атрисов их вид не изменяется из-за синхронных пульсаций векторов квантов.

Представить электрон в масштабе невозможно, так как расстояния между плоскостями атринов, эфаны, дивитры и дивитриса меньше длины их серий в 10^{55} раз. Поэтому любое схематическое изображение электрона в пространстве является неадекватным. И все же покажем грубое пространственное расположение плоскостей серий квантонов электрона (рис. 36), чтобы стала ясна необходимость далее изображать только одну серию от каждой плоскости. При создании спина электрон вращается относительно оси Z , т.е. в плоскости XY (рис. 36). Все процессы циклических колебаний серий квантонов электрона осуществляются в плоскости атринов. Векторы атрисов второго вида H_E и H_Θ квантонов атринов E и эфаны Θ осуществляют пульсации между плоскостями атринов E и эфаны Θ (рис. 35, б).



**Рис. 36. Электрон. Пространственное изображение плоскостей:
 Θ – эфана, E – атрин, W – дивитрис, V – дивитра.**

В реальных условиях полюса Π_Θ, Π_E, Π_W и Π_V (рис. 36) совмещены в одну точку, а идентификация слоев и взаимодействие атринов вистр в полюсе биртрона обеспечивается единой

программой, управляющей фазами циклических колебаний векторов атрисов квантонов серий. Серии вистр дивитры V и дивитриса W в полюсе биртрона должны взаимно отталкиваться или притягиваться в виде серий – струн. Так как векторы атрисов квантонов серий вистр дивитры и дивитриса по обе стороны полюса всегда направлены навстречу друг другу (рис. 36), то для сохранения целостности серий – струн их векторы атрисов должны совершать пульсации в противофазе, что обеспечивает взаимное притяжение серий при удалении и отталкивание – при сжатии. При синхронной пульсации векторов атрисов квантонов встречных серий силового взаимодействия в полюсе между ними не возникает. Управление движением серий атринов электрона по замкнутому контуру обеспечивает дивитрис W путем изменения фазы пульсации векторов атрисов квантонов второго вида собственных серий на 180° .

В процессе циклических колебаний атринов E_1 и E_2 по замкнутым траекториям управление сериями осуществляют вистры биртрона W_1 и W_2 у электронов, а у нуклонов ядер атомов – вистры яритисов и филбайтингов. Силовая связь между электрическими векторами первых квантонов серий вистр $E_{W_1}^+$ и атринов K_{E_1} возникает, если необходимо изменить направление движения серий атринов или удержать их в пределах вистр. Накануне нового полупериода циклических колебаний эфаны \mathcal{E}_1 и \mathcal{E}_2 стремятся вытолкнуть атрины E_1 и E_2 электрона за пределы биртрона (рис. 37, а).

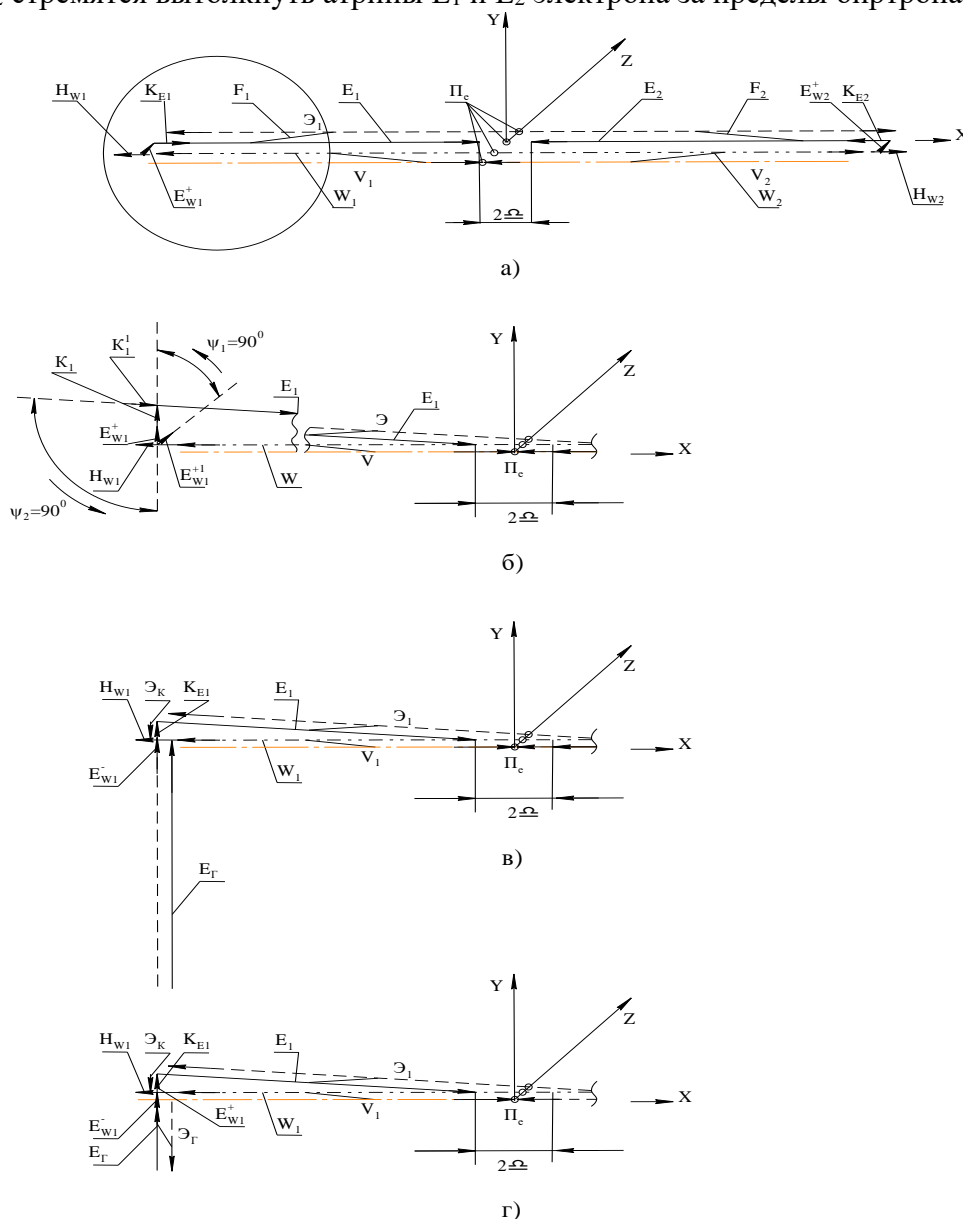


Рис. 37. Подготовительные фазы вывода серий квантонов электрона на хорды.

Векторы электрических атрисиков серий атринов E_1 и E_2 пульсируют синхронно вдоль общей серии вистр, а потому между ними нет силовой связи в полюсе Π_c . Электрические векторы серий эфан \mathcal{E}_1 и \mathcal{E}_2 в полюсе Π_c пульсируют в противофазе, а потому между ними установлена

силовая связь, и они представляют собой упругие «стержни». Обычно при силовом действии эфаны на серии, атрины смещаются в одну, а эфана – в диаметрально противоположную стороны каждая – на величину амплитуды пульсаций атрисиков. Так как в полюсе электрона Π_e серии эфан взаимно отталкиваются и не смещаются, то серии каждого атрина за один период пульсаций атрисиков смещаются относительно полюса Π_e на 2λ , где λ – амплитуда пульсаций атрисиков. Общее расстояние между атринами становится равным 4λ или 2δ , где δ – новая амплитуда смещения атрина за один период пульсаций атрисиков.

За пределами биртрона электрические векторы E_{W1} и E_{W2} первых квантонов магнитных серий вистр дивитриса устанавливают силовую связь с началами электрических векторов K_{E1} и K_{E2} первых квантонов электрических серий атринов и останавливают их движение за пределы радиусов биртрона (рис. 37, а).

Под действием удерживающей силы первые квантоны атринов K_{E1}^I и K_{E2}^I разворачиваются относительно вторых квантонов на угол $\Psi_2 = 90^\circ$ в плоскости YX против часовой стрелки с левой стороны K_1 (рис. 37, б) и с правой стороны – по часовой стрелке (на рис. 37, а не показано). Одновременно электрические векторы первых квантонов вистр дивитриса поворачиваются относительно полюсов квантонов в плоскости YZ на угол $\Psi_1 = 90^\circ$ против часовой стрелки E_w^+ (с левой стороны рис. 37, б) и по часовой стрелке – с правой стороны (на рис. 37, б не показано). Пары первых квантонов серий атринов электрона и электрических векторов первых квантонов дивитриса сохраняют силовую связь непрерывно, а потому траектория движения точки силовой связи имеет сложную форму. Процесс поворота векторов K_1 и E_{W1}^+ совершается за время порядка 10^{-100} с.

После завершения разворота векторов K_1 и E_{W1}^+ фаза пульсаций векторов атрисов квантонов изменяется на 180° . Теперь вектор E_{W1}^+ уменьшается (рис. 37, а), а вектор E_{W1}^- – увеличивается (рис. 37, в). Вектор E_{W1}^- создает в эфире голограмму за счет увеличения расстояний между изостратами, которые копируют расположение квантонов в сериях вистр. Когда размер голограммы достигает размера серий вистр (момент максимума амплитуды пульсации E_{W1}^-), происходит материализация голограммы путем замещения изострат атрисиками эфира. Освободившиеся изостраты голограммы сжимаются до плотности квантонов в сериях атринов, которые расположены с противоположной стороны серий вистр. Одновременно со сжатием серий E_{W1}^- сжимаются серии E_Γ будущего гравитона (рис. 37, в). Резкое сжатие серий E_Γ приводит к шаговому вращению в плоскости рисунка всей системы электрона около общего полюса Π_e на малый угол. Так как серии E_Γ тормозятся после сжатия, то и вращение серий электрона прекращается. В момент прекращения сжатия серии E_Γ синтезируют себе из эфира эфану $E_{ЭГ}$ (рис. 37, г), которая прижимает серии E_Γ к первому квантону дивитриса H_{W1} .

Первые квантоны K_1 разворачиваются на 90° в плоскости серий и создают себе эфану \mathcal{E}_K (рис. 37, г), которая также имеет амплитуду колебаний векторов атрисов, в два раза большую по сравнению с радиальными сериями. После выхода первых квантонов атринов на хорды векторы атрисов квантонов радиальных серий обеих эфан синхронизируют свои колебания, что приводит к потере силовой связи между ними в полюсе. Далее каждая радиальная эфана осуществляет функцию выталкивания квантонов радиальных серий атринов независимо друг от друга. За сериями атринов свободные квантоны эфан переходят в состояние эфира.

Как только силовая связь между квантонами эфаны в полюсе электрона распадается, а серии атринов разворачиваются на угол ϕ относительно серий вистр дивитриса, свободный биртрон приобретает нормальные размеры радиусов в соответствии с законом сохранения плотности квантонов биртрона (рис. 38, а).

7.3. Синтез гравитонов электронами

Во время выхода первых квантонов атринов на хорды эфаны \mathcal{E}_Γ прижимают серии будущего гравитона $E_{ГЛ}$ к электрическому вектору атрисов дивитриса E_w (рис. 38, б). Так как первые квантоны серий E_Γ упираются в электрические векторы E_w дивитриса, то у них нет возможности

двигаться далее и, чтобы избежать «давления» со стороны, они изменяют фазу пульсаций электрических векторов атрисов на 180^0 . Силловая связь между первыми и вторыми квантонами серий E_{Γ} исчезает. Вторые квантоны серий E_{Γ} (рис. 38, б) проходят под первыми и устанавливают силловую связь с электрическими векторами E_W первых квантонов дивитриса. Совмещенные векторы атрисов E_{Γ}^1 и E_{Γ}^2 устанавливают межатрисные каналы и притягиваются друг к другу. Чтобы этого не произошло, магнитные векторы атрисов H_{Γ}^1 и H_{Γ}^2 синхронизируют колебания атрисиков, и первый квантон удаляется от второго на расстояние, равное амплитуде пульсаций векторов атрисов атринов (рис. 38, б).

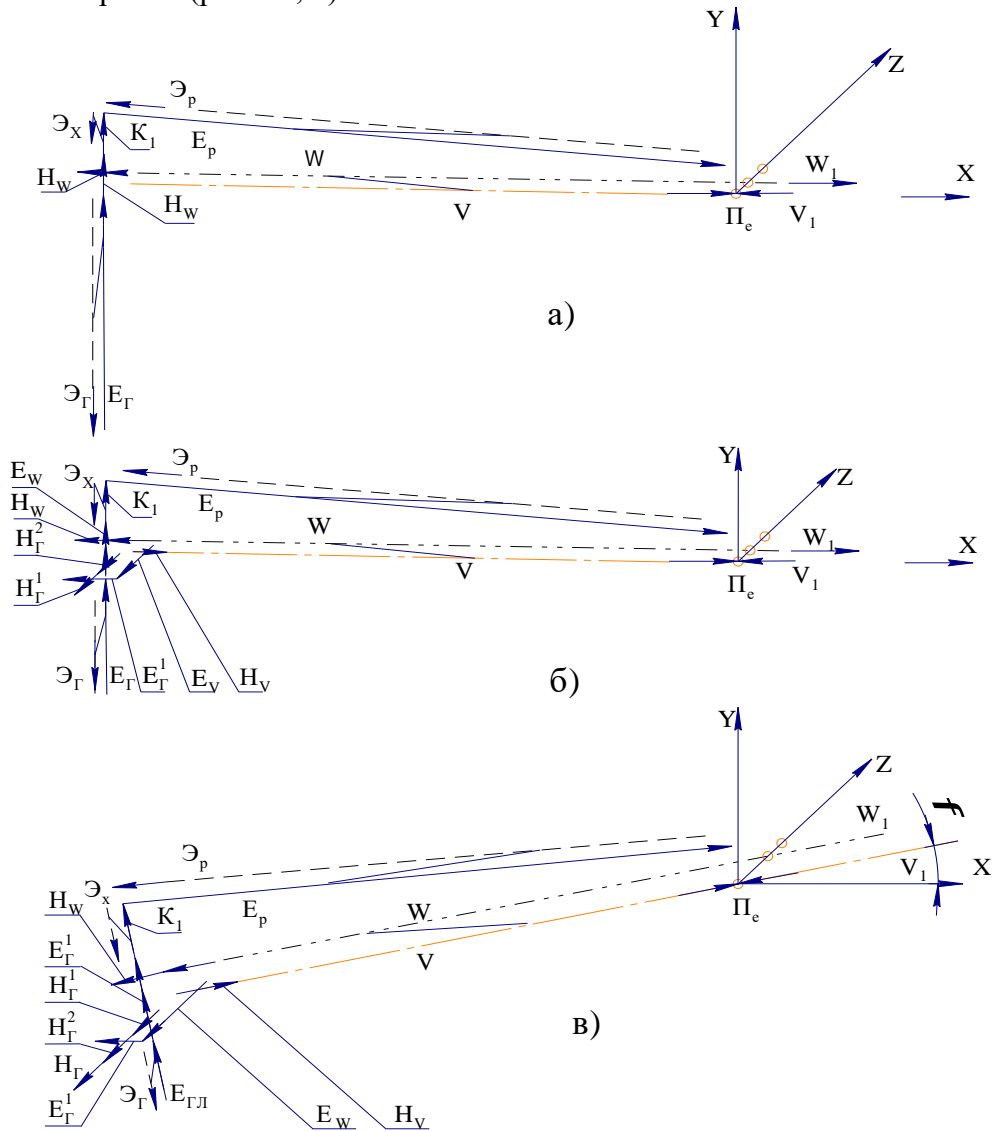


Рис. 38. Фазы создания спина, формирования гравитона и магнитного момента при выходе серий атринов электрона на хорды.

Во время смещения первых квантонов E_{Γ}^1 относительно серий E_{Γ} электрические векторы E_V дивитры улавливают удаляющиеся электрические векторы E_{Γ}^1 и устанавливают с ними силловую связь. Создается импульс силы, и вся система электрона в своей плоскости поворачивается на угол φ (рис. 38, б). Этот момент силы создает спин электрона, однако, движение по инерции отсутствует, так как сжатие гравитона можно уподобить сжатию растянутой пружины, прикрепленной к стенке: подвижная стенка сместится, но двигаться далее не будет (закон сохранения количества движения).

У серий атринов электрона одновременно протекают два процесса: радиальные серии атринов выходят на хорды и на них наезжает хордовая эфана \mathcal{E}_x , а освободившиеся от эфаны квантоны хордовых серий сразу же индуцируют квантон из эфира и наращивают хордовую эфану.

Хордовая эфана увеличивается, но не покидает хордовые серии атринов, так как она надвигается на квантоны радиальных серий атринов, вышедших на хорды.

Второй процесс совершается у электрического вектора первого квантона дивитриса: эфана электрического гравитона прижимает квантоны $E_{ГЛ}$ к вектору E_W (рис. 38, б). Первые квантоны $E_{Г'}^1$ серии $E_{ГЛ}$ прижимаются вторыми квантонами $E_{Г'}^2$ к вектору атрисов E_W дивитриса в результате выталкивающего действия эфаны $\mathcal{E}_Г$ (рис. 38, б). Так как квантон $E_{Г'}^1$ не может двигаться, то он изменяет фазу пульсаций векторов атрисов на 180° , и силовое взаимодействие между первыми и вторыми квантонами серий $E_{ГЛ}$ исчезает. Второй квантон $E_{Г'}^2$ проходит под первым $E_{Г'}^1$ и устанавливает силовую связь с первым квантоном E_W дивитриса.

За каждый период колебаний вектора атрисов серий $E_{ГЛ}$ первые квантоны $E_{Г'}^1$ трансформируются в магнитные и синтезируют серию $H_Г$. При смещении каждого последующего квантона серий $E_{Г'}^1$ электрические векторы атрисов E_V первых квантонов дивитры «скользят» вдоль концов вектора $E_{Г'}^1$, перенося силовую связь к новым концам векторов атрисов формирующегося гравитона.

Электрические векторы E_V первых квантонов дивитры V взаимодействуют с электрическими векторами $E_{Г'}^1$ синтезируемого гравитона под углом 90° (рис. 38, б). Так идет процесс трансформации электрических серий $E_{ГЛ}$ в магнитные $H_Г$ (рис. 38, в).

Когда все серии $E_{ГЛ}$ трансформируются в магнитные серии $H_Г$ (рис. 39, в), у серий гравитона остается силовая связь между электрическими векторами первых квантонов E_V дивитры и электрическим вектором $E_{Г'}^1$ последнего квантона магнитных серий гравитона (рис. 39, а). Векторы E_V мгновенно разворачиваются на угол $\omega=90^\circ$, увлекая за собой серии $H_Г$, у которых амплитуда колебаний квантонов увеличивается от амплитуды квантонов радиальных атринов, движущихся от полюса, до амплитуды квантонов вистр дивитры. В полюсе Π_e магнитные серии $H_Г$ и $H_{Г1}$ входят в контакт (рис. 39, б), и их векторы взаимно отталкиваются в диаметрально противоположные стороны. Синтезируемый гравитон получает от дивитры голограмму, которая восстанавливает первичные его параметры после любых физических взаимодействий гравитона с материей.

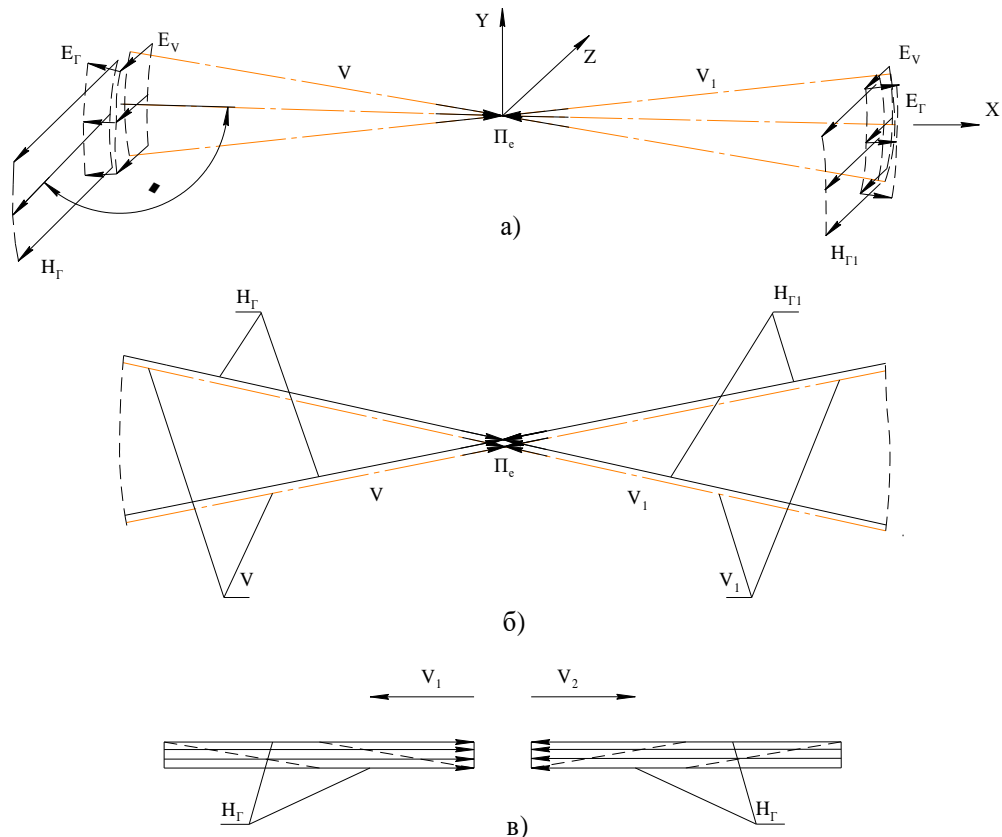


Рис. 38. Конечные фазы формирования гравитонов у плоскости серий квантонов дивитры.

Взаимное притяжение атроусами серий гравитона располагает их вдоль серий биртрона и синхронное отталкивание электрическими векторами атрисов второго вида дает возможность гравитону приобрести самостоятельность (рис. 39, в). Далее гравитон перемещается в эфире по методу канального вытеснения. Так как энергия гравитона равна энергии кванта действия, то гравитон является чрезвычайно устойчивой частицей. Гравитон сохраняет такие же частоту и амплитуду колебаний квантонов, как имеют квантоны вистр дивитры. Серии атрина проходят путь от полюса Π_c до периферии (хорд) электрона со скоростью света за время $T_e/4$. Следовательно, скорость перемещения гравитона будет больше скорости движения атрина во столько раз, во сколько масса (энергия) атрина больше энергии вистры:

$$V_2 = \frac{W_a}{W_r} C \approx 6,13 \cdot 10^{19} C, \quad (53)$$

где W_a и W_r – энергия атрина и гравитона соответственно.

Следуя закону сохранения плотности квантонов биртрона, свободного от стороннего силового воздействия на его серии, спин сохраняется постоянным при любых энергетических воздействиях на электрон. За половину периода циклических колебаний серий атринов электрон разворачивается в плоскости биртрона на 180° (рис. 40, а).

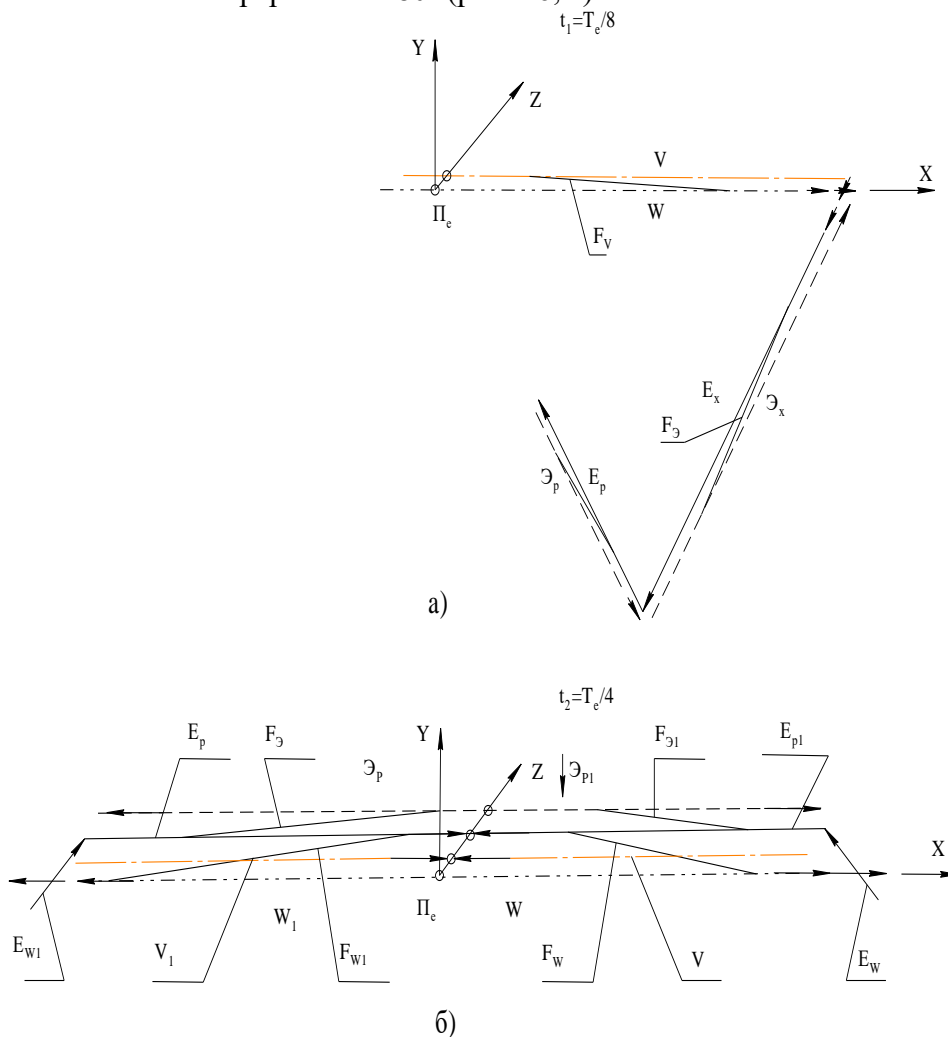


Рис. 40. Фазы колебаний серий квантонов электрона.

Как только завершается синтез одного гравитона, мгновенно электрический вектор первого квантона дивитриса создает атрисиковую голограмму: синтезируются электрические серии нового гравитона, с дальнейшей трансформацией их в магнитный гравитон. За полпериода колебаний атринов электрон создает количество гравитонов, энергия которых равна половине энергии электрона.

После завершения формирования хордовых серий атринов E_x (рис. 40, а) на радиальном участке атрина E_p может оставаться избыточная энергия. К избыточной энергии серий атринов E_p

биртрон не чувствителен и выполняет свою работу по управлению циклическими колебаниями серий атринов электрона со стандартной энергией. Дивитра сжимает серии дивитриса, и последний втягивает первые квантоны атринов на радиусы. Разворот на 90° электрического вектора E_w первых квантонов вистр дивитриса ведет к прекращению синтеза гравитонов, которые формируются в течение одной восьмой периода в начале каждого полупериода циклических колебаний серий в соответствии с нормальной плотностью квантонов биртрона.

К полюсу электрона Π_e радиальные серии E_p движутся со скоростью $2C$, как и на хордах. При достижении полюса Π_e атрины согласовывают пульсации электрических векторов квантонов и взаимно не отталкиваются. Атрин E_p перемещается в область дивитриса W_1 , который развернулся на 180° , а атрин E_{p1} – в область дивитриса W (рис. 40, б). Получается, что атрины электрона сохраняют свое положение в пространстве неизменным.

7.4. Фазы циклических колебаний атринов электрона

Рассмотрим фазы циклических колебаний атринов электрона за один полупериод. Накануне нового полупериода циклических колебаний атринов электрона, независимо от величины избыточной энергии одного из атринов, биртрон устанавливает размер серий в соответствии со стандартом нейтрона (рис. 41, а).

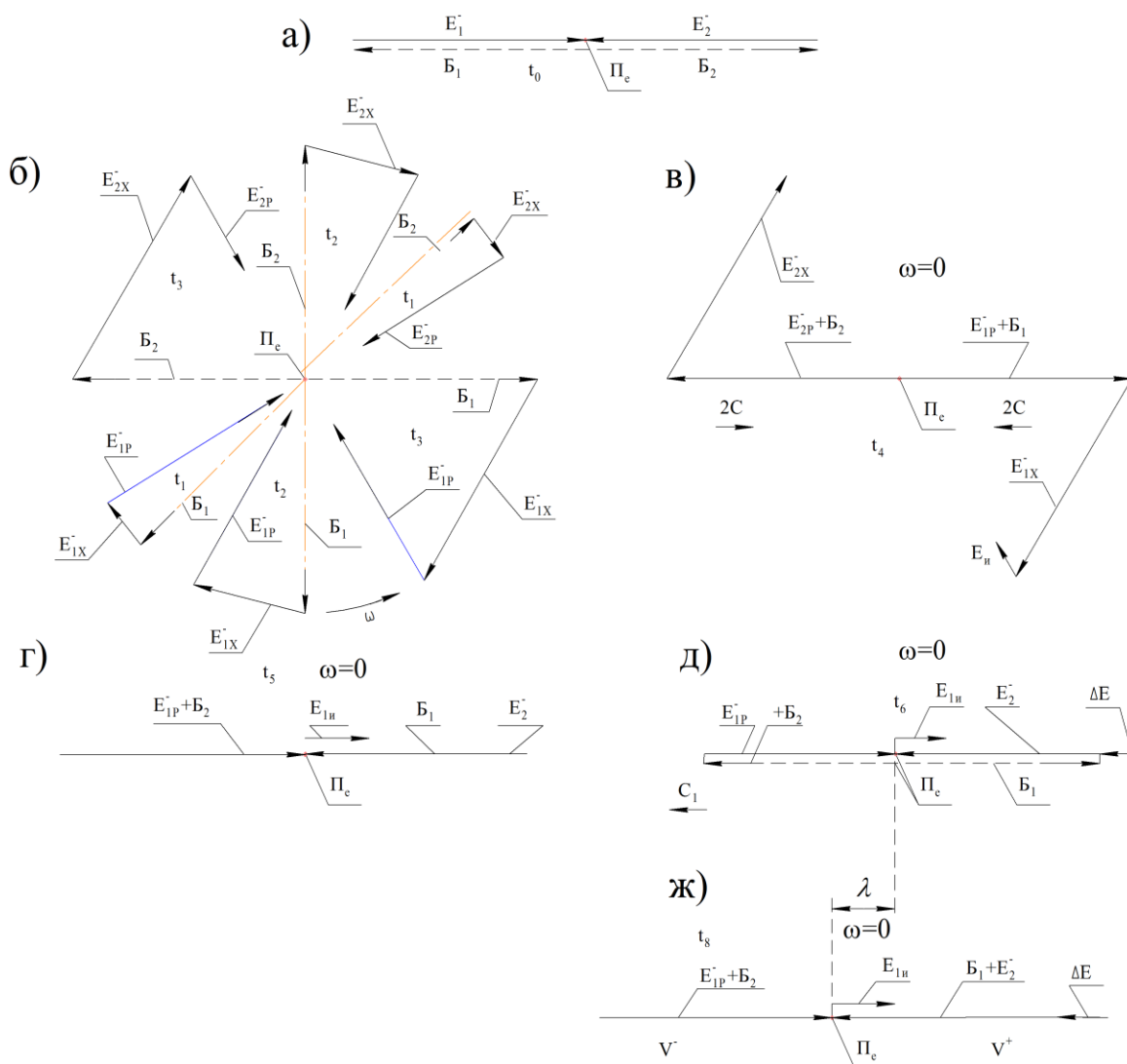


Рис. 41. Фазы за один полупериод T_0 циклических колебаний атринов E_1^- и E_2^- электрона, у которого один атрин E_1^- имеет избыточную энергию, накануне захвата атомом кристалла металла электрона (t_8):

$$t_0 = 0; t_1 = T_0/16; t_2 = T_0/8; t_3 = T_0/4; t_4 = T_0/2; t_5 = T_0; t_6 = T_0 + T_n/2; t_7 = T_0 + T_n/2; t_8 = T_0 + T_n.$$

Пусть первый атрин E_1^- электрона имеет избыточную энергию, а потому его покажем в виде жирного вектора. Эфаны выталкивают атрины электрона за пределы биртрона, а электрические векторы первых квантонов магнитных серий вистр устанавливают силовую связь с электрическими векторами первых квантонов электрических серий, разворачивают векторы первых квантонов электрических серий атринов на 90^0 и не дают им возможности выйти за пределы радиусов биртрона.

Серии атринов E_{1X}^- и E_{2X}^- выходят на хорды (t_1 , рис. 41, б), что сопровождается синтезом гравитонов, которые приводят во вращение серии биртрона B_1 и B_2 и атринов электрона E_{1P}^- ; E_{1X}^- и E_{2P}^- ; E_{2X}^- .

Амплитуды пульсаций векторов атрисов серий атринов на хордах всегда прямо пропорциональны количеству векторов адрат в вистрах биртрона, но всегда в два раза больше, чем у векторов квантонов серий радиальных атринов, движущихся от полюса электрона. За четверть полупериода биртрон электрона поворачивается на угол 180^0 . Фазы расположения серий атринов электрона и биртрона в разные моменты времени показаны на рис. 41, б.

Программа серий вистр дивитры при выходе на хорды серий атринов увеличивает их амплитуду пульсаций квантонов в два раза. При выходе на хорды энергии атринов в количестве $m_e/4$ серия E_{1X}^- достигает размера радиуса электрона t_3 (рис. 41, б). Хордовые серии E_{1X}^- под действием вистр дивитры биртрона изменяют направление движения на 90^0 и движутся к полюсу электрона вдоль серий вистр биртрона без изменения амплитуд пульсаций векторов атринов квантонов. Через половину полупериода радиальные серии атринов достигают полюса P_e электрона. Пересекая полюс P_e , серии атринов E_{1P}^- и E_2^- (рис. 41, в) входят в область управления стандартных вистр дивитриса биртрона.

Векторы адрат вистр биртрона устанавливают плотности квантонов в сериях атринов в соответствии со стандартной программой. И амплитуды пульсаций векторов атрисов квантонов в сериях атринов соответствуют стандарту электрона. Атрины E_{1P}^- и E_2^- , пересекая полюс электрона P_e , приобретают равную плотность квантонов в радиальных сериях (рис. 41, г), а у атрина E_{1P}^- перед полюсом P_e остается избыточная энергия $E_{1п}$.

До конца полупериода T_0 только часть квантонов E_{1P}^- пересечет полюс электрона P_e . Квантоны второго атрина E_2^- все пересекли полюс P_e .

Серии E_{1P}^- и $E_{1п}$ первого атрина не могут дальше пересекать полюс, если атрин E_2^- не приобретет плотность квантонов в сериях в соответствии с максимальной энергией первого атрина.

За время, равное половине периода пульсаций векторов атрисов квантонов, серии вистр биртрона B_1 и B_2 (рис. 41, д) сокращаются и устанавливают силовую связь электрическими векторами первых квантонов с электрическими векторами первых квантонов атринов E_2^- и E_{1P}^- (рис. 41, д). Серии второго атрина E_{2P}^- мгновенно (10^{-100} с) в соответствии с собственной плотностью квантонов в сжатых сериях создают голограмму, которая материализует из квантонов эфира серии ΔE (рис. 41, д).

Во вторую половину периода пульсаций векторов атрисов квантонов векторы адрат первой половины биртрона приобретают амплитуду в соответствии со стандартом нейтрона, индуцируя векторам квантов действия атрина E_2^- равную амплитуду (рис. 41, ж). Атрины E_2^- расширяются до размеров стандарта нейтрона, толкая впереди себя серии ΔE . В результате расширения атрина E_2^- весь электрон смещается на величину λ .

В конце прыжка, в зависимости от тех условий, куда попадает электрон с избыточной энергией, решается дальнейшее энергетическое состояние электрона, а их может быть два:

1. Синтез магнитного пострино, если при расширении атрина E_2^- сохраняется силовая связь между сериями атрина E_2^- и синтезируемыми сериями ΔE . В этом случае после прыжка электрон останавливается, у серий ΔE синтезируются серии эфаны, которые прижимают серии ΔE к сериям

атрина E_2^- . Происходит трансформация электрических серий ΔE в магнитное пострино. Серии E_{1n} и E_{1n}^2 сохраняют свою целостность (рис. 41, д) и продолжают пересекать полюс электрона P_e .

2. В момент прыжка электрон проходит через полюс ядра атома, и между ними устанавливается взаимодействие. При смещении электрона к ядру атома ориентация электрона в пространстве сохраняется.

7.5. Синтез электроном электрических пострино

Принято считать, что положительное поле – это плюс, а отрицательное – минус, и при сложении дают нуль. Странно, что такой абсурд принимается за реальность до наших дней при известном всем и общепринятом законе сохранения энергии. Электрическое положительное и отрицательное поле – это энергия, которая уходит от электронов и ионов во все стороны со скоростью света. Следовательно, отрицательные и положительные ионы должны где-то черпать эту энергию, чтобы непрерывно излучать, а когда происходит рекомбинация – прекращается процесс генерирования энергии. Вот и рассмотрим причину отсутствия излучения энергии электроном.

Атрисная физика показала, что энергия электронов остается величиной постоянной абсолютно всегда. Единственная возможность увеличить энергию электрона осуществляется в момент выхода электрона из полюса ядра атома. Величина этой избыточной энергии во всех случаях остается величиной постоянной. Только один атрин электрона может иметь избыточную энергию, которая возникает при *выпрыгивании валентного электрона из полюса ядра атома* и улавливается сериями главного пострино. Полюс электрона совмещается с центром главного пострино и удерживается в нем. Первые квантоны первого атрина улавливаются первыми квантонами главного пострино. Серии первого атрина электрона движутся далее по инерции и сжимаются. Количество векторов адрат у производной вистры биртрона увеличивается, и свободные вектора адрат синтезируют из эфира дополнительные серии. В дальнейшем эти серии служат для синтеза магнитного пострино вторым атрином электрона. Других возможностей синтезировать магнитное поле у электрона тока нет.

Отрицательное электрическое поле всегда синтезируется *электроном сродства*. Но энергия атринов электронов при этом не изменяется. Задача главных пострино включает необходимость удаления электронов сродства с полюса ядра атома. Главные пострино пересекают полюс ядра атома и располагаются в направлении движения.

Первый ряд квантонов производной вистры биртрона электрона сродства устанавливает силовую связь с центром главного пострино. Производная вистра биртрона электрона сродства пытается вырвать этот электрон с полюса ядра атома. На производной вистре биртрона возникают вектора адрат в соответствии с усилием возможного сжатия. Вектора адрат на производной вистре биртрона создают голограмму, которая материализуется в отрицательные электрические серии. В полюсе электрона сродства отрицательные серии производят зеркальное копирование. С противоположной стороны полюса электрона создаются отрицательные серии. С обеих сторон полюса электрона отрицательные серии мгновенно расширяются и приобретают амплитуды пульсаций, как у серий с комптоновской длиной волны. Далее отрицательные серии движутся по эфгане Ариадны в противоположные стороны.

Атрины электрона не в состоянии создавать отрицательные электрические пострино, но отрицательные электрические пострино вступают в силовую связь с первым рядом квантонов электронов, движущихся навстречу одному из отрицательных пострино.

7.6. Синтез электроном магнитных пострино

Пусть серии атринов E_1 и E_2 движутся от полюса P_e к периферии электрона под действием эфаны E_1, E_2 (рис. 42, а). Когда количество квантов действия, которые пересекли полюс электрона, соответствует стандарту нейтрона, перед полюсом электрона остаются квантоны в количестве от одного атрина E_1 . Производная вистра биртрона W_2 устанавливает количество векторов адрат в собственных сериях в соответствии с суммарной энергией $E_2 + \Delta E_1$. Вследствие того, что серии ΔE_1 направлены в диаметрально противоположную сторону серий E_2 , производная вистра биртрона

электрона синтезирует вектора адрут с направлением векторов магнитных серий в направлении серий E_2 , а участки избыточной энергии вектора адрут синтезируют с обратным направлением магнитных векторов. Серии E_2 сжимаются в соответствии с увеличившимся количеством векторов адрут W_2 . Серии второго атрина E_2 сжимаются в соответствии с увеличением векторов адрут в сериях W_2 . На освобожденные участки векторов адрут W_2 из эфира синтезируются кванты действия с количеством энергии ΔE_1 с обратным направлением магнитных векторов квантонов. Происходит мгновенное расширение атрина E_2 , и избыточная энергия ΔE_1 выталкивается за пределы W_2 вследствие разного направления магнитных векторов квантонов в сериях E_2 и ΔE_1 . Мгновенно на освобожденные кванты действия синтезируется эфана, которая стремится удержать приобретенную энергию у поверхности второго атрина. Одновременно эфана E_2 прижимает к полюсу электрона серии E_2 . Так как у полюса электрона находятся серии E_2 , то полюс свободно пересекают квантоны ΔE_1 . Прижимаемая к поверхности второго атрина, избыточная энергия ΔE_1 трансформируется в магнитные серии. *Синтезируются магнитные пострино.*

При завершении пересечения полюса всеми квантонами E_1 , перед вторым атрином все электрические серии ΔE_1 трансформировались в магнитные пострино. При пересечении полюса электрона сериями E_1 , у биртрона увеличивается количество векторов адрут, но размер серий биртрона не изменяется. Новый полупериод циклических колебаний атринов электрона, независимо от их энергии, начинается одновременно. Как и положено в этом случае, электрические вектора квантонов биртрона удерживают первые вектора электрических отрицательных серий электрона на хордах. Электрические вектора биртрона разворачиваются на 90^0 . Первым рядом квантонов, развернутых на 90^0 , синтезируется голограмма в результате удержания первых векторов квантонов первого ряда серий атринов. Начинается процесс трансформации электрических серий в магнитные, и *синтезируются гравитоны.*

Окончательная трактовка синтеза магнитных серий электроном тока получена значительно позже, чем этот процесс представлял автор ранее. Приход к результирующему простому и ясному пониманию сложных явлений природы приходит в результате длительной работы ума. Для понимания заблуждений автора можно просмотреть рисунок 42, который сложный и не понятный. Но в конце приходит ясная и четкая трактовка явлений. Труден путь открытий! Они просты, но прийти к ним сложно. Пусть читатель сам в этом убедится.

При движении атринов от полюса плотность квантонов в их сериях устанавливается в соответствии с законом сохранения плотности векторов адрут в сериях биртрона. При достижении первыми квантонами серий атринов первых квантонов серий биртрона система управления биртрона переключает направление выталкивания дивитрисом $F_{V1}-F_{V2}$ (рис. 42, а) серий атрисов E_1-E_2 на сжатие F_{V2} (рис. 42, а). Осуществляется сжатие дивитрами E_{W1} и E_{W2} обоих атринов E_1 и E_2 до плотности квантонов в сериях E_1 избыточной энергии E_1^1 (рис. 42, б). Серии атринов E_1 и E_2 сжимаются равным образом. Вистры дивитриса учитывают полную энергию серий атринов и восполняют квантоны энергии в сериях E_2 . Серии E_2 создают голограмму и синтезируют дополнительную серии E_2^1 , энергия которых равна избыточной энергии E_1^1 первого атрина E_1 (рис. 42, б).

В первую половину периода пульсаций квантонов серий дивитриса W_1 и W_2 сжимают атрины электрона E_1 и E_2 (рис. 42, а), а во вторую – изменяют фазу на 180^0 и растягивают атрины E_1 и E_2 (рис. 42, б). Накануне синтеза серий E_2^1 (рис. 42, б) электрические вектора первых квантонов E_{W1} и E_{W2} серий дивитрисов установили силовую связь электрическими векторами первых квантонов серий E_1 и E_2 атринов. Биртрон не принял дополнительную энергию E_2^1 в стационарные серии E_2 . Энергия E_2^1 оказалась за пределом биртрона.

Изменение фазы пульсаций квантонов серий биртрона приводит к резкому расширению атринов электрона до стандартного размера. Но у серий атринов E_2 имеется избыточная энергия E_1^1 , что приводит к смещению полюса P_e электрона на величину X (рис. 42, в) в направлении движения.

После расширения атринов движение по инерции не происходит: электрон «прыгает» за время равное полупериоду пульсаций квантонов, и остается без движения в течение половины

периода циклических колебаний атринов. Избыточный квантон E_2^1 синтезируют себе из эфира эфану \mathcal{E}_2^1 . Далее квантоны серий E_1^1 продолжают пересекать полюс электрона, а серии E_2 удерживаются биртронов у полюса Π_e пока все квантоны E_1^1 пересекают полюс Π_e (рис. 42, г).

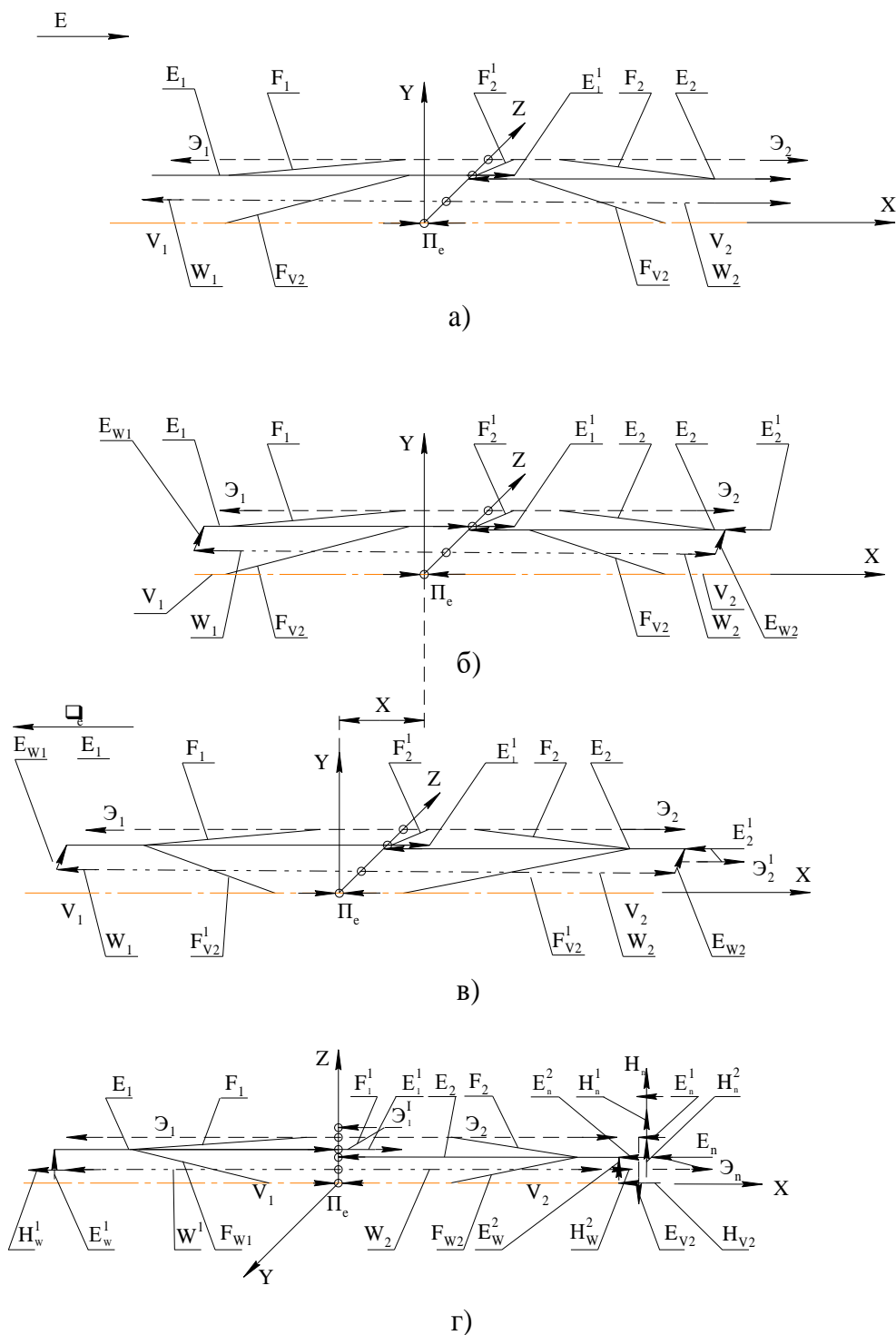


Рис. 42. Синтез электроном магнитного дуга пострينو:

- а) фаза завершения полупериода циклических колебаний атринов при стандартной плотности квантонов в сериях; б) фаза сжатия обоих атринов до плотности квантонов в сериях E_1^1 и избыточной энергии и синтез атрином E_2 избыточной энергии E_2^1 ; в) фаза изменения направления действия сжатия атринов F_{V2} на выталкивание F_{V2}^1 ; г) фаза синтеза магнитного дуга пострино H_n из серий E_2^1 .

Квантоны серии атринов E_2 совершают „холостые” пульсации, а эфаны \mathcal{E}_2^1 прижимают серии избыточной энергии к границе атрина E_2 , куда их не пускает электрический вектор первого квантона E_{K2} дивитриса W_2 (рис. 42, в).

Для упрощения рисунка развернем оси Y и Z в их плоскости на 90^0 (рис. 42, г). Теперь все слои серий атринов и вистр расположились перпендикулярно плоскости рисунка.

Эфаны \mathcal{E}_2^1 прижимают первые квантоны серий E_n^1 вторыми квантонами E_n^2 к границе E_2 , отделенную дивитрисом E_{w2} . Первые квантоны E_n^1 изменяют фазу колебаний векторов атрисов на 180^0 и вторые квантоны E_n^2 проходят под первыми до границы векторов $E_w^2 - E_2$.

Как только вторые вектора атрисов E_n^2 устанавливаются силовую связь с границей векторов атрисов $E^2 - E_w^2$, происходит синхронизация колебаний атрисов магнитных атрисов H_n^1 и H_n^2 (рис. 42, б). Первые квантоны E_n^1 поднимаются над вторыми и идет трансформация электрических в магнитные серии пострино H_n . Уходящие электрические вектора атрисов E_n^1 улавливаются магнитными векторами атрисов E_{v2} дивитры, но не вносят никаких изменений в плотность квантонов серий E_w , так как у них такая же плотность квантонов какая есть у атринов электрона.

Электрический вектор атрисов первого квантона дивитры E_{v2} разворачивается на 90^0 и устанавливает силовую связь с электрическим вектором квантона E_{n1} отсоединенного от серии E_n . Идет процесс синтеза магнитного пострино, у которого все электрические вектора атрисов направлены в одну сторону и располагаются перпендикулярно к поверхности серий магнитного пострино. Процесс синтеза гравитонов и магнитного пострино аналогичен.

Как только завершается трансформация электрических E_n квантонов в магнитные H_n , у магнитного цуга пострино остается силовая связь только с электрическими векторами (второго вида) дивитры, которая не в состоянии удерживать магнитный цуг пострино. Магнитный цуг пострино получает собственную голограмму и частоту колебаний векторов атрисов серий в соответствии с собственной энергией.

Создалась самостоятельная энергетическая сущность, которая в соответствии с собственной энергией устанавливает длину волны и частоту пульсаций векторов атрисов квантонов магнитных серий.

По завершению синтеза магнитного цуга пострино заканчивают пересечение полюса Π_e квантоны серий (рис. 42, г). Эфаны и дивитрис выталкивают атрины серий E_1 и E_2 на хорды. Начинается новый полупериод циклических колебаний серий атринов электрона.

7.7. Действие электрического поля на электрон

Колебаниями серий квантонов атринов электрона управляет производная вистра биртрона электрона через посредство коренных вистр. Электрические серии атринов электронов тока могут вступать в силовое взаимодействие с производными пострино и электрическими отрицательными пострино. Первые квантоны электрических серий атринов могут вступать в силовое взаимодействие с производными и отрицательными электрическими пострино. Такой период времени наступает в каждый полупериод T_{ep} циклических колебаний серий квантонов атринов электрона от $T_{ep}/4$ до $T_{ep}/2$. Серии квантонов атринов электрона принимают участие в силовом взаимодействии с электрическими производными пострино (рис. 43).

Производное и отрицательное пострино перемещаются только вдоль эфаны Ариадны. При завершении полупериода циклических колебаний атринов электрона первые квантоны производной вистры устанавливают силовую связь с первым рядом квантонов первого атрина электрона. Производная вистра создает усилие в результате сжатия собственных серий. Так как производная вистра перемещается вдоль эфаны Ариадны, стремление к сжатию серий производных пострино приводит к силовому действию на первый атрин электрона тока. Напряжение сжатия продолжается до тех пор, пока атрину электрона не передается энергия, равная энергии производного пострино, что приводит к аннигиляции последнего.

Таким образом, при силовом действии производных пострино на электрон тока происходит увеличение кинетической энергии электрона тока. Однако его масса не изменяется, увеличивается только кинетическая энергия. При силовом действии на первый атрин электрона отрицательного электрического пострино силовая связь возникает после пересечения отрицательным электрическим пострино первого ряда квантонов первого электрона.

В это мгновение возникает силовая связь между первым атрином электрона и прошедшим за его пределы отрицательным электрическим пострино. Также как и в случае с производным пострино, силовая связь возникает в результате стремления к сжатию электрического отрицательного пострино.

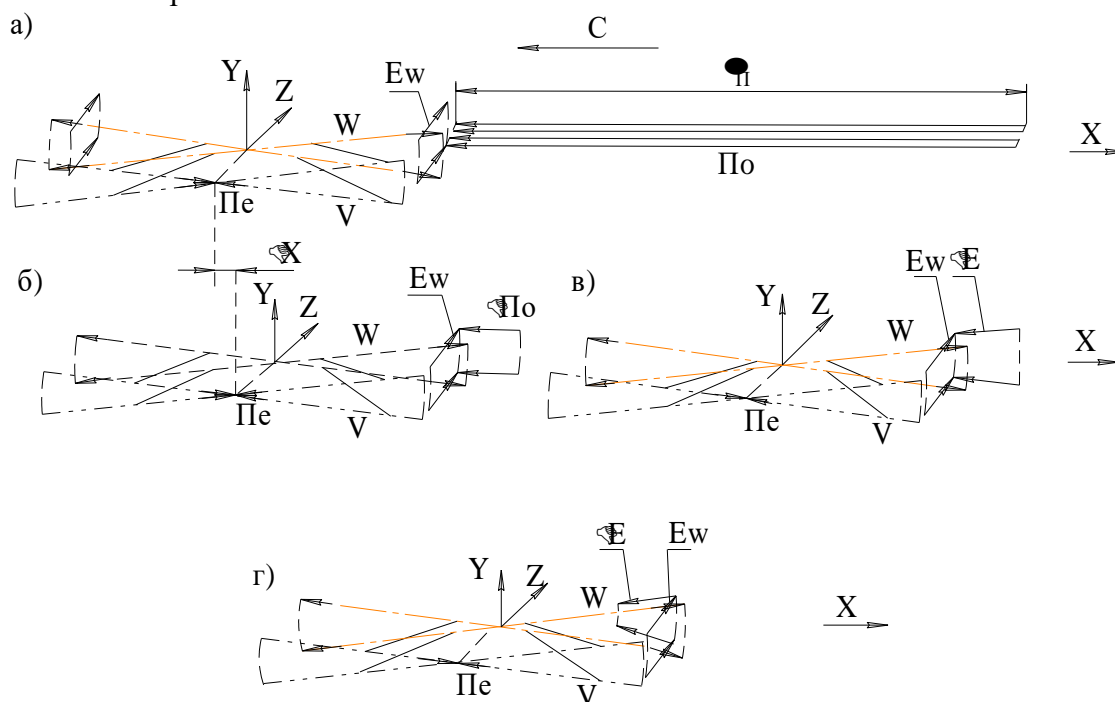


Рис. 43. Силовое взаимодействие электрического поля с электроном.

Первый атрин электрона тока приходит в движение, увеличивая кинетическую энергию электрона тока. Отдав всю энергию электрону тока, происходит его аннигиляция. Кинетическая энергия электрона тока увеличивается, однако его масса не изменяется.

7.8. Действие магнитного поля на возбужденный электрон

Параллельно движущиеся электроны трансформируют магнитные цуги пострино, которые обеспечивают создание силы, ведущей к их сближению, без изменения величины скорости движения. Следовательно, у магнитного цуга пострино, синтезируемого электроном, и подошедшего к нему свободного магнитного пострино от второго электрона, магнитные вектора атрисов квантонов будут направлены навстречу друг другу, а электрические – располагаться параллельно друг другу (рис. 44, а).

Все электроны Вселенной синтезируют магнитные пострино, у которых электрические вектора атрисов квантонов имеют одно общее направление относительно плоскости собственных магнитных серий. Электрические вектора атрисов квантонов магнитных серий частиц поля (пострино) могут разворачиваться на угол 90° только в одну сторону относительно плоскости магнитных серий при их силовом взаимодействии с магнитными пострино или гравитонами, синтезируемыми электроном.

Во время трансформации электрических серий частицы в магнитные H_e каждая из серий сохраняет свою индивидуальность, однако, в средах происходит атрисиковая поляризация эфира. Это происходит в мгновение возникновения силовой связи между сторонним магнитным пострино и магнитным пострино, синтезируемым током среды. Количество магнитных пострино, участвующих в создании силового действия, всегда сохраняется величиной, зависящей от геометрических размеров до точки, в которой происходит мгновенная силовая связь.

Во время синтеза электроном магнитных пострино, они не имеют возможности изменять положение векторов квантонов своих серий – это жесткая система. Следовательно, силовое взаимодействие между синтезируемыми и сторонними пострино определяется только амплитудно-частотными характеристиками пульсаций сторонних пострино.

У гравитонов и пострино структура и механизм пульсаций векторов квантонов серий похожи. Различие заключается в амплитуде пульсаций векторов атрисов квантонов их серий. У гравитонов частота пульсаций векторов атрисов квантонов сохраняется такой же, как и у векторов атрисов вистр дивитры электрона [1], а их амплитуду можно рассчитать по формуле:

$$A_O^\Gamma = \frac{r_e}{A^*} \quad (54)$$

где r_e - радиус вистры дивитры без действия сторонних сил на биртрон, A^* - атрисное нормирование.

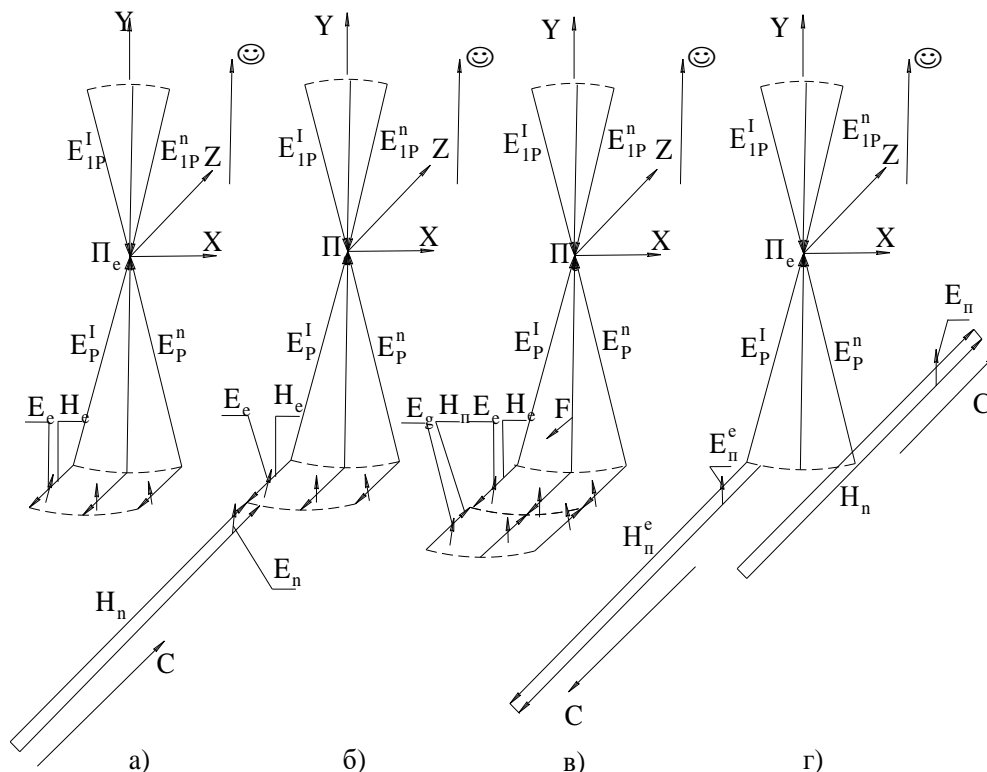


Рис. 44. Магнитное взаимодействие параллельно движущихся электронов.

Амплитуду пульсаций векторов квантонов серий пострино, при условии, что длина волны пострино (серий) равна $\lambda_n = 5 \cdot 10^{-5}$ м, может быть определена как:

$$A_O^n = \frac{\lambda_n}{A^* n} \quad (55)$$

где $n = \frac{c}{\lambda_n}$ - количество квантов действия равное энергии пострино. Отношение A_O^Γ к A_O^n оказалось порядка 10^5 . Это значит, что амплитуда пульсаций магнитных векторов атрисов квантонов у гравитона в сто тысяч раз больше, чем у пострино. Поэтому, удаленный электрический вектор атрисов серий гравитона не будет оказывать влияния при взаимодействии магнитной атрисиковой голограммы с трансформируемыми гравитонами и магнитными пострино. У магнитных серий пострино направление электрических векторов атрисов будет оказывать определяющую роль при силовом взаимодействии. Гравитоны будут вступать в силовое взаимодействие с любыми синтезируемыми магнитными сериями.

В первый полупериод колебаний векторов атрисов серий нечетные серии стороннего пострино выдвигаются вперед и создают атрисиковую голограмму, при помощи которой они могут устанавливать силовое взаимодействие с одним из первых векторов атрисов H_e одной серии пострино электрона (рис. 44, б). По голограмме серий пострино электрона гравитонам передается плотность квантонов серий трансформируемого пострино, что приводит к резкому сокращению серий H_n гравитона (рис. 44, в). На пострино (гравитон) действует сила F , которая приводит электрон (атом) в движение навстречу гравитону.

Здесь рассмотрены общие закономерности силового действия для гравитонов и магнитных пострино, но у последних очень маленькая амплитуда колебаний векторов атрисов квантонов серий, что накладывает дополнительные ограничения на силовое взаимодействие пострино поля и электрона.

7.9. Мгновенная силовая связь между синтезируемыми частицами и полем

Во время трансформации электрических серий в магнитные или при трансформации магнитных серий в электрические с ними могут вступить в мгновенную силовую связь со сторонними гравитонами, магнитными и электрическими цугами пострино. Кроме того, мгновенная силовая связь может устанавливаться между сменной поверхностью расилшубов и электрическими сериями витры фотона, которые трансформируются из магнитных серий. Пусть магнитные серии частиц пострино H_e и H_n (рис. 45), трансформируемые из электрических, расположены в плоскости, перпендикулярной поверхности листа, а электрические вектора квантонов E_e и E_n перпендикулярны к плоскости серий.

У стороннего пострино магнитные и электрические вектора квантонов атрисов колеблются в противофазе, а у трансформируемого электроном пострино колеблются синхронно. Поэтому силовая связь между ними может возникнуть только в том случае, если будет иметься только одно несовпадение направлений векторов атрисов первых квантонов сблизившихся серий (рис. 45, а). Если совпадают или не совпадают направления обоих векторов атрисов квантонов, встречающихся серий свободного и трансформируемого пострино, то силовая связь между ними не возникает (рис. 45, б).

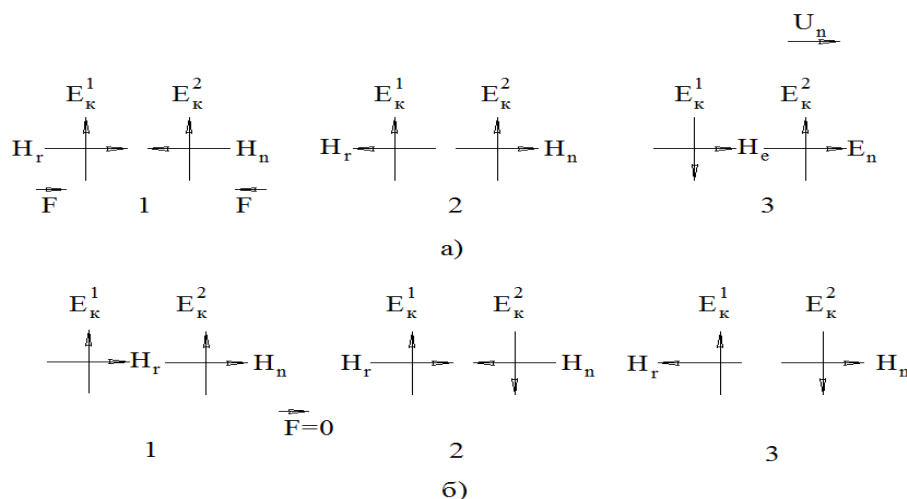


Рис. 45. Взаимное расположение серий частиц H_r и серий поля H_n , а также их векторов квантонов E_k^1 и E_k^2 в момент трансформации электрических серий в магнитные при возникновении силовой связи – а) и при отсутствии силовой связи – б).

7.10. Закономерности колебаний энергии в электроне

1. Электрон состоит из трех частей: физической основы из двух атринов и системы привода – эфана; биртрона – системы управления и памяти электрона; ведуньи – системы мышления электрона. Биртрон и ведунья могут существовать без физической основы как самостоятельные единицы бесконечно долго, а физическая основа без них превращается в эфир.

2. Все виды известных полей синтезирует физическая основа электронов и ядер атомов из атрисиков эфира, а управляет процессом синтеза биртрон.

3. Атрин – это составляющая частичка физической основы всех ядер атомов, электронов, позитронов и нейтрино. Атрин состоит из набора электрических серий, энергия которых равна или больше половины энергии физической основы электрона. Атрины совершают циклические колебания (перемещения) серий по замкнутой траектории около общего полюса. Серии атрина выходят и входят в полюс, создавая крайними сериями угол, равный $12^{\circ}00'$.

4. Биртрон – это самая простая и устойчивая частица, которая может существовать в эфире бесконечно долго, однако, для ее обнаружения еще не существует измерительной системы. Биртрон состоит из четырех вистр, выходящих попарно из одной точки (полюса) в диаметрально

противоположных направлениях, магнитные серии которых расходятся под углом в $12'00''$. В состав вистры входит $1,84 \cdot 10^{33}$ магнитных серий, а каждая серия состоит из такого же количества квантонов. Энергия вистры равна энергии одного кванта действия.

5. Две вистры, векторы атрисов серий которых направлены к полюсу биртрона, а серии одной являются продолжением серий второй, названы дивитрой, две других вистры, векторы атрисов которых направлены от полюса, а серии одной являются продолжением серий второй, названы дивитрисом. Между магнитными сериями дивитры и дивитриса устанавливаются атроусы, ведущие к их стягиванию, а чтобы слияния серий дивитры и дивитриса не произошло, векторы атрисов второго вида квантонов серий создают взаимное отталкивание, удерживая плоскости серий на стационарном расстоянии друг от друга.

6. Дивитра обладает численной памятью в объеме 10^{66} ячеек. В каждую ячейку памяти может быть записано от 1 до 10^{20} единиц памяти, соответствующее частоте света от ультрафиолетового до инфракрасного диапазонов.

7. Биртрон обладает уникальными физическими свойствами:

а) частота пульсаций векторов атрисов квантонов серий биртрона остается величиной постоянной при любых физических воздействиях на него;

б) в отсутствие стороннего силового воздействия на сжатие или растяжение серий плотность квантонов в сериях биртрона остается величиной постоянной и устанавливается такая плотность, которую он имел, когда электрон находился в невозбужденном атоме. Назовем этот закон «Законом сохранения плотности квантонов серий биртрона», а электрон – стандартным. На основе этого свойства (закона) электрон синтезирует из эфира электрические и магнитные построино;

в) биртрон вынуждает векторы атрисов серий атринов электрона пульсировать в соответствии с собственной частотой.

8. Серии биртрона не перемещаются, а их квантоны пульсируют около положений равновесия. В зависимости от фазы перемещений серий атринов электрона изменяется направление действия между сериями дивитры и дивитриса. Когда серии дивитры сжимаются, растягиваются серии дивитриса, и наоборот.

9. Целостность серий вистр в полюсе дивитры и дивитриса обеспечивается за счет пульсаций в противофазе встречных векторов атрисов, контактирующих в полюсе серий, что создает взаимное отталкивание при сжатии и притяжение при растяжении.

10. Серии атринов электрона перемещаются по замкнутым траекториям всегда навстречу друг другу под действием выталкивающей силы эфан. Направление выталкивающей силы эфан в электроне сохраняется постоянным. От полюса и до наружной границы электрона атрины движутся со скоростью света, а весь остальной путь проходят с удвоенной скоростью света.

11. Атрины электронов начинают новый полупериод циклических колебаний серий одновременно, независимо от величины избыточной энергии одного из них. Атрин с меньшей энергией синтезирует из эфира магнитные построино и совершает холостые пульсации векторов атрисов без перемещений до завершения перехода полюса квантонами атрина с большей энергией.

12. Новый полупериод циклических колебаний серий атринов электрона начинается в результате выхода серий атринов на хорды, что сопровождается вступлением в действие закона сохранения плотности квантонов биртрона, и радиусы серий биртрона восстанавливают свою первоначальную величину.

13. Спин электрона создается благодаря резкому сокращению электрических гравитонных серий, синтезированных электрическими векторами первых квантонов вистр дивитриса при удержании ими на хордах электрических серий атринов.

14. Магнитный момент создается в процессе трансформации электрических гравитонных серий в магнитные серии будущего гравитона. На электрон действуют сторонние магнитное и гравитационное поля только во время синтеза гравитонов.

15. Благодаря спину биртрон электрона разворачивается на 180° за полпериода циклических колебаний серий атринов.

16. За полпериода циклических колебаний серий атринов на 180° разворачивается биртрон, а атрины меняются местами. Ориентация атрина электрона в пространстве не изменяется в процессе циклических колебаний серий атринов.

17. Ось серий биртрона всегда направлена вдоль электрического поля.

18. В электрическом поле кинетическую энергию приобретает весь электрон.
19. Движение электронов под действием электрического поля является инерционным.
20. Магнитные пострино синтезируются вторым атрином, который имеет только стандартную энергию.
21. Отдельно взятый электрон не в состоянии создавать электрическое поле. Вне ядра атома электрон в состоянии приобретать только кинетическую энергию и синтезировать только магнитные пострино. Электрическое поле может создавать электрон, расположенный в полюсе ядра атома (средство к электрону).
22. Действие стороннего магнитного поля на движущийся электрон в вакууме не ведет к созданию им электрического поля.
23. Наличие избыточной энергии у атрина электрона не ведет к изменению величины спина, так как спин и масса электрона проявляются в соответствии с законом сохранения плотности квантов биртрона. «Прирост массы» (энергии) в движущемся электроне не возможен, так как увеличивается его только кинетическая энергия.

7.11. Атрисные закономерности электрического поля

1. Элементарные частицы электрического поля – пострино – синтезируются из квантов эфира только электронами средства, а также положительными ионами под действием эпостриса.
2. Пострино состоит из пакета параллельных серий, векторы атрисов квантов которых направлены в одну сторону. Если направление векторов атрисов серий электрических пострино совпадает с направлением движения, то напряженность электрического поля положительная.
3. В состав пострино входит $1,84 \cdot 10^{33}$ серий с равным количеством квантов в каждой.
4. Векторы атрисов смежных серий пострино стягиваются из-за возникновения между ними атросов.
5. Второго вида векторы атрисов смежных серий пострино располагаются так, чтобы не дать возможности смежным сериям объединиться: они располагаются все в одной плоскости, векторы атрисов направлены навстречу друг другу при пульсации в противофазе.
6. Пострино перемещается в пространстве по эфанае Ариадны по методу каналового вытеснения.
7. Электрические пострино в вакууме и газах не взаимодействуют между собой.
8. Электрическая волна, идущая от одного источника, представляет собой последовательную череду групп электрических цугов пострино, перемещающихся в эфире и за счет эфира.

Выводы к разделу

1. Установлены внутренняя структура электрона и механизмы взаимодействий его составляющих.
2. Открыта природа синтеза электроном всех видов полей: гравитационного, электрического, магнитного.
3. Установлена природа создания электроном спина и магнитного момента.
4. Эффект «массы» возникает только в том случае, если происходит резкое уменьшение кинетической энергии электрона или иона. Масса движущегося тела при увеличении кинетической энергии не изменяется.

8. СИНТЕЗ ПОЗИТРОНА И АННИГИЛЯЦИЯ ПОЗИТРОНИЯ

Введение

Согласно современным представлениям позитрон - элементарная частица с единичным положительным электрическим зарядом и массой, совпадающей с массой электрона ($m^+_{e}=(0,510976+0,000007) \text{ МэВ}$). Спин позитрона равен $\hbar/4\pi$. Магнитный момент μ^+_{e} равен по величине и противоположен по знаку магнитному моменту электрона. В вакууме позитрон - стабильная частица. При движении в веществе позитрон участвует в процессах радиационного торможения в поле ядер и атомных электронов, ионизации атомов среды, многократного рассеяния.

Векторная природа атрисов неограниченно расширяет возможности построения из них частиц, свойства которых разительно отличаются друг от друга. До настоящего времени ученые мира называли позитроны антиматерией. Но так ли это? Не очередное ли это заблуждение ученых из-за отсутствия знания элементарной структуры материи, которая становится доступной при разрешении 10^{-100} метра и 10^{-100} секунды? Что же собой в действительности представляет позитрон и позитроний, и как осуществляется их синтез? Атрисная физика свидетельствует, что позитрон синтезируется в момент радиоактивного распада протона и предназначен для уничтожения генераторов электромагнитных полей, которые синтезировались протоном и электроном. Физическими свойствами позитрона предопределена аннигиляция электрон-позитронной пары.

8.1. Радиоактивный распад протона ядра атома

Электрон и спол синтезируются одновременно при радиоактивном распаде нейтрона. Весь процесс протекает в первую четверть периода циклических колебаний атринов нейтрона. Во время синтеза электрона и спола все серии квантонов атринов совершают пульсации без циклических перемещений. Электрон и спол рождаются для осуществления процессов энергообмена в системе протона.

В процессе колебаний серий атринов и силового взаимодействия между атомами идет непрерывный процесс энергоинформационного обмена. При этом, идет рассеивание квантонов ядра атома. При достижении граничного значения количества квантонов в сериях атринов ядра атома начинается перераспределение энергии между атринами протона и остальными нуклонами ядра.

Количество энергии в атринах протона уменьшатся ниже предельного значения, дальше протон не может находиться в ядре атома. Через полюс ядра атома энергия атринов протона распределяется между всеми остальными нуклонами ядра. У протона остаются яритис и лада и атрины спола.

При радиоактивном распаде протона исчезает надобность в споле и электроне, и они должны быть уничтожены. Радиоактивный распад протона многонуклонного атома происходит в трех случаях:

1. Энергия всех атринов пульсэда протона передана атринам других нуклонов.
2. Пульсэду протона возвращена вся энергия, которая была израсходована при его радиоактивном распаде, и он превратился в нейтрон.
3. Синтез α -частицы сопровождается трансформацией протона в нейтрон.

Накануне радиоактивного распада яритис и лада полностью освобождаются от атринов пульсэда. У яритиса и лады остаются спол и эпострис, который расположен на вистре секры спола пульсэда (на вистре лады).

Эпострис продолжает синтезировать эфану Ариадны, главное и производное пострино, которое производит аннигиляцию, пройдя полный цикл по эфане Ариадны. Для ядра атома яритис и лада оказываются лишними и ненужными. По завершению очередного полупериода циклических колебаний атринов ядра атома вистра лады устанавливает силовую связь с центром главного пострино и резко сокращается. Система яритиса, лады и спола вырывается из ядра атома. Вистра лады мгновенно теряет силовую связь с центром главного пострино, которое упирается в полюс ядра атома. Система яритиса произвольно движется в пространстве (рис. 46).

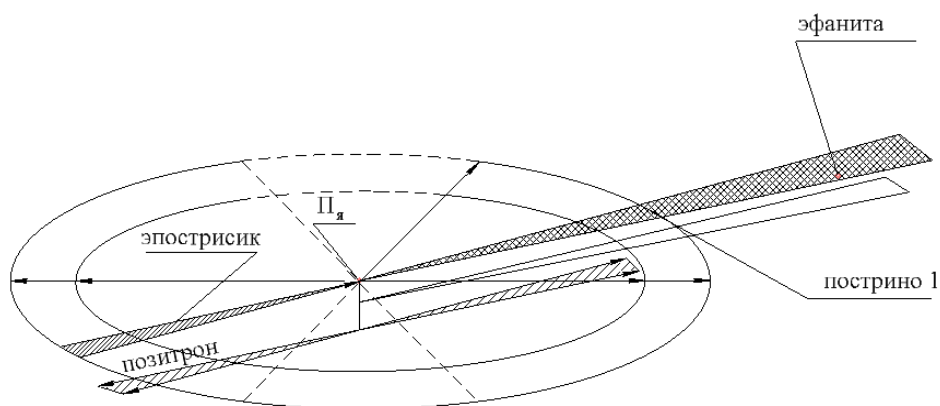


Рис. 46. Яритис и спол в момент выброса из ядра атома распавшегося протона.

У эфан атринов спол появилась возможность проникнуть за пределы яритиса, и они начинают вталкивать атрины спол к полюсу яритрона. Атрины спол в момент столкновения в полюсе яритиса изменяют направление действия эфан на диаметрально противоположное. Теперь эфаны стремятся вытолкнуть серии атринов за пределы яритиса.

Серии кордиса не успевают установить силовую связь с атринами спол и пропускают серии спол вместе с яритроном за пределы полюса ядра атома. Серии вистр кордиса принимают на себя атрины, поступающие из спол.

Вистры кордиса улавливают первые квантоны атринов, разворачивают на 90 градусов, создают голограмму, которая материализуется и превращается в электрические серии.

Начинается процесс синтеза гравитонов. С этого момента можно считать, что произошел синтез позитрона, который создает гравитоны в каждую четверть полупериода циклических колебаний.

Эпострис, оставшийся на вистре лады, синтезирует *эфаниту*, которая разыскивает в пространстве электрон и устанавливает с полюсом электрона информационную связь. Эпострис синтезирует только одно главное пострино, производное пострино он уже синтезировать не может, так как нет атрина спол.

Теперь главное пострино транспортирует электрон тока к полюсу яритиса.

8.2. Синтез и аннигиляция позитрония

Под действием главных пострино электрон приобретает кинетическую энергию, сама же энергия атринов не изменяется. При столкновении первого атрина электрона с полюсом яритиса происходит увеличение количества векторов адрат в первой вистре биртрона электрона. На свободных вистрах биртрона мгновенно синтезируются из эфира квантоны. Как только завершилось синтезирование, вистра биртрона приобретает первоначальный размер, сжимается и втягивает электрон в полюс яритиса, оставив за пределами полюса синтезируемые серии квантонов.

Вторая вистра биртрона электрона подхватывает серии и синтезирует фотон, который излучает в направлении, откуда пришел к яритису электрон тока. Синтезировалась новая частица, которая получила в физике название *позитрон* (рис. 47-48).

8.3. Аннигиляция электрон-позитронной пары

Атрины электрона и позитрона отличаются только тем, что у атрина позитрона несколько больше величина энергии, кроме того, у электрон-позитронной пары отсутствует регулятор, согласующий процессы циклических колебаний атринов. Поэтому, во время циклических колебаний в точке полюса яритиса одновременное совпадение полюсов атринов электрона и позитрона случаются очень редко. Серии атринов электрона и позитрона могут совершить сотни тысяч раз колебаний.

Время жизни *парапозитрония* равно $\tau_n = 1,25 \cdot 10^{-10}$ с. За это время свершится около 10^{10} полных циклических колебаний атринов парапозитрония, что приводит к его аннигиляции.

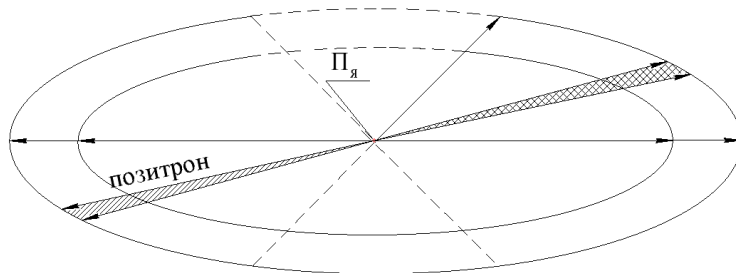


Рис. 47. Синтез позитрона в результате вталкивания атринов сполна в систему яритиса вне ядра атома.

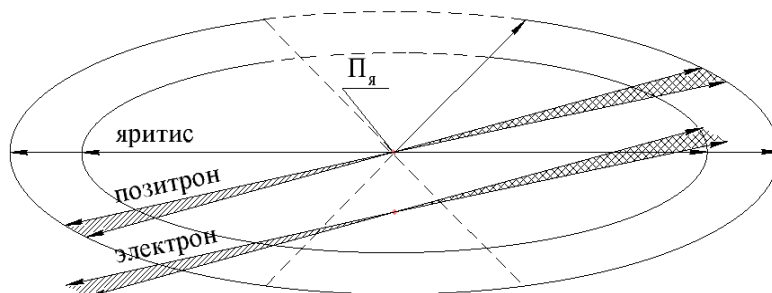


Рис. 48. Захват позитроном электрона.

Время жизни *ортопозитрония* очень велико - $\tau_o' = 1,43 \cdot 10^{-7}$ с. У парапозитрония спин равен 1. Это значит, что вращение биртронов яритиса позитрона и электрона происходит в одном направлении и создает спин, равный 1. У ортопозитрония вращение происходит навстречу друг другу.

Электрон и позитрон, хотя и соединились в одну частицу, но они не предусмотрены природой для взаимного существования, поэтому они должны аннигилировать. Аннигиляция электрон - позитронной пары может произойти тогда, когда:

- магнитные вектора электрических серий электрона и позитрона будут направлены в одну и ту же сторону;
- в полюсе яритиса серии электрона и позитрона будут пытаться одновременно начать новый полупериод циклических колебаний.

При выполнении этих условия электрические вектора квантонов электрона устанавливают силовую связь в полюсе с электрическими векторами квантонов позитрона. В это мгновение эфаны электрона серий атринов изменяют направление выталкивания на обратное, и серии электрона начинают пересекать полюс яритиса, увеличивая энергию серий позитрона. При завершении пересечения полюса сериями электрона произошло сокращение серий бывшего позитрона в два раза.

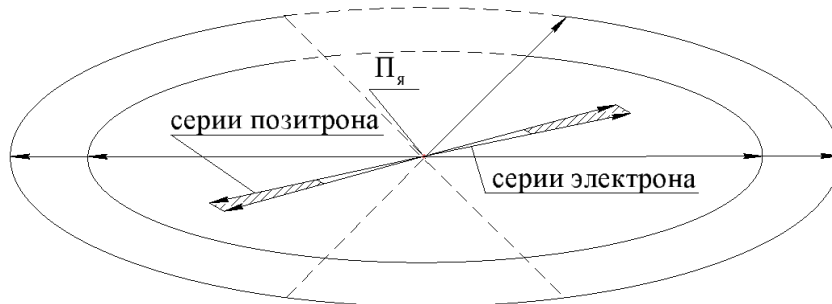


Рис. 49. Аннигиляция позитрония.

Вистры кордуса позитрона также сократили свои серии. Обычно в полюсах всех частиц магнитные серии вистр колеблются в противофазе, создавая взаимную силовую связь.

После сокращения серий электрона - позитрона вистры кордуса начинают колебания синхронно. Силовая связь между вистрами в полюсе бывшего кордуса исчезает. Теперь объединенные серии не удерживаются сериями бывших вистр кордуса в пределах яритиса и получают самостоятельность. Вистры кордуса превращаются в витры и создают гамма - кванты, которые получают возможность перемещаться в пространстве со скоростью света. Произошел радиоактивный распад электрон - позитронной пары, то есть, аннигиляция.

При вращении позитрона и электрона в одном направлении, совпадение направлений их серий атринов происходит за меньшее количество полупериодов пульсаций.

Выводы к разделу

Установлены законы радиоактивного распада реперного протона и синтеза позитрона.

1. Открыта структура позитрона, которая создается для ликвидации электрона и собственно себя, так как прекратил существование протон.

2. Структура парапозитрония и ортопозитрония отличаются тем, что у электрических серий атринов вектора магнитных атрисов направлены навстречу друг другу – ортопозитроний.

3. Энергия ионизации обеспечивает позитрону стабильный угол поворота в 180^0 за каждый полупериод колебаний атринов.

4. Вследствие взаимного торможения, возникающего при вращении биртрона и яритиса, угол поворота у биртрона несколько меньше 180^0 , а у яритиса стабильно 180^0 за полупериод циклических колебаний атринов.

9. АТРИСНАЯ ФИЗИКА ФОТОНА. ПРИРОДА ИЗЛУЧЕНИЯ ФОТОНА

Введение

Согласно современным физическим представлениям, фотон – квант поля электромагнитного излучения; элементарная частица, участвующая лишь в электромагнитных взаимодействиях (и не участвующая в слабых и сильных). Фотоны часто называют световыми квантами, или γ -квантами (в зависимости от их энергии).

Фотон обладает нулевой массой и скоростью, равной скорости света $C=(299792,5+0,4) \cdot 10^8$ м/с. Энергия фотона равна:

$$E = h \nu,$$

где h – постоянная Планка, ν – частота колебания электромагнитной энергии.

Фотон не имеет ни электрического заряда, ни магнитного момента. Как всякая квантовая частица он может находиться, например, в состоянии с определенным значением количества движения P и неопределенным значением углового момента (момента количества движения).

Значение скорости света как физической константы связано с ее инвариантностью при изменении системы отсчета. Принято считать, что скорость света в вакууме – предельная скорость распространения любых физических воздействий (что является ошибочным – автор).

Установлено, что фотон движется в вакууме прямолинейно, а его электрический и магнитный векторы колеблются во взаимно перпендикулярных плоскостях. Фотон проявляет в разных условиях то корпускулярные, то волновые свойства. Физики всего мира до сих пор не имеют единого мнения по вопросу, какова именно «квантовая реальность», что лежит в основе нашего мира. До настоящего времени фотон остается черным ящиком, для математического описания физических свойств которого сочинено достаточно большое количество ложных гипотез, уже признанных фундаментальной наукой: туннелирование, эффект Хартмана, окна прозрачности, безотражательное туннелирование, скачок фазы, волны и др. А вот структура фотона, природа его движения, процесс синтеза фотона для ученых остаются тайной.

9.1. Сведения о фотоне из Интернета

Фотон (от др.-греч. φῶς, род. пад. φωτός, «свет») – элементарная частица, квант электромагнитного излучения (в узком смысле – света). Это безмассовая частица, способная существовать, только двигаясь со скоростью света. Электрический заряд фотона также равен нулю. Фотон может находиться только в двух спиновых состояниях с проекцией спина на направление движения (спиральностью) ± 1 . Этому свойству в классической электродинамике соответствует круговая правая и левая поляризация электромагнитной волны. Фотону как квантовой частице свойственен корпускулярно-волновой дуализм. Он проявляет одновременно свойства частицы и волны. Фотоны обозначаются буквой γ , поэтому их часто называют гамма-квантами (особенно фотоны высоких энергий), эти термины практически синонимичны. С точки зрения Стандартной модели, фотон является калибровочным бозоном. Виртуальные фотоны являются переносчиками электромагнитного взаимодействия, таким образом обеспечивая взаимодействие, например, между двумя электрическими зарядами. Фотон – самая распространённая по численности частица во Вселенной. На один нуклон приходится не менее 20 миллиардов фотонов.

9.2. Атрисная структура фотона

Фотон имеет длину волны, которую рассчитывают по формуле:

$$\lambda = hc/E, W = E, \quad (55)$$

где W – энергия фотона, C – скорость света.

Согласно Атрисной физики, серии фотона первую половину периода должны иметь электрические свойства, а вторую – магнитные. Изменение вида векторов атрисов квантонов серий возможно, если серии будут сходиться в одной точке, напряженность поля в которой будет такой большой, что выйти из нее они смогут только тогда, когда серии сменят вид векторов атрисов квантонов на противоположные. Так как все серии фотона выходят из одной точки – полюса, и через половину периода должны вновь собраться в одной точке (новом полюсе), то, следовательно,

через четверть периода после начала своего движения они должны изменить направление и устремится к новому полюсу.

Для фотона размер серий должен быть равен четверти длины его волны. Этот факт установлен в результате анализа взаимодействий фотонов с материей и движения серий в ядрах атомов. Фотоны, излучаемые возбужденными атомами и ионами, движутся в направлении векторов атрисов серий, а излучаемые электронами при их торможении в магнитном поле - в противоположную сторону векторов серий (синхротронное излучение).

Фотон - частица (корпускула), в состав которой входит две устойчивые (физическая основа фотона и витра) и две регулярно распадающиеся (эфана и витрис) частички. У фотона серии квантонов одного вида располагаются в одной плоскости и выходят из полюса, расходясь под углом 60° к направлению движения. Через четверть периода серии фотона изменяют направление движения и устремляются к новому полюсу, который расположен на оси симметрии фотона.

В полюсе фотона происходит трансформация вида атрисов серий, и они переходят в плоскость, расположенную перпендикулярно к первой. Все составляющие частички (витра, витрис, эфана) располагаются параллельно сериям квантонов фотона (совмещены с сериями фотона).

Управляет движением фотона витра, которая имеет в составе своих серий количество квантонов, равное атрисному нормированию. *Витра* - устойчивая составляющая фотона, которая управляет его движением и несет информацию о фотоне. Витра вынуждает серии фотона повторять ее движение. При необходимости витра создает из квантонов эфира временную частицу - *витрис*, который перемещает витру так же, как и эфана перемещает серии фотона.

9.3. Трансформация магнитных серий витры в электрические серии

Если бы мы смогли сфотографировать фотон перед началом нового периода циклических колебаний серий, то увидели бы следующую картину: в плоскости ХУ расположены серии фотона электрические $E_\phi^1 - E_\phi^n$ в количестве ($n=1,84 \cdot 10^{33}$), которые сходятся в полюсе P_ϕ (рис. 50, а).

Параллельно сериям фотона расположены серии эфаны $E_\varepsilon^1 - E_\varepsilon^n$. Магнитные вектора атрисов эфаны F_ε стремятся протолкнуть серии фотона через полюс P_ϕ . Длина серий фотона равна четверти длины его волны - $\lambda/4$.

Сходящиеся в полюсе P_ϕ серии фотона $E_\phi^1 - E_\phi^n$ и витры $H_V^1 - H_V^n$ создают большую напряженность поля, что не дает возможности эфане проталкивать серии фотона через полюс P_ϕ . Серии $E_\phi^1 - E_\phi^n$ совершают холостые пульсации векторов атрисов квантонов под давлением $F_\varepsilon^1 - F_\varepsilon^n$ серий эфаны $E_\varepsilon^1 - E_\varepsilon^n$ (рис. 49, а).

Витра индуцирует атрисиковую голограмму, которая материализуясь в эфире, превращается в серии витриса $H_W^1 - H_W^n$, стремящиеся протолкнуть серии витры $H_V^1 - H_V^n$ через полюс P_ϕ (рис. 50, б).

Сжатие серий витры витрисом приводит к установлению колебаний электрического вектора атрисов первого квантона витры относительно второго в противофазе, что приводит к исчезновению силовой связи между ними. Вторые квантоны серий витры «подныривают» под первые и устанавливают силовую связь между электрическими векторами атрисов E_V^1 и E_V^3 (рис. 50, в). Для наглядности демонстрации происходящего, рассмотрим только одну первую серию витры H_V , витриса H_W , фотона E_ϕ и эфаны E_ε (рис. 50, в), развернув плоскость Z Y около оси X на 90° .

Накануне «подныривания» вектора H_V^2 под вектор H_V^1 , атрисики пульсируют в противофазе. Силовая связь между ними исчезает и вектор H_V^2 свободно подныривает под вектор атрисов H_V^1 . Как только H_V^2 достигает полюса P_ϕ , изменяется фаза пульсации атрисиков первого квантона на 180° и пульсации у них синхронизируются. Вектора атрисов второго вида E_V^1 и E_V^2 витры создают собственную серию. Электрическая серия витры E_V^1 и E_V^2 располагаются перпендикулярно относительно плоскости магнитных серий H_V витры, а вектора атрисов второго вида H_V^1 и H_V^2 -

перпендикулярно электрическим сериям E_V^1 и E_V^2 витры. Для удержания трансформируемых серий витры в пределах серий фотона, силовую связь устанавливают магнитные вектора H_Φ^1 первых квантов фотона с магнитными векторами последних квантов H_V^1 , трансформируемых серий витры E_V^1 (рис. 50, в).

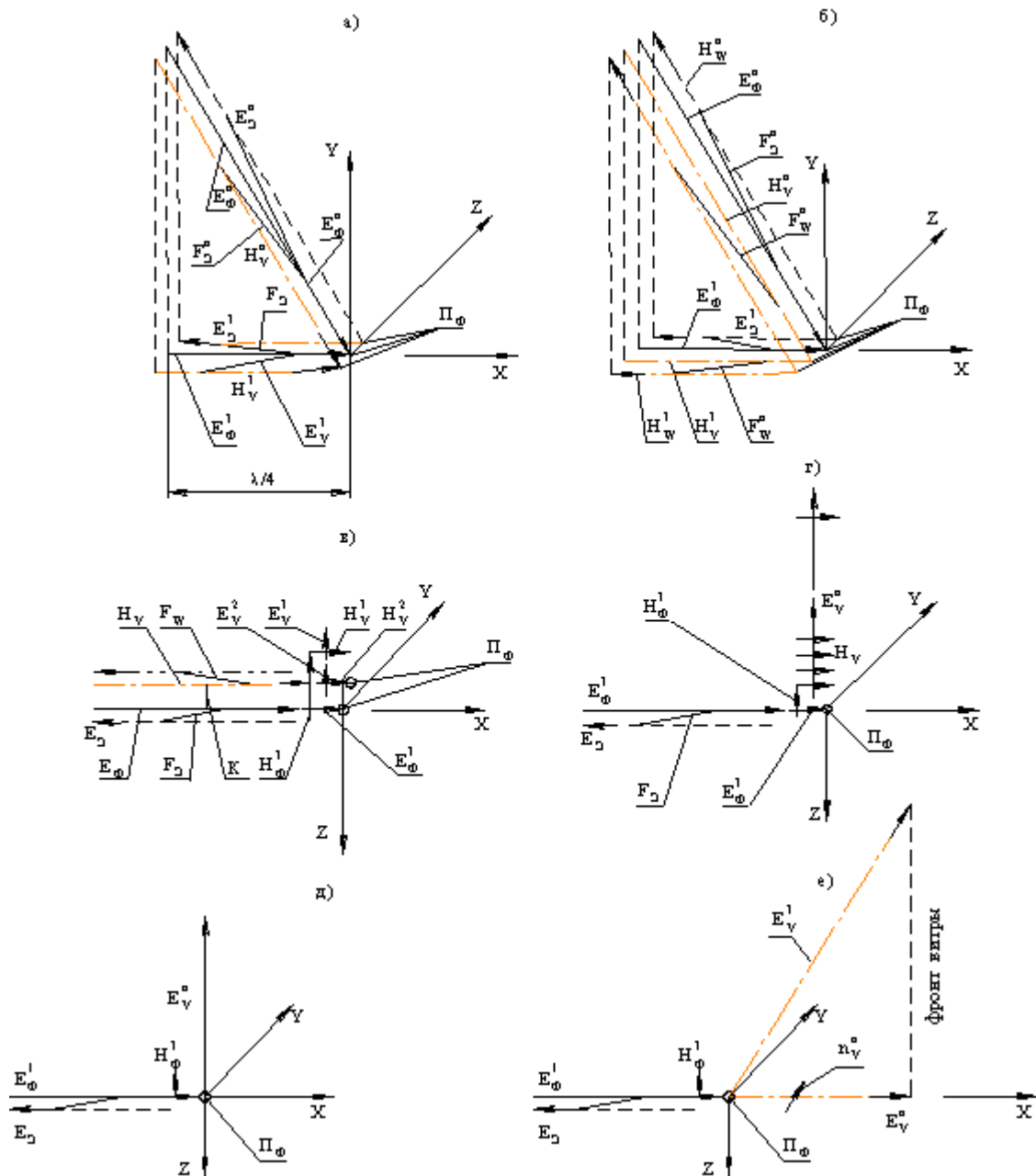


Рис. 50. Фазы трансформации электрической витры в магнитную в начале нового полупериода колебаний серий фотона.

Трансформируемые вектора атрисов серий E_V^1 располагаются перпендикулярно относительно плоскости электрических векторов серий фотона, так как при этом взаимное влияние их атрисиковых голограмм сводится к нулю.

При каждом новом периоде пульсации векторов атрисов серий витры один квант магнитной серии трансформируется в электрический. По мере уменьшения магнитной серии укорачивается серия витриса и при полном переходе магнитной серии в электрическую магнитный витрис исчезает. Теперь электрическая серия витры E_V (рис. 50, г) имеет силовую связь с серией фотона E_Φ только при помощи векторов H_Φ первых квантов, которые располагаются под углом 90° к плоскости серии фотон E_Φ (рис. 50, г). Все магнитные серии $H_V^1 - H_V^n$ витры (рис. 50, б) трансформируются в электрические E_V (рис. 50, г) одновременно. Освободившиеся концы

последних квантонов электрических серий витры устанавливают силовую связь с первыми квантонами электрических серий фотона (рис. 50, д).

Амплитуды пульсаций электрических квантонов серии витры сохраняется постоянной, а размер серии равен радиусу серий (рис. 50, е) фотона. Последняя серия E_{Φ}^n витры под действием электрической серии фотона E_{Φ}^1 разворачивается на 90^0 и располагается вдоль первой серии фотона. За собой серия E_{ν}^n увлекает все остальные серии, которые создают фронт витры, расположенный перпендикулярно серии E_{ν}^n (рис. 50, е). При этом плотность квантонов в трансформированных сериях витры устанавливается такой же, как у электрических серий фотона $E_{\Phi}^1 - E_{\Phi}^n$ (рис. 50, г).

Следовательно, у полюса фотона Π_{Φ} , перпендикулярно плоскости фотона выходит n электрических серий $E_{\nu}^1 - E_{\nu}^n$ витры с разной плотностью и амплитудой пульсации векторов атрисов ее серий. Самая большая плотность и самая малая амплитуда колебаний векторов атрисов у серий E_{ν}^n витры, а у серий E_{ν}^1 плотность квантонов будет в два раза меньшая при амплитуде колебаний векторов атрисов в два раза большей.

Трансформируемые серии витры представляют собой прямоугольники, опирающиеся на плоскость серии фотона. Одна параллельная сторона трапеции больше второй в два раза.

Между электрическими векторами атрисов последних квантонов электрических серий витры и электрическими векторами первых квантонов электрических серий $E_{\Phi}^1 - E_{\Phi}^n$ фотона устанавливается силовая связь таким образом, чтобы их суммарные амплитуды пульсаций были одинаковыми. Это возможно только в том случае, если электрический вектор последнего квантона серий E_{ν}^n вступит в силовую связь с электрическим вектором первого квантона серии E_{Φ}^1 (рис. 50, е).

Надо отметить, что магнитные вектора $H_{\nu}^1 - H_{\nu}^n$ электрических серий витры $E_{\nu}^1 - E_{\nu}^n$ и фотона E_{Φ}^1 располагаются во взаимноперпендикулярных плоскостях (вектор атрисов H_{ν}^n параллелен оси Y, а вектор атрисов H_{Φ}^1 оси Z) (рис. 50, е). В этом случае между ними силовая связь не устанавливается, а только с другими сериями фотона.

9.4. Трансформация электрических серий фотона в магнитные серии

Процессу трансформации электрических серий фотона в магнитные серии предшествует трансформация магнитных серий витры в электрические, а также продуцирование из эфира магнитной витрой *витриса*. Перемещение витрисом серий витры происходит за промежуток времени, равный прохождению через полюс ядра атома энергии, равной 1 кванту энергии (10^{-41} с). При пересечении всех серий фотона, для его полюса наступает новый этап перемещения серий. Процесс движения останавливается. Все вектора атрисов квантонов фотона совершают холостые колебания. Витра вновь синтезирует новый витрис, который устанавливает силовую связь с полюсом фотона, и выталкивает серии витры за пределы фотона. Вследствие того, что витрис сохраняет силовую связь с полюсом фотона, амплитуда выталкивания серий витры увеличивается в 2 раза. Следовательно, все серии витры выйдут за пределы фотона за время $0,5 \cdot 10^{-41}$ с. Скорость перемещение витры в полюс и за пределы полюса разная. Скорость движения витры очень велика и для разных фотонов будет разной.

Захват энергии фотона ядром атома происходит в полюсе ядра. Валентный электрон в полюсе ядра атома устанавливает с сериями фотона энерго-информационную связь. Производная вистра биртрона электрона устанавливает величину энергии этих серий фотона и направляет, в зависимости от их величины, на одну из вистр секры пульседа или вистру филбайтинга. Серии фотона располагаются так, что их вектора квантонов направлены к периферии ядра атома.

Излучение фотона может произойти только в том случае, если электрон извлечет серии фотона из запасника. Для этого электрон, сканирующий поверхность пульседа, занимает позицию таким образом, чтобы его серии биртрона точно совпали с сериями вистры филбайтинга или вистры секры пульседа.

Полное время, необходимое для совпадения серий биртрона с сериями производной секры пульседа или производной вистры филбайтинга, назвали временем жизни фотона в возбужденном состоянии – 10^{-7} с. За это время электрон, сканируя поверхность пульседа, совершит 10^{13} циклических колебаний. При совпадении производная вистра биртрона в полюсе ядра атома устанавливает энерго-информационную силовую связь с последним рядом квантонов фотона, и вынуждает эфану фотона выталкивать серии в область производной вистры биртрона. При завершении выхода всех серий фотона, они располагаются вдоль производной вистры биртрона.

У полюса валентного электрона располагаются вектора квантонов будущего фотона. Серии фотона устанавливают амплитуды пульсаций в соответствии с амплитудами пульсаций наружных атринов пульседа. Фотон сокращает свои серии. Так как промежуток времени между пересечением полюса ядра наружными атринами пульседа и внутренними атринами велико, то валентный электрон успевает перевести все вектора квантона через полюс. Начинается новый полупериод циклических колебаний системы ядра. Фотон вместе с биртроном разворачивается на 90° , и процесс вращения завершается на мгновение раньше, чем завершают пересечение полюса ядра наружные атрины пульседа. Производная вистра биртрона электрона вынуждает сжатые серии фотона увеличить амплитуды пульсаций и расположится вдоль серий производной вистры биртрона. Серии фотона при выходе из ядра атома были направлены в противоположную сторону необходимого движения, а после манипуляции в полюсе электрона, фотон получил направление необходимого движения. После этого производная вистра биртрона электрона устанавливает количество векторов адрат своих серий в соответствии с величиной фотонов. Серии фотона отделили производную вистру и отдали ее сериям фотона. Производная вистра превратилась в *витру*.

Фотон мгновенно увеличил амплитуды пульсаций в соответствии с количеством векторов адрат в витре. Произошло мгновенное расширение серии фотона. Коренная вистра биртрона электрона мгновенно синтезировала новую производную вистру биртрона. Расширившимся сериям фотона нет дальнейшего направления движения. Для выхода из этого положения, витра из эфира мгновенно синтезирует *витрис*, который устанавливает силовую связь в полюсе ядра атома. Витрис начинает выталкивать витру за пределы серии фотона ($0,5 \cdot 10^{-41}$ с). При выталкивании всех серий витры за пределы серий фотона, витра устанавливает новый полюс. Теперь витра может принимать серии фотона и направлять их вдоль собственных серий. При синтезе нового полюса витрой, в полюсе электрона теряется силовая связь с витрисом, и витрис аннигилирует. Фотон получает независимость от ядра атома – приобретает самостоятельность.

Представим в пространстве все серии витры после трансформации (рис. 51).

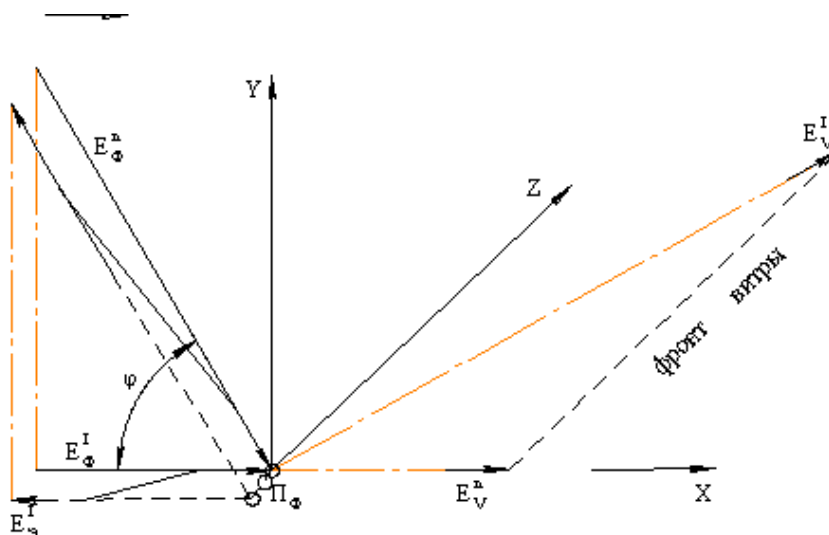


Рис. 51. Взаимное расположение плоскостей серий фотона и витры накануне нового полупериода колебаний серий.

Плоскость витры располагается перпендикулярно относительно плоскости серий фотона. Продолжением первой серии фотона H_{ϕ}^I стала последняя серия витры E_V^N , единственная, которая сохраняет направление движения фотона.

Теперь витра $E_v^1 - E_v^n$ готова «помогать» трансформировать электрические серии фотона в магнитные. Для обеспечения наглядности процессов перемещения фотона развернем плоскости фотона и витры на 90° около оси X так, чтобы ось Z была направлена вверх (рис. 52, а). Эфаны $E_\Phi^1 - E_\Phi^n$ будут выталкивать серии фотона $E_\Phi^1 - E_\Phi^n$ за пределы полюса Π_Φ , и их вторые квантоны будут изменять фазу пульсаций и подныривать под первые квантоны. Первые квантоны не могут перемещаться вперед из-за большой напряженности электрического поля, созданного в полюсе фотона, и их электрическим векторам атрисов приходится менять фазу колебаний.

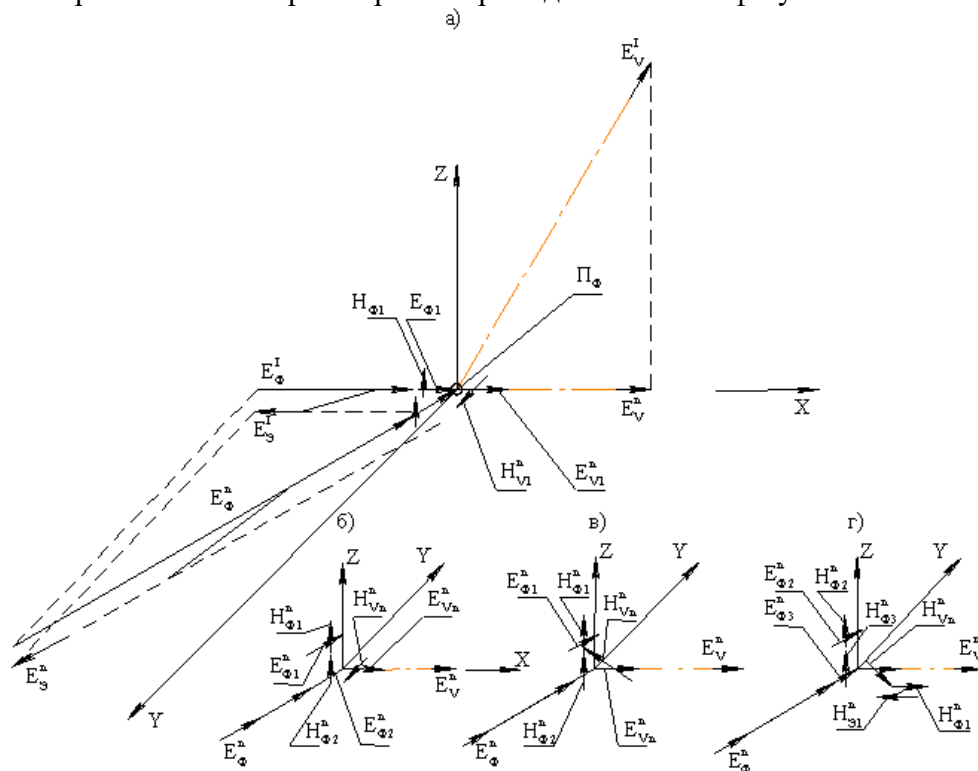


Рис. 52. Фазы трансформации электрических серий фотона в магнитные серии.

Силовая связь между первыми и вторыми электрическими векторами атрисов серий фотона исчезает, и вторые квантоны «подныривают» под первые. Как только это происходит, устанавливается силовая связь между магнитными векторами атрисов первого и второго квантонов серий фотона. Далее в работу вступают магнитные вектора атрисов последних квантонов электрических серий витры. При «подныривании» вторых квантонов серий фотона под первые электрические вектора последних квантонов витры устанавливают с ними силовую связь, а магнитные вектора последних квантонов витры мгновенно устанавливают связь с магнитными векторами первых трансформированных квантонов фотона.

Для демонстрации этих процессов покажем только одну серию фотона E_Φ^n и витры E_v^n при трансформации электрических серий фотона в магнитные. Вторым квантом электрической серии E_Φ^2 «подныривает» под первый E_Φ^1 (рис. 52, б). Мгновенно магнитный вектор $H_{v_n}^n$ последнего квантона электрической серии витры устанавливает прямую силовую связь с магнитным вектором $H_{\Phi_1}^n$ трансформированного квантона серии фотона, а электрический вектор $H_{v_n}^n$ последнего квантона серии витры - с электрическим вектором второго квантона $E_{\Phi_2}^n$ серий фотона (рис. 52, в). Вектор $H_{v_n}^n$ вместе с первым квантоном фотона разворачивается и располагает квантон фотона параллельно своей серии. Квантоны фотона создают атрисиковую голограмму, что приводит к синтезу серий эфан $H_{\Phi_1}^n$ (рис. 52, г). За каждый период пульсации векторов атрисов квантонов серий фотона происходит трансформация одного ряда квантонов серий фотона из электрических в магнитные серии. Процесс идет до тех пор, пока все электрические серии фотона не трансформируются в магнитные серии (рис. 52, а). Дальнейшее перемещение квантонов фотона в пространстве прекращается.

9.5. Особенности и механизм излучения фотона

Энергия ионизации – это энергия, расходуемая внутренними атринами пульсэда протона для восстановления величины спина, который уменьшился после рекомбинации в результате торможения пульсэда, сканирующего его поверхность электроном. Электрон, сканируя поверхность, снижает вращающий момент пульсэда протона, и за полпериода циклических колебаний вистра яритиса поворачивается на угол меньше $12^{\circ}00''$. За счет сброса энергии ионизации сохраняется постоянной величина спина протона. В ядре атома при рекомбинации снижается также вращающий момент электрона, что приводит к уменьшению угла поворота биртрона и он становится меньше 180° , так как у электрона предусмотрено шаговое сканирование поверхности пульсэда протона.

За полпериода циклических колебаний атринов биртрона электрон должен повернуться на угол:

$$\Psi = 180^{\circ} - n \cdot 12^{\circ}00'' ,$$

где $n=1;3;5$ - нечетные числа. Чем больше энергия ионизации, тем больше n .

Всегда имеется частичное смещение серий вистр биртрона относительно серий вистр дивистры, что необходимо при излучении спектров атомами.

Каждый новый полупериод циклических колебаний все атрины атома начинают одновременно, независимо от величины их собственной энергии. Атрины атомов, завершившие полупериод циклических колебаний, совершают холостые пульсации векторов атрисов квантонов без перемещений серий, пока остальные квантоны атринов продолжают пересекать полюс атома.

Электрон атома сканирует поверхность наружных вистр яритиса до момента совпадения одной из вистр секры пульсэда или спана, на которой расположена избыточная энергия. За время завершения полупериода циклических колебаний внутренних атринов электрон должен успеть снять эту энергию. Как правило, вектора квантонов избыточной энергии направлены к периферии ядра атома. Следовательно, поступающие серии из вистры секры направлены вдоль серий производной вистры в том же направлении, что и у атринов электрона. В полюсе электрона будет находиться вектор квантонов избыточной энергии. Следующий полупериод циклических колебаний атринов электрона избыточная энергия пересекает полюс электрона, и вектор квантонов располагается навстречу сериям атринов электрона. Производная вистра биртрона электрона принимает серии избыточной энергии и теряет силовую связь с коренной вистрой биртрона. Синтезируется новая частица – *витра*.

Витра устанавливает количество векторов адрут, равное количеству квантов действия в сериях фотона и серии фотона мгновенно (время $\sim 10^{-70}$ с) расширяются до величины $(\lambda_{\phi}/4)$ одной четверти длины волны фотона (рис. 53). Серии фотона сохраняют силовую связь с полюсом электрона, и далее без сторонней помощи фотон перемещаться не может, ему на помощь приходит витра.

9.6. Скорость витры при трансформации

Фотоном управляет одна витра. При необходимости она синтезирует из эфира систему привода, которая превращается в эфир после выполнения своей функции. Так как витра самостоятельно управляет движением фотона, то ей нет необходимости изменять амплитуду пульсаций собственных векторов атрисов квантонов. Поэтому, скорость витры при трансформации ее серий из магнитных в электрические, а из электрических в магнитные не изменяется.

Витра трансформируется за время прохождения энергии одного кванта действия через полюс фотона. Это время будет равно:

$$t_{\text{мп}} = \frac{T_{\phi}}{4[v_{\phi}]}, \quad (56)$$

где T_{ϕ} и v_{ϕ} – период и частота циклических колебаний серий фотона.

Коэффициент «4» обусловлен тем, что количество квантонов действия $[v_{\phi}]$ на длине волны фотона в четыре раза больше, чем содержится в его сериях.

Скорость трансформации витры рассчитаем по формуле:

$$g_{\text{тр}} = \frac{\lambda_{\phi}}{4t_{\text{тр}}} . \quad (57)$$

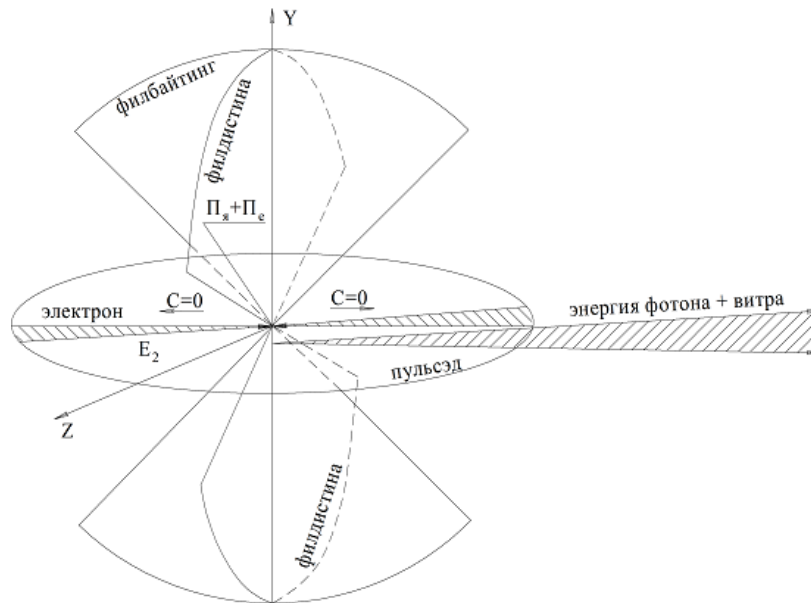


Рис. 53. Энергия фотона, получив систему управления – витру (серии витры расположены параллельно и вдоль серий фотона), устанавливает количество векторов адрат, равное количеству квантов действия, увеличивается размер серий фотона, и фронт фотона располагается перпендикулярно к направлению движения.

Так как $T_{\phi} = \frac{\lambda_{\phi}}{C}$, а $v_{\phi} = \frac{C}{\lambda_{\phi}}$, где C – скорость света, то из (56) и (57) получим:

$$g_{\text{тр}} = C \left[\frac{C}{\lambda_{\phi}} \right]. \quad (58)$$

Если длины волн света изменяются в пределах $\lambda_{\phi} = 3 \cdot 10^{-7} - 2 \cdot 10^{-6}$ м, то скорость трансформации витры будет изменяться в пределах $g_{\text{тр}} = 3 \cdot 10^{23} \div 4,5 \cdot 10^{22}$ м/с, что на 14 порядков больше скорости света.

При рассмотрении механизмов процесса вращения плоскостей поляризации света в магнитных и электрических полях можно принимать, что эти поля покоятся, пока идет процесс трансформации витры фотона.

Выводы к разделу

1. Атрисная физика установила, что возбужденный атом не излучает фотон, если до стенки резонатора от полюса ядра расстояние не будет превышать половины длины волны фотона. Время жизни атома в возбужденном состоянии определяется промежутком от поглощения энергии до излучения фотона.

2. Избыточная энергия движется к полюсу ядра атома, где ее принимают вистры биртрона валентного электрона и направляют к соответствующей величине энергии вистре филбайтинга или секре вистры пульседа.

3. Валентный электрон может снять избыточную энергию в виде фотона из вистры филбайтинга или секры вистры пульседа только в те полупериоды циклических колебаний атринов, когда положение его биртрона на поверхности пульседа соответствует положению вистры филбайтинга или секры вистры пульседа накануне радиоактивного распада нейтрона. Так как биртрон электрона за полупериод циклических колебаний поворачивается на угол несколько меньший, чем 180° , то совпадение положений наступает через $10^{10} \div 10^{13}$ периодов.

4. Серии витры, совместно с сериями фотонов, обретают амплитуды пульсаций векторов квантонов серий в соответствии с энергией фотона. Серии витры и фотона выходят за пределы ядра, сохраняя в полюсе электрона полюс фотона.

5. Перемещение фотона может происходить только под управлением витры, которая синтезирует себе витрис, выдвигающий витру за пределы серий фотона.

6. Витрис сохраняет свой полюс в полюсе электрона, пока витра не выйдет за пределы серий фотона и не синтезирует первый полюс фотона, после чего витрис аннигилирует в эфире и фотон получает самостоятельность, утратив связь с системой атома.

7. Вынесенные серии витры совместно с сериями фотона простираются на расстояние, равное половине длины волны фотона. Если на пути выдвижения витры возникает препятствие в виде стенки, то расилшубы разрушают витру до момента синтеза первого полюса фотона. Витрис не теряет силовую связь с полюсом электрона, и серии фотона сокращаются. Вистры биртрона электрона направляют энергию фотона на секре вистры пульседа ядра атома.

10. АТРИСНАЯ ФИЗИКА ГЕОМЕТРИЧЕСКОЙ ОПТИКИ

10.1. Основные законы оптики

По теории Ньютона свет – это поток мельчайших световых частиц, корпускул, испускаемых светящимся телом и летящих прямолинейно с огромными скоростями. Движение корпускул описывалось законами классической механики.

Гюйгенс в своем «Трактате о свете» выдвинул совершенно иное утверждение, что свет – это упругие волны, распространяющиеся в особой среде – эфире. Борьба сторонников этих двух теорий длилась более ста лет. Движение корпускул описывалось законами классической механики.

В середине XIX в. английский физик Д.К. Максвелл обосновывает электромагнитную природу световых волн, которые в общей шкале электромагнитных волн занимают интервал длин от ~ 380 до 770 нм, что в конце XIX в. экспериментально подтверждается опытами Герца. Однако ряд явлений, открытых к тому времени – фотоэффект, тепловое излучение и др. волновая теория света объяснить не смогла.

В начале XX века в работах М.Планка и А.Эйнштейна были заложены основы квантовой физики.

Современные научные представления о природе света объединяют обе точки зрения и дают единую картину его волновых и корпускулярных свойств.

Оптика (от греч. *optike* - зрительный) – раздел физики, изучающий природу и свойства света, процессы его излучения и распространения, взаимодействие света с веществом. Оптика изучает широкий диапазон электромагнитных волн, охватывающий ультрафиолетовую, видимую и инфракрасную области.

Элементы геометрической оптики

Геометрическая оптика – это раздел физики, в котором световой луч представляется прямой линией, вдоль которой распространяется световая энергия. Законы геометрической оптики применяются для построения изображения при прохождении света через оптическую систему. Это следующие законы:

1. *Закон прямолинейного распространения света* - говорит о том, что в однородной прозрачной среде свет распространяется прямолинейно, доказательством чего служит наличие тени с резкими границами от непрозрачного тела, освещенного источником света малых размеров.

2. *Закон независимости световых лучей*. Каждый световой луч при объединении с другими ведет себя независимо от остальных лучей, т.е. справедлив принцип суперпозиции.

Если луч света падает на границу двух прозрачных сред, то падающий луч 1 раздваивается на отраженный 2 и преломленный 3 (рис. 54). Углы i , i' и r называются углами падения, отражения и преломления соответственно.

3. *Закон отражения света*. Падающий световой луч на границу двух сред, нормаль, проведенная к точке падения, и отраженный луч лежат в одной плоскости; угол падения равен углу отражения $i = i'$ (рис. 54).

4. *Закон преломления света*. Луч, падающий на границу раздела двух сред, преломленный луч и нормаль, восстановленная в точке падения, лежат в одной плоскости; отношение синуса угла падения к синусу угла преломления есть величина постоянная для двух данных сред (закон Снеллиуса):

$$\frac{\sin i}{\sin r} = n_{21},$$

где n_{21} – относительный показатель второй среды относительно первой.

$$n_{21} = n_2/n_1,$$

где n_2 и n_1 – абсолютные показатели преломления второй и первой сред.

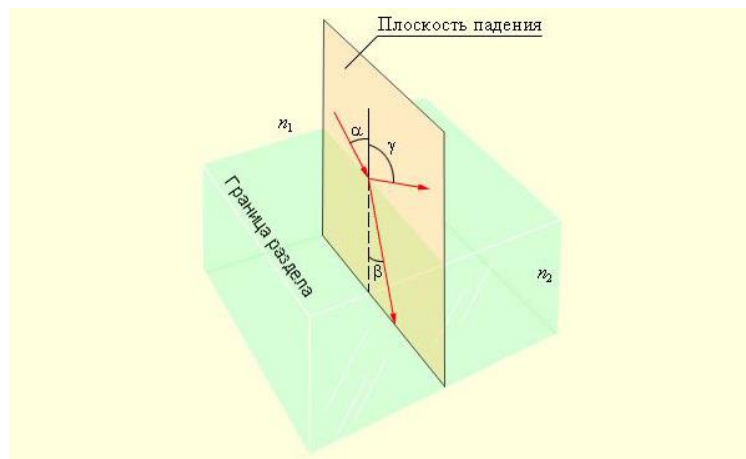


Рис. 54. Законы отражения и преломления света: $\gamma = \alpha$; $n_1 \sin \alpha = n_2 \sin \beta$.

Абсолютным показателем преломления вещества называется величина n , равная отношению скорости света в вакууме к скорости света v в данной среде:

$$n = c / v.$$

Пусть в первой среде $n_1 = c / v_1$, а во второй $n_2 = c / v_2$, тогда $\frac{\sin i}{\sin r} = \frac{c/v_2}{c/v_1} = \frac{v_1}{v_2} = n_{21}$.

Таким образом, физический смысл относительного показателя преломления состоит в том, что он показывает, во сколько раз скорость света в одной среде больше, чем в другой.

Явление полного внутреннего отражения

Вещество, имеющее больший абсолютный показатель преломления, считается оптически более плотным. Пусть световой луч переходит из оптически более плотной среды в оптически менее плотную, т.е. $n_2 < n_1$. Из закона Снеллиуса следует, что при этом $i < r$. Если увеличивать угол падения (рис. 55), можно найти такой угол $i_{\text{пр}}$, при котором угол преломления r станет равным $\pi/2$ (лучи 3-3'). Такой угол $i_{\text{пр}}$ называется *предельным*. При углах падения $i > i_{\text{пр}}$ световой луч уже не проходит во вторую среду, а полностью отражается от границы раздела. Это явление называется *полным внутренним отражением*. Таким образом, явление полного внутреннего отражения наблюдается только при переходе из более плотной в менее плотную среду и при $i > i_{\text{пр}}$. Если, например, луч переходит из стекла ($n_1 = 1,5$) в воздух ($n_2 = 1$), предельный угол падения составляет $\approx 42^\circ$.

Явление полного внутреннего отражения широко используется в биноклях, перископах, световодах и рефрактометрах.

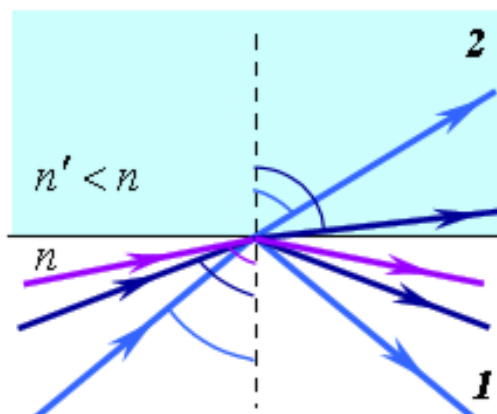


Рис. 55. Явление полного внутреннего отражения.

Получение поляризованного света при отражении. Поляризация при преломлении

Если разность фаз j претерпевает случайные хаотические изменения, то и направление светового вектора E , будет испытывать скачкообразные неупорядоченные изменения. В

соответствии с этим естественный свет можно представить как наложение двух некогерентных электромагнитных волн, поляризованных во взаимно перпендикулярных плоскостях и имеющих одинаковую интенсивность. Такое представление намного упрощает рассмотрение прохождения естественного света через поляризационные устройства. Плоскость, в которой колеблется световой вектор в линейно поляризованной волне, мы будем называть плоскостью колебаний. По историческим причинам плоскостью поляризации была названа не плоскость, в которой колеблется вектор E , а перпендикулярная к ней плоскость.

Рассмотрим поляризацию света при отражении и преломлении от диэлектрика. Естественный свет, падающий на диэлектрик, представим как наложение линейно поляризованных волн во взаимно перпендикулярных плоскостях с беспорядочно меняющейся разностью фаз. Одна волна будет поляризована в плоскости падения, ее мы будем называть скользкой составляющей, а другая поляризована перпендикулярно плоскости падения, это скользкая составляющая. При падении естественной волны на диэлектрик образуются две волны: отраженная и преломленная (рис. 56).

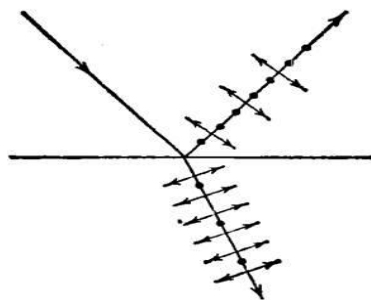


Рис. 56. Поляризация отраженного и преломленного лучей света.

Если угол падения света на границу раздела двух диэлектриков (например, на поверхность стеклянной пластинки) отличен от нуля, отраженный и преломленный лучи оказываются частично поляризованными. В отраженном луче преобладают колебания, перпендикулярные к плоскости падения (рис. 56). Эти колебания обозначены точками, в преломленном луче — колебания, параллельные плоскости падения (на рисунке они изображены двусторонними стрелками).

10.2. Преломление серий фотона

Поверхность любого тела окружена со всех сторон расилшубами, в промежутках между которыми располагаются поляризованные атрисики эфира с изменяющейся по толщине слоя структурой. Каждый из этих слоев выполняет строго определенную функцию на сторонние фотоны, падающие на поверхность. На поверхности атрисикового поляризационного слоя происходит отражение и преломление света. Показатель преломления света:

$$n = \sin \alpha / \sin \beta = C / V,$$

где n – показатель преломления света, α – угол падения, β – угол преломления, C - скорость света в вакууме, V - скорость света в среде.

Простой анализ данной формулы свидетельствует о том, что отношение C / V остается постоянной для данной среды, а углы могут изменяться в непрерывном диапазоне величин от $\alpha = 1-0$, β - ограничено величиной полного угла отражения в среде.

В зависимости от угла падающего луча света, показатель преломления не изменяется, а угол имеет значительные изменения. Следовательно, Космический Разум создал систему преломления света в среде, которое изменяется по толщине слоя расилшубов атрисиковой поляризации. Удивительно то, что ученые пользуются экспериментально полученными данными и их не интересуют реальные процессы, протекающие в толще атрисиковой поляризации слоя расилшубов.

При соприкосновении серий витры с поверхностью атрисиковой поляризации слоя расилшубов, происходит мгновенное уменьшение угла раскрытия серий фотона от 60^0 до $12''$. Первыми поверхность достигают витры, затем приходят серии фотона. Витра управляет всеми процессами, протекающими в фотоне. Проникновение витры в поляризованное пространство атрисиковой поляризации слоя расилшубов не претерпевает никаких изменений, пока отрезок серий витры не достигает пороговой величины серий. Атрисиковый поляризационный слой

определяет величину энергии фотона, направление его движения, значение углов падения и преломления, после чего устанавливает направление движения будущего фотона в среде.

Представьте себе, что поверхность освещается бесконечным потоком фотонов, и каждый из этих фотонов получает собственную оценку энергии, направления движения, пригодность к поглощению. Все зеркальные поверхности представлены слоем расилшуба с атрисиковой поляризацией эфира. Упругость атрисиковой поляризации эфира для разных атомов таблицы элементов отличается друг от друга.

Прекращение перемещений серий фотона вынуждает витру индуцировать в эфире атрисиковую голограмму, что приводит к синтезу витриса $E_w^1 - E_w^n$, который магнитными векторами атрисов F_w стремится вытолкнуть витру за пределы фронта АВ фотона (рис. 57, а и б).

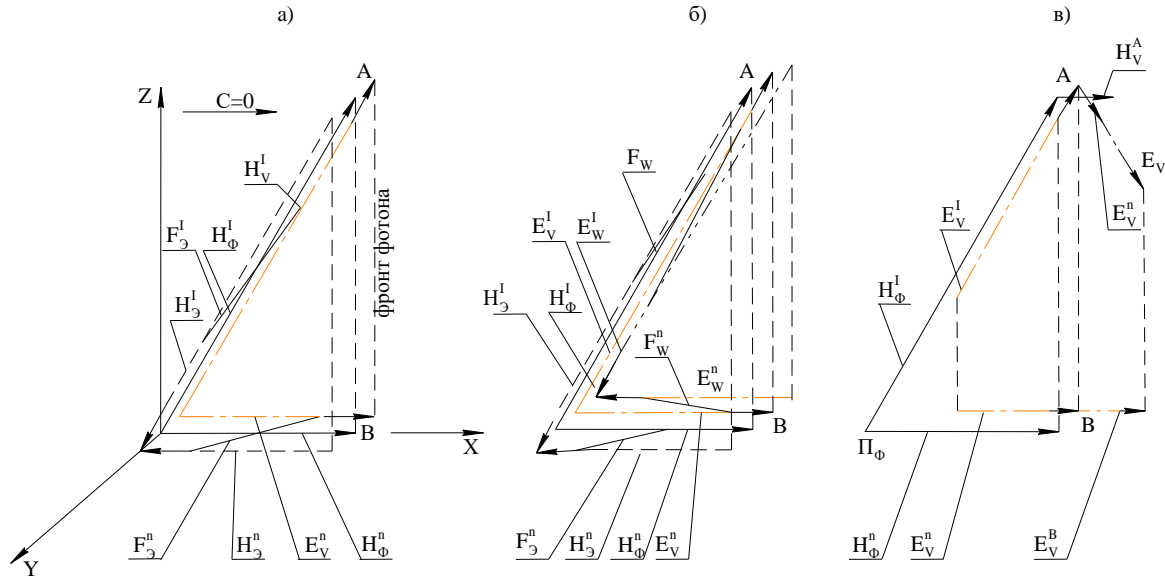


Рис. 57. Фазы перемещения витры за фронтом фотона.

Как только первые кванты серий витры выходят за пределы фронта серий фотона, магнитные вектора витры H_v устанавливают силовую связь с началами магнитных векторов первых квантов серий фотона $H_\phi^1 - H_\phi^n$, что приводит к изменению направлений электрических векторов атрисов серий витры E_v^A (рис. 57, в). Так как вдоль фронта витры амплитуды пульсаций векторов атрисов квантов H_v^A второго вида электрических серий E_v не равны между собой, то углы преломлений их электрических серий будут разными в зависимости от удаления от серий H_v^B (рис. 57, в).

Для упрощения изображения на рис. 57, в не показаны эфана фотона и витрис. Преломляясь на разные углы, все серии витры устремляются к новому полюсу P_ϕ , который располагается на общей оси фотона H_ϕ^n и витры E_v^B (рис. 57, а). По завершению пересечения фронта фотона всеми квантами серий витры, последняя готова к приему квантов серий фотона. У фронта фотона электрические серии витры устанавливают силовую связь при помощи магнитных векторов атрисов последних квантов с магнитными векторами атрисов первых квантов магнитных серий фотона (рис. 57, в). Как только серии эфаны выталкивают кванты фотона за черту фронта АВ (рис. 57, в), магнитные вектора витры сокращаются и направляют их вдоль своих серий. Происходит преломление серий фотона, которые мгновенно индуцируют эфану и под ее действием перемещаются к новому полюсу P_ϕ . Когда все кванты серий фотона пересекут фронт фотона, вновь возникает кризисная ситуация, ведущая к прекращению перемещений серий в связи с образованием нового полюса фотона. Витра индуцирует себе дивитрис, который стремится протолкнуть серии витры через полюс фотона. Начинается процесс трансформации электрических серий витры в магнитные, которые преобразуются в витру с магнитными сериями, расположенными в плоскости XY с диаметрально противоположной стороны по отношению к предыдущему положению относительно оси X (рис. 58, а).

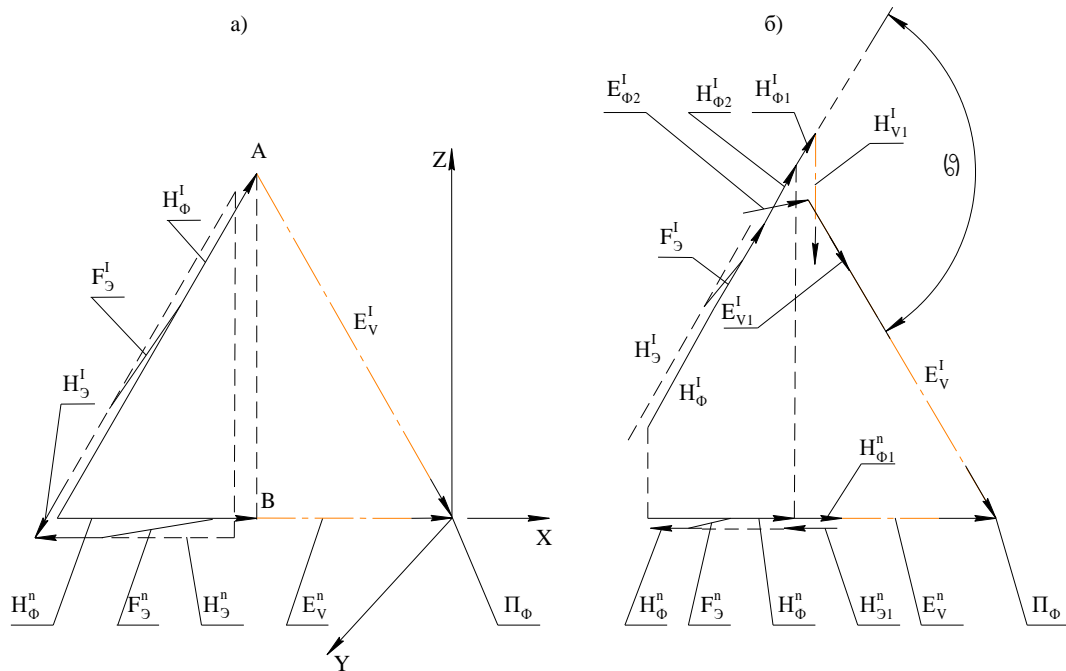


Рис. 58. Фазы преломления направлений движения серий фотона.

Первая серия витры вновь располагается вдоль оси X. Витра и серии фотона перемещаются последовательно: при перемещении витры серии фотона совершают холостые пульсации, а при перемещении серий фотона серии витры пульсируют без перемещений, направляя серии фотона вдоль своих серий.

Последовательная смена плоскостей фотона в пространстве вдоль вектора движения может быть представлена как «вращение» электрического и магнитного векторов фотона.

10.3. Подготовка фотона к преломлению света

В расилах каждый слой вистр сохраняет такую же структуру и размер серий как у вистр билтона или андистрона. Ранее было отмечено, что вдоль серий вистр (вистр для фотонов) наблюдается такое же распределение уплотнений векторов адрат, какие имеются в сериях атринов или фотонов в соответствии с количеством квантов действия энергии в них. Если количество квантов действия в сериях атринов или фотонов изменяется, то вистры (или витры) устанавливают вдоль своих серий соответствующее распределение уплотнений – векторов адрат. Чем больше энергия атринов или фотонов, тем меньше количество квантов заключено в векторах адрат серий вистр (или вистр), которые управляют этими атринами или фотонами.

Так как рейкисы билтонов или андистронов не управляют атринами, то они приобретают такое количество уплотнений векторов атрисов в своих сериях (векторов адрат), которое равно числу квантов действия участков наружных атринов пульсэда и спана, выходящих за пределы внутренних атринов. Точно такое же распределение уплотнений векторов адрат устанавливается вдоль серий атрисила, которое не изменяется и после распада пакета атрисила.

Так как уплотнения в сериях атрисила управляют физико-химико-механическими свойствами материи, назовем их вектором адрат. Энергия спиновых серий пульсэда и спана управляет размером векторов адрат серий атрисилов. Независимо от расположения слоя в пакете атрисила, каждый из них может производить равноценное действие на атом окружающей среды.

У каждого атрисила имеется четыре рабочих поверхности: электрические и магнитные фронты с диаметрально противоположным действием на фотоны и электроны. Если фронты поверхностей расила притягивают к себе фотоны и электроны, то тылы – отталкивают.

Рассмотрим процесс взаимодействия фотона с расилом. Частота колебаний векторов атрисов у серий расилов на шесть порядков больше, чем у фотонов в диапазоне длин волн от ультрафиолета до инфракрасного излучения. Скорость движения фотона ($3 \cdot 10^8$ м/с) ничтожно мала по сравнению со скоростью продвижения расила (10^{30} м/с) во время синтеза. Поэтому за время продвижения в районе действия расила фотона на расстояние равное размеру его серий, произойдет более миллиона процессов синтеза и распада расилов. Наружная поверхность атрисила

набегая на фронт фотона, производит стягивание серий фотона от угла 60° до угла равного расхождению серий атрисила $12'00''$, не изменяя направления движения основной серии фотона.

Витра фотона синтезируется или трансформируется при создании критического положения у серий фотона, когда дальнейшее перемещение серий фотона становится невозможным: это полюс фотона и сечение преломлений серий фотона. Назовем эти переходные положения *реверсом фотона*.

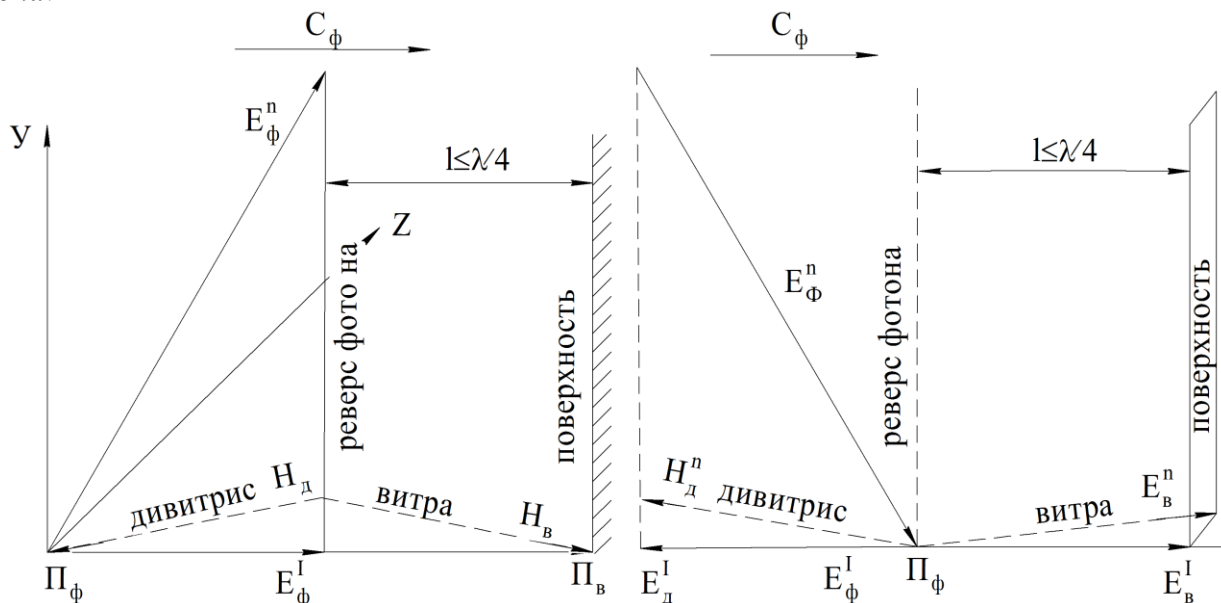


Рис. 59. Положение реверса фотона накануне установления силовой связи серий фотона с поверхностью.

Как только основная серия витры фотона устанавливает силовую связь с серией расила (рис. 60, а) поверхности происходит уменьшение угла раскрытия серий фотона от 60° до $12'$ (рис. 60, б). Кроме того, все остальные серии витры изменяют размер своих серий и устанавливают контакт с сериями расилов.

Дальнейшее выталкивание серий витры приводит к силовому отталкиванию их от плоскости контакта (рис. 60, в): угол падения серий витры α становится равным углу отражения α_1 . Отраженные серии витры изменили фазу пульсаций векторов квантонов на 180° .

Созданием нового полюса Π_v завершится формирование витры и начинается процесс преломления серий фотона. Ряды квантонов в сериях $E_\phi^1 - E_B^n$ выталкиваются эфанами и ударяют о поверхности расилов, создавая давление (рис. 60, г). Заторможенные ряды квантонов серий фотона принимают электрические вектора квантонов магнитных серий витры и направляют их вдоль собственных серий: идет формирование отраженного луча.

Достижение сериями фотона полюса $\Pi_\phi^1 + \Pi_v^1$ создается реверс фотона: вектора серий фотона совершают холостые пульсации без перемещений. Серии витры синтезируют из эфира витрис, который выталкивает через полюс Π_v^1 серии витры. Основная задача серий фотона состоит в сохранении целостности серий витры, которая трансформирует свои магнитные серии в электрические и выходит из полюса перпендикулярно плоскости серий витры в диаметрально противоположном направлении по сравнению до отражения.

Реверс фотона – это состояние остановки перемещения серий фотона, из которых серии фотона выводит витра, трансформируя свои серии из магнитных в электрические, или преломляя собственные серии, что выводит серии фотона из тупика.

Витра управляет движением серий фотона во всех физических явлениях и эффектах. Фотон прекращает существование, если теряет витру. Серии витры прокладывают путь, по которому перемещаются серии фотона.

Геометрические законы оптики определяет витра фотона, которая первой устанавливает силовую связь с поверхностью. Силовая связь фотона с поверхностью устанавливается, если расстояние вдоль оси фотона от реверса фотона поверхности меньше или равно $\lambda/4$ (где λ - длина волны фотона). Если основная серия витры магнитная, то она устанавливает силовую связь с магнитной серией расила, а если электрическая, то – с электрической.

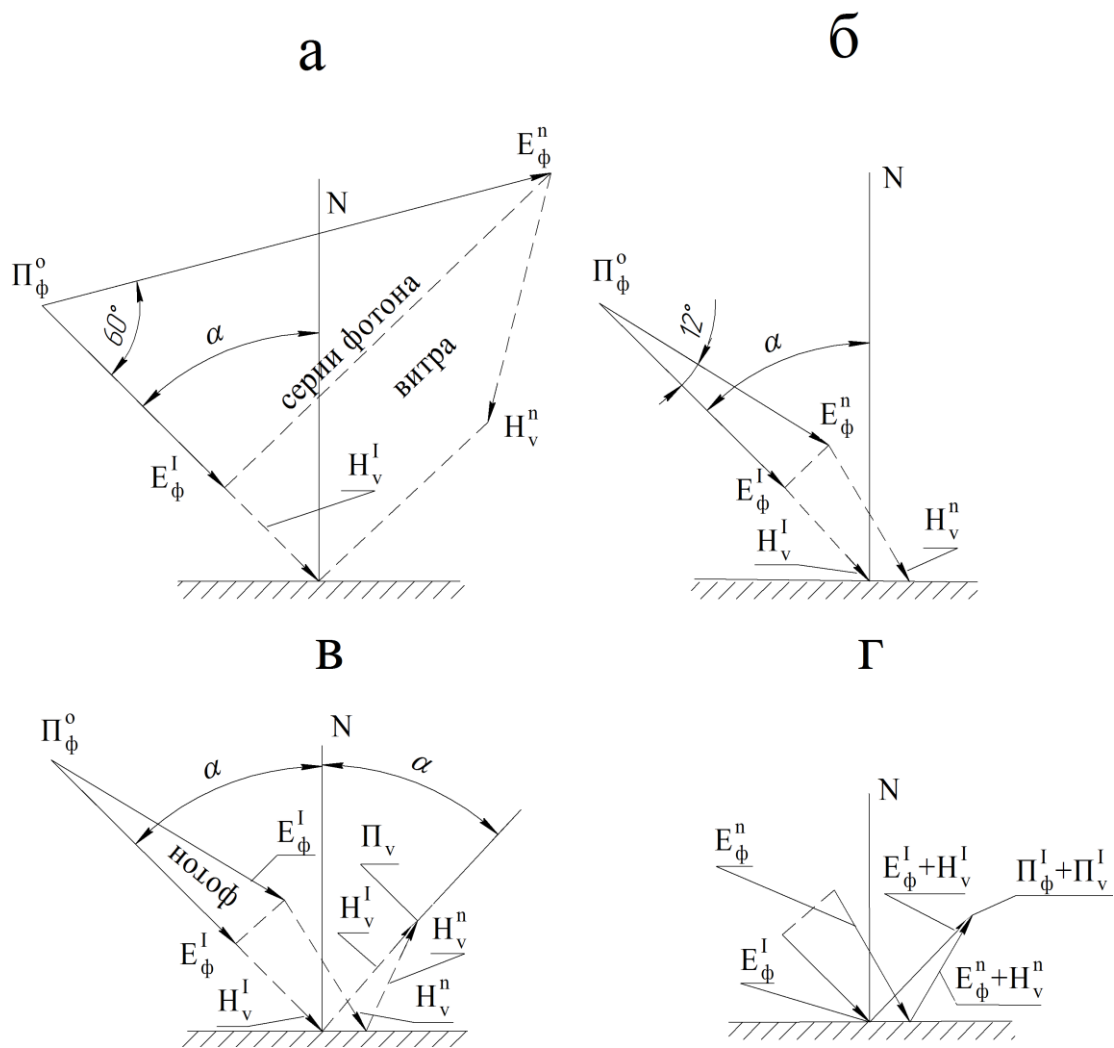


Рис. 60. Фазы отражения фотона от поверхности.

Основная серия фотона – серия фотона, вдоль которой идет перемещение и смена полярности серий фотона.

Основная серия витры фотона – устанавливается или вдоль основной серии фотона, а при установлении силовой связи с веществом может изменять направление движения от нуля градусов до 180 градусов.

Витра фотона синтезируется или трансформируется при создании критического положения у серий фотона, когда дальнейшее перемещение серий фотона становится невозможным: это полюс фотона и сечение преломлений серий фотона. Назовем эти переходные положения *реверсом фотона*.

Фотоны в природе осуществляют энергоинформационный обмен и обеспечивают поддержание стабильной температуры тел. Нагрев тела происходит при поглощении фотонов ядрами атомов поверхности. Поверхность ядер атомов управляет процессами отражения и преломления света, фотонами которого управляет витра.

При поглощении света основная серия витры фотона устанавливает силовую связь с первой серией одного из расилов поверхности (рис. 61). Если фотон будет поглощен, то первый квантон первой серии расила поддерживает силовую связь с серией витры и пропускает первый вектор адрат витры за пределы поверхности, уменьшив амплитуду пульсаций его в n раз, где n – показатель преломления среды.

Размер вектора адрат мал, и он равен по величине размеру серий фотона поделенного на число квантонов действия фотона.

$$l_{ao} = \frac{\lambda_{\phi}}{4 \cdot |\nu_{\phi}|} = (0,75 \div 2,3) \cdot 10^{-13}$$

где $\lambda_{\phi}/4$ – размер серий фотона; ν – частота фотона.

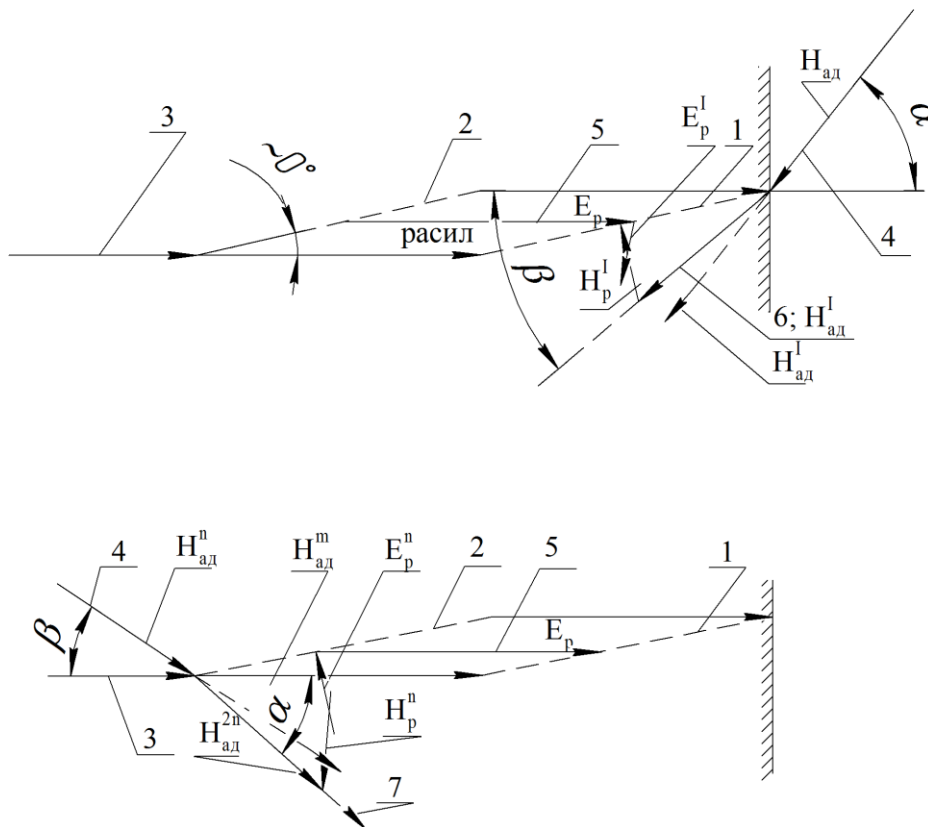


Рис. 61. Механизм преломления света в геометрической оптике (силовое действие серий расила на вектор адрат основной серии витры фотона): 1 и 2 – фронт и тыл расила; 3 – серия билтона; 4 – вектор адрат основной серии витры; 5 – уменьшение плотности векторов атрисов в серии витры расила; 6 – изменение направления будущего движения уплотненного вектора адрат витры фотона; 7 – уменьшение плотности вектора адрат витры и изменение направления движения основной серии витры; а – падение витры на фронт расила, б – падение витры на тыл расила.

Основная задача расила состоит в том, чтобы направить фотон к полюсу ядра атома, а для этого ему необходимо развернуть основную серию витры в сторону, чтобы она расположилась вдоль серий расила. Как только границу поверхности пересекает последний квантон первого вектора адрат основной серии витры, один из ближайших первых квантонов серий расила E_p разворачивается на 90^0 в направлении первого квантона вектора адрат. Его второй вектор H_p^1 , увеличивая свою амплитуду пульсаций, устанавливает силовую связь с первым квантоном вектора адрат $H_{ад}^1$. Силовая связь векторов H_p^1 и $H_{ад}^1$ устанавливается за половину периода пульсаций векторов атрисов квантонов. Во вторую половину пульсаций векторов атрисов квантонов происходит сжатие вектора $H_{ад}^1$, а вектор адрат $H_{ад}^1$ поворачивается от угла α до угла β .

Силовая связь между векторами адрат $H_{ад}^1$ и вектором H_p^1 первого квантона расила E_p^1 теряется. Все последующие вектора квантонов витры преломляются под действием первого вектора адрат сразу после вхождение в вещество.

Амплитуда пульсаций первых векторов квантонов серий расила уменьшается по экспоненциальному закону по мере увеличения количества серий во фронте расила. Вдоль фронта расила количество серий квантонов увеличивается в 10^{20} раз только вдоль одного вектора адрат витры.

Увеличение угла падения света α приводит к снижению расстояния вдоль серий расила, от которого до конца первого вектора адрат витры будет минимальное расстояние, что приводит к увеличению амплитуд пульсаций первого квантона серии расила. При разных углах падения света на поверхность с показателем преломления n , получаются разные по величине проекции первых векторов адрат витры, однако отношение синуса угла падения к синусу угла преломления остается величиной постоянной, что определяется величиной уменьшения амплитуд пульсаций векторов квантонов векторов адрат витры.

Увеличение длины волны падающего света приводит к росту первого вектора адрат, при преломлении. Показатель преломления при этом не изменяется, а угол преломления увеличивается, что приводит к хроматической абберации света.

На выходе света из среды фотоны встречаются с тылом расилов. Первые вектора квантонов витр фотонов устанавливают силовую связь с последними векторами квантонов серий тыла расила. Вектора адрат, сохраняя направление движения и амплитуды пульсаций векторов квантонов, поступают на территорию расилов поверхности. Когда размер серий витры, увеличиваясь, становится равным вектору адрат, ближайшая к его началу серия тыла расила устанавливает с ним силовую связь последним своим квантоном (E_p^n и H_p^n). Эта силовая связь устанавливается во время увеличения амплитуды пульсаций вектора H_p^n , а потому начало первого вектора адрат удаляется от расила и угол β увеличивается до угла α . Как только вектор серии тыла расила H_p^n потерял силовую связь с первым вектором адрат $H_{ад}^{2n}$, вектора квантонов последнего восстанавливают свою прежнюю амплитуду пульсаций. Вектор адрат увеличивает свои размеры.

Выводы к разделу

1. После завершения пересечения полюса ядра атома наружных атринов спана и пульседов, серии эфан стремятся вытолкнуть первые квантоны наружных атринов за пределы радиусов ядер атомов. Первые вектора квантонов магнитных серий вистр яритиса удерживают первые электрические вектора квантонов серий наружных атринов в пределах радиусов. В результате силовой связи электрические вектора первых квантонов вистр яритиса и наружных атринов разворачиваются на 90^0 , и первые синтезируют из эфира собственный электрический аналог вистры, который затем укладывают на поверхность рейкисов, синтезируя атрисил.

2. Один атрисил синтезируется за время, равное периоду пульсаций векторов атрисов квантонов серий. За второй период пульсаций векторов квантонов синтезируется второй атрисил, а первый смещается в направлении периферии атома на величину амплитуды A_0 пульсации векторов атрисов рейкиса. Создается пакет атрисилов. Максимально допустимое количество атрисилов в пакете равно числу атрисного нормирования – $A^* = 1,84 \cdot 10^{33}$ – стандартный пакет атрисилов. Пакет атрисилов – самая уникальная частица в мире, так как одновременно имеет практически параллельные друг другу магнитные и электрические серии.

3. Рейкисы атома не принимают новые атрисилы, пока стандартный пакет атрисилов не будет смещен к началу серий рейкисов, т.е. полное время формирования стандартного пакета атрисила равно времени прохождения через полюс ядра энергии одного кванта действия.

4. Вдоль серии атрисилов устанавливается ряд уплотнений векторов атрисов (вектора адрат, которые соответствуют распределению уплотнений вдоль серий такого фотона, у которого энергия равна энергии спиновых серий).

5. У поверхности рейкисов атрисилы устанавливают силовую связь магнитными векторами атрисов последних квантонов электрических серий с магнитными векторами атрисов первых квантонов магнитных серий билтона и андистрона.

6. Поверхности атомов молекул, дисперсных частиц, кристаллов, жидкостей, разделов фаз и по границам неоднородных материалов непрерывно синтезируют расилшубы, которые осуществляют защиту ядер атомов. Все свойства поверхностей создаются расилшубами атомов тел.

7. Энергия фотона не зависит от скорости движения излучателя. Эффект Доплера не применим к излучению фотонов движущегося источника света. Направление векторов атрисов серий фотона совпадает с направлением его движения.

8. Ион, который лишен электронов (полная ионизация), не в состоянии излучать фотоны (сбросить избыточную энергию без посторонней помощи).

11. СИЛОВЫЕ СВЯЗИ АТОМОВ

Введение

Природа связей атомов в молекулах и кристаллах до настоящего времени не раскрыта, хотя уже синтезировано более 7 миллионов соединений. Больших успехов добилась комбинаторная химия, которая позволила во много раз сократить количество экспериментов при создании нужных для промышленности материалов и веществ. Однако, реальная суть физико-химических процессов при синтезе новых веществ и материалов осталась за пределами знаний современной химии.

Как было изначально принято, существуют следующие связи атомов в молекулах и кристаллах [1-8]:

- металлическая связь – химическая связь в твердых телах, обладающих ярко выраженными металлическими свойствами, образуемая делокализованными электронами.

- ковалентная связь (атомная связь, гомополярная связь) – химическая связь, которая образуется за счет взаимодействия не спаренных электронов с противоположной ориентацией спинов, занимающих одну молекулярную орбиту.

- межмолекулярное взаимодействие – взаимодействие между молекулами с насыщенными химическими связями. Определяет существование жидкостей и молекулярных кристаллов, отличие реальных газов от идеальных и проявляется в самых разнообразных физических явлениях.

Кроме приведенных выше связей еще изобрели водородную, ионную и др. Математическая интерпретация следствий взаимодействий атомов в молекулах без знания причины силового взаимодействия атомов в молекулах привела к «открытию» большого количества взаимодействий.

Поэтому, открытие реальных сил, обеспечивающих связь атомов в молекулах и кристаллах, является одной из актуальнейших проблем современности.

Цель раздела - на основе Атрисной физики открыть природу сил, обеспечивающих атомам силовую связь в молекулах и кристаллах.

11.1. Виды перемещений в микро- и макромирах

Первый закон механики И. Ньютона справедлив во всей Вселенной: «Всякое тело продолжает удерживаться в состоянии покоя равномерного и прямолинейного движения, пока и поскольку оно не побуждается приложенными силами изменить это состояние». Движение всех небесных тел является ярким подтверждением отсутствия сопротивления со стороны эфира. Открыть физические свойства мирового эфира физики начала XX столетия не смогли, а потому путем голосования его отменили, хотя все законы электродинамики были открыты на основе существования мирового эфира. Понять структуру частиц эфира на основе физического эксперимента невозможно. Для открытия структуры частиц эфира – атрисов, нужна ни логика гипотез, а синтез следствий явлений естествознания креативным мышлением, которое позволяет открыть структуру и физические процессы, происходящие в ядрах атомов, структуру и природу перемещения частиц всех видов полей (atrisov.narod.ru). Структура атрисов такова, что самостоятельно, без принуждения они остаются нейтральными и не оказывают сопротивления телам, движущимся в эфире. Так как тела во Вселенной движутся прямолинейно в отсутствие действия сторонних сил, то это означает, что существует абсолютное время. При увеличении внутренней энергии атома или иона растет период циклических колебаний его атринов, а внутриядерные хронометры (биртроны и яртроны) не изменяют свой ход, отсчитывая время.

Искривление пространства во Вселенной также отсутствует. Фотоны отклоняются в гравитационном поле (гравитационное линзирование), но пространство не искривляется. Если же фотоны движутся от далеких звезд, то их догоняют гравитоны этих звезд и тормозят. В эксперименте наблюдается красное смещение спектров далеких звезд и галактик, так как фотоны непрерывно тормозятся гравитонами, которые испускаются этими же источниками (скорость гравитонов больше скорости света в 10^{19} раз!). Гипотезы об отсутствии мирового эфира, искривлении пространства – времени привели к разгулу иллюзий и ложных гипотез, превратив космологию в «черные дыры», «кротовые норы», «белые дыры», «гравитационные коллапсы», «темную энергию» и другие небылицы. И всю эту антинаучную продукцию публикуют во всех престижных научных журналах. Ученые утратили связь с реальностью. Гипотезы затмили здравый смысл.

Первичный вид движений во Вселенной – это пульсации. Элементарные частицы эфира – атрисы - непрерывно ПУЛЬСИРУЮТ. Только благодаря двойственности атрисов, одна половина которых обладает электрическими, а вторая – магнитными свойствами, был сотворен материальный мир. Чтобы от пульсаций перейти к движению, была образована промежуточная частица – квантон, состоящий из двух векторов - магнитного и электрического, пульсирующих около общего центра масс. Из квантонов сотворены серии, в которых вектора атрисов одного вида располагаются вдоль прямой и совершают синхронные пульсации без перемещений в пространстве. В серии вектора атрисов второго вида пульсируют без объединений в серии.

Возможность перемещения серий возникает только в том случае, если параллельно серии будущей частицы синтезируется параллельная серия с противоположным направлением векторов атрисов квантонов – эфана. Между сериями и эфаной создаются атриусы, стягивающие их. Чтобы этого не произошло, вектора атрисов второго вида серии взаимно отталкиваются: серия движется в одну, а эфана – в противоположную сторону.

Все системы управления физическими основами материального мира устроены так, что серии и эфаны (вистр, биртронов и яртронов) взаимноотталкиваясь не перемещаются, а пульсируют, сохраняя свое положение в пространстве.

Серии рейкисов билтонов и андистонов не имеют эфан, а потому только пульсируют. Под управлением биртронов и яртронов совершают циклические перемещения по замкнутым траекториям атрины физической основы (перемещение по методу канального вытеснения).

Серии частиц электромагнитных полей (пострино), гравитонов и расилов также перемещаются в пространстве *по методу канального вытеснения*. Фотоны, нейтрино и синхротронное излучение имеют физическую основу (атрины), перемещаясь по методу канального вытеснения. Управляет фотонами одна витра, а потому в каждой новой точке полюса частиц им необходимо изменять вид векторов квантонов серий.

Ионы прыжками увеличивают скорость собственного движения в результате действия на положительные ионы первых квантонов сполы отрицательного поля. Отрицательный ион движется тоже мелкими прыжками в результате силового действия производных пострино на первый ряд квантонов атрина электрона заряда.

Неизвестное ученым движение – это телескопическое выдвигание атрисиков (атроусов) из полюсов квантонов серий для установления силовой связи с другими квантонами других серий.

Находящийся за семью замками (или печатями) неизвестный ученым принцип перемещений – это реактивное движение атомов, космических кораблей и небесных тел под действием отстрела расилшубов. Эта проблема будет открыта в работе «Атрисная физика поверхности».

Силовые связи атомов создаются при синхронизации колебаний векторов атрисов соседних атомов, если они направлены в одну сторону, или колебаниях векторов атрисов квантонов соседних атомов в противофазе, если их вектора квантонов имеют встречное направление.

11.2. Закономерности синтеза молекул

Закономерности синтеза молекул следующие.

1. Органические и неорганические молекулы имеют общие закономерности синтеза структур.

2. Многоатомные молекулы могут состоять из одного, двух и более слоев билтонов атомов.

3. Частота колебаний векторов атрисов квантонов серий рейкисов билтонов и андистонов всех атомов таблицы элементов – есть величина постоянная для всех агрегатных состояниях вещества.

4. Амплитуда колебаний векторов атрисов квантонов рейкисов билтонов и андистонов всех атомов таблицы элементов устанавливается обратно пропорционально величине энергии участков наружных серий пульсэдов реперных протонов и спанов, которые выходят за пределы внутренних серий – *спиновые серии*.

5. Размеры серий рейкисов билтонов и андистонов атомов молекулы устанавливаются такими, что их величина всегда обратно пропорциональна энергии, заключенной на участках серий наружных атринов, выходящих за пределы внутренних пульсэдов реперных протонов и спанов (спиновых серий).

6. В молекулах силовая связь между рейкисами билтонов и андистронов устанавливается в результате синхронизации амплитуд колебаний их векторов атрисов или в результате установления атроусов в местах взаимных пересечений рейкисов билтонов и андистронов атомов.
7. Величина спина, создаваемая ядром независимого атома, должна быть равна: $P = \hbar/4\pi$. Если атом находится в системе тела, силовые связи не дают ему возможность вращаться. Однако, независимо от его неподвижности, величина спина рассчитывается из условия, что атом должен вращаться, и происходит сброс энергии с внутренних атринов для сохранения величины спина в отсутствии его вращения.
8. Пересечение андистронами одного слоя атомов плоскостей билтонов второго слоя атомов молекулы, сопровождается уменьшением спина. Сохранение спина постоянным обеспечивается за счет сброса части энергии внутренними сериями атринов пульсэдов или спанов реперных протонов атомов.
9. При фазовых превращениях спины реперных протонов атомов молекулы сохраняются постоянными, однако осуществляется перераспределение энергии между внутренними сериями атринов пульсэдов и спанов. Это ведет к изменению радиусов билтонов и андистронов атомов.
10. Фазовый переход в молекуле осуществляется в результате поглощения или излучения энергии атомом, что приводит к отклонению спинов реперных протонов атомов от стационарного состояния. Фазовый переход – это перераспределение энергии между внутренними сериями атринов пульсэдов реперных протонов, сопровождающийся восстановлением стационарного спина. Фазовый переход может осуществляться в результате перераспределения энергии в спанах атомов молекулы, когда дальнейшее излучение или поглощение энергии становится невозможным из-за внутреннего строения ядра атома.
11. Энергия связи молекулы равна алгебраической сумме энергий, выделяемой каждым атомом для восстановления спинов реперных протонов, уменьшенного в результате снижения вращательного момента из-за взаимного торможения.
12. Пульсэды реперных протонов и спаны каждого атома синтезируют расилшубы и излучают расиловые волны. Билтоны и андистроны атомов также излучают волны анф.
13. Расиловые волны могут создавать силы притяжения и отталкивания, обеспечивая молекулам и кристаллам сохранение их формы. Расиловые волны и расилшубы стремятся компенсировать стороннее воздействие на молекулу.
14. В спокойном состоянии молекулы и кристаллы излучают активные расиловые волны по внешней границе и в местах разрыва сплошности. При физико-химических условиях синтеза молекул и кристаллов расиловые волны производят сортировку и перемещение атомов в соответствии с программой состава и структуры кристалла или молекулы.
15. Расиловые волны, испускаемые атомами молекул и кристаллических тел, могут оказывать на окружающие их материальные тела силовое действие, разное со стороны билтонов и андистронов: со стороны билтонов может действовать притяжение, со стороны андистронов – отталкивание, и наоборот, что определяется энергетическим состоянием атомов.
16. Синтез двухатомной молекулы начинается с того, что билтоны атомов располагаются в одной плоскости и начинают сближаться под действием расиловых волн, а затем – расилшубов и в конце атроусов до установления силовой связи своими рейкисами. Действие атроусов располагает андистины в одной плоскости и они устанавливают силовое взаимодействие уголками.
17. Молекулы, имеющие 2 и более слоев атомов, могут иметь андистроны, проекция которых на плоскость билтонов может быть меньше радиуса билтона. Многослойность атомов в молекуле исключает образование угла между контактирующими плоскостями билтонов.
18. Проекция андистрона на плоскость билтона атома равна или больше радиуса билтона атома. В этом случае взаимодействующая пара андистронов атомов сжимается в виде веера, превращаясь в андистины. Вторая пара андистронов молекулы не подвержена сжатию в виде веера (угол раскрытия крайних серий андистрона остается равным 90^0). Сжимаемые в виде веера андистроны атомов молекулы назовем андистинами. Атомы молекулы с андистинами будем называть *недоминирующими*, а не имеющие андистин - *доминирующими*.
19. Андистроны доминирующих атомов молекул не подвержены сжатию в виде веера в собственной молекуле, т.е. в собственной молекуле они все являются андистронами, а их атомы – андистрированными атомами.

20. Сжатие или растяжение молекул и кристаллических тел включает механизм излучения расиловых волн по границе напряжений, который стремится компенсировать стороннее силовое воздействие. Поэтому «гравитационный коллапс» является результатом ошибочного представления о микромире. «Гравитационный коллапс» в природе исключен.

21. В молекуле радиусы билтонов одного и того же элемента равны между собой.

11.3. Силовые связи в молекулах

Все силовые связи между атомами в молекулах и кристаллах осуществляют рейкисы билтонов и андистронов. У молекулы воды (рис. 62) атомы водорода между собой связаны встык, атомы водорода с кислородом связаны – внахлест, а уголки андистин атомов водорода связаны друг с другом также внахлест.

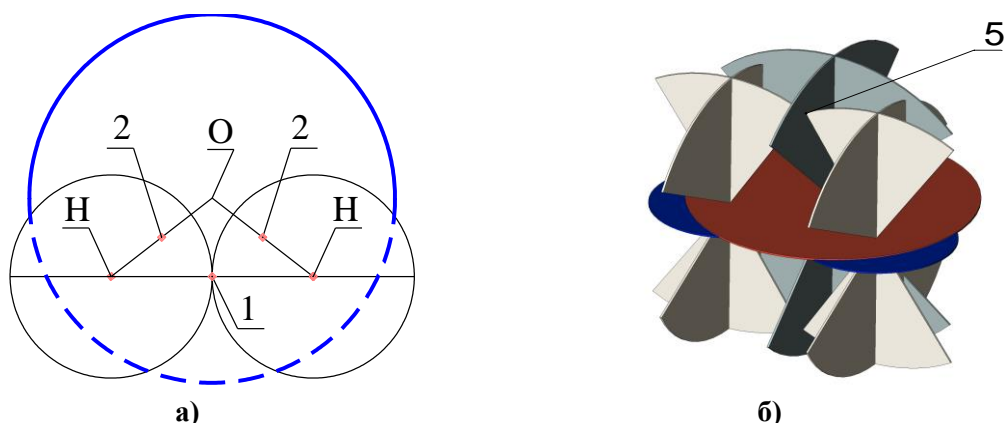


Рис. 62. Точки силовых связей в молекуле воды: а) – плоскость билтонов; б) – общий вид молекулы; Н – полюс водорода, О – полюс кислорода, 1 – связь встык, 2 – связь внахлест, 3 – связь уголками андистинов.

Рассмотрим механизмы связей встык в молекулах.

Силовая связь встык возникает только между двумя рейкисами, которые принадлежат разным атомам. Во фронте силовой связи встык (рис. 63) длины рядов квантов рейкисов должны быть равными. В противном случае силовая связь встык становится невозможной. Поэтому атомы, имеющие разные радиусы рейкисов, не могут устанавливать силовую связь встык.

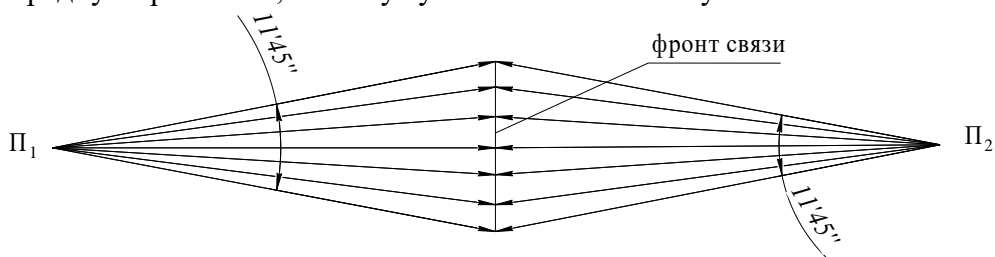


Рис. 63. Фронт связи *встык* серий рейкисов билтонов плоской двухатомной молекулы, P_1 и P_2 – полюса атомов.

Во фронте связи рейкисов каждая серия одного атома устанавливает связь с серией другого атома. Магнитные вектора серий рейкисов билтонов и андистронов всех атомов Вселенной направлены от полюса и совершают синхронные пульсации. Если два атома устанавливают силовую связь рейкисами встык, то их серии рейкисов направлены векторами навстречу друг другу и совершают встречные пульсации векторов атрисов квантонов серий. Если вектора атрисов квантонов движутся к полюсам своих ядер атомов (рис. 64, t_1), то на вектор квантона H_1^- действует сила F_1 , а на вектор H_4^- F_4 , которые удерживают квантоны серий разных атомов около общего центра F_n . Так как у серий рейкисов нет никаких препятствий для завершения полупериода пульсаций векторов атрисов квантонов серий, то достигнув четверти периода пульсаций (рис. 64, t_2) вектора квантонов продолжают двигаться до завершения полупериода (рис. 64, t_3). Начало второго полупериода пульсаций векторов атрисов квантонов приводит к выдвиганию векторов H_1^- , которые увеличивают свою длину, становясь положительными, и сокращению векторов квантонов H_1^+ , которые становятся отрицательными.

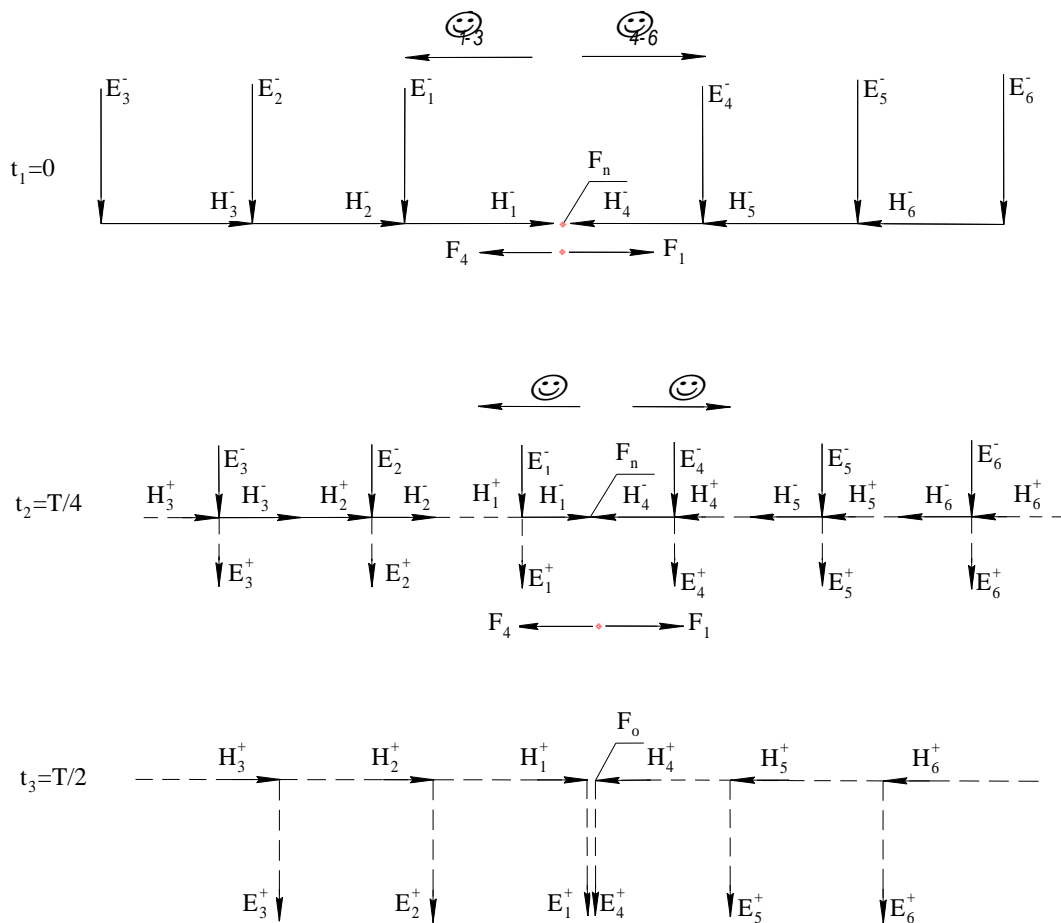


Рис. 64. Природа связи *встык* векторов атрисов квантонов серий рейкисов атомов в молекулах и кристаллах. Квантоны 1-3 принадлежат сериям первого атома, 4-6 – второго атома линейной молекулы.

Вектора квантонов H_1 и H_4 продолжают удерживаться около общего полюса F_0 . (рис. 64, t_3). Так осуществляется силовая связь *встык* между рейкисами билтонов и андистонов.

Необходимым и достаточным условием силовой связи *встык* между рейкисами атомов является равенство длин фронтов связи, т.е. радиусы билтонов и андистонов этих атомов должны быть одинаковыми.

Если билтоны атомов имеют разные диаметры, то силовая связь между ними устанавливается при наложении их *внахлест* (рис. 65-66), также как в молекуле воды билтон кислорода накладывается на билтоны атомов водорода. При наложении билтонов и андистонов *внахлест* силовую связь устанавливают электрические вектора квантонов магнитных серий рейкисов. Длина фронта связи у рейкисов может быть только одинаковой (рис. 65).

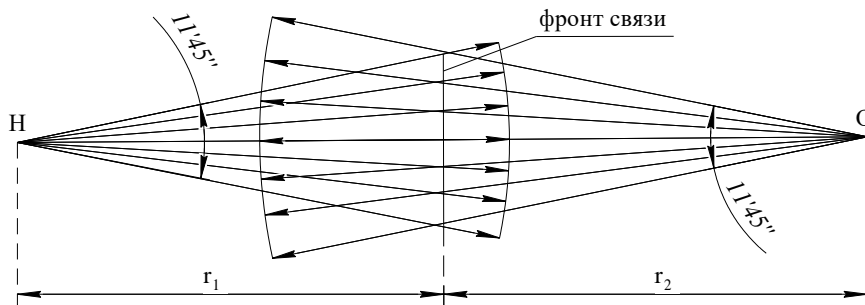


Рис. 65. Фронт связи *внахлест* серий рейкисов билтонов в молекуле воды: Н – водород, О – кислород, $r_1=r_2$.

Следовательно, при силовой связи *внахлест* фронт связи рейкисов будет равноудален от обоих полюсов атомов. Электрические вектора атрисов рядов квантонов E во фронте связи устанавливают одно и то же направление и совершают синхронные колебания, что создает силовую связь между ними. К разрыву силовой связи между взаимодействующими рейкисами

может привести только смена фазы колебаний векторов квантонов E в одном из связанных атомов на 180° .

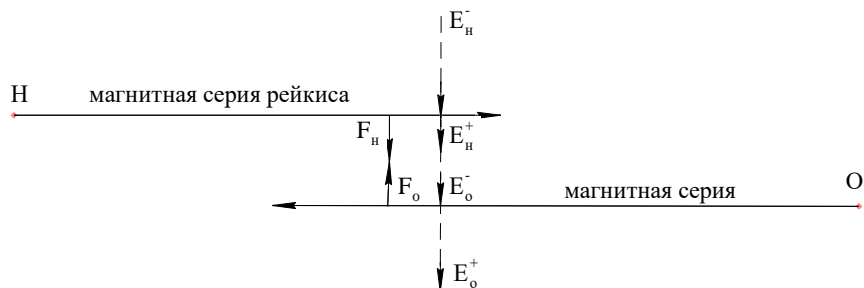


Рис. 66. Силовая связь *ввахлест* между магнитными сериями рейкисов билтонов водорода и кислорода.

Связь уголками андистонов

При синтезе молекул и кристаллов андистины и андистроны располагаются во взаимно перпендикулярных плоскостях [9-11]. Если проекция андистины на плоскость билтона больше радиуса билтона, то происходит сжатие серий андистины в виде веера. Андистроны не подвержены сжатию, а потому атомы, имеющие андистроны, проекция радиусов которых больше радиуса билтона, не могут вступать в силовую связь билтонами, так как их андистроны, упираясь уголками друг в друга, не допускают до прямого контакта встык дисками билтонами.

При приближении уголков андистонов двух атомов друг к другу, из первых квантонов крайних серий устанавливается силовая связь атроусами *ввахлест* между смежными слоями ядер атомов. Ряды квантонов в рейкисах располагаются по дугам окружностей. У двух соседних андистонов ряды квантонов взаимодействующих рейкисов располагаются под углом, близким к 90° C_1-C_2 (рис. 67, а).

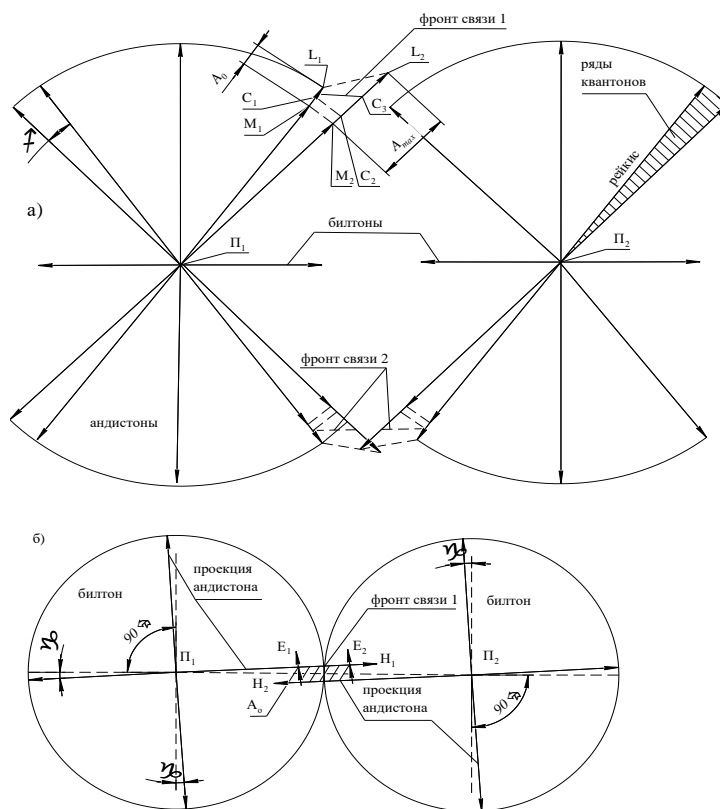


Рис. 67. Силовая связь *ввахлест* между уголками крайних рейкисов андистонов в линейных молекулах и кристаллах.

Силовая связь между электрическими векторами первых рядов квантонов может возникнуть только тогда, когда они будут расположены параллельно, на одном уровне иметь равные длины рядов в сериях. В поисках соседей, с которыми можно установить силовую связь, электрические вектора атрисов квантонов выпускают атроусы. Если на расстояние их действия обнаруживаются

такие же атроусы соседнего атома, то между ними возникает связь. Под действием атроусов ряды квантонов рейкисов смежных атомов разворачиваются и располагаются параллельно плоскостям андистронов, создавая фронт связи 2 (рис. 67, а).

Далее происходит сокращение атроусов, установивших силовую связь между рядами квантонов до полного вхождения в электрические вектора квантонов – создается фронт связи 1 (рис. 67, б), в котором электрические вектора рядов квантонов рейкисов согласовали синхронные пульсации. Силовая связь между уголками андистонов восстановилась и получилась силовая связь внахлест уголков атрисов двух соседних атомов.

Плоскости взаимодействующих андистонов, при синхронной пульсации электрических векторов E_1 и E_2 устанавливаются на расстоянии амплитуды пульсаций векторов квантонов, в результате чего андистоны располагаются не вдоль прямой, соединяющей полюса Π_1 и Π_2 атомов, а под углом к этой прямой (рис. 67, б). Поэтому, структура кристаллов не может быть идеальной изначально, и реальные кристаллы имеют дислокации.

Естественно, что проекции перпендикулярных андистонов также располагаются под углом γ к перпендикуляру, восстановленного к прямой, соединяющей полюса билтонов молекулы. Возникает много возможностей для нарушения структуры идеального кристалла.

При синтезе объемных молекул H_2O , O_3 , NH_3 и др., амплитуды пульсаций векторов атрисов у билтонов, расположенных в одной плоскости, существенно отличаются от амплитуд колебаний векторов атрисов серий билтонов других атомов. И синтезируются объемные молекулы. Поэтому, между билтонами не может возникнуть силовая связь ни встык и не внахлест, так как они смещаются относительно друг друга в пространстве. Однако между электрическими векторами квантонов рейкисов билтонов и андистонов устанавливается силовая связь атроусами. В этом случае билтоны одних атомов перемещаются относительно билтонов других атомов до тех пор, пока не возникает перекрестная силовая связь между пересекающимися билтонами и андистонами (рис. 68). При перекрестной силовой связи проекция рядов квантов рейкиса андистонов на плоскость билтона должна быть равна ряду квантонов рейкисов билтонов во взаимном пересечении.

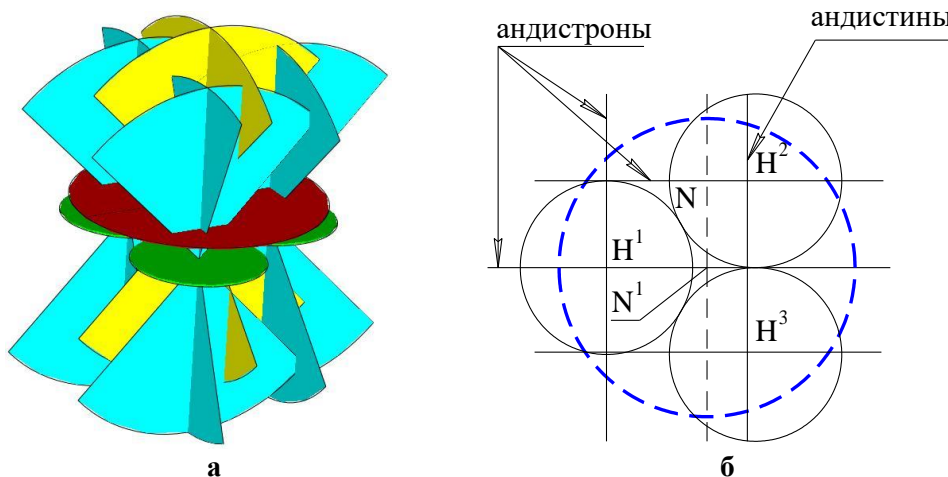


Рис. 68. Молекула аммиака с перекрестными силовыми связями и плоскость билтонов азота, на которую спроектированы билтоны водорода и андистоны.

Выводы к разделу

1. Силовая связь между билтонами и андистонами атомов в молекулах и кристаллах осуществляется *встык* (равная амплитуде пульсаций векторов атрисов квантонов) и *внахлест* (между билтонами атомов с разной амплитудой пульсаций векторов атрисов квантонов), между уголками андистонов – внахлест первыми рядами квантонов крайних рейкисов. При силовой связи встык взаимодействуют магнитные вектора первых квантонов рейкисов, а при взаимодействии внахлест – электрические вектора квантонов рейкисов.

2. Силовая связь уголками первых рядов квантонов крайних рейкисов устанавливается при синхронизации пульсаций электрических векторов квантонов магнитных серий. Между плоскостями андистонов соседних атомов устанавливается промежуток, равный амплитуде

пульсаций векторов квантонов андистона, что нарушает идеальное расположение атомов в кристаллах (возникают дислокации).

3. При существенном отличии амплитуд пульсаций у билтонов взаимодействующих атомов они не могут связываться не встык и ни внахлест. В этом случае электрические атроусы смещают плоскости билтонов в область андистонов и устанавливается перекрестная силовая связь между электрическими векторами рядов квантонов рейкиса билтона и проекцией на этот ряд квантонов ряда квантонов рейкиса андистона.

12. ПОВЕРХНОСТЬ АТОМА

Введение

Планетарная модель атома, признанная физиками мира, является пагубной для человечества. Реальный атом – сложный трехъярусный объект. Два первых яруса описаны в работах [2–7], а третий ярус представлен в настоящей работе – это поверхность атома, не известная ученым мира. Поверхность атома определяет все физико-химико-механические процессы в материальном мире. Открыт процесс синтеза поверхности атома и описаны его физические свойства. Далее стоит проблема открытия возможностей управления поверхностью атома.

Для исследования свойств поверхности твердого тела разработаны оптические методы исследования (эллипсометрия, электроотражение, фотолюминесценции и электролюминесценции). Широко используются также такие методы, как: дифракция медленных электронов, дифракция рентгеновских лучей, электронная микроскопия и, в последнее время, сканирующая туннельная микроскопия, высокочувствительные методы электронного магнитного резонанса и ядерного магнитного резонанса [1, 2].

Из краткого обзора видно, что открытие природы физических свойств поверхностей является наиболее актуальной проблемой эпохи нанотехнологий. Реальное знание структуры и физических свойств поверхностей полупроводников и твердых тел даст возможность управлять процессами нанотехнологий, безынерционным движением космических кораблей и разработать энергетику эфира – экологически чистую вечную энергетику.

Открытию проблемы Атрисной физики поверхности предшествовали открытия структуры и протекания механизмов элементарных процессов пульсации в частичках эфира (атрисах), ядрах атомов и электронах, кластерах и молекулах, кристаллах и жидкостях [3–6].

Анализ большого массива экспериментальных исследований поверхностей твердого тела и полупроводников показал, что их ядра атомов непрерывно синтезируют из квантонов эфира электрические энергетические пакеты атрисилов, которые выдвигаются на периферию атомов, создавая динамический энергетический слой, превращающийся в расиловые волны у поверхности билтонов и андистронов слоя. Любая поверхность защищает свои атомы от стороннего воздействия динамическим энергетическим слоем. Основной проблемой науки XXI столетия является нахождение механизмов управления работой динамических энергетических слоев поверхностей.

Целью раздела является открытие физической природы синтеза поверхностей атомов во всех агрегатных состояниях вещества для осознанного управления элементарными процессами при разработке нанотехнологий, материалов с управляемыми свойствами, безынерционных космических кораблей, создание энергогенераторов на основе эфира – экологически чистого, вечного источника энергии.

11.1. Атрисная структура ядер атомов

*«Математика является самым лучшим способом водить себя за нос».
(А. Эйнштейн)*

А. Эйнштейн хотел свести все известные в науке законы (гипотетические – автор) к единой формуле, которая бы описала все существующие в мире явления. Эта идея послужила началом конца поиска истины. Утверждение Нильса Бора о том, что до тех пор, пока сознание не включат в физику, она не будет полна, оказалось невостребованным.

До настоящего времени квантовая теория не имеет объяснений. В ее разработку внесли весомый вклад физики XX столетия Абэй Аштекар, Тед Джекобсон, Ежи Левандовский, Карло Ровелли, Ли Самолин, Томас Тиманн и др.

Еще 30 октября 1911 года на Международной конференции физиков в Брюсселе, маститый Анри Пуанкаре, который во всем прекрасно разбирался, отнесся к новой теории весьма скептически: «Большинство путей господина Эйнштейна ведут в тупик, но надо надеяться, что хоть один из указанных им направлений окажется правильным. И этого вполне достаточно. Задача математической физики – ставить вопросы: решить же их может только опыт».

Последователи Эйнштейна приняли абстрактную постановку математических задач, при отсутствии физического смысла, за основу фундаментальной науки мира, что привело ее в тупик...

В отличие от квантовой теории, в основу Атрисной физики приняты результаты экспериментальных измерений физических свойств реальной материи, которые подверглись креативному осмыслению, что открыло принципиально новое виденье причин явлений и эффектов, находящихся за пределами возможностей инструментальных измерений.

Путем креативного мышления получены открытия основ Атрисной физики, что дало возможность зримо представить структуру, состав, внутренние ритмы колебаний энергии в ядрах атомов и процессов синтеза всех видов полей. Инструментальные методы исследований, разработанные учеными, не имеют разрешающей способности, чтобы видеть размеры частичек до 10^{-100} м и измерять промежутки времени до 10^{-100} с. Поэтому все попытки ученых, определить структуру и состав ядер атомов инструментальными методами, принципиально безрезультатны.

Каждый атом таблицы элементов, независимо от количества нуклонов в нем, создан по одним и тем же законам. Осмыслить необходимо структуру и процессы, протекающие в нейтроне и протоне, а далее все станет понятным. Так как необходимо открыть основы внутриядерных структур, то будем предполагать, что читатель ознакомлен с общей структурой атомов, каждый из которых состоит из трех ярусов.

Первый ярус - ядро атома (рис. 69, а и б). Каждое ядро атома Вселенной имеет реперный протон, который сохраняет свою индивидуальность до радиоактивного распада. Радиусы яритиса и филбайтинга реперного протона имеют одинаковые радиусы, которые равны $r \approx 1,22 \cdot 10^{-12}$ м, а наружные изменяются в зависимости от температуры (избыточной энергии) атринов.

В ядре сосредоточены нуклоны, представляющие собой пакет дисков, стянутых филбайтингом.

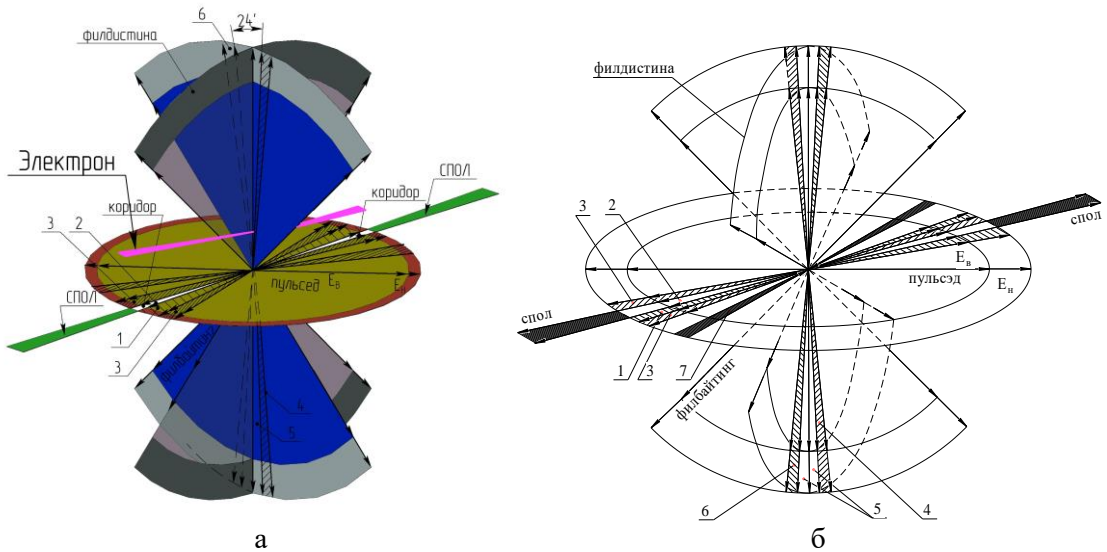


Рис. 69. Общий вид ядра атома водорода:

- 1 и 2 - секры электрона и спола в пульсэде; 3 – секры спана в пульсэде; 4 – квадрон спана с внутренними атринами; 5 – секры электрона и спола в филбайтинге;
- 6 – квадрон спана с наружными атринами; 7 – электрон; E_n – внутренние серии; E_n – наружные серии.

Каждый электрон состоит из двух блоков: физической основы и ее системы привода, системы управления и системы ее привода, которая одновременно является памятью электрона. Нуклоны ядер атомов и электроны имеют системы мышления, которые синтезируют из атрисов эфира голограммы и осуществляют управление всеми структурами ядра и атома в целом. Электроны в ядре атома осуществляют энергоинформационный обмен.

Второй ярус – жесткая стационарная однослойная структура, которая выходит из системы управления ядром – наружных вистр яритиса, а также филбайтинга, определяет геометрические параметры атомов всех тел и не обнаруживается при инструментальных измерениях. Радиус второго яруса равен $l \cdot 10^{-10}$ м (где $l \approx 0,4 \div 2$), и он определяет расстояния между атомами в молекулах и кристаллах, осуществляя силовую связь между атомами (рис. 70).

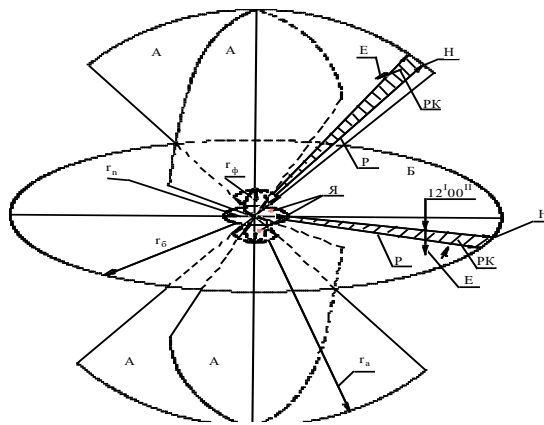


Рис. 70. Два яруса атома водорода:

Я – ядро атома; А, Б – стационарная защитная оболочка, состоящая из билтона – Б и андистонов – А; r_n – радиус пульсэда; r_ϕ – радиус филбайтинга; r_δ – размер серий рейкиса билтона; r_a – размер серий рейкиса андистона; P – рейкис; РК – ряды квантонов.

Третий ярус – защитная, сменная поверхность, размер которой в отсутствии силовых нагрузок на атомы, равен $2l \cdot 10^{-10}$ м. Третий ярус синтезируется за время порядка 10^{-41} с, и сменяется по истечению времени порядка 10^{-20} с (рис. 71).

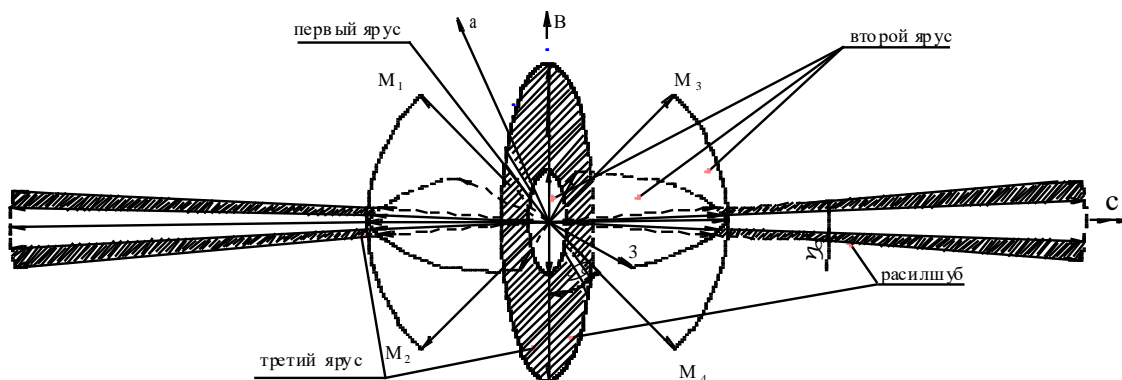


Рис. 71. Атом водорода (схематическое изображение): M₁-M₄ – уголки андистонов.

Третий ярус определяет все физико-химические и механические свойства материального мира. У третьего яруса имеется внутренняя и наружная поверхности, которые выполняют противоположные действия (минус и плюс). Третий ярус может создаваться по границам раздела фаз и в зонах силовой связи между атомами в молекулах и кристаллах. Поэтому дальнейшие исследования будут посвящены установлению связей между состоянием ядра и свойствами материи.

В момент радиоактивного распада нейтрона синтезируется ядро атома, представляющее собой жесткую сложную фигуру, которая сохраняется до момента радиоактивного распада ядра атома.

Пульсэд, яритис, филбайтинг, филбайтина, спан, билтон представляются в единую систему, которая сохраняется во всех ядрах атомов. У атома водорода имеется один реперный протон, у каждого последующего ядра системы элементов также имеется только один реперный протон. Все остальные нуклоны ядра атома располагаются параллельно яритису реперного протона, имеют один общий полюс, но, независимо от реперного протона, совершают циклические колебания атринов и вращаются, создавая спин, равный 0,5.

Только реперные протоны всех ядер атомов устанавливают силовую связь уголками андистонов и андистонов со смежными ядрами атомов и не могут совершать вращения (создавать спин). То есть, структура всех твердых тел и молекул является жесткой, так как реперные протоны этих ядер не могут вращаться, создавая спин.

Реперный протон поворачивается на амплитуду пульсаций векторов атрисов квантонов в один полупериод и возвращается в прежнее положение в результате действия вращательного момента, созданного силой, возникающей в результате действия силовой связи между уголками

андистронов смежных атомов. Таким образом, у реперных протонов твердых тел и жидкостей спин существует и не существует одновременно, так как вращение под его действием не происходит.

У каждого атома есть жесткая не изменяющаяся структура, возникшая в результате радиоактивного распада нейтрона или пакетов нейтронов, которые состоят из яритисов, филбайтингов и филбайтин, остающиеся даже после радиоактивного распада физической основы ядра атома.

Единственным ресурсом Вселенной являются атрисы эфира. Управление атомом осуществляет ядро, которое состоит из нуклонов, собранных в пакет и стянутых спаном (рис. 72).

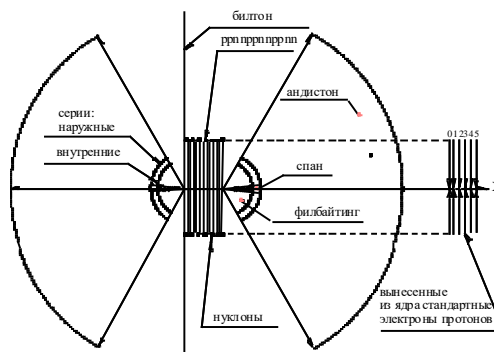


Рис. 72. Сечение многонуклонного атома без расилшуба (углерод).

В каждом нуклоне совершаются независимые от других нуклонов циклические колебания атринов, синтез гравитонов, создание спина и магнитного дипольного момента. Электроны сканируют поверхности пульсэдов протонов, освобождая атрины пульсэдов от избыточной энергии, а также выполняют другие функции по защите ядер атомов. На рисунке 60, б приведен электрон, сканирующий поверхность яритиса атома. Останавливается электрон только после каждого полупериода циклических колебаний атринов. Вследствие того, что при рекомбинации электрона ядром протона сбрасывается часть энергии связи или энергии ионизации, поворот биртрона электрона за полупериод всегда меньше 180 градусов. Поэтому электрон, сканируя поверхность яритиса, может снимать энергию со всех вистр андистонов и андистронов, однако сбрасывать в твердом теле может только в полюсе ядра атома, когда ось биртрона совпадает с осью атринов сполы. Энергия вдоль серий всех элементарных объединений – атринов, вистр, рейкисов, витр и расилов – квантуется.

Отрезок серий атрина, энергия которого равна кванту действия, создает уплотнение, которое устанавливает силовую связь посредством атроусов, с аналогичным отрезком. Если бы мы представили атрин, то увидели бы, что вдоль серий энергия квантов действия распределена по закону синусоидальной четной функции.

Ядра атомов собраны из чередующихся в пакете нейтронов и протонов в виде отдельных дисков – пульсэдов (рис. 73) и стянуты филбайтингом.

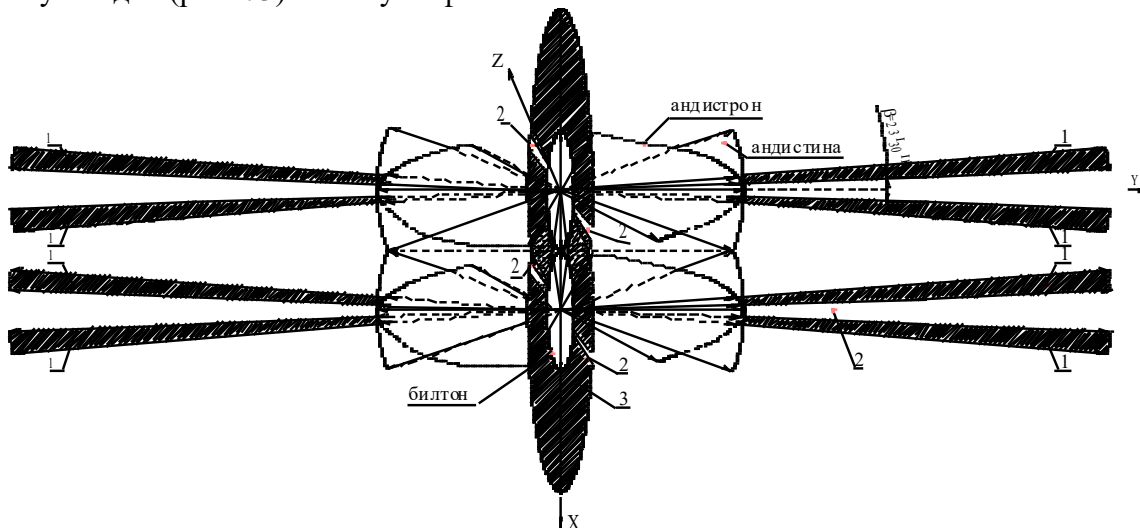


Рис. 73. Линейная двухатомная молекула:
1– расилшубы андистронов, 2– секры билтонов, 3– расилшубы билтонов.

В каждом нуклоне совершаются независимые от других, но согласованные циклические колебания атринов, синтез гравитонов, создание спина и магнитного момента. Электроны сканируют поверхности протонов, освобождая атрины пульсэдов от избыточной энергии. Новый период циклических колебаний атринов всех нуклонов ядра атома начинается одновременно. Поэтому атрины нуклонов, завершившие период циклических колебаний раньше других, совершают холостые пульсации без циклических перемещений.

Серии рейкисов билтона и андистонов являются продолжением наружных серий вистр яритиса и филбайтинга и не имеют системы привода, т.е. они создают один слой каждый.

Длина первичных серий рейкисов определяется энергией спиновых серий, а у андистонов – энергией отрезков наружных серий атринов спана, выходящих за пределы внутренних.

Вдоль серий вистр по программам создаются уплотнения из векторов квантонов – векторов адрат, при помощи которых осуществляются процессы управления векторами квантов действия атринов. Вектора адрат определяют изменения структуры физических свойств атомов, а также всех соединений из атомов. У фотонов частицы витры устанавливают вдоль серий такое количество векторов адрат, сколько имеется квантов действия у серий фотона. Размер амплитуды пульсаций векторов квантонов атринов в сериях частиц устанавливают вектора адрат системы управления.

Как показала Атрисная физика, атомы ориентируются в пространстве относительно друг друга при помощи расиловых волн, которые могут их притягивать или отталкивать. Если атомы приближаются друг к другу на расстояние, на котором начинают действовать атроусы силовой связи, образуется молекула. В молекуле рейкисы билтонов и андистонов атомов создают единую пульсирующую систему. Препятствием к созданию молекул из атомов может служить излучение одним из ядер атомов расиловых волн, которые отталкивают от себя другое ядро атома.

Пусть энергетическое состояние атомов способствует созданию молекулы, и атомы движутся навстречу друг другу. Их билтоны располагаются в одной плоскости, а один из андистонов каждого атома – в другой. Радиусы у билтонов и андистонов одного и того же атома могут быть при этом разными по величине, что определяется величиной энергии спиновых серий атринов пульсэдов и спанов. Если $r_a \geq r_b$, то андистроны сжимаются:

$$\frac{r_a}{\sqrt{2}} > r_b,$$

где r_a и r_b – радиусы андистрона и билтона.

В этом случае андистроны сжимаются в виде веера до установления прямого силового контакта между билтонами атомов молекулы, превращаясь в *андистины*, а вторая пара андистонов (расположенная перпендикулярно) оказывается неподверженной сжатию – это *андистроны* (рис. 73).

Если в момент синтеза молекулы атомы имели разную по величине избыточную энергию, то в молекуле сразу же идет сброс избыточной энергии или ее выравнивание. Так как частота пульсаций квантонов в сериях билтонов и андистонов всех атомов Вселенной остается величиной постоянной, то у атомов молекулы может происходить согласование только амплитуд колебаний квантонов билтонов и андистонов.

11.2. Синтез третьего яруса атома

Ученые мира даже не предполагают, что у атома, молекулы, кристалла имеется поверхность, которая защищает их от стороннего силового действия. А тем более даже не представляют, что эта поверхность является средством силового действия на окружающий мир, который удален на большое расстояние.

Рассмотрим процесс синтеза атомом собственной поверхности. Поверхность атома синтезируется в промежуток времени между завершением полупериода циклических колебаний наружными и внутренними атринами. Пусть наружные атрины завершили полупериод циклических колебаний. Эфаны выталкивают первые квантоны серий атринов за пределы собственных радиусов. Если наружные атрины не удержат в пределах атома, то они покинут атом, и последний завершит свое существование. Чтобы этого не произошло, электрические вектора первых квантонов магнитных серий вистр яритиса улавливают электрические вектора первых

квантонов серий наружных атринов и свободные концы электрических векторов квантонов создают голограмму.

Так как все серии яритиса совершают одно и то же действие, то для демонстрации процесса синтеза поверхности выделим одну серию с эфаной Θ_H и сериями $H_{я}$, E_H (рис. 74, а) и покажем их в действии. Эфана Θ_H вталкивает серию E_H силой F к полюсу $\Pi_{я}$ (рис. 74, а).

Голограмма $E_{я}^+$ материализуется, синтезируя вектора $E_{Г}$ электрического гравитона, у которого сохраняется силовая связь с электрическим вектором первого квантона $E_{я}^+$ яритиса (рис. 74, б). Вектор $E_{я}^-$ сохраняет силовую связь с электрическим вектором первого квантона наружной серии E_H (рис. 74, б).

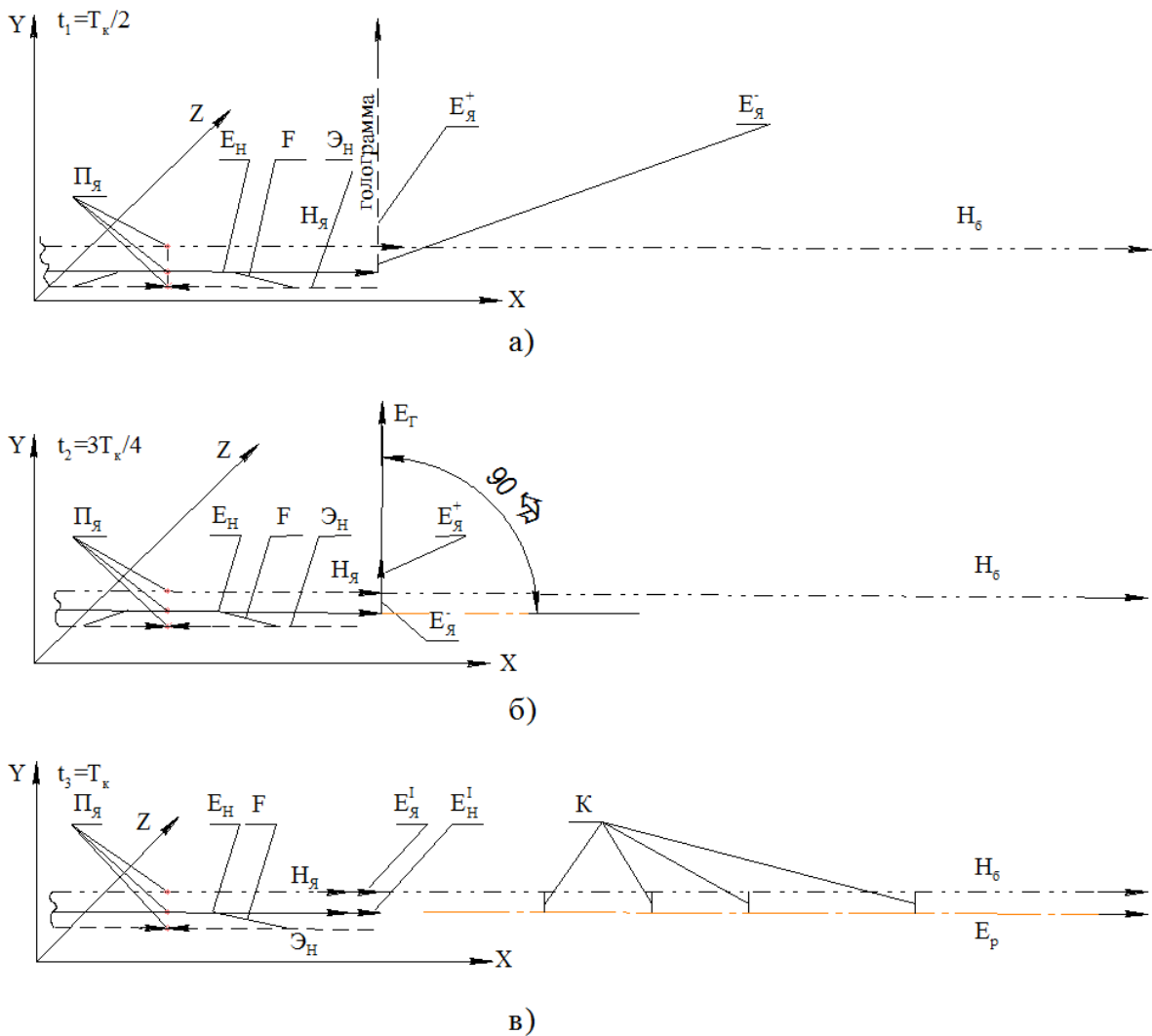


Рис. 74. Фазы синтеза одной серии атрисила E_p .

Серия E_H вталкивается в пределы атома, втягивая за собой электрический первый квантон $E_{я}^-$. Вместе с первым квантоном вистры разворачивается серия $E_{Г}$. Как только серия $E_{Г}$ развернулась на $45^\circ - 90^\circ$ она попадает в поле действия атроусов серии рейкиса билтона $H_б$ (рис. 74, в). Серия $E_{Г}$ теряет силовую связь с первым квантоном серии вистры и полностью поступает в поле действия серии рейкиса. По всей длине серии $H_б$ возникает силовая связь при помощи атроусов с серией E_p . Чтобы слияния серий не произошло, вектора атрисов квантонов второго вида серии организывают взаимное отталкивание. Таким образом, за один период пульсаций векторов атрисов квантонов системы каждая серия наружных атринов способствует синтезу одной серии атрисила.

Атрисил – частица, имеющая энергию, равную кванту действия, состоящая из электрических серий, которые синтезируются из эфира электрическими векторами первых квантонов серий вистр в момент удержания первых квантонов электрических серий наружных атринов в пределах

собственного радиуса. Затем серии атрисила разворачиваются на 90^0 и располагаются параллельно магнитным сериям рейкисов, приобретая такую же амплитуду пульсаций векторов адрат, какую имеют серии рейкисов. Атрисил получает точно такую же форму, как у рейкисов, который устанавливает с ним силовую связь при помощи атроусов.

Рассмотрим процесс движения серии атрисила относительно серии рейкиса (рис. 75). Движение серии E_p возможно лишь в том случае, если вектора атрисов квантонов второго вида серии рейкиса билтона $E_6^1 - E_6^3$ и атрисила $H_p^1 - E_p^3$ будут толкать серию атрисила $E_p^1 - E_p^3$ в одном направлении (рис. 74, t_2), а вектора атрисов квантонов серий пульсировать в противофазе.

В этом случае через полпериода пульсаций квантонов системы серии атрисиллов сместятся относительно серий рейкисов на величину амплитуды пульсаций A_0 (рис. 75, t_2). Как только смещение серий атрисила относительно серий рейкисов произошло, атроусы устанавливают силовую связь «К» с ближайшими соседями. Начинается второй полупериод пульсаций векторов атрисов квантонов системы. Однако, в это время серии рейкисов и атрисиллов не движутся. Вектора рейкисов $E_6^1 - E_6^3$ и атрисиллов $H_p^1 - E_p^3$ приготовились к началу нового полупериода пульсаций (рис. 74, t_3).

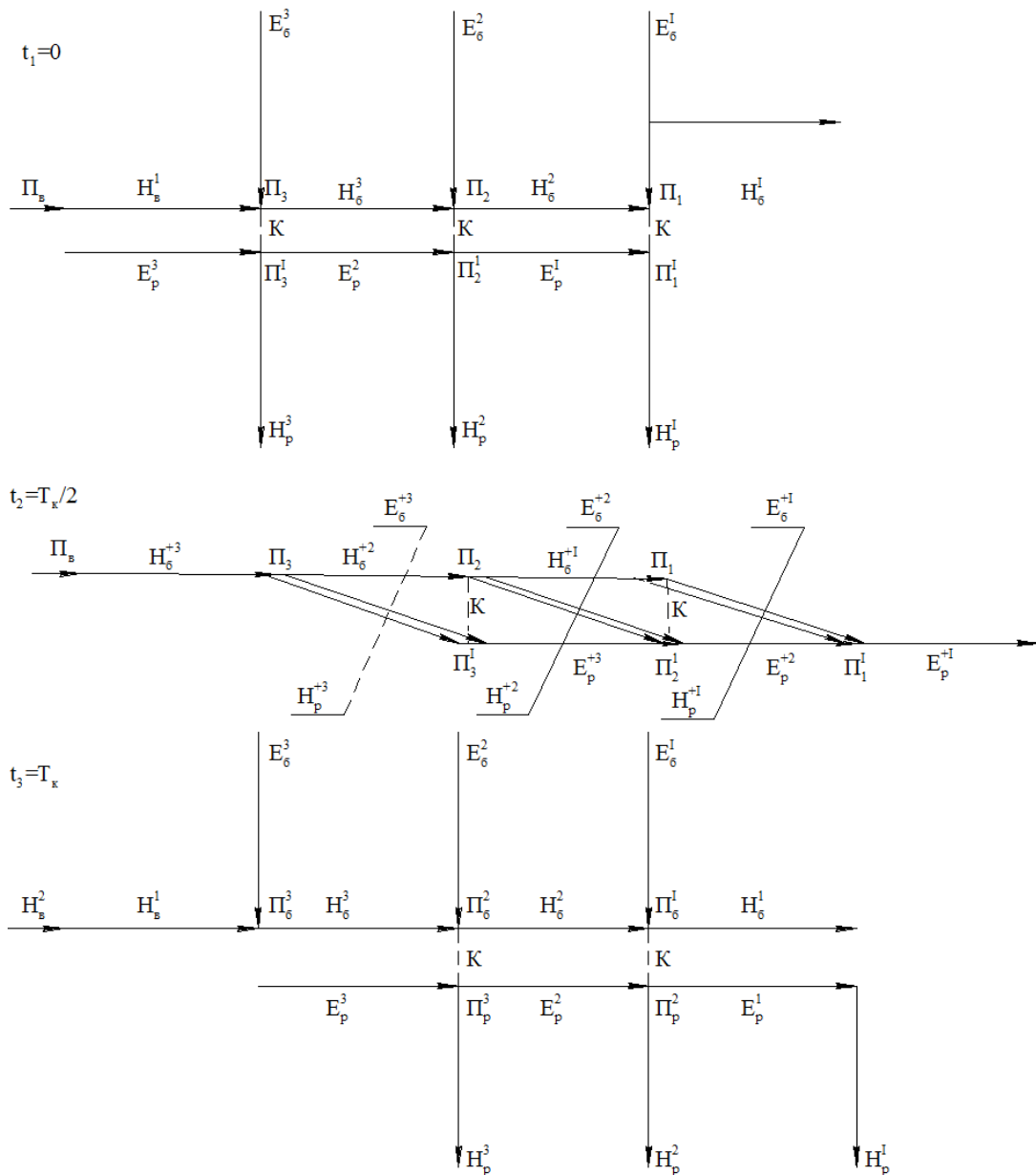


Рис. 75. За один период пульсаций векторов атрисов серий квантонов ядра наружные атрины пульсэда и спанов синтезируют один слой E_p^1 или E_p^3 серий квантонов расилов.

Во второй период пульсаций векторов атрисов квантонов системы атома синтезируется второй слой атрисилов, по отношению к которому первый слой атрисилов оказался смещенным на величину амплитуды A_0 пульсаций векторов атрисов квантонов серий рейкисов. Затем синтезируется третий слой атрисилов и т.д. Синтезируется пакет атрисилов.

Пакет атрисилов – последовательное наложение плоскостей атрисилов друг на друга со смещением, равным амплитуде пульсаций векторов квантонов серий рейкисов.

В пакете атрисилов магнитные вектора квантонов создают временные серии, которые располагаются практически параллельно электрическим. Параллельное расположение электрических и магнитных серий в пакете атрисилов стало возможным из-за смещения слоев относительно друг друга на величину амплитуды пульсаций векторов квантонов рейкисов.

Если пакет атрисилов состоит из $1,84 \cdot 10^{33}$ слоев атрисилов, то его назовем «*Стандартным пакетом атрисилов*».

Стандартный пакет атрисилов – количество слоев в пакете, равное $1,84 \cdot 10^{33}$ штук. Такой пакет становится нейтральным и не принимает новые слои атрисилов.

По завершению синтеза стандартного пакета атрисилов оказываются блокированными электрические вектора квантонов серий рейкисов и не могут принимать последующие атрисилы. Стандартный пакет атрисилов приобретает новое качество, выделив вдоль каждой серии рейкисов расила.

Расил – это одна из частиц стандартного пакета атрисилов, у которой магнитные вектора квантонов объединены во временные серии и совершают пульсации квантонов в противофазе с электрическими сериями. Расил, принадлежащий атому, имеет форму ромба с углом при вершине, близким к 0° С (нулю градусов).

Стандартный пакет атрисилов выталкивается на начало серий рейкиса и устанавливает прямую силовую связь с его магнитными сериями. Синтезируется удивительная конструкция: к началу серии рейкиса прикреплен «монстр», энергия которого равна кванту действия (рис. 68, а), а полная энергия стандартного пакета атрисила равна $1,84 \cdot 10^{33}h$. Возможностей у пакета атрисила бесконечно много.

Внешний вид плоскости рейкиса, который удерживает перед собой стандартный пакет, показан на рис. 76, б. Крайние серии атрисилов создают стандартный угол в $12'00''$.

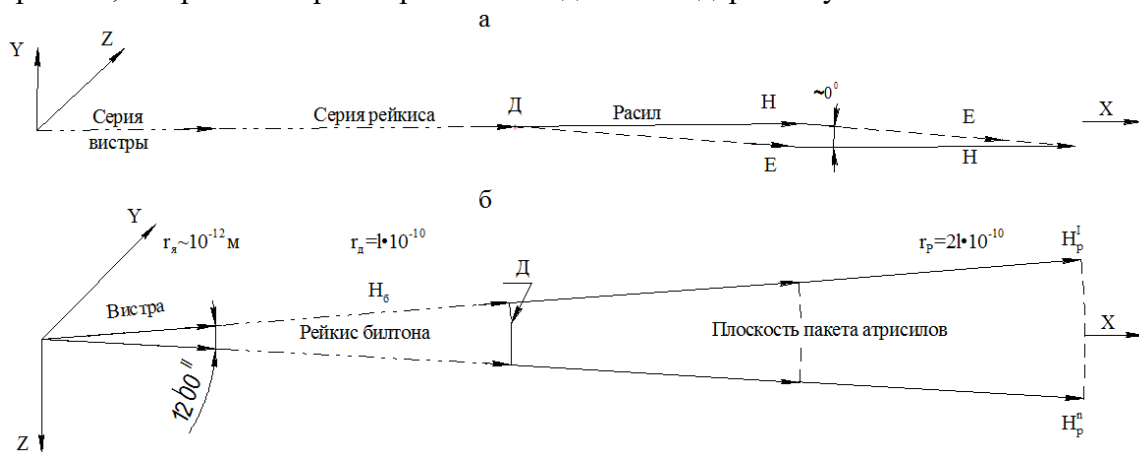


Рис. 76. Вид расила, находящегося во главе серии рейкиса (а) и плоскости стандартного пакета атрисилов (б).

После синтеза стандартного пакета атрисилов, серии рейкисов не в состоянии принимать новые серии E_p (рис. 77, t_1), так как их вектора атрисов квантонов второго вида (рис. 77, t_2) $E_6^{+1} - E_6^{+3}$ заняты и работают по перемещению стандартного пакета атрисилов к началу серий рейкисов. Как только последний квантон последнего атрисила выходит за пределы рейкиса, вектора атрисов второго вида освобождаются, и серии рейкисов вновь принимают серии E_p (рис. 77, t_1).

Следующий атрисил создается только через время, необходимое для прохождения одного кванта действия через полюс ядра атома.

Вектора квантонов серий стандартного пакета атрисилов, удерживаемый магнитными сериями атрисила, совершают пульсации в противофазе без перемещений (рис. 77). У каждого расила имеется четыре стороны, каждая из которых выполняет присущие только ей функции.

Магнитный фронт расила – одна из сторон ромба расила, вдоль которой выходят магнитные вектора квантонов временных серий.

Магнитный тыл расила – противоположная сторона ромба расила, из которой выходят противоположные концы временных магнитных серий расила.

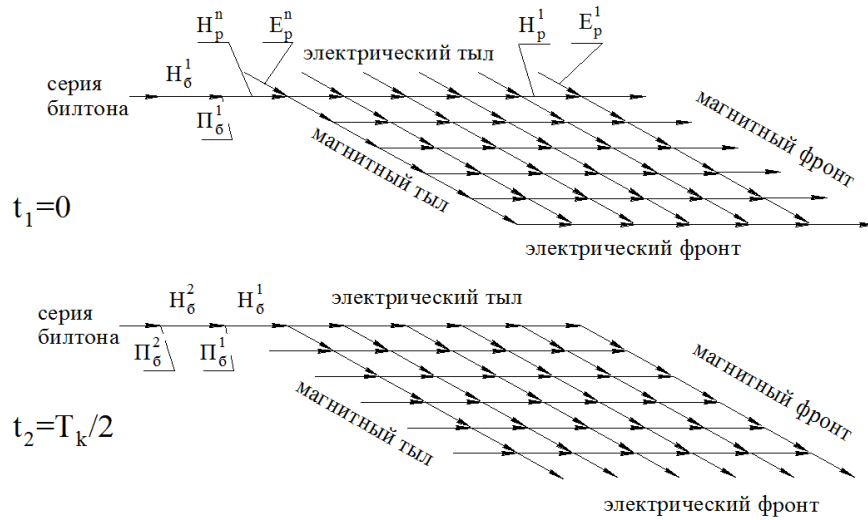


Рис. 77. Фазы пульсации векторов атрисов квантонов серий расила.

Электрический фронт расила – одна из сторон ромба расила, из которой выходят вектора электрических серий расила.

Электрический тыл расила – противоположная сторона электрическому фронту ромба расила, из которой выходят противоположные концы векторов электрических серий расила.

Исследованию физических свойств сторон расила будет посвящено учеными мира много работ.

Второй пакет атрисилов синтезируется через время $t=10^{-41}$ с и через такое же время второй пакет атрисилов достигает границ расила. Но между ними не может возникнуть силовая связь, так как у пакета атрисила электрические серии E_{p2}^2 расположены параллельно серии рейкиса H_6 , а у расила - магнитные H_p^1 серии (рис. 78).

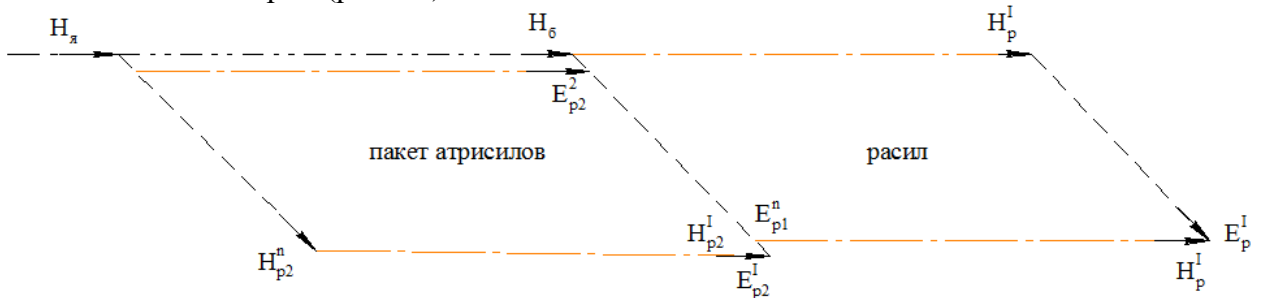


Рис. 78. Фаза формирования из пакета атрисила самостоятельных расилов.

Поэтому, второй стандартный пакет атрисилов проходит через первый пакет расилов, не вступая с ним в силовую связь. Как только последний квантон магнитной серии стандартного пакета атрисила достигает первого квантона серии рейкиса, между ними устанавливается силовая связь, а с первым пакетом расилов теряется, так как они превращаются в расиловые волны. Таким образом, расиловые волны испускаются импульсно через время, равное $2 \cdot 10^{-41}$ с, т.е. через время, пока через полюс ядра атома не пройдет энергия одного атрина, равная двум квантам действия. Стандартный пакет атрисилов распадается на $1,84 \cdot 10^{33}$ расилов, каждый из которых движется в эфире в направлении серий рейкисов по методу каналового замещения. Амплитуда пульсаций векторов атрисов электрических серий частиц расиловых волн остается такой же, как и у серий рейкисов, а потому скорость перемещения частиц расиловых волн будет равна:

$$g_p = \frac{I_6}{T_k} = (0,5 \div 2,0) \cdot 10^{30} \text{ м/с,} \quad (60)$$

где r_0 – длина серии билтона (рейкиса), T_k – время прохождения энергии кванта действия атрина через полюс протона.

$$T_k = \frac{T_e}{4n} = 6,5335 \cdot 10^{-41} \text{ с}, \quad (61)$$

где T_e – период циклических колебаний серий атринов, $n = V_e$ – количество квантов действия в атрине, V_e – частота циклических колебаний атринов.

Стандартными пакетами атрисиллов атом окружен только с тех сторон, где есть наружные и внутренние атрины, благодаря которым синтезируются атрисиллы. Назовем поверхность, созданную стандартными пакетами атрисиллов вокруг атома – *расилшубом*. Расчеты показали, что энергия стандартного пакета атрисиллов больше энергии атома водорода в $8 \cdot 10^9$ раз. Это значит, что каждый атом защищает свою поверхность чрезвычайно большими «кувалдами».

Расилы расилшубов самые уникальные частицы Вселенной: они состоят из параллельных магнитных и электрических серий, которые могут противостоять электрическим и магнитным полям, выпускать или не выпускать электроны за пределы атома (работа выхода), создавать упругость, твердость, вязкость, хрупкость, сорбцию, десорбцию и все другие свойства материи.

В газах расилы атомов и молекул действуют как пружины: при повышении давления газа расил сжимается с торца, расстояние между плоскостями электрических серий увеличивается, а при критическом давлении – расил разрушается. В отсутствии силового давления на атом, третий ярус r_{ac} имеет размер, равный $2 r_0$.

Пакеты атрисиллов в зависимости от количества слоев атрисиллов выполняют очень много работ в материальном мире. Ядро атома может приостановить синтез атрисиллов в любой момент времени, создав пакет атрисиллов разной толщины. Так как в состав стандартного пакета атрисиллов входит $1,84 \cdot 10^{33}$ слоев, то возможности действия пакетов атрисиллов неограниченны.

Суть действия пакета атрисиллов заключается в том, что в зависимости от количества слоев в пакете, определяется дальность полета пакета: чем больше слоев – тем на большее расстояние уходит пакет атрисиллов. Затем каждый слой атрисила превращается в частицу расилового поля, которая не оказывает силового действия на материю, а служит индикатором материи. Пакет атрисиллов может накачивать энергию атомам, встречающимся на пути движения, отталкивать и притягивать атомы, производить сброс энергии атомом. Интересным является то, что пакеты атрисиллов после прохождения вдоль серий рейкисов не тормозятся, а движутся они за счет отталкивания от рейкисов. Создается реактивное движение, скорость которого может быть в сотни раз больше скорости света.

Установление силовой связи между независимыми расилами и расилшубом атомов приводит к созданию уменьшения давления в атмосфере. Электрические вектора расиловых серий изменяют на 180° направление магнитных векторов квантонов, что приводит к возникновению силового действия на расилшубы воздуха. Силовое действие на атомы воздуха или твердого тела может быть настолько сильным, что в точках их действия может происходить разрыв силовой связи между атомами поверхности. Циклон – это понижен давления в атмосфере в результате действия расилов на окружающий землю воздух. Случайно циклон не происходит. Он управляется Разумом Земли. У поверхности Земли нет случайных процессов. Циклоны перемещаются под действием смещения выхода расиловых волн с разных точек поверхности Земли, что приводит к перемещению в этот район облаков с пониженным давлением. Циклон заранее готовится Разумом земли, также как и антициклон.

Управляя процессом синтеза расилов, можно создать большое число принципиально новых технологий. Здесь непочатый фронт работ, однако, это будет в будущем, не в настоящей работе.

Выводы к разделу

1. Получено открытие структуры и механизмов элементарных процессов, пульсаций энергии в ядрах атомов, из чего следует, что атом состоит из трех ярусов, каждый из которых выполняет строго заданные функции:

а) первый ярус представлен ядром атома, где сосредоточены: физическая основа и система привода в движение физической основы, система управления физической основой, которая служит одновременно памятью атома; система мышления атома. Радиус ядра $l_1 \sim 10^{-12}$ м.

б) второй ярус – однослойная стационарная система защиты ядра атома и силовой связи между атомами при помощи которой атомы вступают в силовые связи в молекулах и кристаллах – это билтон и андистон. Размер второго яруса $l_2 \sim 10^{-10}$ м.

в) третий ярус представлен сменной поверхностью, которая проявляет все физико-химико-механические свойства материи. В мире нет такой материи, которая не защищена третьим ярусом – расилшубом. Размер серии расилшуба равен $l_3 \sim 2 \cdot 10^{-10}$ м.

6. Третий ярус – расилшуб, синтезируется после момента времени, когда наружные серии атринов завершили переход через полюс ядра атома, и до момента времени, когда завершают переход через полюс внутренние серии атринов.

7. Каждая производная вистра яритиса, обслуживающая наружные атрины, удерживает атрины в пределах ядра. В результате взаимодействия с первыми квантонами наружных серий атринов, электрические вектора первых квантонов производных вистр яритиса (коренные вистры) синтезируют из эфира электрический собственный аналог, который затем укладывают на поверхность рейкисов. Синтезируется атрисил. Один атрисил синтезируется за время, равное периоду пульсаций векторов атрисов квантонов серий.

8. За второй период пульсаций векторов квантонов синтезируется второй атрисил, а первый смещается в направлении периферии атома на величину амплитуды A_0 пульсации векторов атрисов рейкиса. Создается пакет атрисилов. Максимально допустимое количество атрисилов в пакете равно числу атрисного нормирования – $A^* = 1,84 \cdot 10^{33}$ – стандартный пакет атрисилов.

9. Пакет атрисила – самая уникальная частица в мире, так как одновременно имеет практически параллельные друг друга магнитные и электрические серии.

10. Поверхности атомов молекул, дисперсных частиц, кристаллов, жидкостей, разделов фаз и по границам неоднородных материалов непрерывно синтезируют или разрушают расилшубы, которые осуществляют защиту ядер атомов. Все свойства поверхностей создаются расилшубами атомов тел.

ОБЩИЕ ВЫВОДЫ

1. Основой всего сущего во Вселенной является эфир, свойства которого описаны в работе «Основы мироздания» (www.atrisov.narod.ru). Первичным является Разум, который создал программы и сотворил тонкий и материальный миры.

2. Все физические процессы, протекающие в нуклонах ядер атомов, осуществляются по единой программе, созданной Творцом.

3. Следствия явлений естествознания являются единственными окнами, через которые креативное мышление ученого может проникнуть в ритмы внутриядерных процессов тонкого мира причин.

4. Креативное мышление ученого, обогащенное знанием следствий явлений естествознания, в состоянии отслеживать ритмы внутриядерных процессов в пространстве и времени с разрешением 10^{-100} м и 10^{-100} с.

5. Управление процессами силового взаимодействия в материальном мире станет возможным, если будут установлены связи между ритмами внутриядерных процессов и поверхностными свойствами вещества.

6. Для всех атомов таблицы элементов Творцом созданы единые стандарты, в которых четко отслеживаются философские законы: причинно-следственных связей, единства и борьбы противоположностей, перехода количества в качество, соответствия (как вверху, так и внизу), иерархии (управление идет сверху вниз), полярности (все двойственно), ритма (все течет).

7. Атомы сотворены из фотонов двух уровней энергий:

а) энергия, равная кванту действия (вистры), – все системы управления материальным миром;

б) энергия, равная половине энергии электрона и большей (атрины), – материальный мир.

8. Каждый атом состоит из трех ярусов, два из которых стационарны:

- первый ярус - собственно ядро атома, где свершаются циклические колебания энергии и энергообмен с эфиром;

- второй ярус - билтон, андистрон и андистина, не обнаруживаемый в экспериментах, при помощи рейкисов которого устанавливаются силовые связи в молекулах и кристаллах;

- третий ярус – ритмично заменяемая поверхность атома - расилшуб. Он синтезируется из эфира с частотой порядка 10^{19} Гц и определяет все физико-химико-механические свойства молекул, атомов и веществ.

9. Для решения проблемы управления поверхностными явлениями необходимо создание «Полинаучного атрисного института». Подданные государства, которые освоят Атрисную физику, осознают смысл жизни, что сделает государство самодостаточным, превратив его в мирового лидера.

ЛИТЕРАТУРА

1. Поляков С.П. «Атрисное строение материи», М.: Международный гуманитарный фонд «Знание».-1999, Т.1., 183 с. илл.

2. Поляков С.П. Атрисна фізика електрона: Частина 1.- Черкаси: ЧДТУ, 2006.- 55 с., іл.

3. Поляков С.П. Атрисная структура кристаллов, М.: Информ-Знание, 2007.-191с., илл.

4. Поляков С.П. “Атрисное строение материи” / Том 2. “Разумная жизнь Вселенной”, 1999.- 227 с.

5. Поляков С.П. “Атрисное строение материи” / Том 3. “Путь осознания вечности”, 2002. – 186 с.

6. Сайт: atrisov.narod.ru, razum-cosmos.narod.ru.

Доктор технических наук, профессор *Поляков Святослав Петрович*
18002, г. Черкассы, бульв. Шевченко, 245, кв.5, моб. тел. 098 489 33 16
E-mail: atrisov@yandex.ru

ТЕРМИНЫ

Акцепторные атрисики – атрисики второго вида первого пучка атрисов, сохраняющие прямую силовую связь с коренными атрисиками первого вида и не участвующие в формировании серии квантонов.

Андистон – это фигура, состоящая из андистрона и андистины, плоскости которых взаимно перпендикулярны, а общая ось симметрии проходит через полюс пульсэда перпендикулярно его поверхности.

Андистина - набор рейкисов, являющихся продолжением наружных серий вистр филдистины. Угол раскрытия серий атдистины может меняться от 90^0 -до 45^0 .

Атрин - частица (фотон), являющаяся физической основой всех нуклонов ядер атомов, электронов, позитронов и нейтрино. Атрин состоит из набора серий, энергия которых находится в пределах половины энергии физической основы электрона. Атрины нуклонов атомов совершают ритмическое перемещение серий по замкнутым траекториям около общего полюса. Серии атрина выходят из полюса, создавая крайними сериями угол равный $12^00''$.

Атрис – продольная частица бесконечно малого стационарного сечения, состоящая из двух равных по энергии атрисиков (магнитного и электрического), соединенных атросцепом. Атрисики совершают непрерывные продольные пульсации относительно атросцепа: при увеличении магнитного атрисика уменьшается электрический практически до нуля, а затем наоборот.

Атрисик – одна из половин атриса, проявляющая магнитные или электрические свойства. Вдоль атрисика могут формироваться уплотнения – изостраты, количество которых определяется внутренними и внешними условиями. Длина атрисика может изменяться от 10^{-9} до 10^{-110} м.

Атрисиковая голограмма - увеличенное пространственное отражение в эфире изострат векторов квантонов серий, по которым мгновенно синтезируются новые или наращиваются недостающие участки серий квантонов.

Атросцеп – связующая перегородка в атрисе между магнитным и электрическим атрисиками. Атросцеп у атриса – единственный, который одновременно удерживает магнитный и электрический атрисики. Два свободных конца атриса без атросцепа не могут взаимодействовать с атрисиками другого вида, а только с аналогичными атрисиками. Атросцеп определяет векторность материального и духовного миров. Атрисики обладают уникальным свойством: вдоль их длины могут образовываться равномерно распределенные уплотнения, сохраняющиеся во время пульсаций – изостраты (рис. 2).

Билтон - набор рейкисов в виде кольца, являющихся продолжением вистр наружных серий яритиса.

Биртрон – стационарная неразрушаемая часть электрона, обеспечивающая управление движением атринов по замкнутым траекториям, проходящих через их полюс. Биртрон состоит из дивитры и дивитриса, каждый из которых состоит из двух вистр.

Бифана - временная частичка, не имеющая системы управления, непрерывно возобновляющаяся из квантонов под действием поля атрисиков пульсэда. Бифана обеспечивает перемещение серий квантонов пульсэда по траекториям сложной формы. Бифана состоит из эфан (серий).

Вистра – составная неделимая частица систем управления и памяти материальных и духовных объектов, имеющая энергию равную энергии кванту действия. Вистра состоит из $1,84 \cdot 10^{33}$ серий, в каждую из которых входит $1,84 \cdot 10^{33}$ квантонов. Крайние серии вистр выходят из полюса под углом $12^00''$.

Вистра коренная – вистра, синтезируемая из гравитона в момент радиоактивного распада нейтрона.

Вистра производная – вистра, синтезируемая коренной вистрой для компенсации магнитного поля коренной вистры.

Витра – частичка с энергией, равной кванту действия, синтезируемая одновременно с физической основой фотона и сопровождающая его на всем пути движения. В состав серий витры входит количество квантонов равное атрисному нормированию. Витра управляет движением фотона и содержит информацию об объекте, который породил фотон.

Витрис - временная частичка, индуцируемая из атрисов эфира витрой для собственного перемещения в критических точках. Витрис разрушается после того, когда витра “прошла” по нему свой путь.

Ведунья – набор серий только из магнитных атрисов, выделенных ладой для согласования поля атрисов с яритисом при записи последнему программы. Форма ведуньи отвечает форме дивитры. Закономерности ее работы (мышления) еще следует установить.

Вектор атрисов – два последовательно расположенных множества атрисиков одного свойства (вида), совершающих асинхронные пульсации относительно атросцепа.

Вторичные спиновые серии – это первичные спиновые серии, энергия атринов которых увеличена, что приводит к росту амплитуды пульсаций квантонов рейкисов на размер изменения спиновых серий.

Диффузные атрисики – атрисики второго пучка атрисов, дополняющие коренные атрисики при формировании вектора атрисов.

Донорные атрисики – атрисики второго вида второго пучка атрисов, утратившие прямую силовую связь с диффузными атрисиками и установившие прямую силовую связь с акцепторными атрисиками первого пучка атрисов, создав вектор атрисов второго вида квантона.

Изостраты – это уплотнения среды атрисиков, равномерно распределенные вдоль их длины. Количество изострат всегда равно количеству квантонов в серии квантонов. Количество изострат в атрисике может достигать 10^{120} штук. Если в эфире самопроизвольно возник атрис, имеющий изостраты, то атрис может индуцировать их другим атрисам, расположенным вдоль его оси, в количестве, равном количеству собственных изострат, – голограмма. Это основной механизм синтеза материального и духовного миров.

Квантон – частица, синтезируемая из двух пучков атрисов, в первом из которых атрисики одного вида (акцепторные) разворачиваются под углом 90^0 к атрисикам другого вида (коренным), сохраняя между собой полную силовую связь через канал атросцепа. Атросцеп коренного пучка атрисов подсоединяет к себе конец атрисиков второго пучка (диффузных), расположенного вдоль одной прямой. Между коренными и диффузными атрисиками одного свойства (вида) возникают асинхронные пульсации и они создают вектор атрисов. Донорные атрисики второго пучка атрисов разворачиваются относительно собственного атросцепа на 180^0 и достигают акцепторных атрисиков первого пучка, образуя с ними вектор атрисов второго вида. Создается квантон.

Так синтезируются из эфира квантоны, которые обладают электрическими и магнитными свойствами, векторностью, возможностью подсоединять к себе другие квантоны, синтезируя их из эфира. Пульсации атрисиков в квантоне совершаются около одной общей точки – полюса, который атрисики никогда не пересекают.

Кордис – две вистры, удлиняющие серии флатры спола, но сохраняющие равные амплитуды пульсаций векторов атрисов квантонов, и имеющие с флатрой диаметрально противоположно направление электрических векторов квантонов.

Коренные атрисики – пучок атрисиков, формирующий будущую серию квантонов.

Лада – система управления перемещений серий атринов пульсэда по замкнутой траектории, которая состоит из 3600 вистр, объединенных попарно в бивистры, а бивистры объединены попарно в дивистры. Лада и яритис создают яртрон.

Магнитный фронт расила – одна из сторон ромба расила, вдоль которой выходят магнитные вектора квантонов временных серий.

Магнитный тыл расила – противоположная сторона ромба расила, из которой выходят противоположные концы временных магнитных серий расила.

Нейтрон - нейтральная (не обладающая электрическим «зарядом») элементарная частица со спином, равным $1/2$ и массой, очень близкой к массе протона ($m_p=1836,1051 m_e$, $m_n=1838,68 m_e$).

Нейтровитр - система управления физической основой нейтрино, которая состоит из двух смежных вистр, имеющих одно и то же направление векторов квантонов серий, выходящих из общего полюса под углом в $12^00''$. Вектора атрисов другого вида квантонов серий вистр имеют направления в диаметрально противоположные стороны. Размер серий вистр нейтровитр всегда остается равным сериям наружных атринов нейтрона, а энергия атринов – энергии внутренних атринов нейтрона.

Ниртон - составляющая пульсэда и спана, созданная двумя совмещенными атринами, радиальные серии которых последовательно чередуются и выходят из полюса в одном направлении. Длина серий первого атрина больше, чем у второго. У первого атрина магнитные вектора электрических серий направлены в одну сторону, а у второго – в диаметрально противоположную.

Пакет атрисиллов – последовательное наложение плоскостей атрисиллов друг на друга со смещением, равным амплитуде пульсаций векторов квантонов серий рейкисов.

Первичные спиновые серии – это энергия отрезков серий одного из ниртонов всех нуклонов ядер атомов, равная разности между наружными и внутренними атринами, которые еще не приобрели избыточной энергии.

Перунис – самостоятельная частица, имеющая форму цилиндра, состоящая из $1,135 \cdot 10^{53}$ дисков наподобие нейтронов (нейтрополей), у которых электрические серии располагаются вдоль радиусов, а магнитные вектора атрисов квантонов колеблются перпендикулярно поверхности нейтрополей, образуя серии, расположенные параллельно оси цилиндра перуниса. Между двумя смежными дисками нейтрополей располагается диск, состоящий из магнитных серий вистр в количестве 3600 штук, электрические вектора квантонов которых направлены вдоль магнитных векторов квантонов нейтрополей.

Пострино - частица поля, состоящая из параллельных серий в количестве атрисного нормирования, которая перемещается в эфире по методу каналового замещения со скоростью света. Из пострино создаются цуги, в которых серии объединены. Амплитуда пульсаций векторов атрисов квантонов пострино сохраняется величиной постоянной независимо от количества квантонов в цуге пострино. Электрические цуги пострино создают электрическое поле, а магнитные – магнитное поле. Электромагнитное поле в природе отсутствует.

Пучок атрисов – параллельное объединение атрисов, в котором атрисики одного вида имеют общее начало, а атрисики второго вида располагаются под углом к атрисикам первого вида. Если в состав пучка атрисов входит $1,84 \cdot 10^{33}$ атрисов, то атрисики второго вида сохраняют свой конец. Если в состав пучка атрисов входит $N \cdot 1,84 \cdot 10^{33}$ атрисов, где $N \approx 2 \div 10^{90}$, то такой пучок атрисов представляет собой мыслящую единицу – Творца.

Пострино главное – пострино, синтезируемое эпострисом, которое располагается симметрично ему и сразу же увеличивает размер серий до комптоновской длины волны. У главного пострино задача - доставить электрон после излучения к ядру того же атома.

Полюс квантона – общая точка векторов атрисов, около которой атрисики совершают пульсации.

Производное пострино - синтезируется в результате подсоединения энергии пострино к сериям спола первым рядом квантонов спола. Задача производного пострино - обеспечить перемещение электрона в промежутках, в которых отсутствует возможность перемещения его на главном пострино.

Расил – это одна из частиц стандартного пакета атрисиллов, у которой магнитные вектора квантонов объединены во временные серии и совершают пульсации квантонов в противофазе с электрическими сериями. Расил, принадлежащий атому, имеет форму ромба с углом при вершине, близким к 0° (нулю градусов).

Расилиуб – сменная поверхность атомов, молекул и вещества, которая синтезируется в каждый новый полупериод из квантонов эфира стандартными наружными вистрами яритисов и филбайтингов в начале каждого нового полупериода циклических колебаний атринов и выдвигаются за пределы рейкисов.

Серия квантонов – это однорядный строй одного вида векторов атрисов квантонов, векторы атрисов одного вида которых установили силовую связь между собой атросцепами и совершают асинхронные возвратно-поступательные пульсации вдоль общего направления векторов, а векторы атрисов второго вида между собой не объединяются и совершают асинхронные пульсации, располагаясь в одной плоскости. Угол наклона вектора атрисов второго вида к серии квантонов может изменяться от 0 до 180° .

Стандартный пакет атрисиллов – количество слоев в пакете, равное $1,84 \cdot 10^{33}$ штук. Такой пакет становится нейтральным и не принимает новые слои атрисиллов.

Стандарт нейтрона – энергия наружных атринов пульсэдов всех нуклонов ядер атомов есть величина постоянная и равная половине энергии электрона $m_a = m_e/2$.

Филбайтинг – составная частичка протона, обладающая энергией, равной половине энергии яритиса, а по форме имеет вид восьмерки, вырезанной из яритиса взаимно перпендикулярными диаметрами. Филбайтинг состоит из 900 дивистр, имеет общий полюс с протоном и его ось симметрии располагается перпендикулярно поверхности яритиса. Филбайтинг управляет спаном ядра, который располагается в его плоскости. Каждый атом синтезирует только один филбайтинг и одну филдистину, плоскости которых располагаются взаимно перпендикулярно.

Филдистина – такая же частица, как и филбайтинг, но не имеющая в своем составе квадронов спана. А потому может сжиматься в виде веера при синтезе из атомов, молекул и кристаллов. Плоскость филдистины расположена перпендикулярно плоскости филбайтинга.

Флатрон – вистра, синтезируемая сериями флатры, имеющая диаметрально противоположное направление магнитных серий квантонов и участвующая вместе с флатрой управлением сполом.

Электрический тыл расила – противоположная сторона электрическому фронту ромба расила, из которой выходят противоположные концы векторов электрических серий расила.

Электрический фронт расила – одна из сторон ромба расила, из которой выходят вектора электрических серий расила.

Эфанита - серии, синтезируемые в полюсе ядра атома под действием эпостриса, возникшего в результате воздействия магнитных пострино соленоида на секру производной вистры электрона в филбайтинге. Эфанита начинается в полюсе ядра атома соленоида и оканчивается в полюсе ядра атома отрицательной пластины конденсатора, что приводит к подавлению эфаны Ариадны, стремящейся превратить главное пострино, проходящее через ядро атома, в эпострис.

Яритис – система управления перемещениями серий атринов пульсэда по замкнутым траекториям, которая состоит из 3600 вистр, объединенных попарно в бивистры, а бивистры объединены попарно в дивистры. Яритис, состоящий из коренных вистр, представляет собой диск, серии которого направлены от полюса, колеблются в противофазе и устанавливают силовую связь между собой. Толщина серий яритиса порядка 10^{-66} м. Яритис синтезирует серии, которые направлены в диаметрально противоположном направлении сериям яритиса, создавая параллельный диск – ладу.